

Calcolo degli sforzi con forze baricentriche in * punto medio di AB

Rappresentare sul foglio, in scala: G, assi u,v, ellisse d'inertia

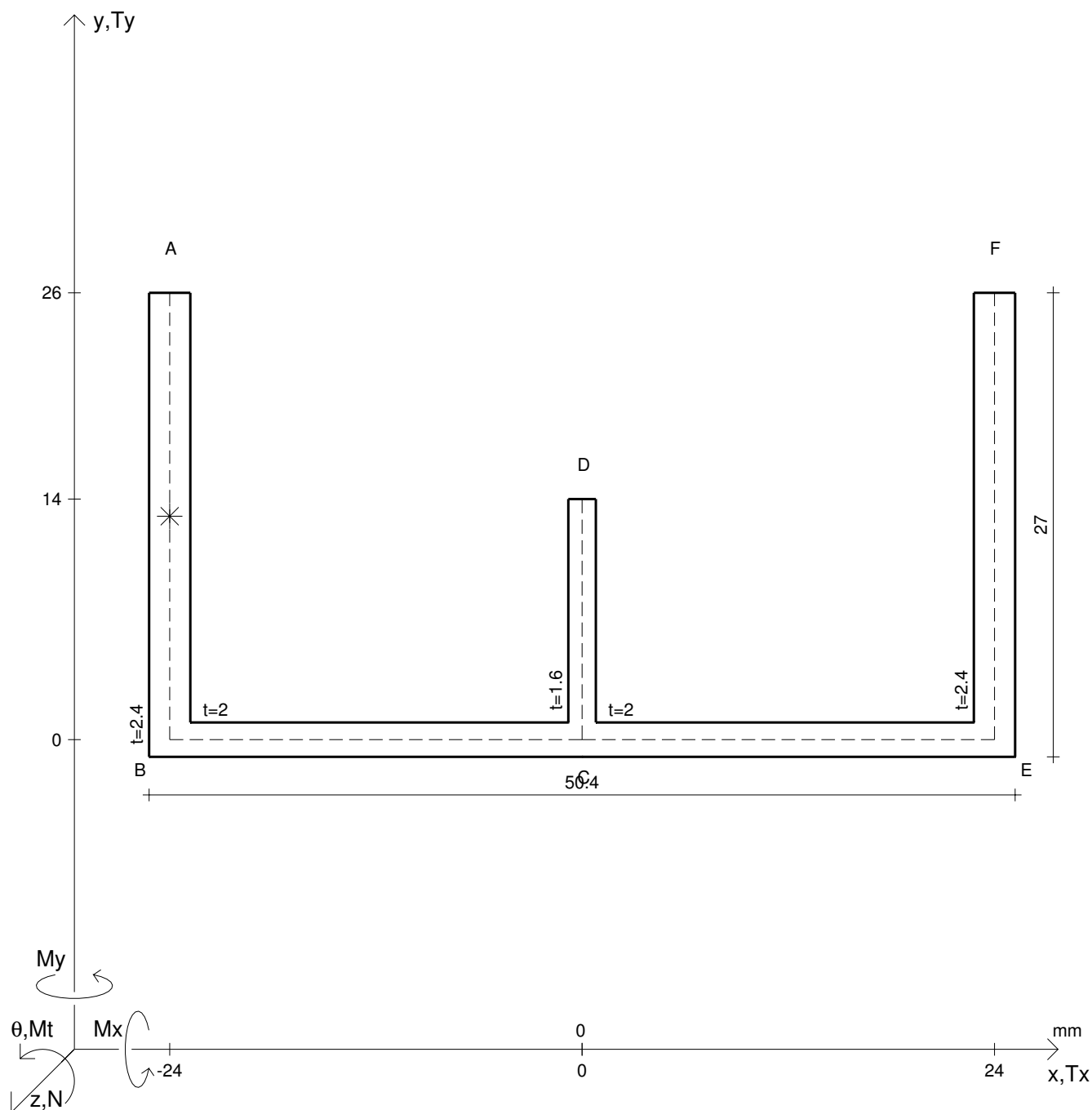
Rappresentare il cerchio di Mohr

Operare le conclusioni sulla verifica di resistenza in *

Facoltativo: rappresentare l'asse neutro e l'andamento delle tens. normali.

Facoltativo: rappresentare l'andamento delle tens. tangenziali.

N	$= 13700 \text{ N}$	M_t	$= -11100 \text{ Nmm}$	σ_a	$= 240 \text{ N/mm}^2$	G	$= 75000 \text{ N/mm}^2$
T_y	$= 6870 \text{ N}$	M_x	$= 47400 \text{ Nmm}$	E	$= 200000 \text{ N/mm}^2$	θ_t	$=$
y_g	$=$	$\sigma(N)$	$=$	τ_s	$=$	r_u	$=$
u_o	$=$	$\sigma(M_x)$	$=$	σ_{ls}	$=$	r_v	$=$
v_o	$=$	$\tau(M_t)$	$=$	σ_{lls}	$=$	r_o	$=$
A_n	$=$	$\tau(T_{yc})$	$=$	σ_{ld}	$=$	J_p	$=$
C_w	$=$	$\tau(T_{yb/d})$	$=$	σ_{lld}	$=$		
J_u	$=$	$\tau(T_y)_s$	$=$	σ_{tresca}	$=$		
J_v	$=$	$\tau(T_y)_d$	$=$	σ_{mises}	$=$		
J_t	$=$	σ	$=$	$\sigma_{st.ven}$	$=$		



Calcolo degli sforzi con forze baricentriche in * punto medio di AB

Rappresentare sul foglio, in scala: G, assi u,v, ellisse d'inerzia

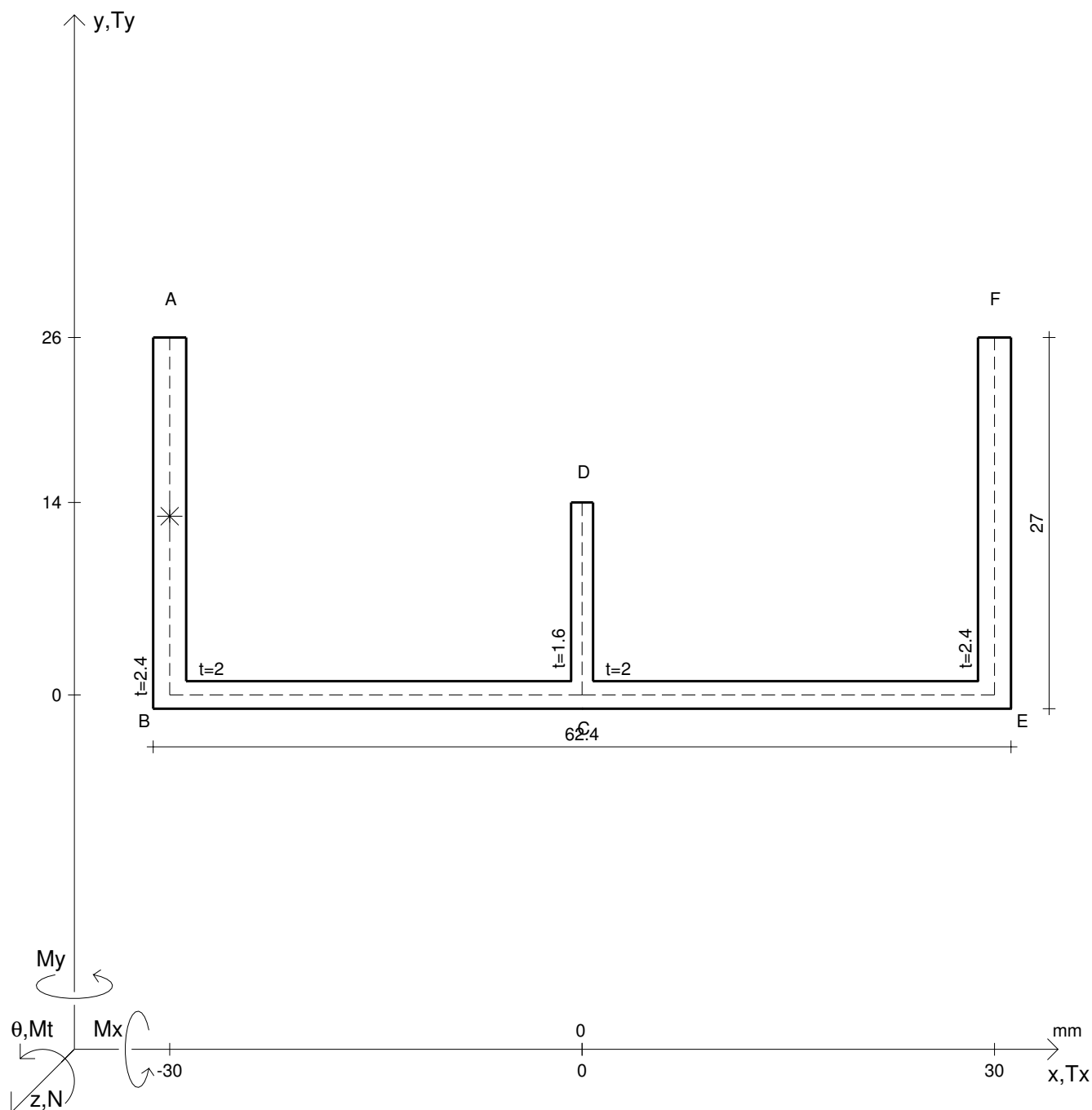
Rappresentare il cerchio di Mohr

Operare le conclusioni sulla verifica di resistenza in *

Facoltativo: rappresentare l'asse neutro e l'andamento delle tens. normali.

Facoltativo: rappresentare l'andamento delle tens. tangenziali.

N	$= 17300 \text{ N}$	M_t	$= 9310 \text{ Nmm}$	σ_a	$= 240 \text{ N/mm}^2$	G	$= 75000 \text{ N/mm}^2$
T_y	$= 7300 \text{ N}$	M_x	$= 57200 \text{ Nmm}$	E	$= 200000 \text{ N/mm}^2$	θ_t	$=$
y_g	$=$	$\sigma(N)$	$=$	τ_s	$=$	r_u	$=$
u_o	$=$	$\sigma(M_x)$	$=$	σ_{ls}	$=$	r_v	$=$
v_o	$=$	$\tau(M_t)$	$=$	σ_{lls}	$=$	r_o	$=$
A_n	$=$	$\tau(T_{yc})$	$=$	σ_{ld}	$=$	J_p	$=$
C_w	$=$	$\tau(T_{yb})_d$	$=$	σ_{lld}	$=$		
J_u	$=$	$\tau(T_y)_s$	$=$	σ_{tresca}	$=$		
J_v	$=$	$\tau(T_y)_d$	$=$	σ_{mises}	$=$		
J_t	$=$	σ	$=$	$\sigma_{st.ven}$	$=$		



Calcolo degli sforzi con forze baricentriche in * punto medio di AB

Rappresentare sul foglio, in scala: G, assi u,v, ellisse d'inerzia

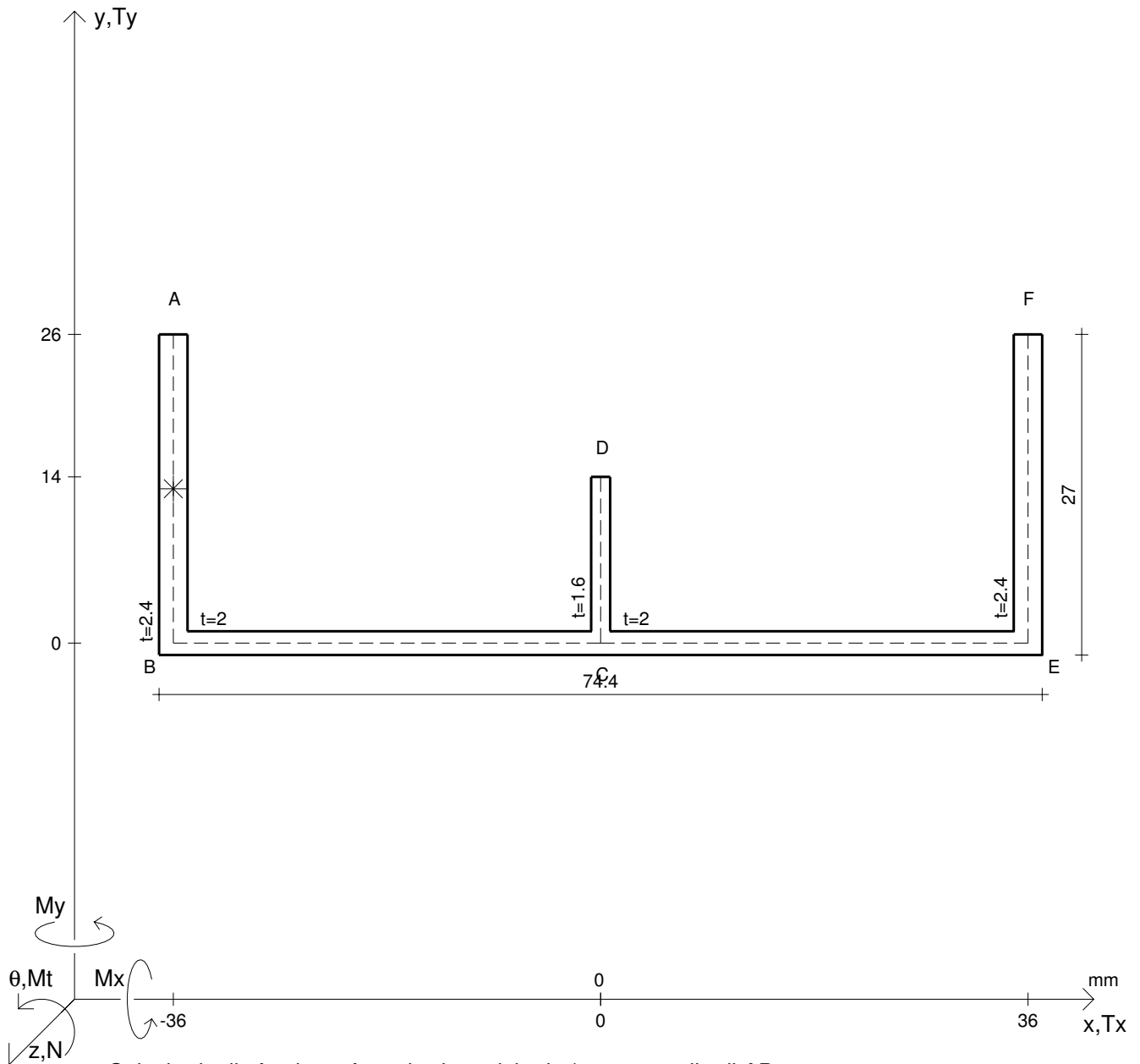
Rappresentare il cerchio di Mohr

Operare le conclusioni sulla verifica di resistenza in *

Facoltativo: rappresentare l'asse neutro e l'andamento delle tens. normali.

Facoltativo: rappresentare l'andamento delle tens. tangenziali.

N	$= 21300 \text{ N}$	M_t	$= 11500 \text{ Nmm}$	σ_a	$= 240 \text{ N/mm}^2$	G	$= 75000 \text{ N/mm}^2$
T_y	$= 5280 \text{ N}$	M_x	$= 66800 \text{ Nmm}$	E	$= 200000 \text{ N/mm}^2$	θ_t	$=$
y_g	$=$	$\sigma(N)$	$=$	τ_s	$=$	r_u	$=$
u_o	$=$	$\sigma(M_x)$	$=$	σ_{ls}	$=$	r_v	$=$
v_o	$=$	$\tau(M_t)$	$=$	σ_{lls}	$=$	r_o	$=$
A_n	$=$	$\tau(T_{yc})$	$=$	σ_{ld}	$=$	J_p	$=$
C_w	$=$	$\tau(T_{yb})_d$	$=$	σ_{lld}	$=$		
J_u	$=$	$\tau(T_y)_s$	$=$	σ_{tresca}	$=$		
J_v	$=$	$\tau(T_y)_d$	$=$	σ_{mises}	$=$		
J_t	$=$	σ	$=$	$\sigma_{st.ven}$	$=$		



Calcolo degli sforzi con forze baricentriche in * punto medio di AB

Rappresentare sul foglio, in scala: G, assi u, v , ellisse d'inerzia

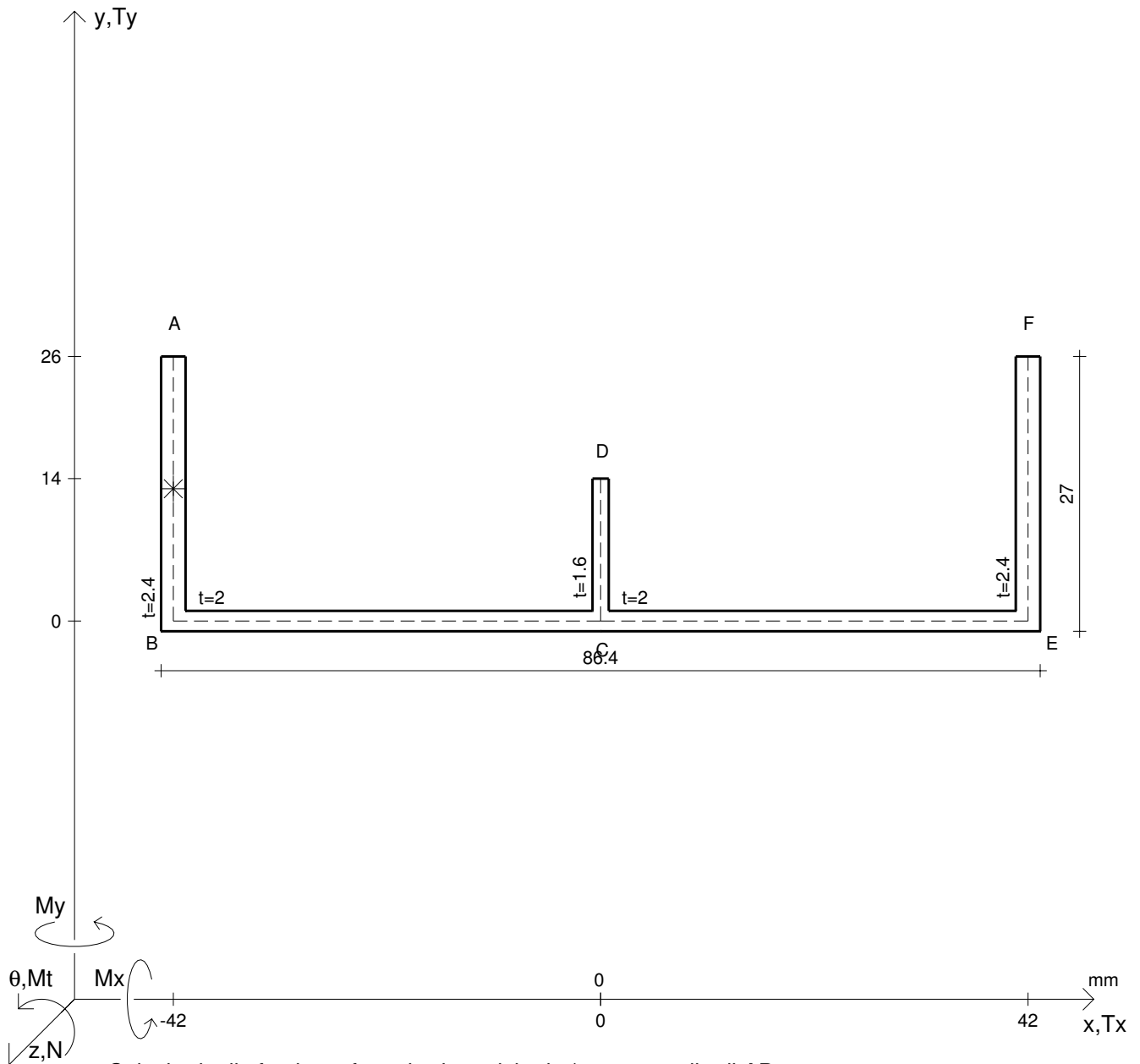
Rappresentare il cerchio di Mohr

Operare le conclusioni sulla verifica di resistenza in *

Facoltativo: rappresentare l'asse neutro e l'andamento delle tens. normali.

Facoltativo: rappresentare l'andamento delle tens. tangenziali.

N	$= 17400 \text{ N}$	M_x	$= 76100 \text{ Nmm}$	G	$= 75000 \text{ N/mm}^2$
T_y	$= 5810 \text{ N}$	σ_a	$= 240 \text{ N/mm}^2$	σ_{lld}	$=$
M_t	$= 13800 \text{ Nmm}$	E	$= 200000 \text{ N/mm}^2$	σ_{tresca}	$=$
y_g	$=$	$\tau(M_t)$	$=$	σ_{mises}	$=$
u_o	$=$	$\tau(T_{yc})$	$=$	$\sigma_{st.ven}$	$=$
v_o	$=$	$\tau(T_{yb})_d$	$=$	θ_t	$=$
A_n	$=$	$\tau(T_y)_s$	$=$	r_u	$=$
C_w	$=$	$\tau(T_y)_d$	$=$	r_v	$=$
J_u	$=$	σ	$=$	r_o	$=$
J_v	$=$	τ_s	$=$	J_p	$=$
J_t	$=$	σ_{ls}	$=$		
$\sigma(N)$	$=$	σ_{lls}	$=$		
$\sigma(M_x)$	$=$	σ_{ld}	$=$		



Calcolo degli sforzi con forze baricentriche in * punto medio di AB

Rappresentare sul foglio, in scala: G, assi u, v , ellisse d'inertia

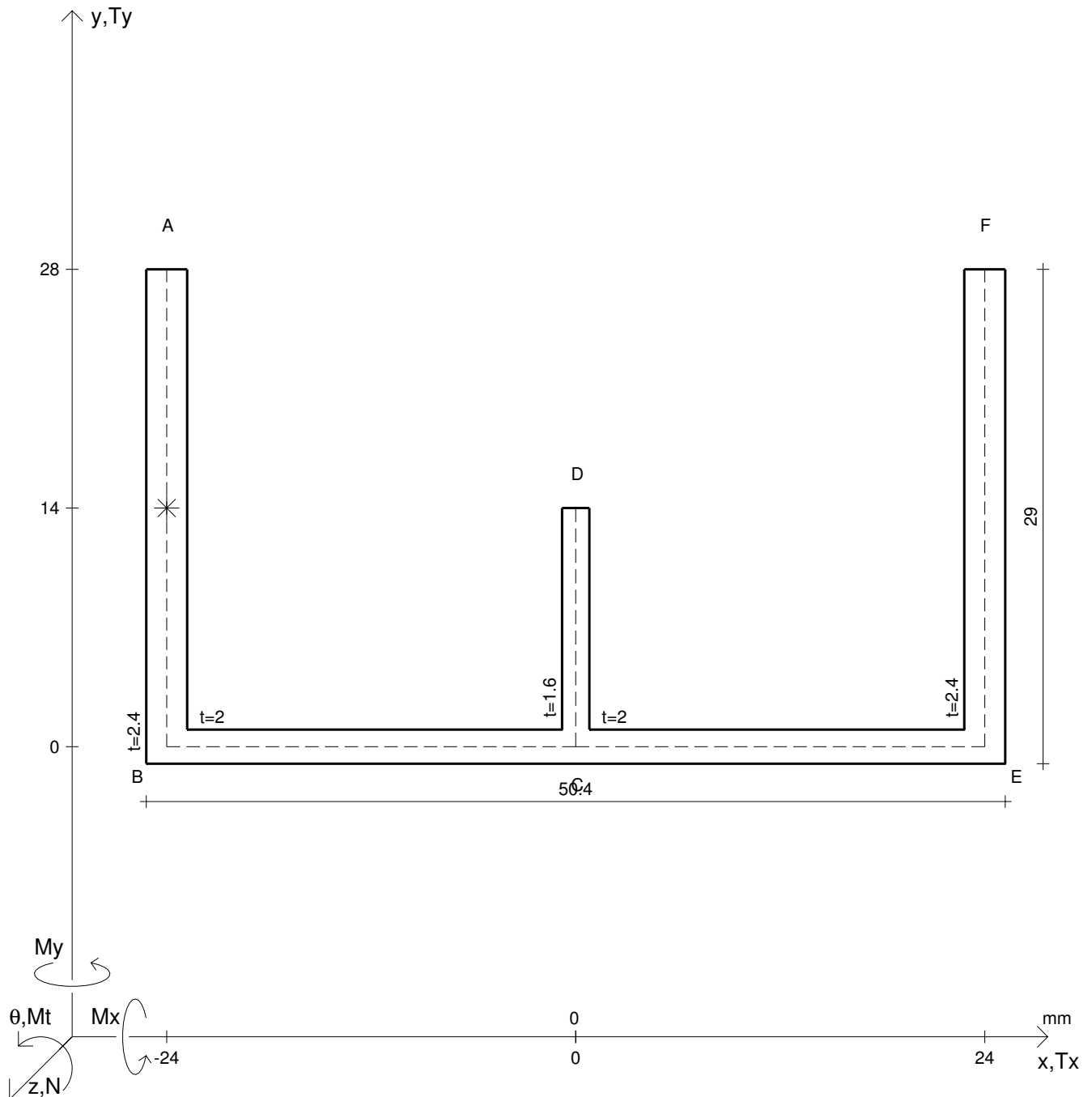
Rappresentare il cerchio di Mohr

Operare le conclusioni sulla verifica di resistenza in *

Facoltativo: rappresentare l'asse neutro e l'andamento delle tens. normali.

Facoltativo: rappresentare l'andamento delle tens. tangenziali.

N	$= 21200 \text{ N}$	M_x	$= 57900 \text{ Nmm}$	G	$= 75000 \text{ N/mm}^2$
T_y	$= 6350 \text{ N}$	σ_a	$= 240 \text{ N/mm}^2$		
M_t	$= 16400 \text{ Nmm}$	E	$= 200000 \text{ N/mm}^2$		
y_g	$=$	$\tau(M_t)$	$=$	σ_{lld}	$=$
u_o	$=$	$\tau(T_{yc})$	$=$	σ_{tresca}	$=$
v_o	$=$	$\tau(T_{yb})_d$	$=$	σ_{mises}	$=$
A_n	$=$	$\tau(T_y)_s$	$=$	$\sigma_{st.ven}$	$=$
C_w	$=$	$\tau(T_y)_d$	$=$	θ_t	$=$
J_u	$=$	σ	$=$	r_u	$=$
J_v	$=$	τ_s	$=$	r_v	$=$
J_t	$=$	σ_{ls}	$=$	r_o	$=$
$\sigma(N)$	$=$	σ_{lls}	$=$	J_p	$=$
$\sigma(M_x)$	$=$	σ_{ld}	$=$		



Calcolo degli sforzi con forze baricentriche in * punto medio di AB

Rappresentare sul foglio, in scala: G, assi u,v, ellisse d'inerzia

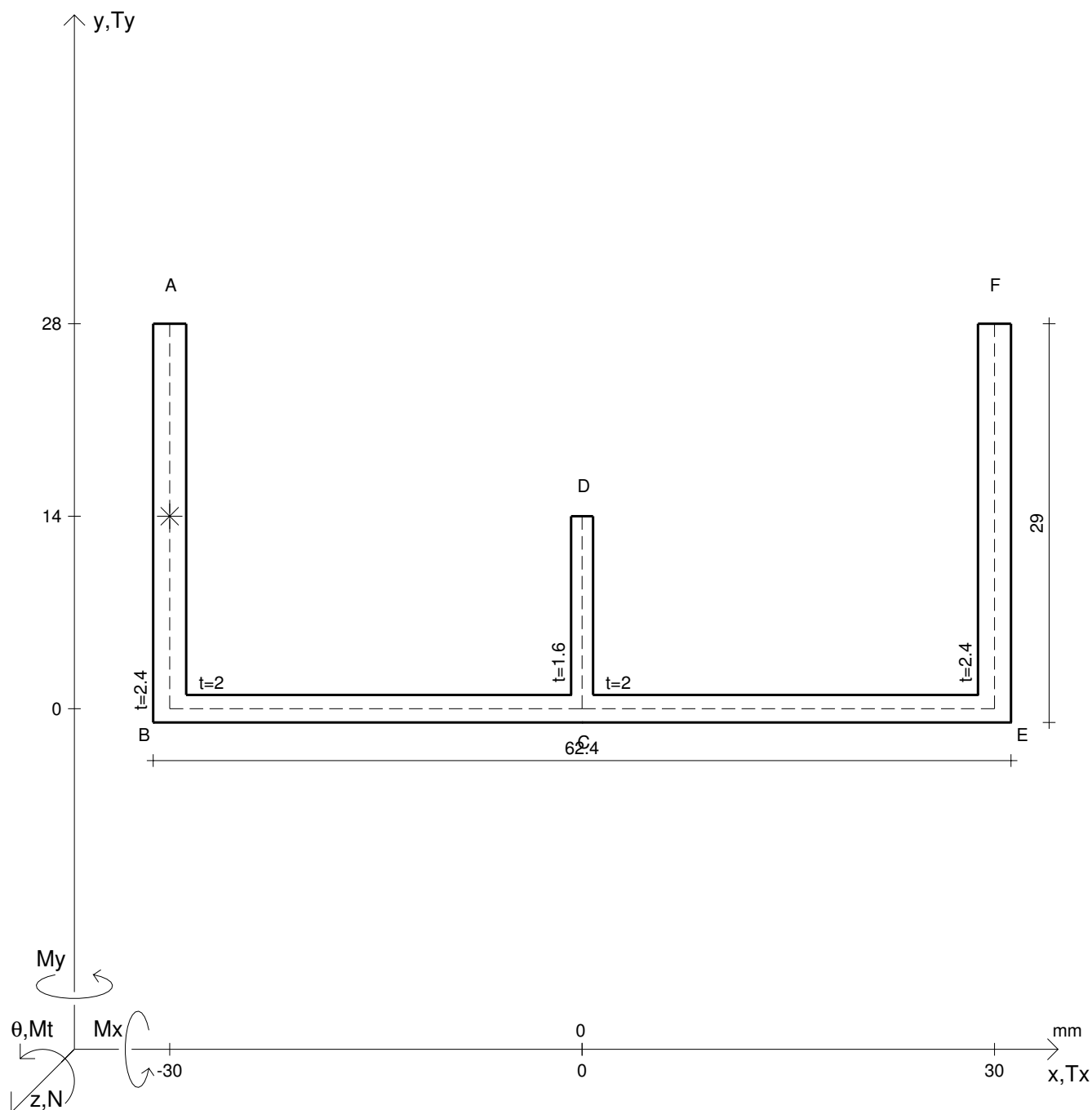
Rappresentare il cerchio di Mohr

Operare le conclusioni sulla verifica di resistenza in *

Facoltativo: rappresentare l'asse neutro e l'andamento delle tens. normali.

Facoltativo: rappresentare l'andamento delle tens. tangenziali.

N	$= 19600 \text{ N}$	M_t	$= 10800 \text{ Nmm}$	σ_a	$= 240 \text{ N/mm}^2$	G	$= 75000 \text{ N/mm}^2$
T_y	$= 5800 \text{ N}$	M_x	$= 71700 \text{ Nmm}$	E	$= 200000 \text{ N/mm}^2$	θ_t	$=$
y_g	$=$	$\sigma(N)$	$=$	τ_s	$=$	r_u	$=$
u_o	$=$	$\sigma(M_x)$	$=$	σ_{ls}	$=$	r_v	$=$
v_o	$=$	$\tau(M_t)$	$=$	σ_{lls}	$=$	r_o	$=$
A_n	$=$	$\tau(T_{yc})$	$=$	σ_{ld}	$=$	J_p	$=$
C_w	$=$	$\tau(T_{yb})_d$	$=$	σ_{lld}	$=$		
J_u	$=$	$\tau(T_y)_s$	$=$	σ_{tresca}	$=$		
J_v	$=$	$\tau(T_y)_d$	$=$	σ_{mises}	$=$		
J_t	$=$	σ	$=$	$\sigma_{st.ven}$	$=$		



Calcolo degli sforzi con forze baricentriche in * punto medio di AB

Rappresentare sul foglio, in scala: G, assi u, v , ellisse d'inertia

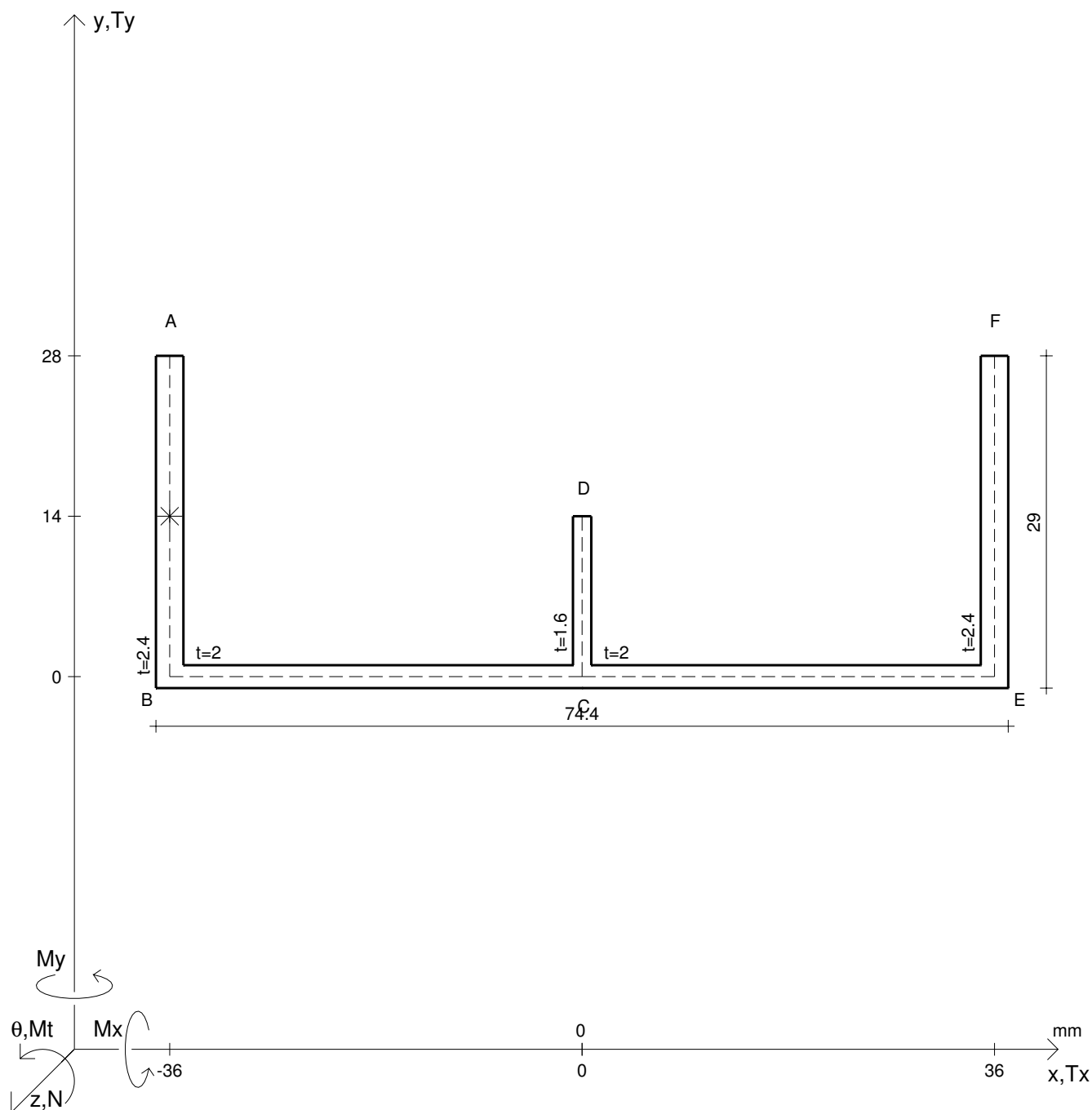
Rappresentare il cerchio di Mohr

Operare le conclusioni sulla verifica di resistenza in *

Facoltativo: rappresentare l'asse neutro e l'andamento delle tens. normali.

Facoltativo: rappresentare l'andamento delle tens. tangenziali.

N	$= 16200 \text{ N}$	M_t	$= -13200 \text{ Nmm}$	σ_a	$= 240 \text{ N/mm}^2$	G	$= 75000 \text{ N/mm}^2$
T_y	$= 6340 \text{ N}$	M_x	$= 83000 \text{ Nmm}$	E	$= 200000 \text{ N/mm}^2$	θ_t	$=$
y_g	$=$	$\sigma(N)$	$=$	τ_s	$=$	r_u	$=$
u_o	$=$	$\sigma(M_x)$	$=$	σ_{ls}	$=$	r_v	$=$
v_o	$=$	$\tau(M_t)$	$=$	σ_{lls}	$=$	r_o	$=$
A_n	$=$	$\tau(T_{yc})$	$=$	σ_{ld}	$=$	J_p	$=$
C_w	$=$	$\tau(T_{yb})_d$	$=$	σ_{lld}	$=$		
J_u	$=$	$\tau(T_y)_s$	$=$	σ_{tresca}	$=$		
J_v	$=$	$\tau(T_y)_d$	$=$	σ_{mises}	$=$		
J_t	$=$	σ	$=$	$\sigma_{st.ven}$	$=$		



Calcolo degli sforzi con forze baricentriche in * punto medio di AB

Rappresentare sul foglio, in scala: G, assi u,v, ellisse d'inertia

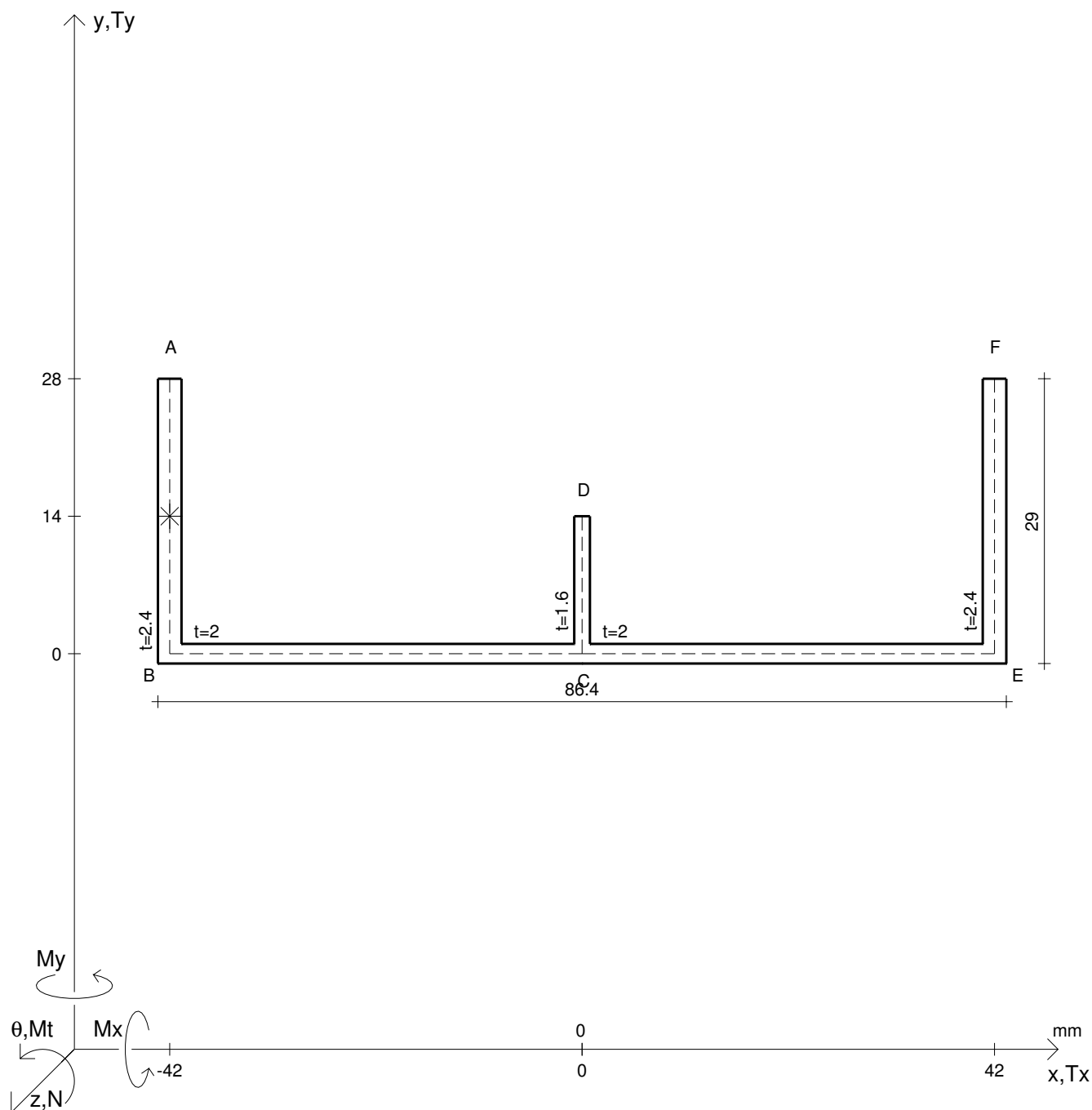
Rappresentare il cerchio di Mohr

Operare le conclusioni sulla verifica di resistenza in *

Facoltativo: rappresentare l'asse neutro e l'andamento delle tens. normali.

Facoltativo: rappresentare l'andamento delle tens. tangenziali.

N	= 20000 N	M_t	= -15700 Nmm	σ_a	= 240 N/mm ²	G	= 75000 N/mm ²
T_y	= 6900 N	M_x	= 63800 Nmm	E	= 200000 N/mm ²	θ_t	=
y_g	=	$\sigma(N)$	=	τ_s	=	r_u	=
u_o	=	$\sigma(M_x)$	=	σ_{ls}	=	r_v	=
v_o	=	$\tau(M_t)$	=	σ_{lls}	=	r_o	=
A_n	=	$\tau(T_{yc})$	=	σ_{ld}	=	J_p	=
C_w	=	$\tau(T_{yb})_d$	=	σ_{lld}	=		
J_u	=	$\tau(T_y)_s$	=	σ_{tresca}	=		
J_v	=	$\tau(T_y)_d$	=	σ_{mises}	=		
J_t	=	σ	=	$\sigma_{st.ven}$	=		



Calcolo degli sforzi con forze baricentriche in * punto medio di AB

Rappresentare sul foglio, in scala: G, assi u,v, ellisse d'inertia

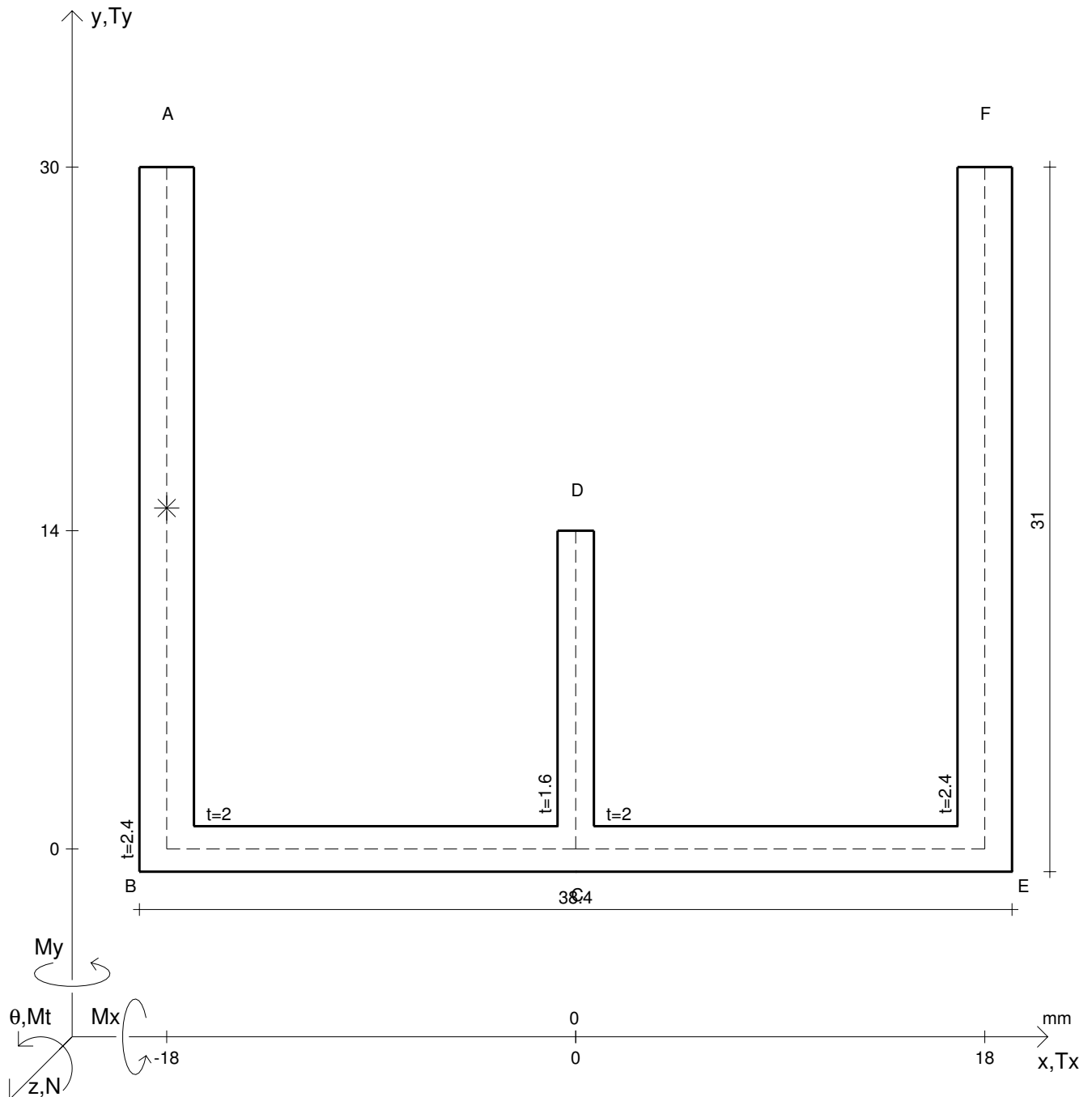
Rappresentare il cerchio di Mohr

Operare le conclusioni sulla verifica di resistenza in *

Facoltativo: rappresentare l'asse neutro e l'andamento delle tens. normali.

Facoltativo: rappresentare l'andamento delle tens. tangenziali.

N	$= 24100 \text{ N}$	M_t	$= 12500 \text{ Nmm}$	σ_a	$= 240 \text{ N/mm}^2$	G	$= 75000 \text{ N/mm}^2$
T_y	$= 7460 \text{ N}$	M_x	$= 73600 \text{ Nmm}$	E	$= 200000 \text{ N/mm}^2$	θ_t	$=$
y_g	$=$	$\sigma(N)$	$=$	τ_s	$=$	r_u	$=$
u_o	$=$	$\sigma(M_x)$	$=$	σ_{ls}	$=$	r_v	$=$
v_o	$=$	$\tau(M_t)$	$=$	σ_{lls}	$=$	r_o	$=$
A_n	$=$	$\tau(T_{yc})$	$=$	σ_{ld}	$=$	J_p	$=$
C_w	$=$	$\tau(T_{yb}/d)$	$=$	σ_{lld}	$=$		
J_u	$=$	$\tau(T_y)_s$	$=$	σ_{tresca}	$=$		
J_v	$=$	$\tau(T_y)_d$	$=$	σ_{mises}	$=$		
J_t	$=$	σ	$=$	$\sigma_{st.ven}$	$=$		



Calcolo degli sforzi con forze baricentriche in * punto medio di AB

Rappresentare sul foglio, in scala: G, assi u,v, ellisse d'inertia

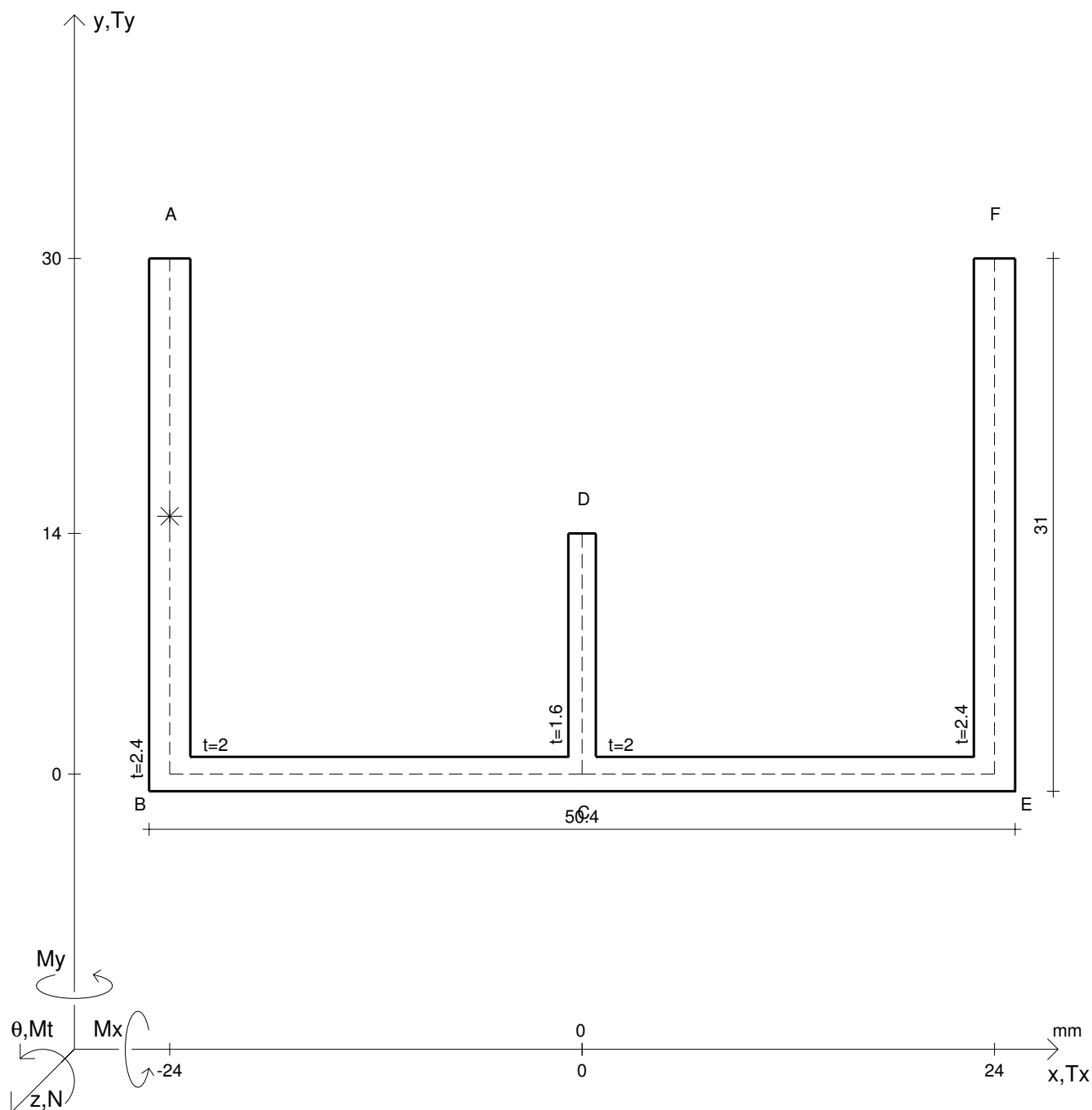
Rappresentare il cerchio di Mohr

Operare le conclusioni sulla verifica di resistenza in *

Facoltativo: rappresentare l'asse neutro e l'andamento delle tens. normali.

Facoltativo: rappresentare l'andamento delle tens. tangenziali.

N	$= 17800 \text{ N}$	M_t	$= 10000 \text{ Nmm}$	σ_a	$= 240 \text{ N/mm}^2$	G	$= 75000 \text{ N/mm}^2$
T_y	$= 6390 \text{ N}$	M_x	$= 74600 \text{ Nmm}$	E	$= 200000 \text{ N/mm}^2$	θ_t	$=$
y_g	$=$	$\sigma(N)$	$=$	τ_s	$=$	r_u	$=$
u_o	$=$	$\sigma(M_x)$	$=$	σ_{ls}	$=$	r_v	$=$
v_o	$=$	$\tau(M_t)$	$=$	σ_{lls}	$=$	r_o	$=$
A_n	$=$	$\tau(T_{yc})$	$=$	σ_{ld}	$=$	J_p	$=$
C_w	$=$	$\tau(T_{yb})_d$	$=$	σ_{lld}	$=$		
J_u	$=$	$\tau(T_y)_s$	$=$	σ_{tresca}	$=$		
J_v	$=$	$\tau(T_y)_d$	$=$	σ_{mises}	$=$		
J_t	$=$	σ	$=$	$\sigma_{st.ven}$	$=$		



Calcolo degli sforzi con forze baricentriche in * punto medio di AB

Rappresentare sul foglio, in scala: G, assi u,v, ellisse d'inerzia

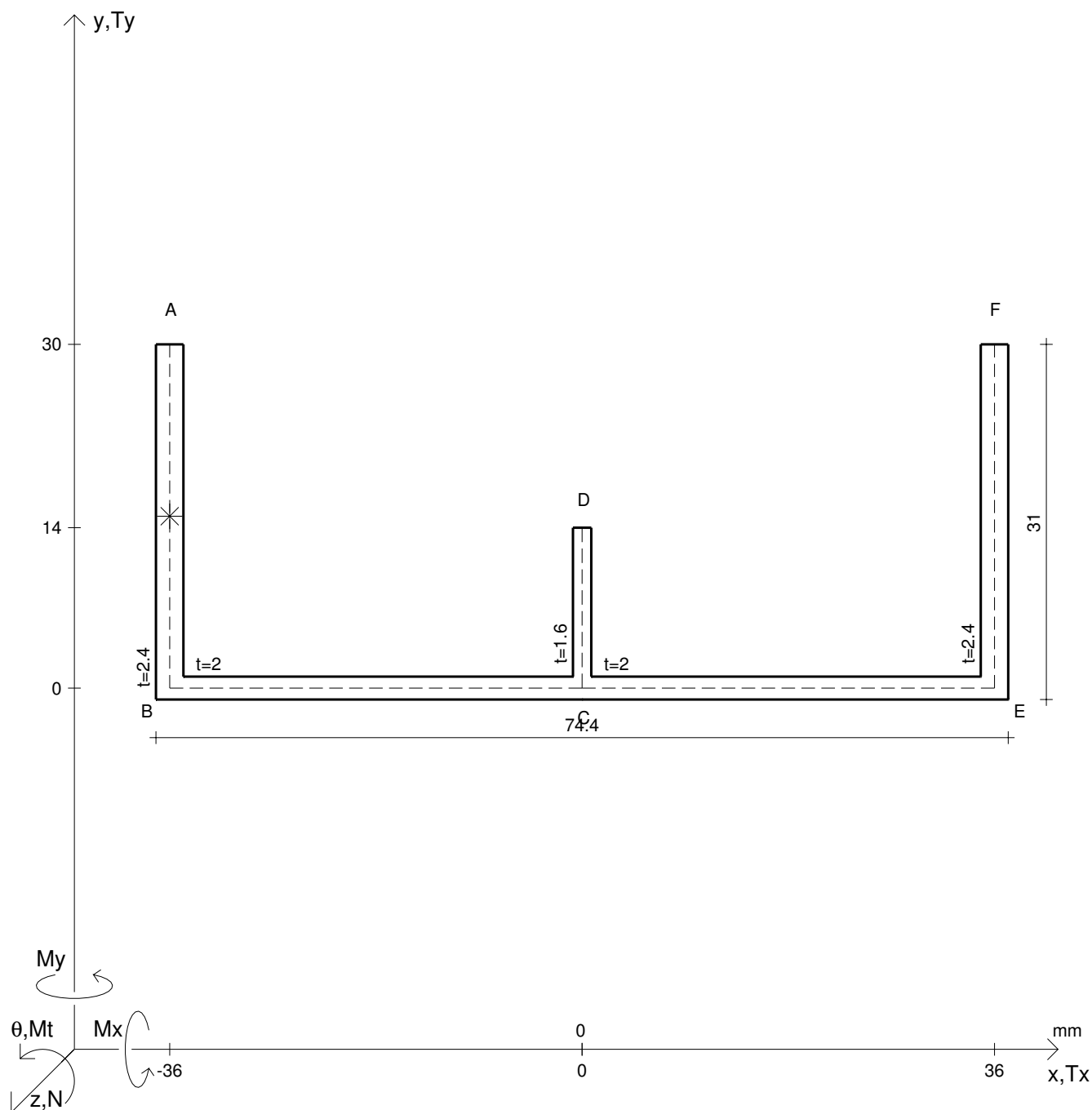
Rappresentare il cerchio di Mohr

Operare le conclusioni sulla verifica di resistenza in *

Facoltativo: rappresentare l'asse neutro e l'andamento delle tens. normali.

Facoltativo: rappresentare l'andamento delle tens. tangenziali.

N	$= 14900 \text{ N}$	M_t	$= 12400 \text{ Nmm}$	σ_a	$= 240 \text{ N/mm}^2$	G	$= 75000 \text{ N/mm}^2$
T_y	$= 6950 \text{ N}$	M_x	$= 88300 \text{ Nmm}$	E	$= 200000 \text{ N/mm}^2$	θ_t	$=$
y_g	$=$	$\sigma(N)$	$=$	τ_s	$=$	r_u	$=$
u_o	$=$	$\sigma(M_x)$	$=$	σ_{ls}	$=$	r_v	$=$
v_o	$=$	$\tau(M_t)$	$=$	σ_{lls}	$=$	r_o	$=$
A_n	$=$	$\tau(T_{yc})$	$=$	σ_{ld}	$=$	J_p	$=$
C_w	$=$	$\tau(T_{yb})_d$	$=$	σ_{lld}	$=$		
J_u	$=$	$\tau(T_y)_s$	$=$	σ_{tresca}	$=$		
J_v	$=$	$\tau(T_y)_d$	$=$	σ_{mises}	$=$		
J_t	$=$	σ	$=$	$\sigma_{st.ven}$	$=$		



Calcolo degli sforzi con forze baricentriche in * punto medio di AB

Rappresentare sul foglio, in scala: G, assi u,v, ellisse d'inerzia

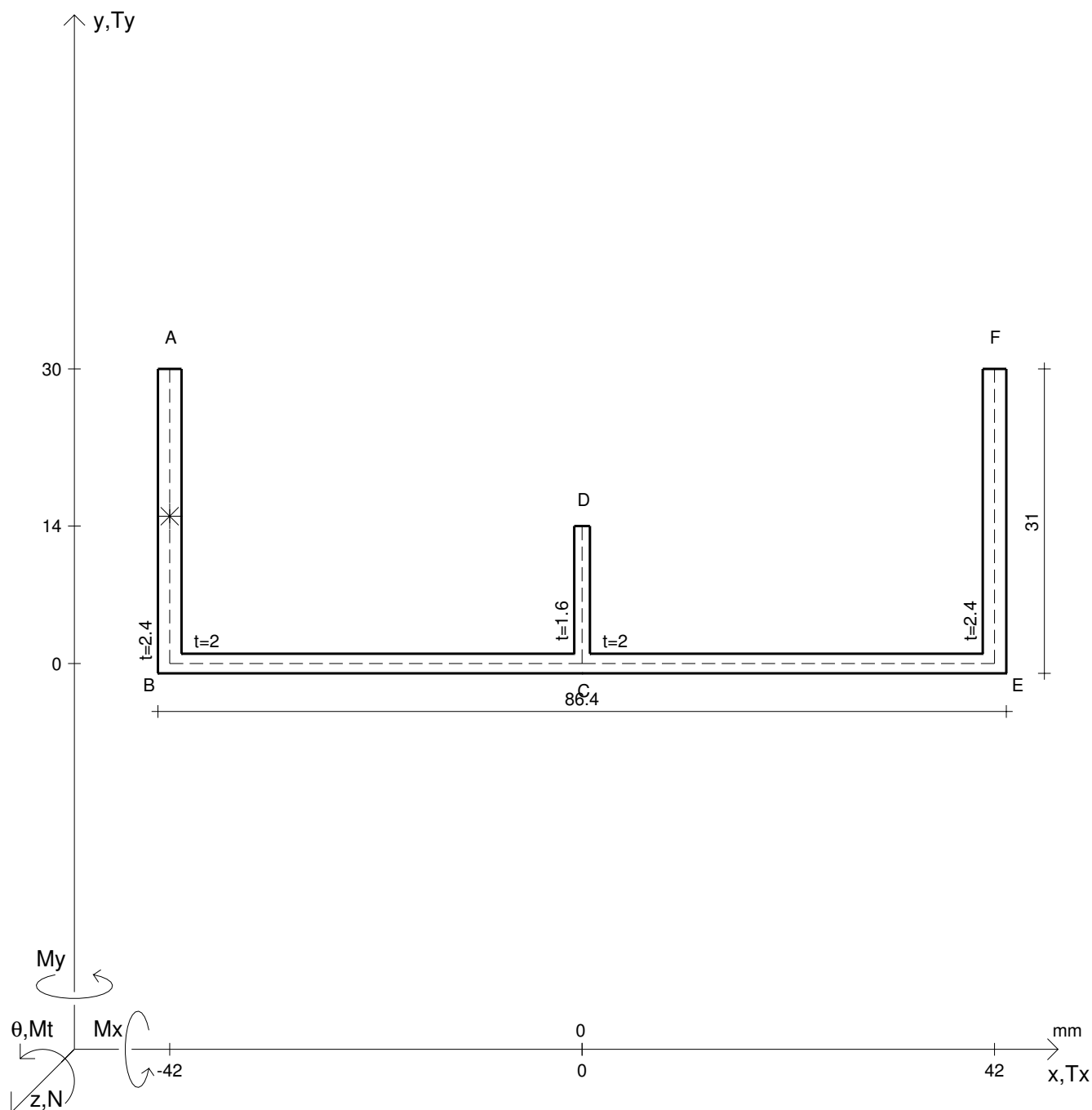
Rappresentare il cerchio di Mohr

Operare le conclusioni sulla verifica di resistenza in *

Facoltativo: rappresentare l'asse neutro e l'andamento delle tens. normali.

Facoltativo: rappresentare l'andamento delle tens. tangenziali.

N	$= 22700 \text{ N}$	M_t	$= 12000 \text{ Nmm}$	σ_a	$= 240 \text{ N/mm}^2$	G	$= 75000 \text{ N/mm}^2$
T_y	$= 8090 \text{ N}$	M_x	$= 80400 \text{ Nmm}$	E	$= 200000 \text{ N/mm}^2$	θ_t	$=$
y_g	$=$	$\sigma(N)$	$=$	τ_s	$=$	r_u	$=$
u_o	$=$	$\sigma(M_x)$	$=$	σ_{ls}	$=$	r_v	$=$
v_o	$=$	$\tau(M_t)$	$=$	σ_{lls}	$=$	r_o	$=$
A_n	$=$	$\tau(T_{yc})$	$=$	σ_{ld}	$=$	J_p	$=$
C_w	$=$	$\tau(T_{yb})_d$	$=$	σ_{lld}	$=$		
J_u	$=$	$\tau(T_y)_s$	$=$	σ_{tresca}	$=$		
J_v	$=$	$\tau(T_y)_d$	$=$	σ_{mises}	$=$		
J_t	$=$	σ	$=$	$\sigma_{st.ven}$	$=$		



Calcolo degli sforzi con forze baricentriche in * punto medio di AB

Rappresentare sul foglio, in scala: G, assi u,v, ellisse d'inertia

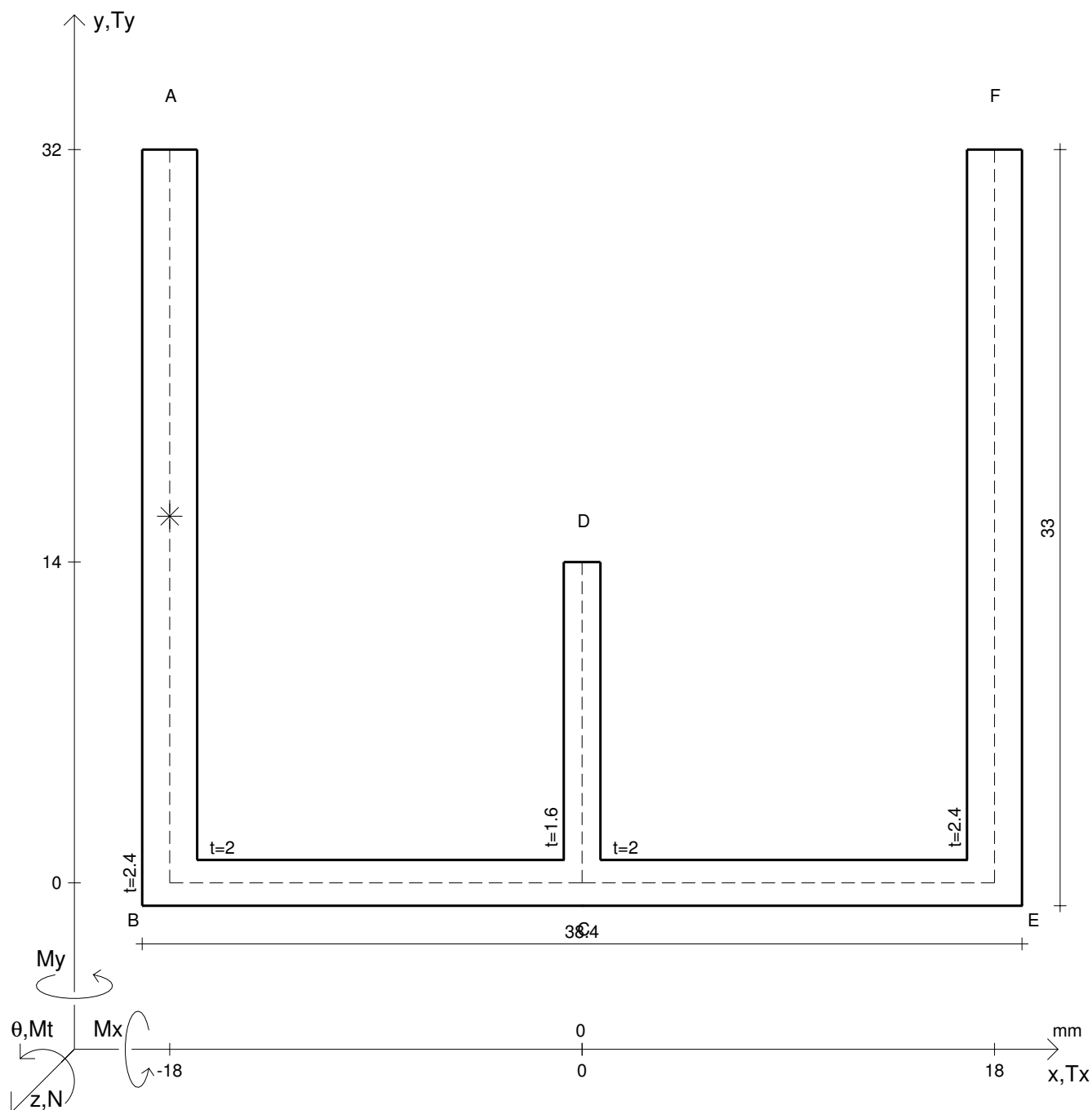
Rappresentare il cerchio di Mohr

Operare le conclusioni sulla verifica di resistenza in *

Facoltativo: rappresentare l'asse neutro e l'andamento delle tens. normali.

Facoltativo: rappresentare l'andamento delle tens. tangenziali.

N	$= 27100 \text{ N}$	M_t	$= 14500 \text{ Nmm}$	σ_a	$= 240 \text{ N/mm}^2$	G	$= 75000 \text{ N/mm}^2$
T_y	$= 5900 \text{ N}$	M_x	$= 91800 \text{ Nmm}$	E	$= 200000 \text{ N/mm}^2$	θ_t	$=$
y_g	$=$	$\sigma(N)$	$=$	τ_s	$=$	r_u	$=$
u_o	$=$	$\sigma(M_x)$	$=$	σ_{ls}	$=$	r_v	$=$
v_o	$=$	$\tau(M_t)$	$=$	σ_{lls}	$=$	r_o	$=$
A_n	$=$	$\tau(T_{yc})$	$=$	σ_{ld}	$=$	J_p	$=$
C_w	$=$	$\tau(T_{yb/d})$	$=$	σ_{lld}	$=$		
J_u	$=$	$\tau(T_y)_s$	$=$	σ_{tresca}	$=$		
J_v	$=$	$\tau(T_y)_d$	$=$	σ_{mises}	$=$		
J_t	$=$	σ	$=$	$\sigma_{st.ven}$	$=$		



Calcolo degli sforzi con forze baricentriche in * punto medio di AB

Rappresentare sul foglio, in scala: G, assi u,v, ellisse d'inertia

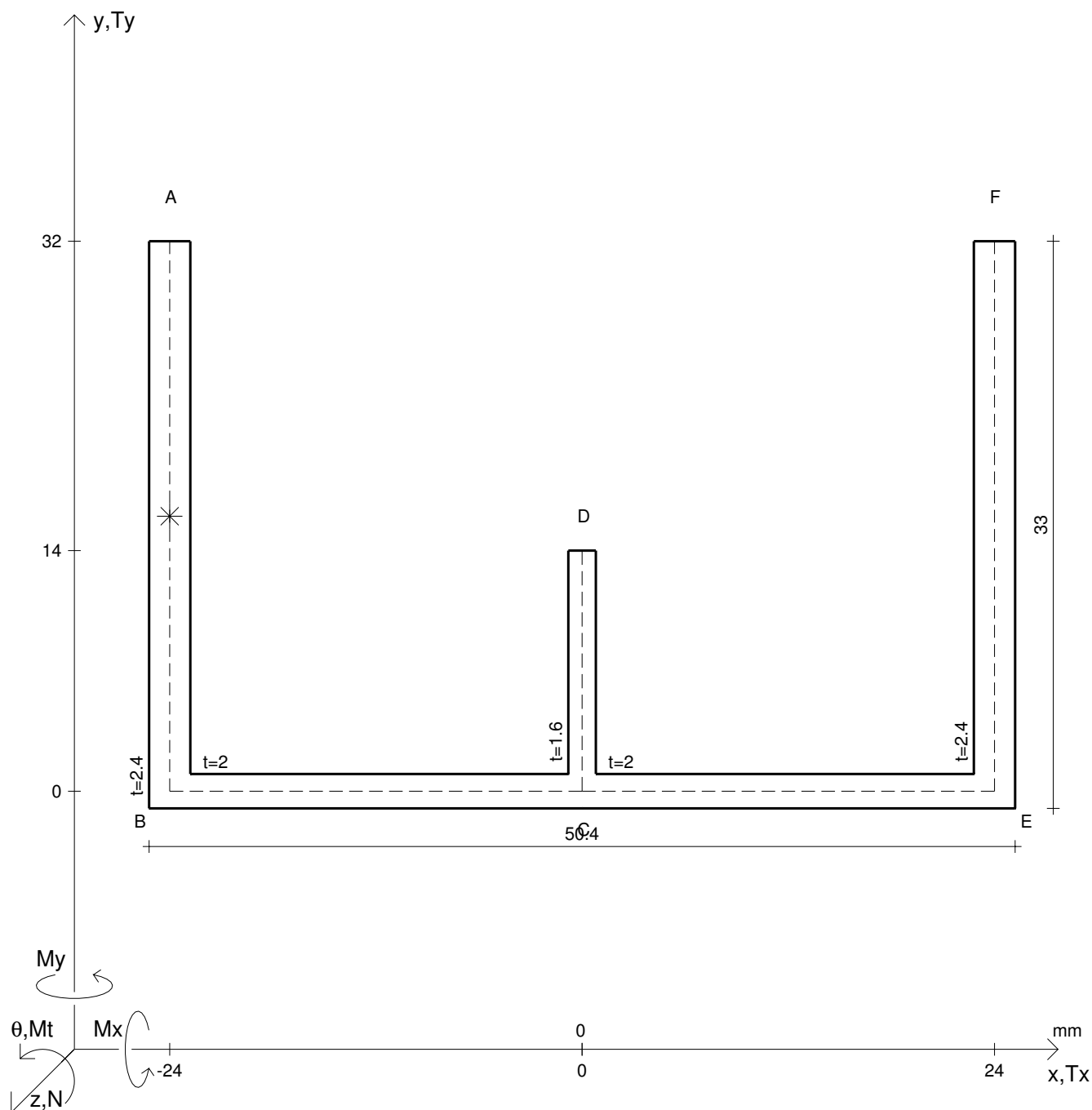
Rappresentare il cerchio di Mohr

Operare le conclusioni sulla verifica di resistenza in *

Facoltativo: rappresentare l'asse neutro e l'andamento delle tens. normali.

Facoltativo: rappresentare l'andamento delle tens. tangenziali.

N	= 13700 N	M _t	= -11600 Nmm	σ _a	= 240 N/mm ²	G	= 75000 N/mm ²
T _y	= 7560 N	M _x	= 91900 Nmm	E	= 200000 N/mm ²	θ _t	=
y _g	=	σ(N)	=	τ _s	=	r _u	=
u _o	=	σ(M _x)	=	σ _{ls}	=	r _v	=
v _o	=	τ(M _t)	=	σ _{lls}	=	r _o	=
A _n	=	τ(T _{yc})	=	σ _{ld}	=	J _p	=
C _w	=	τ(T _{yb}) _d	=	σ _{lld}	=		
J _u	=	τ(T _y) _s	=	σ _{tresca}	=		
J _v	=	τ(T _y) _d	=	σ _{mises}	=		
J _t	=	σ	=	σ _{st.ven}	=		



Calcolo degli sforzi con forze baricentriche in * punto medio di AB

Rappresentare sul foglio, in scala: G, assi u,v, ellisse d'inerzia

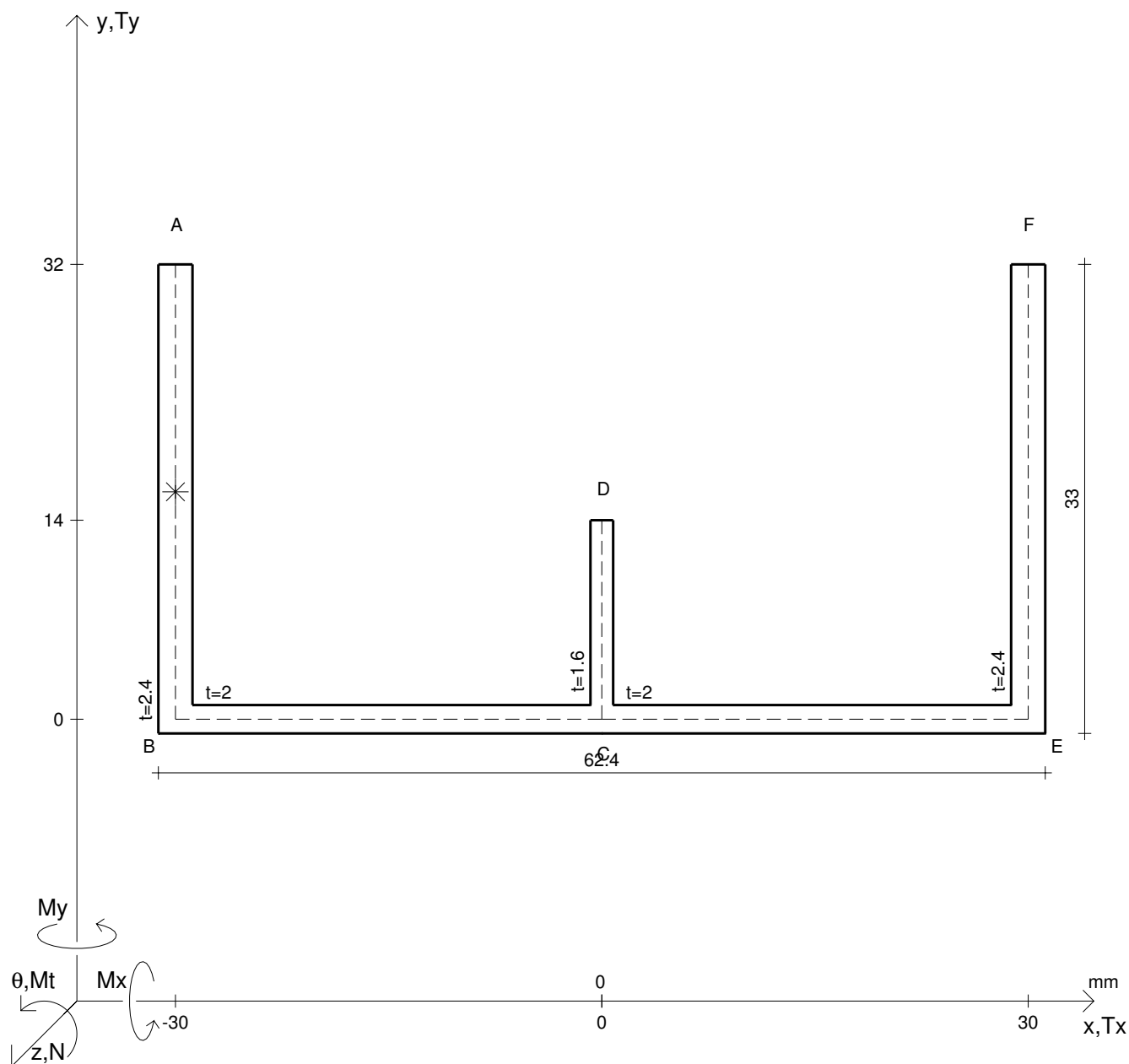
Rappresentare il cerchio di Mohr

Operare le conclusioni sulla verifica di resistenza in *

Facoltativo: rappresentare l'asse neutro e l'andamento delle tens. normali.

Facoltativo: rappresentare l'andamento delle tens. tangenziali.

N	$= 17200 \text{ N}$	M_t	$= -14100 \text{ Nmm}$	σ_a	$= 240 \text{ N/mm}^2$	G	$= 75000 \text{ N/mm}^2$
T_y	$= 8210 \text{ N}$	M_x	$= 72900 \text{ Nmm}$	E	$= 200000 \text{ N/mm}^2$	θ_t	$=$
y_g	$=$	$\sigma(N)$	$=$	τ_s	$=$	r_u	$=$
u_o	$=$	$\sigma(M_x)$	$=$	σ_{ls}	$=$	r_v	$=$
v_o	$=$	$\tau(M_t)$	$=$	σ_{lls}	$=$	r_o	$=$
A_n	$=$	$\tau(T_{yc})$	$=$	σ_{ld}	$=$	J_p	$=$
C_w	$=$	$\tau(T_{yb})_d$	$=$	σ_{lld}	$=$		
J_u	$=$	$\tau(T_y)_s$	$=$	σ_{tresca}	$=$		
J_v	$=$	$\tau(T_y)_d$	$=$	σ_{mises}	$=$		
J_t	$=$	σ	$=$	$\sigma_{st.ven}$	$=$		



Calcolo degli sforzi con forze baricentriche in * punto medio di AB

Rappresentare sul foglio, in scala: G, assi u,v, ellisse d'inertia

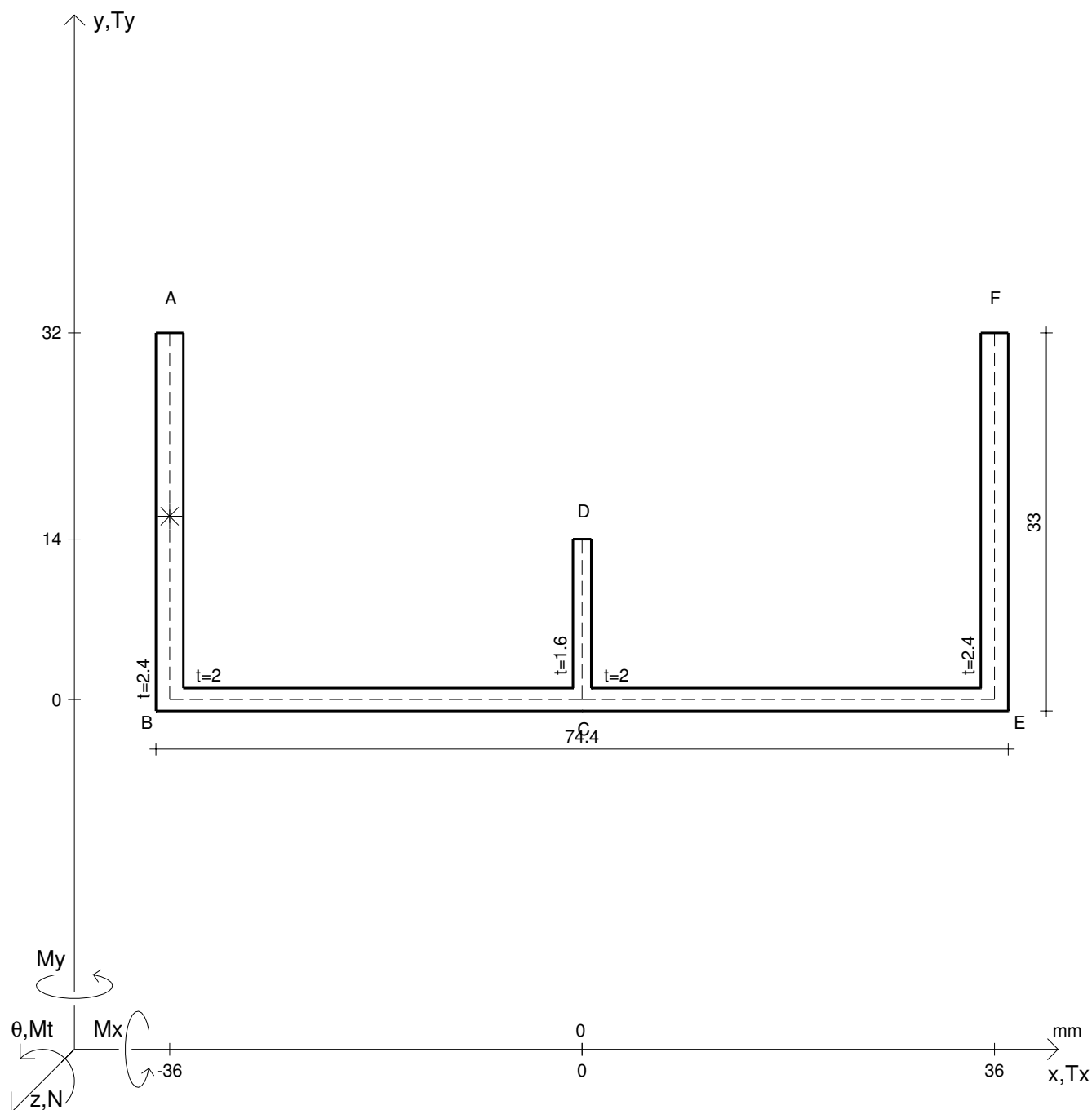
Rappresentare il cerchio di Mohr

Operare le conclusioni sulla verifica di resistenza in *

Facoltativo: rappresentare l'asse neutro e l'andamento delle tens. normali.

Facoltativo: rappresentare l'andamento delle tens. tangenziali.

N	$= 21200 \text{ N}$	M_x	$= 86200 \text{ Nmm}$	G	$= 75000 \text{ N/mm}^2$
T_y	$= 8790 \text{ N}$	σ_a	$= 240 \text{ N/mm}^2$		
M_t	$= 11400 \text{ Nmm}$	E	$= 200000 \text{ N/mm}^2$		
y_g	$=$	$\tau(M_t)$	$=$	σ_{lld}	$=$
u_o	$=$	$\tau(T_{yc})$	$=$	σ_{tresca}	$=$
v_o	$=$	$\tau(T_{yb})_d$	$=$	σ_{mises}	$=$
A_n	$=$	$\tau(T_y)_s$	$=$	$\sigma_{st.ven}$	$=$
C_w	$=$	$\tau(T_y)_d$	$=$	θ_t	$=$
J_u	$=$	σ	$=$	r_u	$=$
J_v	$=$	τ_s	$=$	r_v	$=$
J_t	$=$	σ_{ls}	$=$	r_o	$=$
$\sigma(N)$	$=$	σ_{lls}	$=$	J_p	$=$
$\sigma(M_x)$	$=$	σ_{ld}	$=$		



Calcolo degli sforzi con forze baricentriche in * punto medio di AB

Rappresentare sul foglio, in scala: G, assi u,v, ellisse d'inerzia

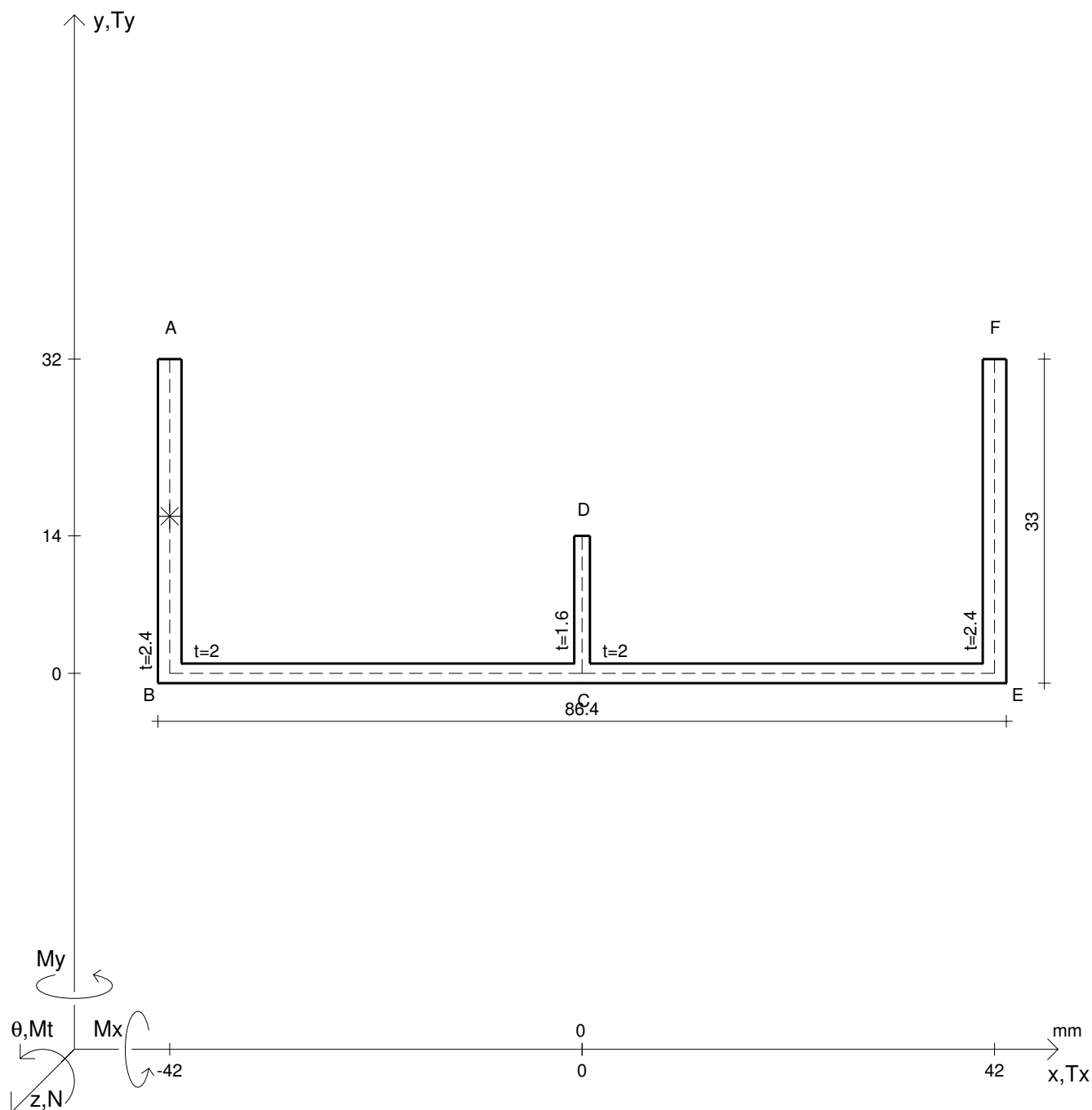
Rappresentare il cerchio di Mohr

Operare le conclusioni sulla verifica di resistenza in *

Facoltativo: rappresentare l'asse neutro e l'andamento delle tens. normali.

Facoltativo: rappresentare l'andamento delle tens. tangenziali.

N	$= 25500 \text{ N}$	M_t	$= -13900 \text{ Nmm}$	σ_a	$= 240 \text{ N/mm}^2$	G	$= 75000 \text{ N/mm}^2$
T_y	$= 6380 \text{ N}$	M_x	$= 99500 \text{ Nmm}$	E	$= 200000 \text{ N/mm}^2$	θ_t	$=$
y_g	$=$	$\sigma(N)$	$=$	τ_s	$=$	r_u	$=$
u_o	$=$	$\sigma(M_x)$	$=$	σ_{ls}	$=$	r_v	$=$
v_o	$=$	$\tau(M_t)$	$=$	σ_{lls}	$=$	r_o	$=$
A_n	$=$	$\tau(T_{yc})$	$=$	σ_{ld}	$=$	J_p	$=$
C_w	$=$	$\tau(T_{yb})_d$	$=$	σ_{lld}	$=$		
J_u	$=$	$\tau(T_y)_s$	$=$	σ_{tresca}	$=$		
J_v	$=$	$\tau(T_y)_d$	$=$	σ_{mises}	$=$		
J_t	$=$	σ	$=$	$\sigma_{st.ven}$	$=$		



Calcolo degli sforzi con forze baricentriche in * punto medio di AB

Rappresentare sul foglio, in scala: G, assi u,v, ellisse d'inertia

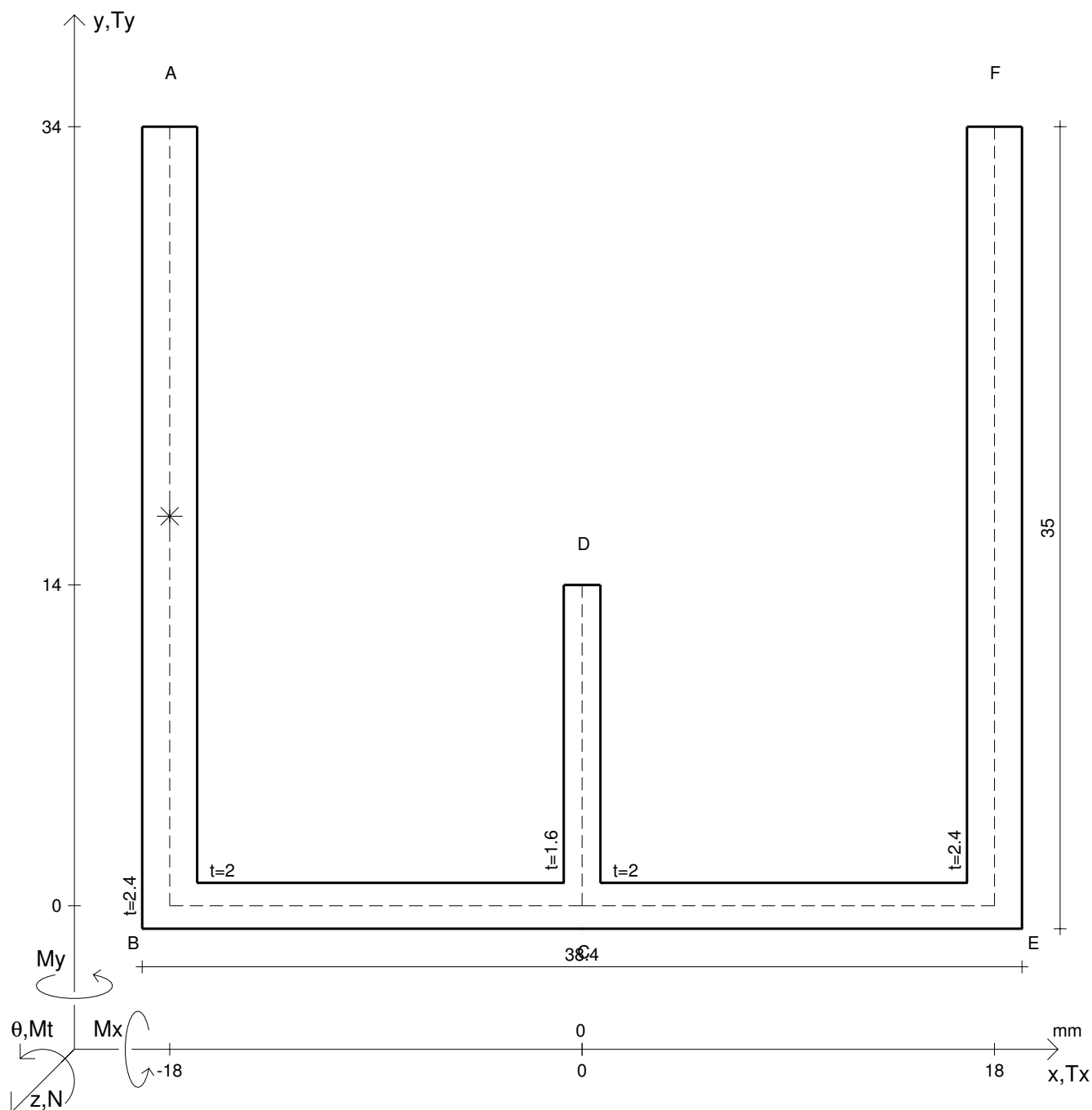
Rappresentare il cerchio di Mohr

Operare le conclusioni sulla verifica di resistenza in *

Facoltativo: rappresentare l'asse neutro e l'andamento delle tens. normali.

Facoltativo: rappresentare l'andamento delle tens. tangenziali.

N	$= 20500 \text{ N}$	M_t	$= 16500 \text{ Nmm}$	σ_a	$= 240 \text{ N/mm}^2$	G	$= 75000 \text{ N/mm}^2$
T_y	$= 7030 \text{ N}$	M_x	$= 112000 \text{ Nmm}$	E	$= 200000 \text{ N/mm}^2$	θ_t	$=$
y_g	$=$	$\sigma(N)$	$=$	τ_s	$=$	r_u	$=$
u_o	$=$	$\sigma(M_x)$	$=$	σ_{ls}	$=$	r_v	$=$
v_o	$=$	$\tau(M_t)$	$=$	σ_{lls}	$=$	r_o	$=$
A_n	$=$	$\tau(T_{yc})$	$=$	σ_{ld}	$=$	J_p	$=$
C_w	$=$	$\tau(T_{yb/d})$	$=$	σ_{lld}	$=$		
J_u	$=$	$\tau(T_y)_s$	$=$	σ_{tresca}	$=$		
J_v	$=$	$\tau(T_y)_d$	$=$	σ_{mises}	$=$		
J_t	$=$	σ	$=$	$\sigma_{st.ven}$	$=$		



Calcolo degli sforzi con forze baricentriche in * punto medio di AB

Rappresentare sul foglio, in scala: G, assi u,v, ellisse d'inerzia

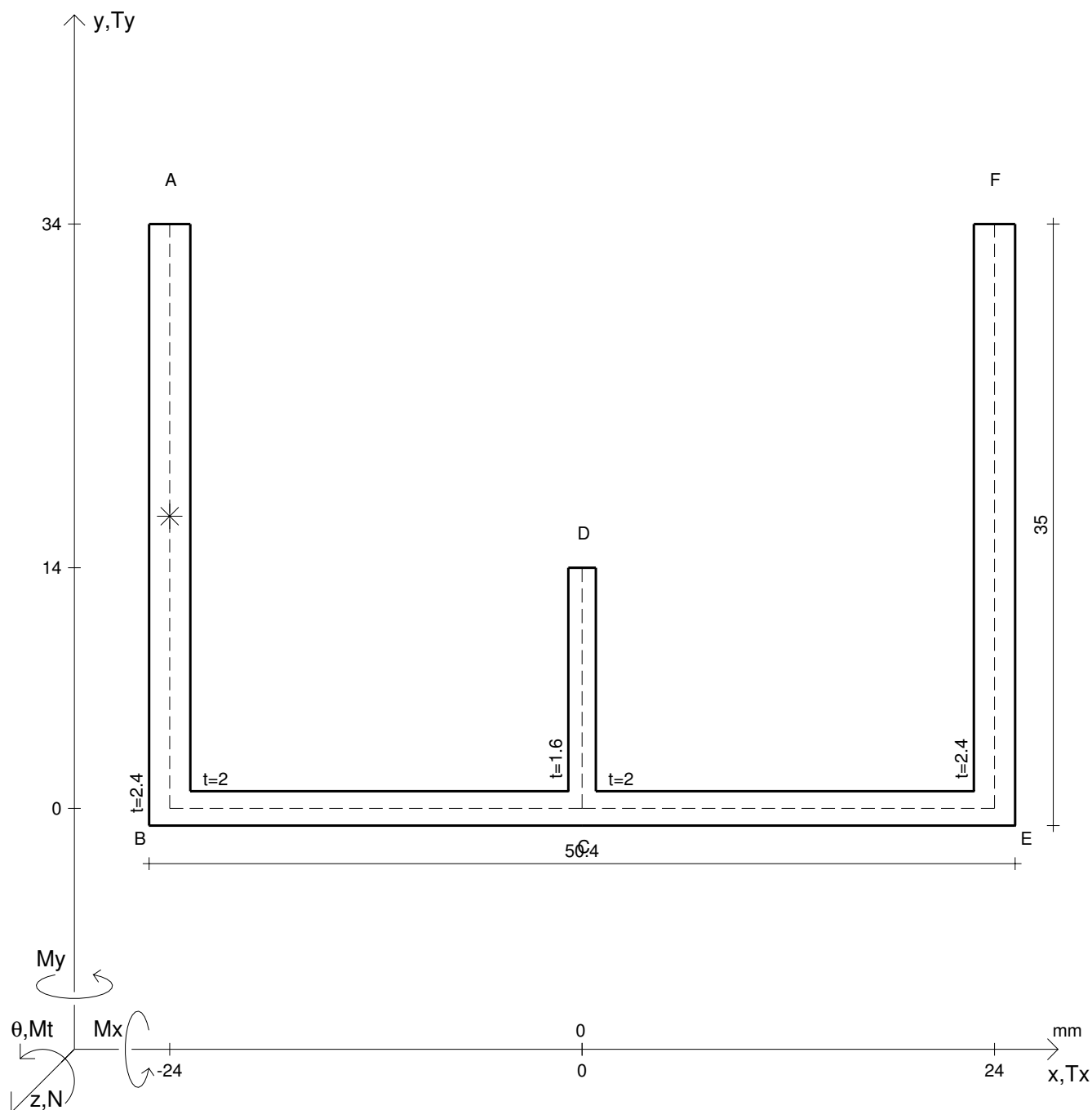
Rappresentare il cerchio di Mohr

Operare le conclusioni sulla verifica di resistenza in *

Facoltativo: rappresentare l'asse neutro e l'andamento delle tens. normali.

Facoltativo: rappresentare l'andamento delle tens. tangenziali.

N	= 15900 N	M _t	= -13300 Nmm	σ _a	= 240 N/mm ²	G	= 75000 N/mm ²
T _y	= 8830 N	M _x	= 75900 Nmm	E	= 200000 N/mm ²	θ _t	=
y _g	=	σ(N)	=	τ _s	=	r _u	=
u _o	=	σ(M _x)	=	σ _{ls}	=	r _v	=
v _o	=	τ(M _t)	=	σ _{lls}	=	r _o	=
A _n	=	τ(T _{yc})	=	σ _{ld}	=	J _p	=
C _w	=	τ(T _{yb}) _d	=	σ _{lld}	=		
J _u	=	τ(T _y) _s	=	σ _{tresca}	=		
J _v	=	τ(T _y) _d	=	σ _{mises}	=		
J _t	=	σ	=	σ _{st.ven}	=		



Calcolo degli sforzi con forze baricentriche in * punto medio di AB

Rappresentare sul foglio, in scala: G, assi u,v, ellisse d'inerzia

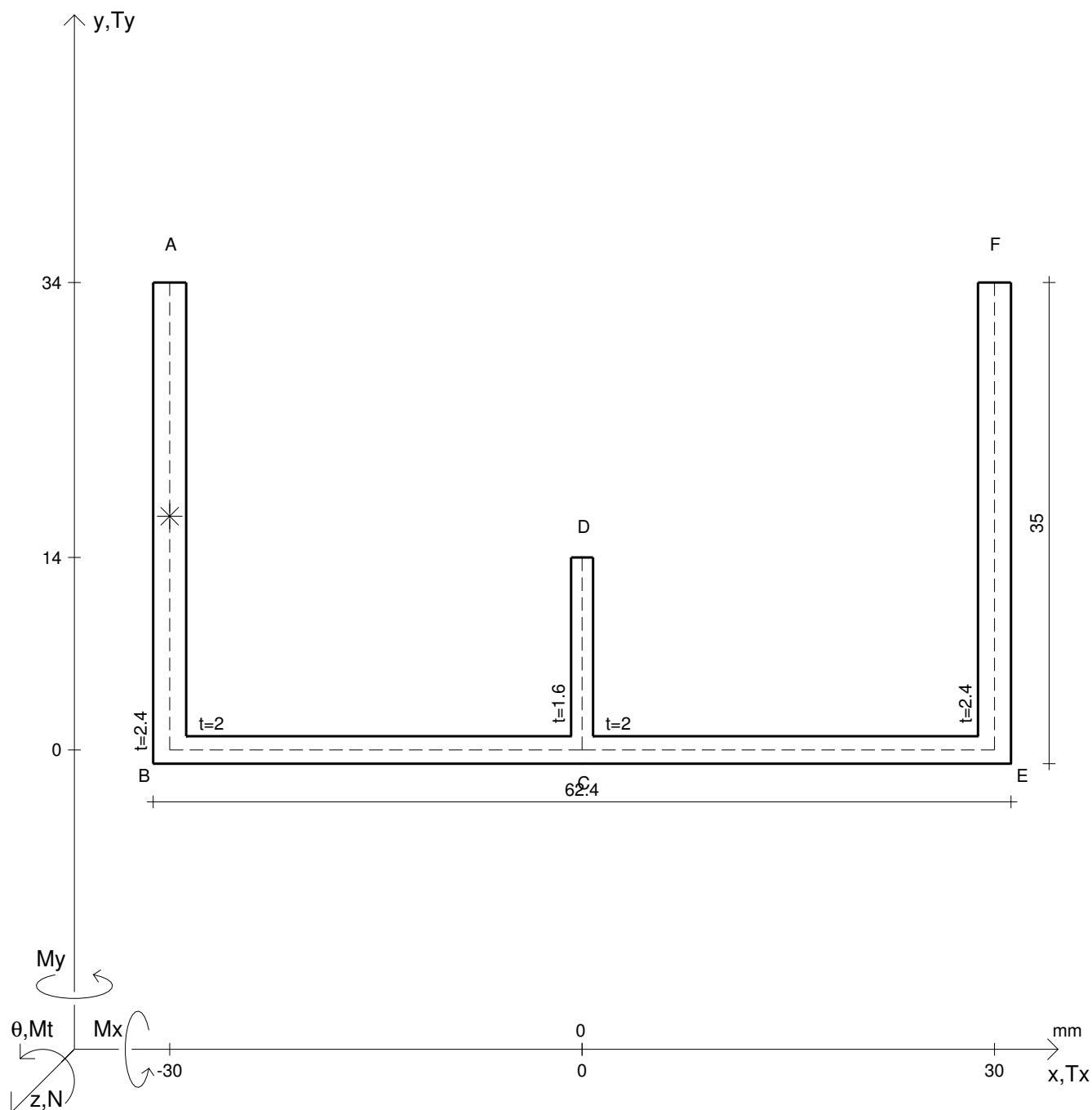
Rappresentare il cerchio di Mohr

Operare le conclusioni sulla verifica di resistenza in *

Facoltativo: rappresentare l'asse neutro e l'andamento delle tens. normali.

Facoltativo: rappresentare l'andamento delle tens. tangenziali.

N	= 19600 N	M _t	= -10800 Nmm	σ _a	= 240 N/mm ²	G	= 75000 N/mm ²
T _y	= 9590 N	M _x	= 90300 Nmm	E	= 200000 N/mm ²	θ _t	=
y _g	=	σ(N)	=	τ _s	=	r _u	=
u _o	=	σ(M _x)	=	σ _{ls}	=	r _v	=
v _o	=	τ(M _t)	=	σ _{lls}	=	r _o	=
A _n	=	τ(T _{yc})	=	σ _{ld}	=	J _p	=
C _w	=	τ(T _{yb}) _d	=	σ _{lld}	=		
J _u	=	τ(T _y) _s	=	σ _{tresca}	=		
J _v	=	τ(T _y) _d	=	σ _{mises}	=		
J _t	=	σ	=	σ _{st.ven}	=		



Calcolo degli sforzi con forze baricentriche in * punto medio di AB

Rappresentare sul foglio, in scala: G, assi u,v, ellisse d'inerzia

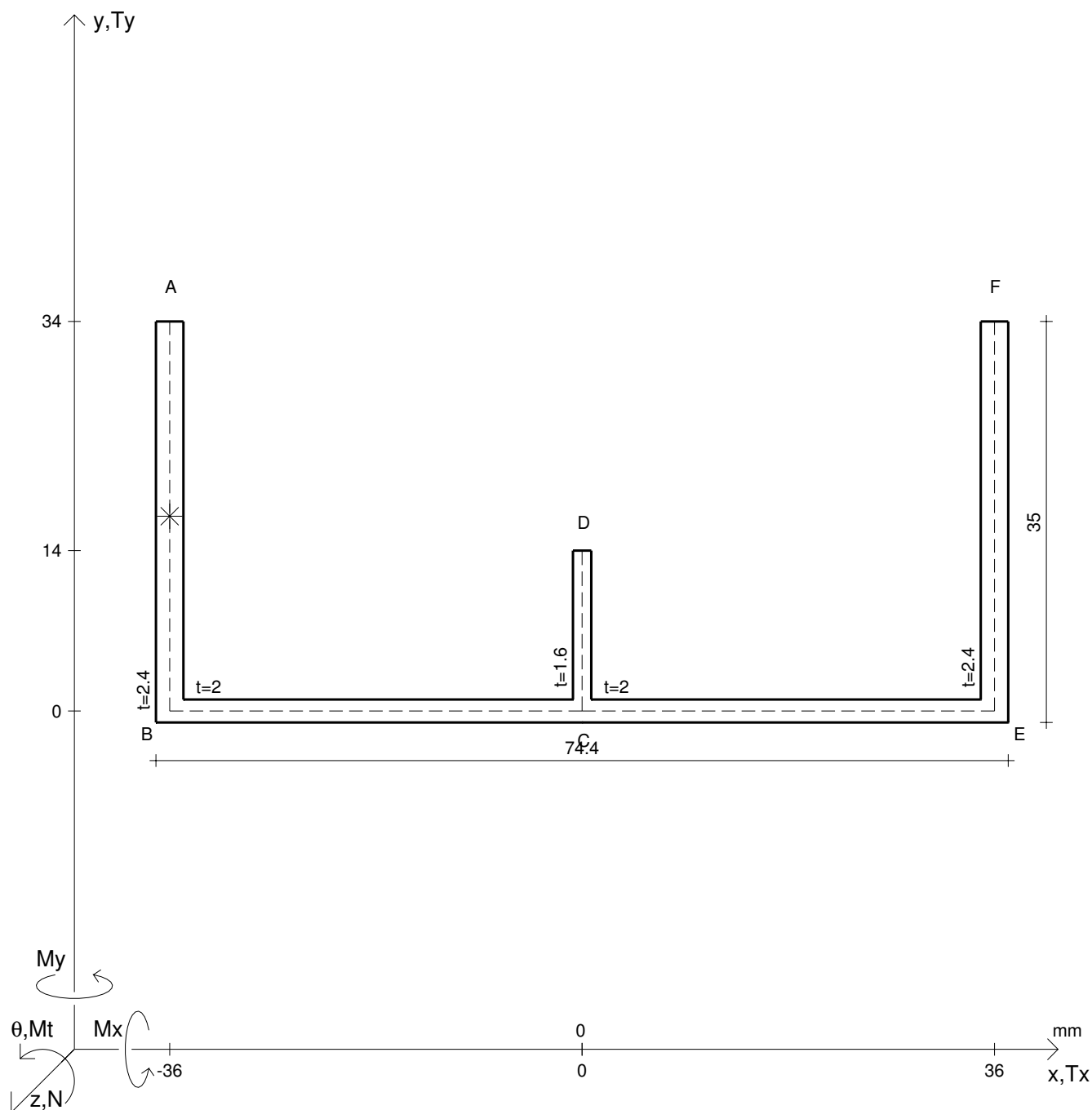
Rappresentare il cerchio di Mohr

Operare le conclusioni sulla verifica di resistenza in *

Facoltativo: rappresentare l'asse neutro e l'andamento delle tens. normali.

Facoltativo: rappresentare l'andamento delle tens. tangenziali.

N	= 23800 N	M _t	= -13200 Nmm	σ _a	= 240 N/mm ²	G	= 75000 N/mm ²
T _y	= 6920 N	M _x	= 105000 Nmm	E	= 200000 N/mm ²	θ _t	=
y _g	=	σ(N)	=	τ _s	=	r _u	=
u _o	=	σ(M _x)	=	σ _{ls}	=	r _v	=
v _o	=	τ(M _t)	=	σ _{lls}	=	r _o	=
A _n	=	τ(T _{yc})	=	σ _{ld}	=	J _p	=
C _w	=	τ(T _{yb}) _d	=	σ _{lld}	=		
J _u	=	τ(T _y) _s	=	σ _{tresca}	=		
J _v	=	τ(T _y) _d	=	σ _{mises}	=		
J _t	=	σ	=	σ _{st.ven}	=		



Calcolo degli sforzi con forze baricentriche in * punto medio di AB

Rappresentare sul foglio, in scala: G, assi u,v, ellisse d'inertia

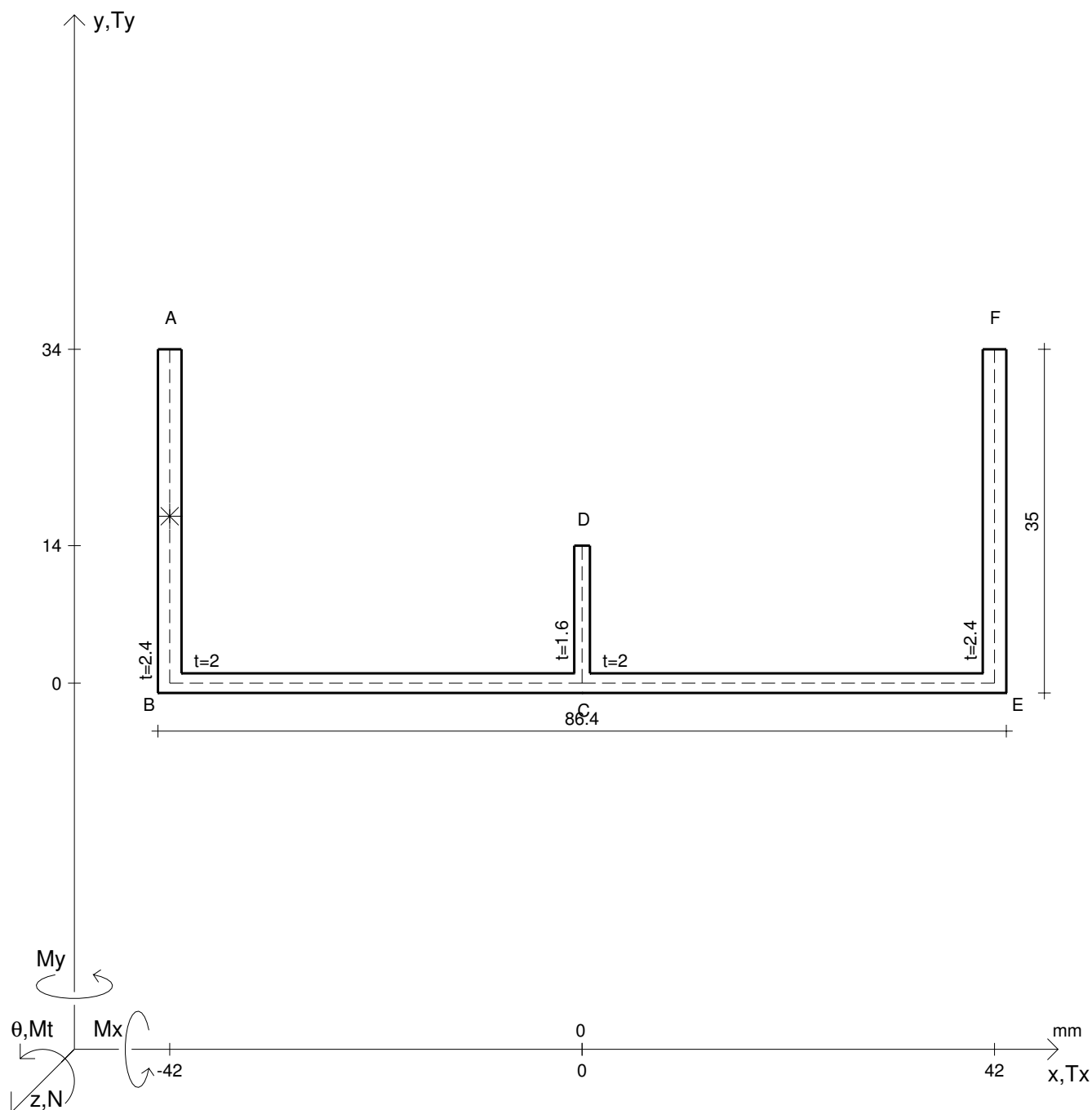
Rappresentare il cerchio di Mohr

Operare le conclusioni sulla verifica di resistenza in *

Facoltativo: rappresentare l'asse neutro e l'andamento delle tens. normali.

Facoltativo: rappresentare l'andamento delle tens. tangenziali.

N	$= 19300 \text{ N}$	M_t	$= 15800 \text{ Nmm}$	σ_a	$= 240 \text{ N/mm}^2$	G	$= 75000 \text{ N/mm}^2$
T_y	$= 7590 \text{ N}$	M_x	$= 121000 \text{ Nmm}$	E	$= 200000 \text{ N/mm}^2$	θ_t	$=$
y_g	$=$	$\sigma(N)$	$=$	τ_s	$=$	r_u	$=$
u_o	$=$	$\sigma(M_x)$	$=$	σ_{ls}	$=$	r_v	$=$
v_o	$=$	$\tau(M_t)$	$=$	σ_{lls}	$=$	r_o	$=$
A_n	$=$	$\tau(T_{yc})$	$=$	σ_{ld}	$=$	J_p	$=$
C_w	$=$	$\tau(T_{yb})_d$	$=$	σ_{lld}	$=$		
J_u	$=$	$\tau(T_y)_s$	$=$	σ_{tresca}	$=$		
J_v	$=$	$\tau(T_y)_d$	$=$	σ_{mises}	$=$		
J_t	$=$	σ	$=$	$\sigma_{st.ven}$	$=$		



Calcolo degli sforzi con forze baricentriche in * punto medio di AB

Rappresentare sul foglio, in scala: G, assi u,v, ellisse d'inerzia

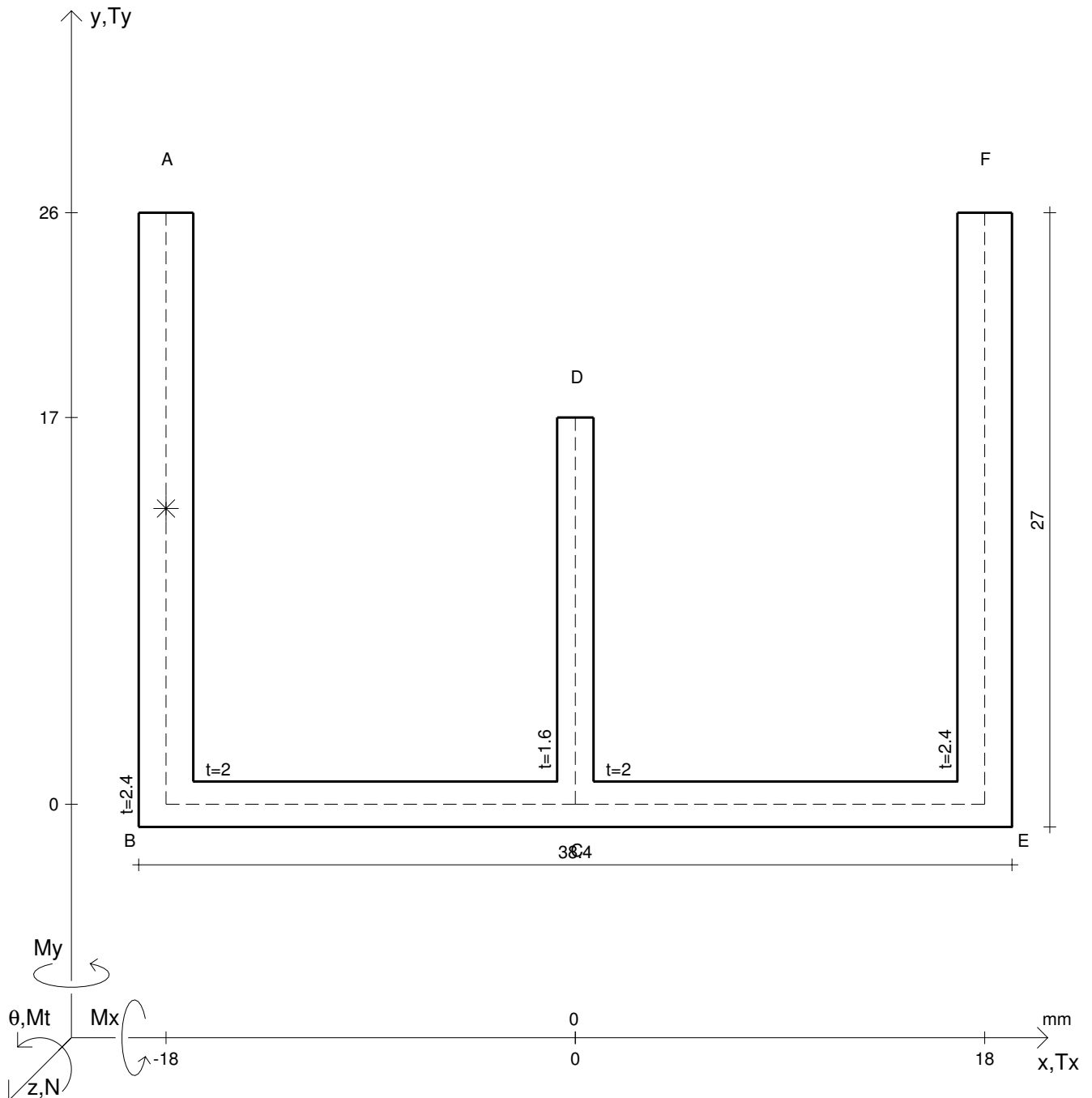
Rappresentare il cerchio di Mohr

Operare le conclusioni sulla verifica di resistenza in *

Facoltativo: rappresentare l'asse neutro e l'andamento delle tens. normali.

Facoltativo: rappresentare l'andamento delle tens. tangenziali.

N	$= 23500 \text{ N}$	M_t	$= -18600 \text{ Nmm}$	σ_a	$= 240 \text{ N/mm}^2$	G	$= 75000 \text{ N/mm}^2$
T_y	$= 8270 \text{ N}$	M_x	$= 92600 \text{ Nmm}$	E	$= 200000 \text{ N/mm}^2$	θ_t	$=$
y_g	$=$	$\sigma(N)$	$=$	τ_s	$=$	r_u	$=$
u_o	$=$	$\sigma(M_x)$	$=$	σ_{ls}	$=$	r_v	$=$
v_o	$=$	$\tau(M_t)$	$=$	σ_{lls}	$=$	r_o	$=$
A_n	$=$	$\tau(T_{yc})$	$=$	σ_{ld}	$=$	J_p	$=$
C_w	$=$	$\tau(T_{yb})_d$	$=$	σ_{lld}	$=$		
J_u	$=$	$\tau(T_y)_s$	$=$	σ_{tresca}	$=$		
J_v	$=$	$\tau(T_y)_d$	$=$	σ_{mises}	$=$		
J_t	$=$	σ	$=$	$\sigma_{st.ven}$	$=$		



Calcolo degli sforzi con forze baricentriche in * punto medio di AB

Rappresentare sul foglio, in scala: G, assi u,v, ellisse d'inerzia

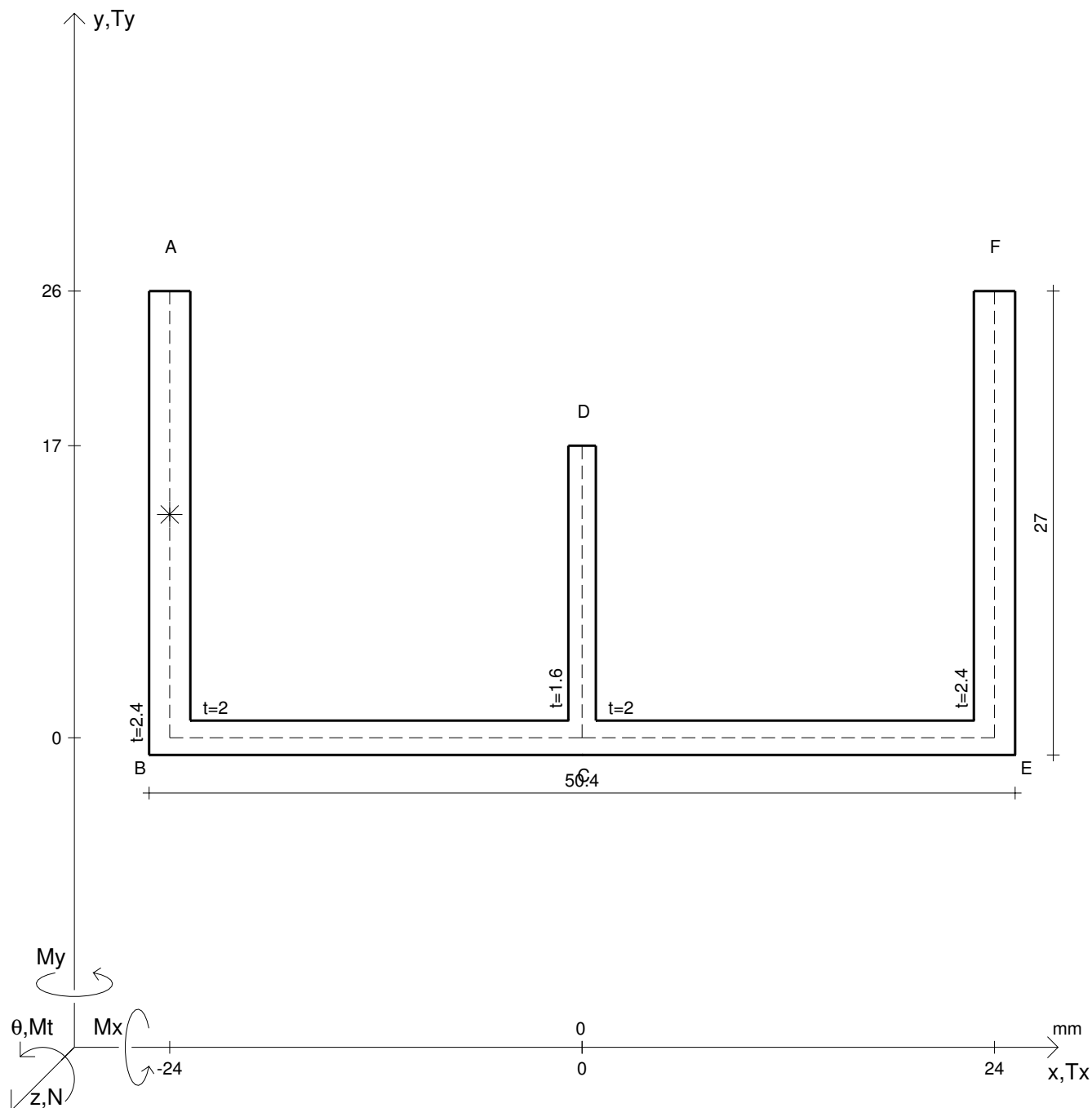
Rappresentare il cerchio di Mohr

Operare le conclusioni sulla verifica di resistenza in *

Facoltativo: rappresentare l'asse neutro e l'andamento delle tens. normali.

Facoltativo: rappresentare l'andamento delle tens. tangenziali.

N	$= 15300 \text{ N}$	M_t	$= 8300 \text{ Nmm}$	σ_a	$= 240 \text{ N/mm}^2$	G	$= 75000 \text{ N/mm}^2$
T_y	$= 7850 \text{ N}$	M_x	$= 53900 \text{ Nmm}$	E	$= 200000 \text{ N/mm}^2$	θ_t	$=$
y_g	$=$	$\sigma(N)$	$=$	τ_s	$=$	r_u	$=$
u_o	$=$	$\sigma(M_x)$	$=$	σ_{ls}	$=$	r_v	$=$
v_o	$=$	$\tau(M_t)$	$=$	σ_{lls}	$=$	r_o	$=$
A_n	$=$	$\tau(T_{yc})$	$=$	σ_{ld}	$=$	J_p	$=$
C_w	$=$	$\tau(T_{yb}/d)$	$=$	σ_{lld}	$=$		
J_u	$=$	$\tau(T_y)_s$	$=$	σ_{tresca}	$=$		
J_v	$=$	$\tau(T_y)_d$	$=$	σ_{mises}	$=$		
J_t	$=$	σ	$=$	$\sigma_{st.ven}$	$=$		



Calcolo degli sforzi con forze baricentriche in * punto medio di AB

Rappresentare sul foglio, in scala: G, assi u,v, ellisse d'inerzia

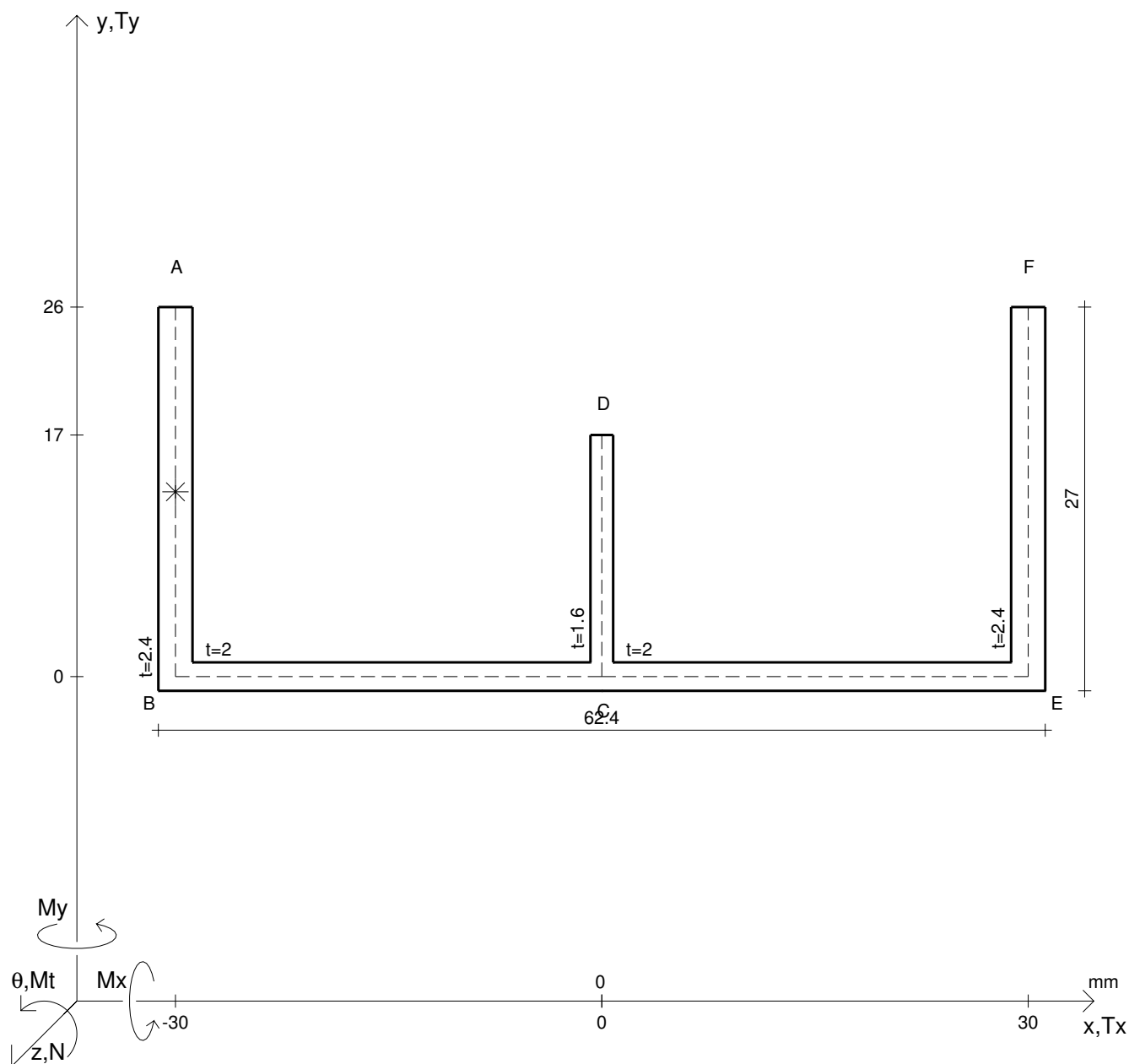
Rappresentare il cerchio di Mohr

Operare le conclusioni sulla verifica di resistenza in *

Facoltativo: rappresentare l'asse neutro e l'andamento delle tens. normali.

Facoltativo: rappresentare l'andamento delle tens. tangenziali.

N	$= 19200 \text{ N}$	M_t	$= 10400 \text{ Nmm}$	σ_a	$= 240 \text{ N/mm}^2$	G	$= 75000 \text{ N/mm}^2$
T_y	$= 5630 \text{ N}$	M_x	$= 64700 \text{ Nmm}$	E	$= 200000 \text{ N/mm}^2$	θ_t	$=$
y_g	$=$	$\sigma(N)$	$=$	τ_s	$=$	r_u	$=$
u_o	$=$	$\sigma(M_x)$	$=$	σ_{ls}	$=$	r_v	$=$
v_o	$=$	$\tau(M_t)$	$=$	σ_{lls}	$=$	r_o	$=$
A_n	$=$	$\tau(T_{yc})$	$=$	σ_{ld}	$=$	J_p	$=$
C_w	$=$	$\tau(T_{yb})_d$	$=$	σ_{lld}	$=$		
J_u	$=$	$\tau(T_y)_s$	$=$	σ_{tresca}	$=$		
J_v	$=$	$\tau(T_y)_d$	$=$	σ_{mises}	$=$		
J_t	$=$	σ	$=$	$\sigma_{st.ven}$	$=$		



Calcolo degli sforzi con forze baricentriche in * punto medio di AB

Rappresentare sul foglio, in scala: G, assi u,v, ellisse d'inertia

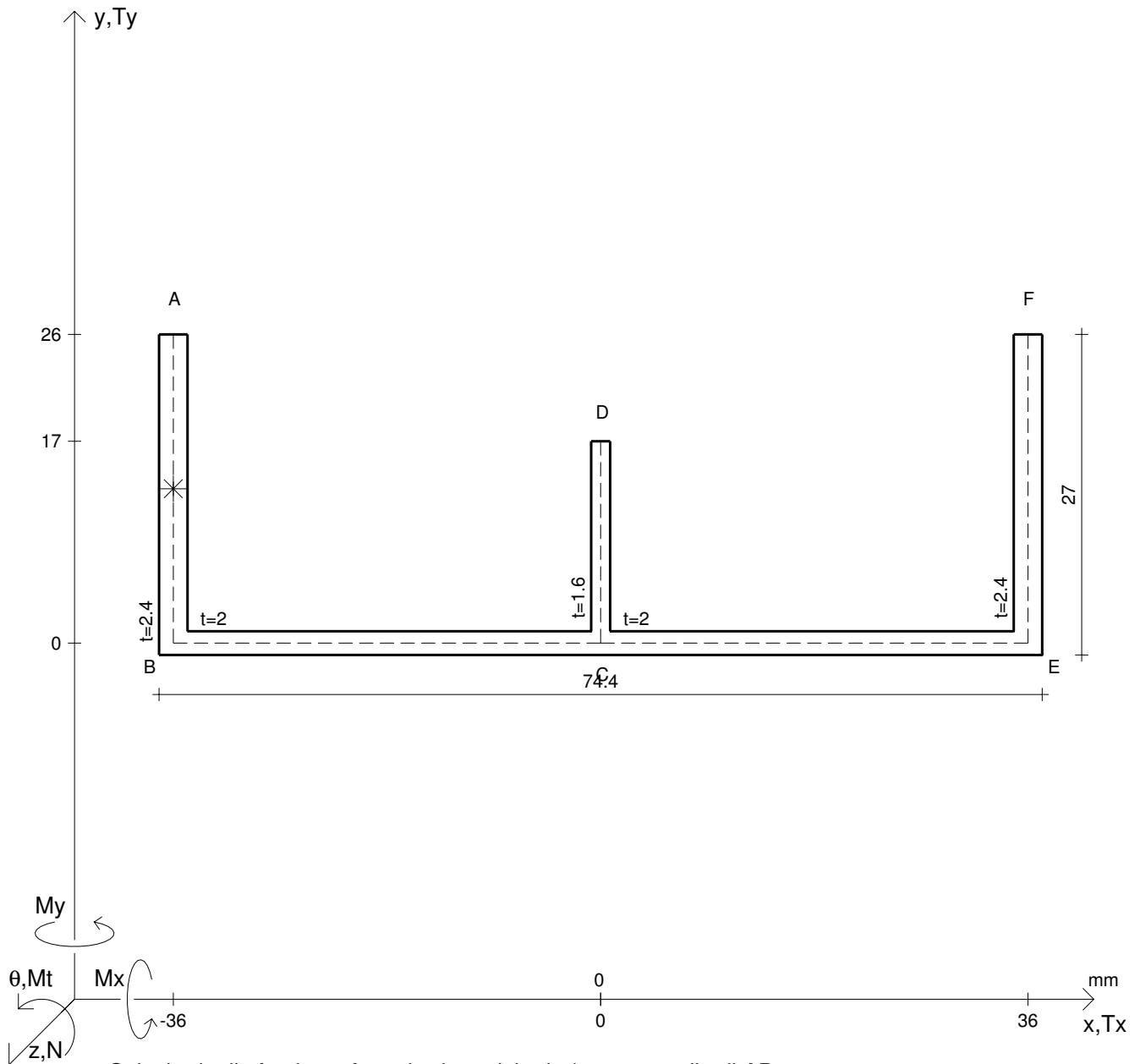
Rappresentare il cerchio di Mohr

Operare le conclusioni sulla verifica di resistenza in *

Facoltativo: rappresentare l'asse neutro e l'andamento delle tens. normali.

Facoltativo: rappresentare l'andamento delle tens. tangenziali.

N	$= 15900 \text{ N}$	M_x	$= 75000 \text{ Nmm}$	G	$= 75000 \text{ N/mm}^2$
T_y	$= 6150 \text{ N}$	σ_a	$= 240 \text{ N/mm}^2$	σ_{lld}	$=$
M_t	$= 12700 \text{ Nmm}$	E	$= 200000 \text{ N/mm}^2$	σ_{tresca}	$=$
y_g	$=$	$\tau(M_t)$	$=$	σ_{mises}	$=$
u_o	$=$	$\tau(T_{yc})$	$=$	$\sigma_{st.ven}$	$=$
v_o	$=$	$\tau(T_{yb})_d$	$=$	θ_t	$=$
A_n	$=$	$\tau(T_y)_s$	$=$	r_u	$=$
C_w	$=$	$\tau(T_y)_d$	$=$	r_v	$=$
J_u	$=$	σ	$=$	r_o	$=$
J_v	$=$	τ_s	$=$	J_p	$=$
J_t	$=$	σ_{ls}	$=$		
$\sigma(N)$	$=$	σ_{lls}	$=$		
$\sigma(M_x)$	$=$	σ_{ld}	$=$		



Calcolo degli sforzi con forze baricentriche in * punto medio di AB

Rappresentare sul foglio, in scala: G, assi u,v, ellisse d'inertia

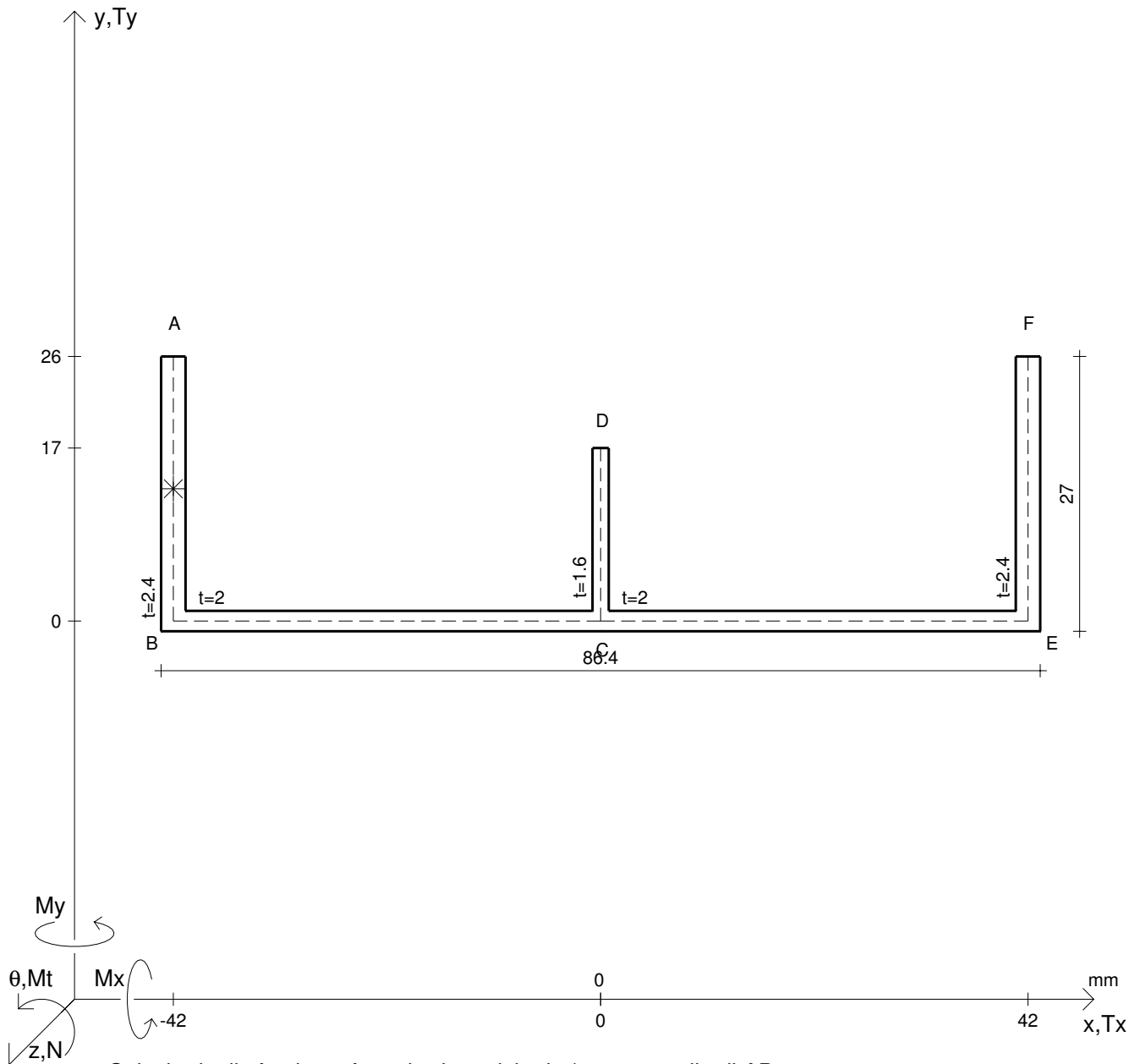
Rappresentare il cerchio di Mohr

Operare le conclusioni sulla verifica di resistenza in *

Facoltativo: rappresentare l'asse neutro e l'andamento delle tens. normali.

Facoltativo: rappresentare l'andamento delle tens. tangenziali.

N	$= 19700 \text{ N}$	M_x	$= 57700 \text{ Nmm}$	G	$= 75000 \text{ N/mm}^2$
T_y	$= 6690 \text{ N}$	σ_a	$= 240 \text{ N/mm}^2$	σ_{lld}	$=$
M_t	$= 15200 \text{ Nmm}$	E	$= 200000 \text{ N/mm}^2$	σ_{tresca}	$=$
y_g	$=$	$\tau(M_t)$	$=$	σ_{mises}	$=$
u_o	$=$	$\tau(T_{yc})$	$=$	$\sigma_{st.ven}$	$=$
v_o	$=$	$\tau(T_{yb})_d$	$=$	θ_t	$=$
A_n	$=$	$\tau(T_y)_s$	$=$	r_u	$=$
C_w	$=$	$\tau(T_y)_d$	$=$	r_v	$=$
J_u	$=$	σ	$=$	r_o	$=$
J_v	$=$	τ_s	$=$	J_p	$=$
J_t	$=$	σ_{ls}	$=$		
$\sigma(N)$	$=$	σ_{lls}	$=$		
$\sigma(M_x)$	$=$	σ_{ld}	$=$		



Calcolo degli sforzi con forze baricentriche in * punto medio di AB

Rappresentare sul foglio, in scala: G, assi u, v , ellisse d'inertia

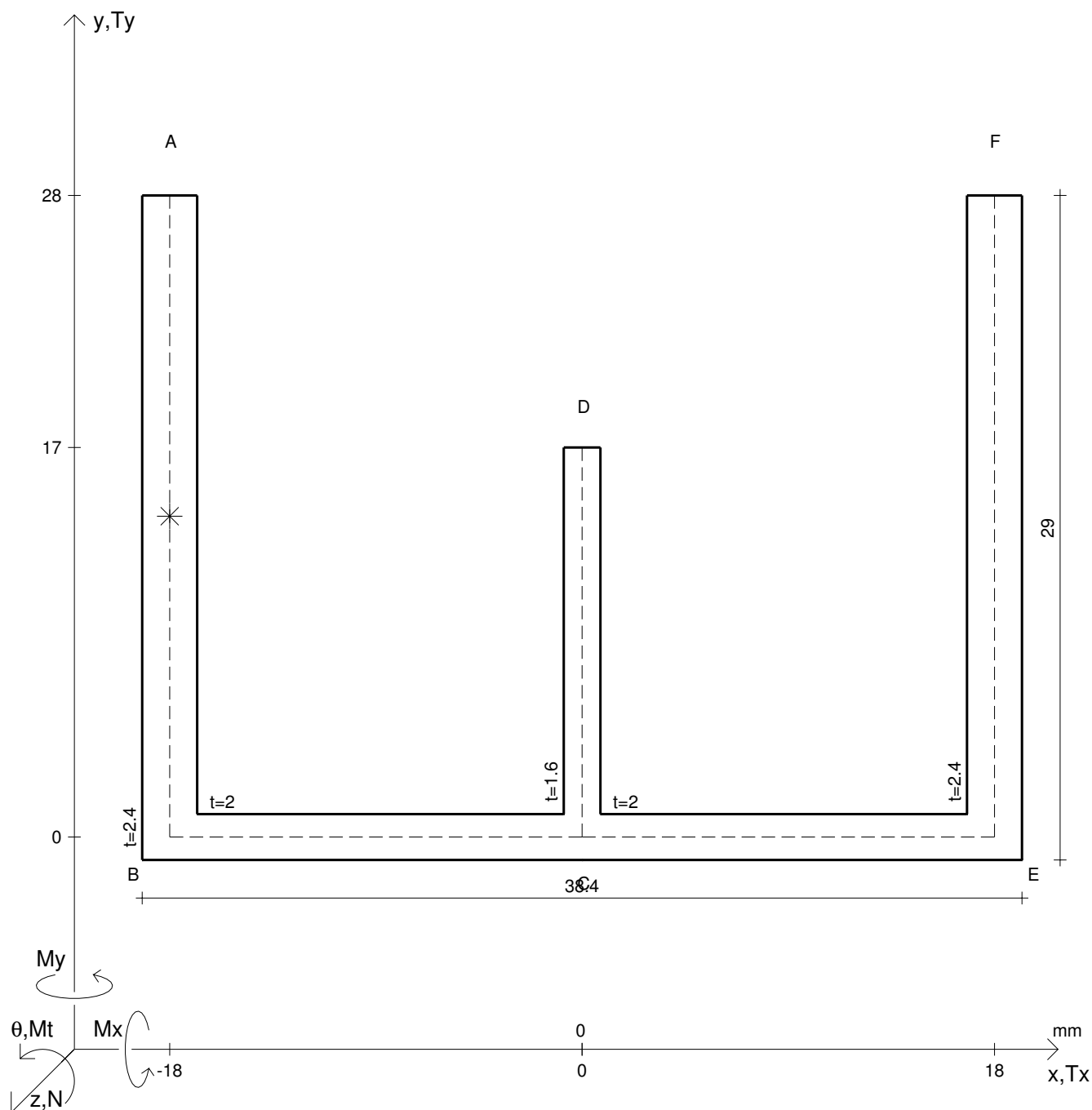
Rappresentare il cerchio di Mohr

Operare le conclusioni sulla verifica di resistenza in *

Facoltativo: rappresentare l'asse neutro e l'andamento delle tens. normali.

Facoltativo: rappresentare l'andamento delle tens. tangenziali.

N	$= 23800 \text{ N}$	M_x	$= 66600 \text{ Nmm}$	G	$= 75000 \text{ N/mm}^2$
T_y	$= 7240 \text{ N}$	σ_a	$= 240 \text{ N/mm}^2$	σ_{lld}	$=$
M_t	$= 12200 \text{ Nmm}$	E	$= 200000 \text{ N/mm}^2$	σ_{tresca}	$=$
y_g	$=$	$\tau(M_t)$	$=$	σ_{mises}	$=$
u_o	$=$	$\tau(T_{yc})$	$=$	$\sigma_{st.ven}$	$=$
v_o	$=$	$\tau(T_{yb})_d$	$=$	θ_t	$=$
A_n	$=$	$\tau(T_y)_s$	$=$	r_u	$=$
C_w	$=$	$\tau(T_y)_d$	$=$	r_v	$=$
J_u	$=$	σ	$=$	r_o	$=$
J_v	$=$	τ_s	$=$	J_p	$=$
J_t	$=$	σ_{ls}	$=$		
$\sigma(N)$	$=$	σ_{lls}	$=$		
$\sigma(M_x)$	$=$	σ_{ld}	$=$		



Calcolo degli sforzi con forze baricentriche in * punto medio di AB

Rappresentare sul foglio, in scala: G, assi u,v, ellisse d'inertia

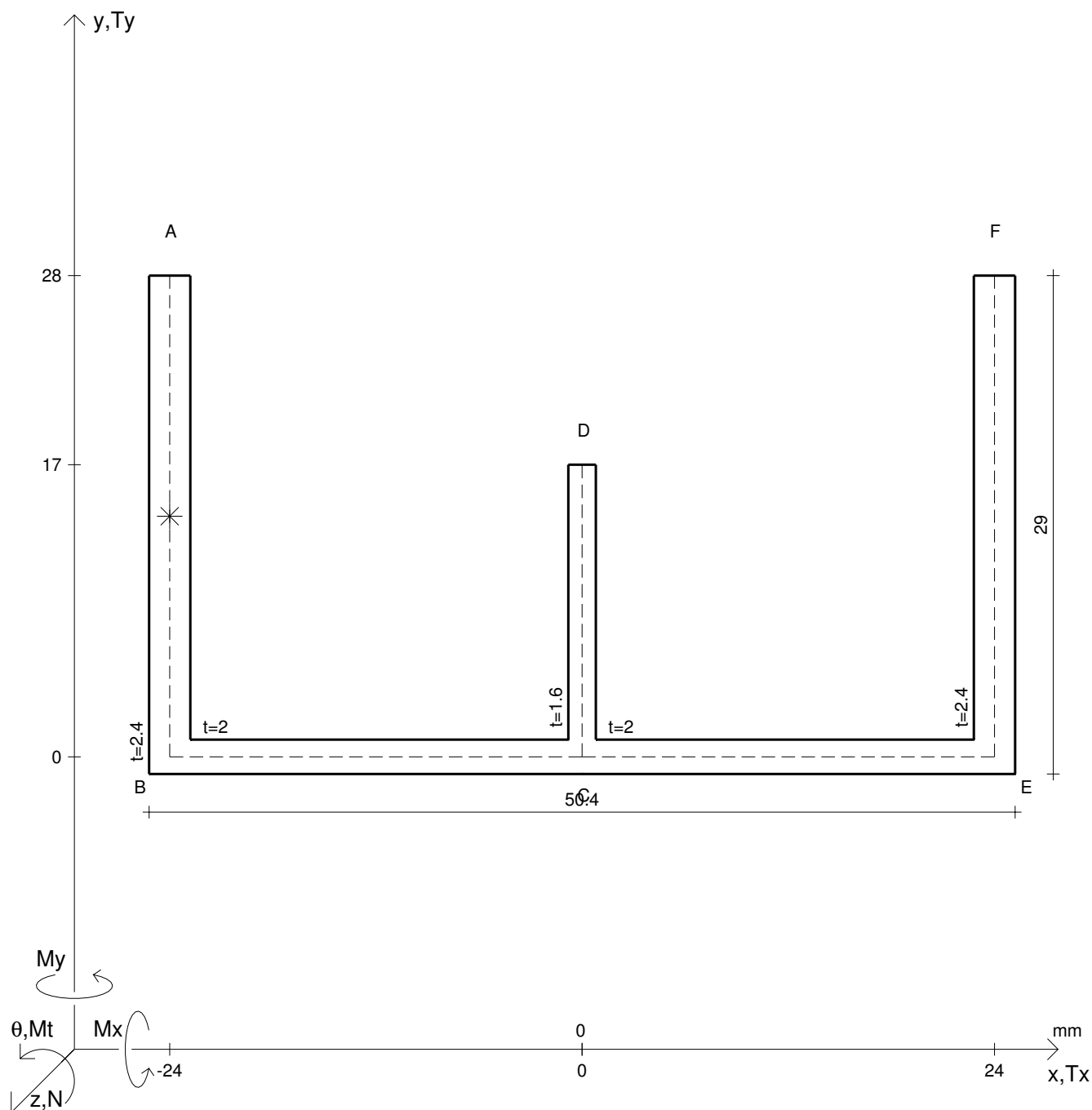
Rappresentare il cerchio di Mohr

Operare le conclusioni sulla verifica di resistenza in *

Facoltativo: rappresentare l'asse neutro e l'andamento delle tens. normali.

Facoltativo: rappresentare l'andamento delle tens. tangenziali.

N	= 17400 N	M _t	= -9720 Nmm	σ _a	= 240 N/mm ²	G	= 75000 N/mm ²
T _y	= 6160 N	M _x	= 67100 Nmm	E	= 200000 N/mm ²	θ _t	=
y _g	=	σ(N)	=	τ _s	=	r _u	=
u _o	=	σ(M _x)	=	σ _{ls}	=	r _v	=
v _o	=	τ(M _t)	=	σ _{lls}	=	r _o	=
A _n	=	τ(T _{yc})	=	σ _{ld}	=	J _p	=
C _w	=	τ(T _{yb}) _d	=	σ _{lld}	=		
J _u	=	τ(T _y) _s	=	σ _{tresca}	=		
J _v	=	τ(T _y) _d	=	σ _{mises}	=		
J _t	=	σ	=	σ _{st.ven}	=		



Calcolo degli sforzi con forze baricentriche in * punto medio di AB

Rappresentare sul foglio, in scala: G, assi u,v, ellisse d'inertia

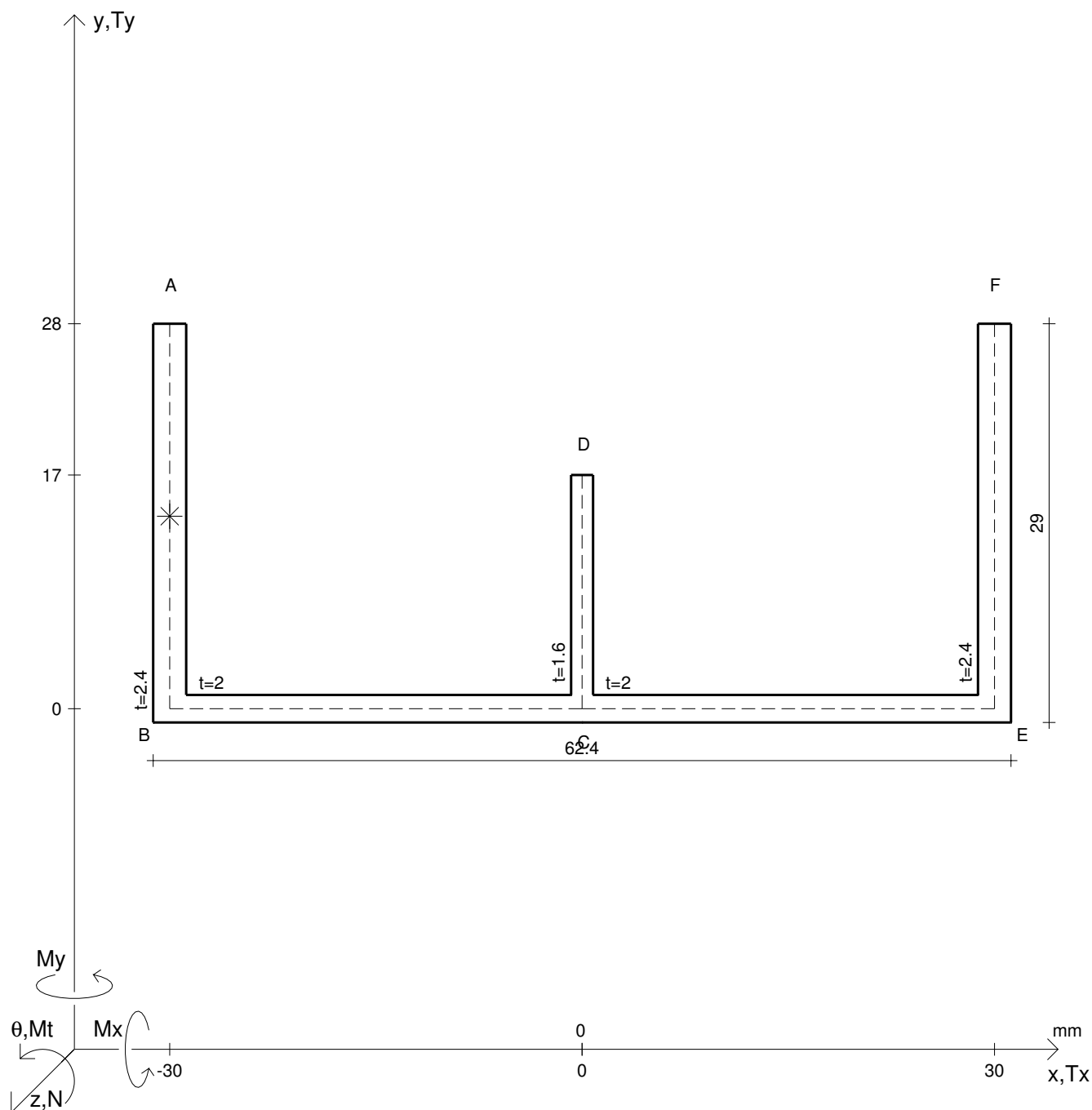
Rappresentare il cerchio di Mohr

Operare le conclusioni sulla verifica di resistenza in *

Facoltativo: rappresentare l'asse neutro e l'andamento delle tens. normali.

Facoltativo: rappresentare l'andamento delle tens. tangenziali.

N	= 14700 N	M _t	= -12000 Nmm	σ _a	= 240 N/mm ²	G	= 75000 N/mm ²
T _y	= 6690 N	M _x	= 79700 Nmm	E	= 200000 N/mm ²	θ _t	=
y _g	=	σ(N)	=	τ _s	=	r _u	=
u _o	=	σ(M _x)	=	σ _{ls}	=	r _v	=
v _o	=	τ(M _t)	=	σ _{lls}	=	r _o	=
A _n	=	τ(T _{yc})	=	σ _{ld}	=	J _p	=
C _w	=	τ(T _{yb}) _d	=	σ _{lld}	=		
J _u	=	τ(T _y) _s	=	σ _{tresca}	=		
J _v	=	τ(T _y) _d	=	σ _{mises}	=		
J _t	=	σ	=	σ _{st.ven}	=		



Calcolo degli sforzi con forze baricentriche in * punto medio di AB

Rappresentare sul foglio, in scala: G, assi u,v, ellisse d'inertia

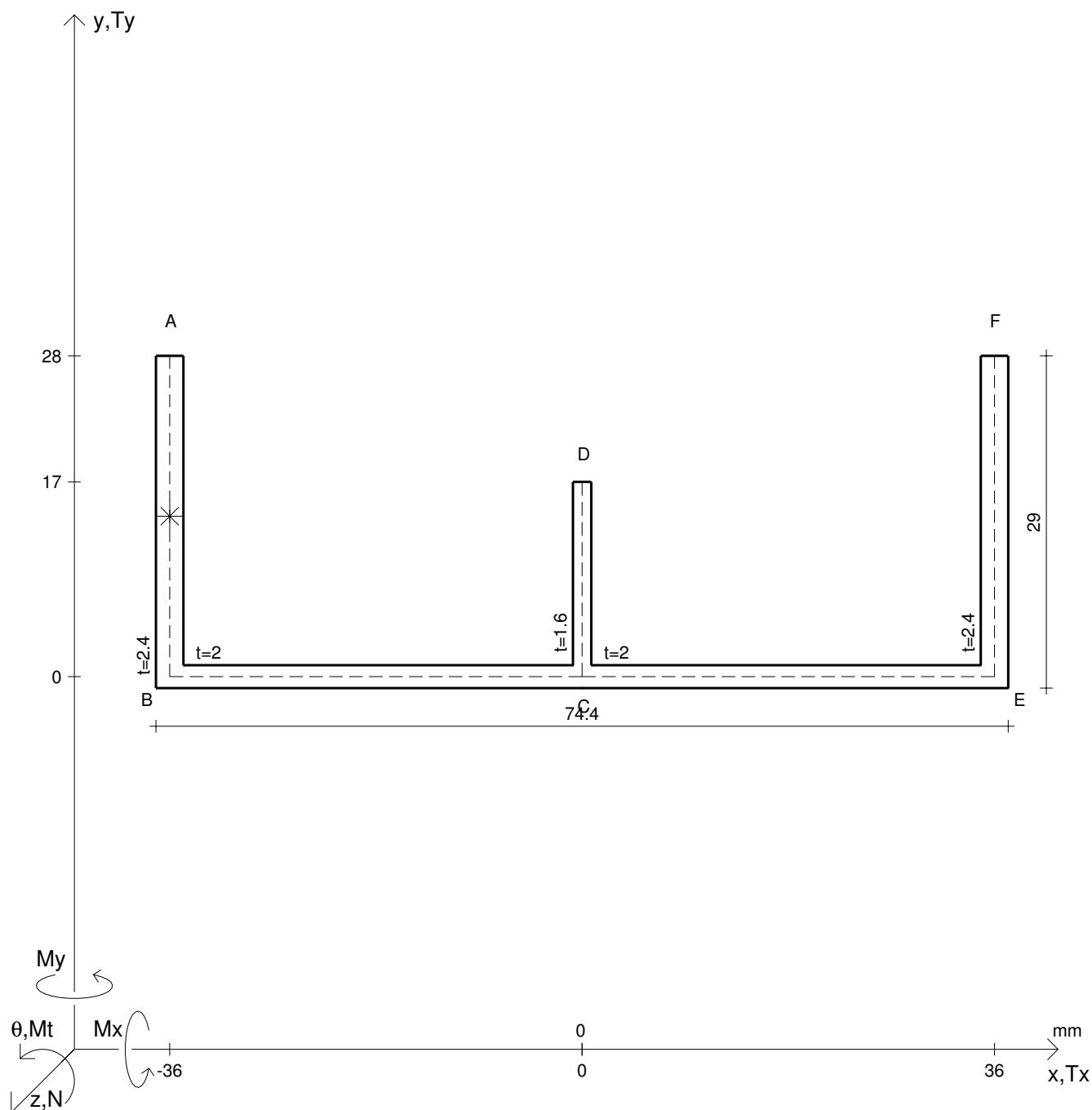
Rappresentare il cerchio di Mohr

Operare le conclusioni sulla verifica di resistenza in *

Facoltativo: rappresentare l'asse neutro e l'andamento delle tens. normali.

Facoltativo: rappresentare l'andamento delle tens. tangenziali.

N	$= 18400 \text{ N}$	M_t	$= -14500 \text{ Nmm}$	σ_a	$= 240 \text{ N/mm}^2$	G	$= 75000 \text{ N/mm}^2$
T_y	$= 7240 \text{ N}$	M_x	$= 62400 \text{ Nmm}$	E	$= 200000 \text{ N/mm}^2$	θ_t	$=$
y_g	$=$	$\sigma(N)$	$=$	τ_s	$=$	r_u	$=$
u_o	$=$	$\sigma(M_x)$	$=$	σ_{ls}	$=$	r_v	$=$
v_o	$=$	$\tau(M_t)$	$=$	σ_{lls}	$=$	r_o	$=$
A_n	$=$	$\tau(T_{yc})$	$=$	σ_{ld}	$=$	J_p	$=$
C_w	$=$	$\tau(T_{yb})_d$	$=$	σ_{lld}	$=$		
J_u	$=$	$\tau(T_y)_s$	$=$	σ_{tresca}	$=$		
J_v	$=$	$\tau(T_y)_d$	$=$	σ_{mises}	$=$		
J_t	$=$	σ	$=$	$\sigma_{st.ven}$	$=$		



Calcolo degli sforzi con forze baricentriche in * punto medio di AB

Rappresentare sul foglio, in scala: G, assi u,v, ellisse d'inertia

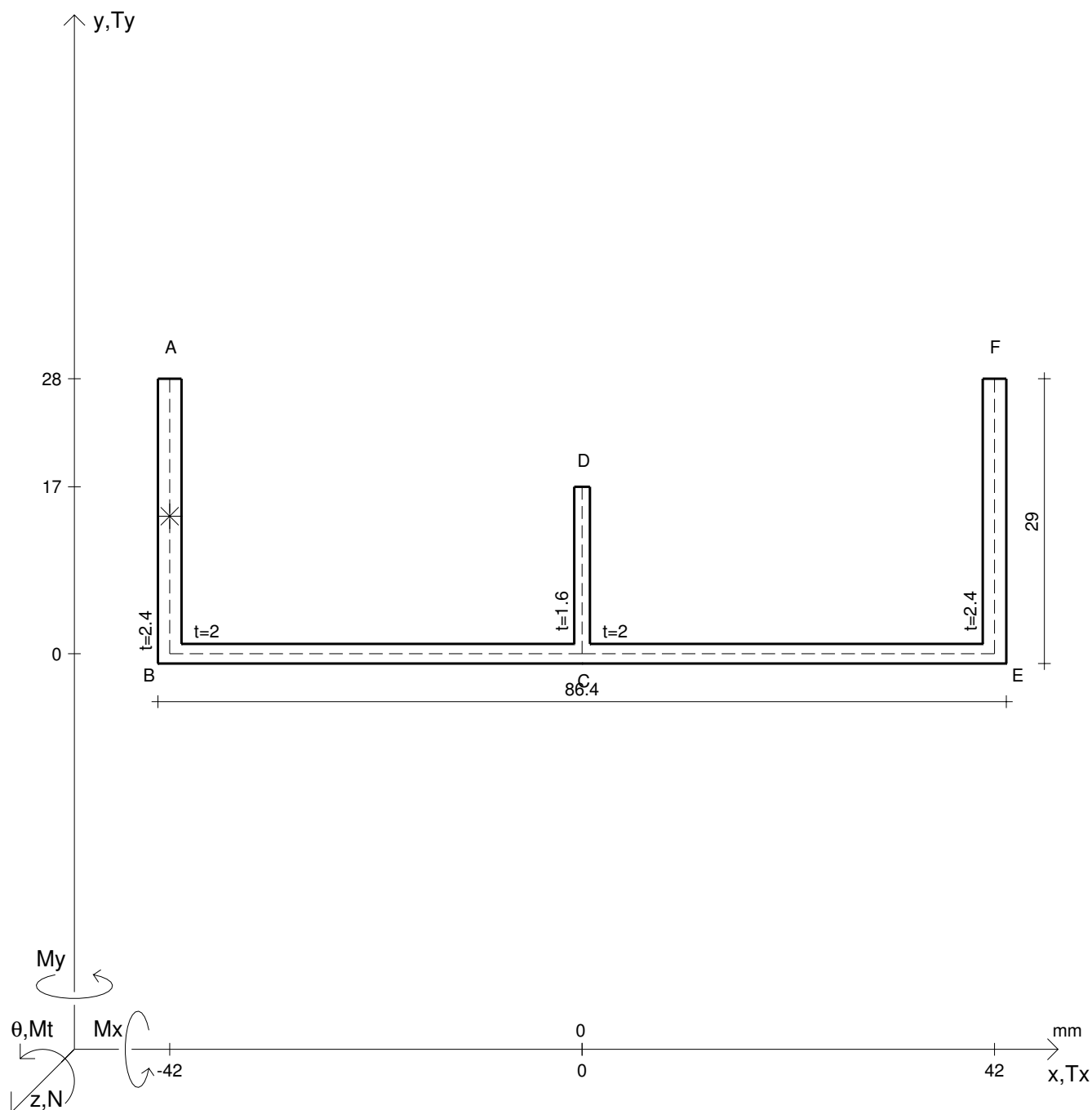
Rappresentare il cerchio di Mohr

Operare le conclusioni sulla verifica di resistenza in *

Facoltativo: rappresentare l'asse neutro e l'andamento delle tens. normali.

Facoltativo: rappresentare l'andamento delle tens. tangenziali.

N	$= 22400 \text{ N}$	M_t	$= -11700 \text{ Nmm}$	σ_a	$= 240 \text{ N/mm}^2$	G	$= 75000 \text{ N/mm}^2$
T_y	$= 7800 \text{ N}$	M_x	$= 72700 \text{ Nmm}$	E	$= 200000 \text{ N/mm}^2$	θ_t	$=$
y_g	$=$	$\sigma(N)$	$=$	τ_s	$=$	r_u	$=$
u_o	$=$	$\sigma(M_x)$	$=$	σ_{ls}	$=$	r_v	$=$
v_o	$=$	$\tau(M_t)$	$=$	σ_{lls}	$=$	r_o	$=$
A_n	$=$	$\tau(T_{yc})$	$=$	σ_{ld}	$=$	J_p	$=$
C_w	$=$	$\tau(T_{yb/d})$	$=$	σ_{lld}	$=$		
J_u	$=$	$\tau(T_y)_s$	$=$	σ_{tresca}	$=$		
J_v	$=$	$\tau(T_y)_d$	$=$	σ_{mises}	$=$		
J_t	$=$	σ	$=$	$\sigma_{st.ven}$	$=$		



Calcolo degli sforzi con forze baricentriche in * punto medio di AB

Rappresentare sul foglio, in scala: G, assi u,v, ellisse d'inerzia

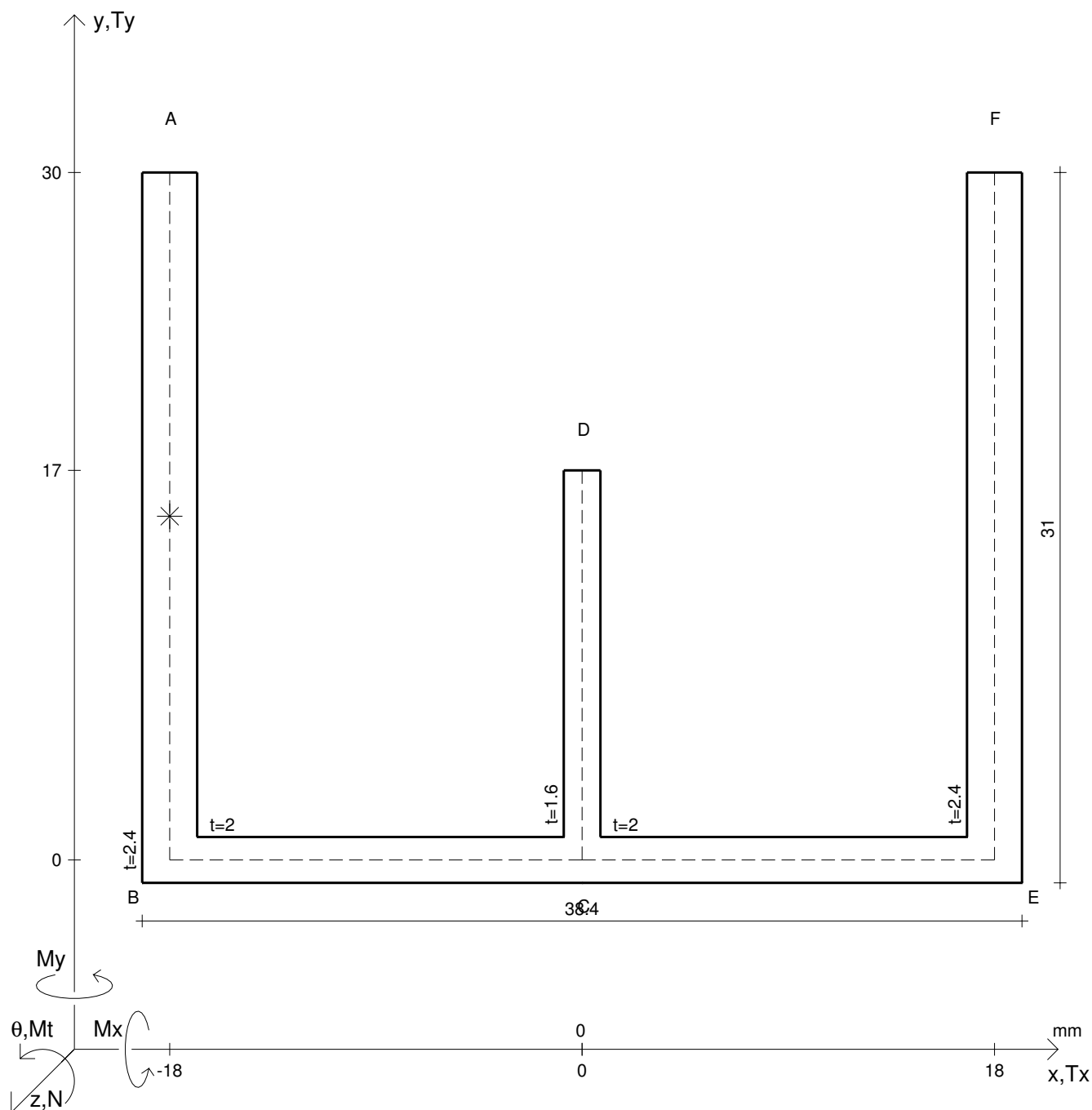
Rappresentare il cerchio di Mohr

Operare le conclusioni sulla verifica di resistenza in *

Facoltativo: rappresentare l'asse neutro e l'andamento delle tens. normali.

Facoltativo: rappresentare l'andamento delle tens. tangenziali.

N	$= 26700 \text{ N}$	M_t	$= -14100 \text{ Nmm}$	σ_a	$= 240 \text{ N/mm}^2$	G	$= 75000 \text{ N/mm}^2$
T_y	$= 5690 \text{ N}$	M_x	$= 83000 \text{ Nmm}$	E	$= 200000 \text{ N/mm}^2$	θ_t	$=$
y_g	$=$	$\sigma(N)$	$=$	τ_s	$=$	r_u	$=$
u_o	$=$	$\sigma(M_x)$	$=$	σ_{ls}	$=$	r_v	$=$
v_o	$=$	$\tau(M_t)$	$=$	σ_{lls}	$=$	r_o	$=$
A_n	$=$	$\tau(T_{yc})$	$=$	σ_{ld}	$=$	J_p	$=$
C_w	$=$	$\tau(T_{yb})_d$	$=$	σ_{lld}	$=$		
J_u	$=$	$\tau(T_y)_s$	$=$	σ_{tresca}	$=$		
J_v	$=$	$\tau(T_y)_d$	$=$	σ_{mises}	$=$		
J_t	$=$	σ	$=$	$\sigma_{st.ven}$	$=$		



Calcolo degli sforzi con forze baricentriche in * punto medio di AB

Rappresentare sul foglio, in scala: G, assi u,v, ellisse d'inerzia

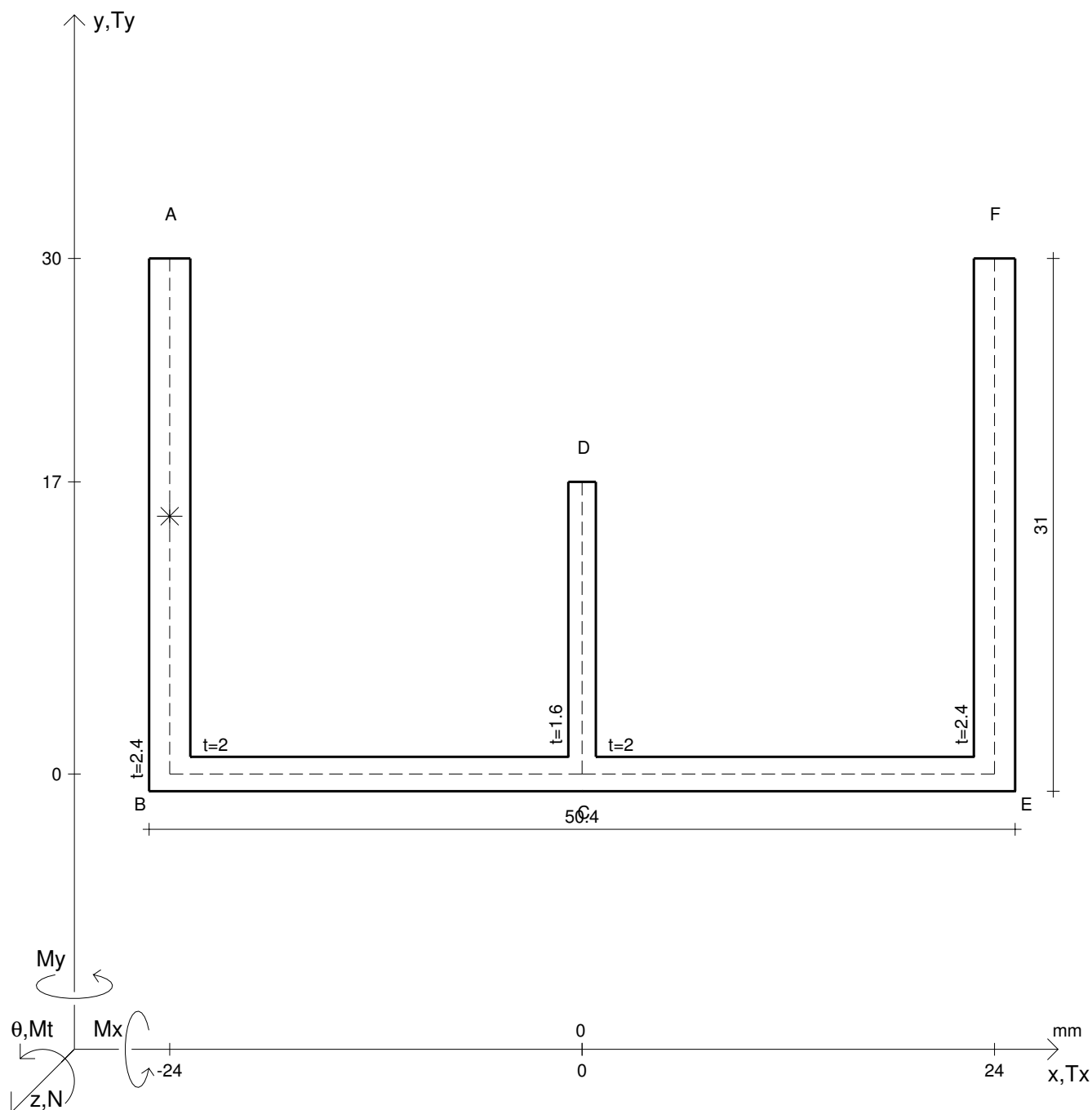
Rappresentare il cerchio di Mohr

Operare le conclusioni sulla verifica di resistenza in *

Facoltativo: rappresentare l'asse neutro e l'andamento delle tens. normali.

Facoltativo: rappresentare l'andamento delle tens. tangenziali.

N	= 13400 N	M _t	= -11200 Nmm	σ _a	= 240 N/mm ²	G	= 75000 N/mm ²
T _y	= 7260 N	M _x	= 82800 Nmm	E	= 200000 N/mm ²	θ _t	=
y _g	=	σ(N)	=	τ _s	=	r _u	=
u _o	=	σ(M _x)	=	σ _{ls}	=	r _v	=
v _o	=	τ(M _t)	=	σ _{lls}	=	r _o	=
A _n	=	τ(T _{yc})	=	σ _{ld}	=	J _p	=
C _w	=	τ(T _{yb}) _d	=	σ _{lld}	=		
J _u	=	τ(T _y) _s	=	σ _{tresca}	=		
J _v	=	τ(T _y) _d	=	σ _{mises}	=		
J _t	=	σ	=	σ _{st.ven}	=		



Calcolo degli sforzi con forze baricentriche in * punto medio di AB

Rappresentare sul foglio, in scala: G, assi u,v, ellisse d'inerzia

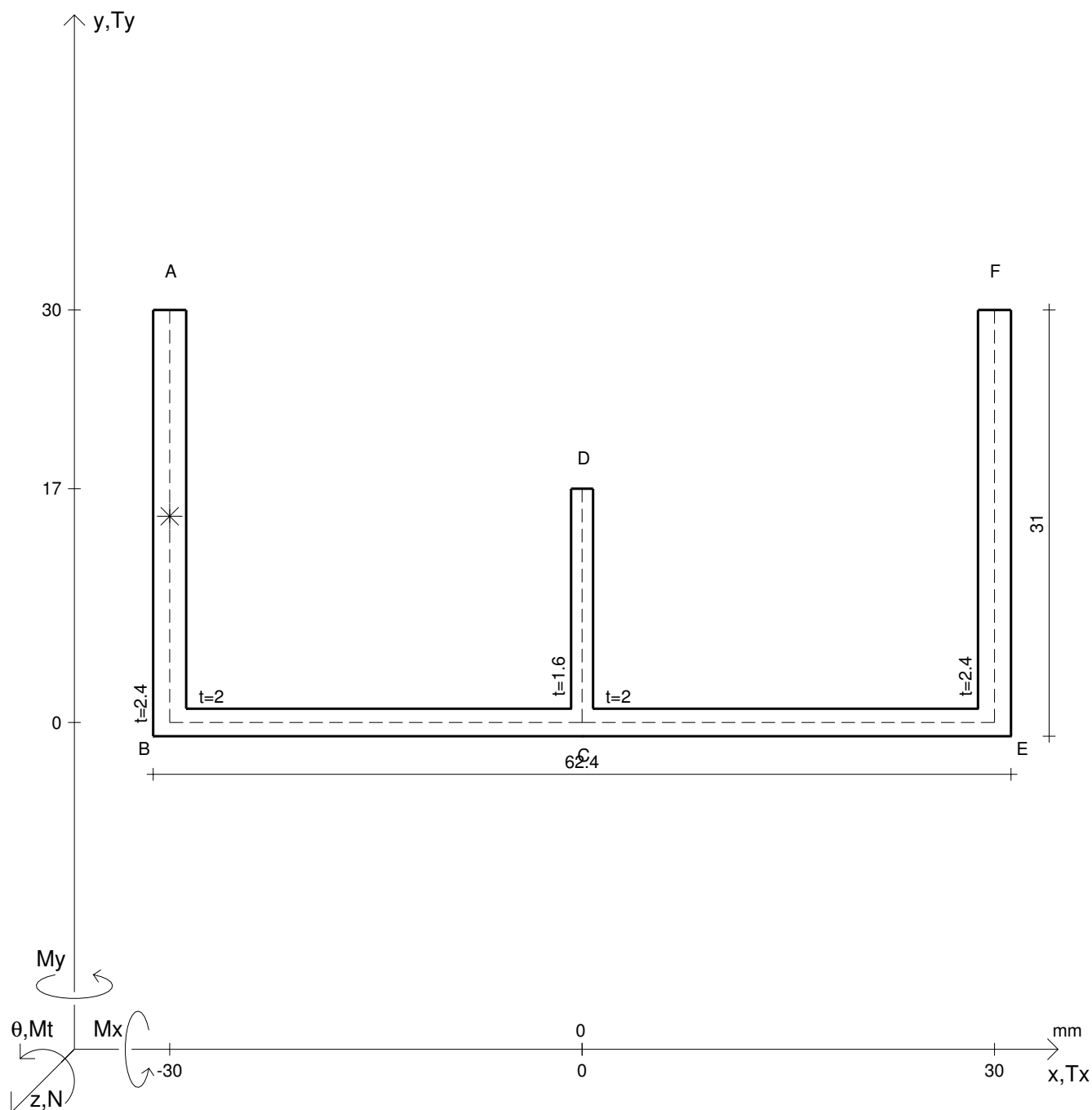
Rappresentare il cerchio di Mohr

Operare le conclusioni sulla verifica di resistenza in *

Facoltativo: rappresentare l'asse neutro e l'andamento delle tens. normali.

Facoltativo: rappresentare l'andamento delle tens. tangenziali.

N	$= 16900 \text{ N}$	M_t	$= -13700 \text{ Nmm}$	σ_a	$= 240 \text{ N/mm}^2$	G	$= 75000 \text{ N/mm}^2$
T_y	$= 7870 \text{ N}$	M_x	$= 65900 \text{ Nmm}$	E	$= 200000 \text{ N/mm}^2$	θ_t	$=$
y_g	$=$	$\sigma(N)$	$=$	τ_s	$=$	r_u	$=$
u_o	$=$	$\sigma(M_x)$	$=$	σ_{ls}	$=$	r_v	$=$
v_o	$=$	$\tau(M_t)$	$=$	σ_{lls}	$=$	r_o	$=$
A_n	$=$	$\tau(T_{yc})$	$=$	σ_{ld}	$=$	J_p	$=$
C_w	$=$	$\tau(T_{yb})_d$	$=$	σ_{lld}	$=$		
J_u	$=$	$\tau(T_y)_s$	$=$	σ_{tresca}	$=$		
J_v	$=$	$\tau(T_y)_d$	$=$	σ_{mises}	$=$		
J_t	$=$	σ	$=$	$\sigma_{st.ven}$	$=$		



Calcolo degli sforzi con forze baricentriche in * punto medio di AB

Rappresentare sul foglio, in scala: G, assi u,v, ellisse d'inerzia

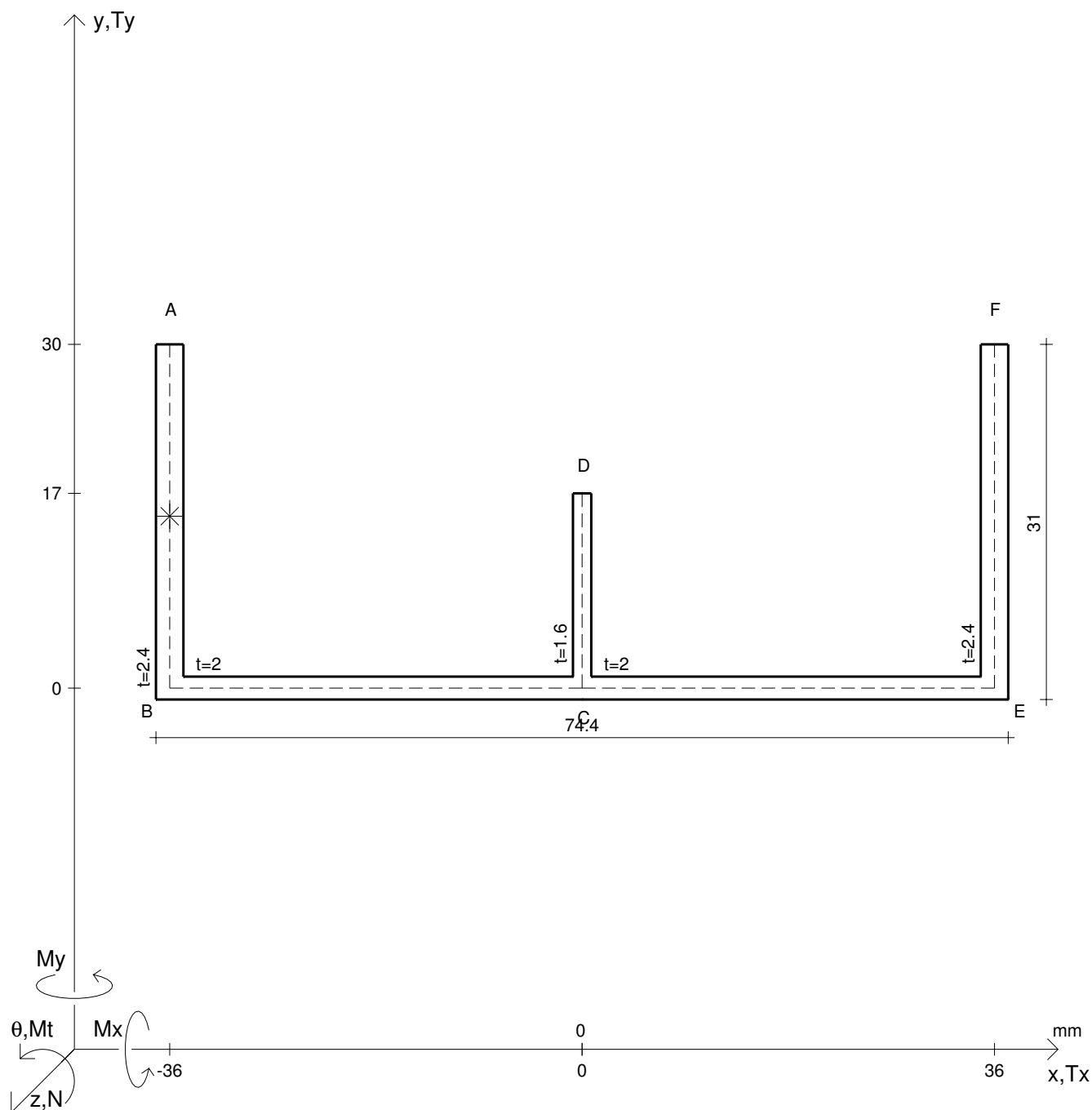
Rappresentare il cerchio di Mohr

Operare le conclusioni sulla verifica di resistenza in *

Facoltativo: rappresentare l'asse neutro e l'andamento delle tens. normali.

Facoltativo: rappresentare l'andamento delle tens. tangenziali.

N	$= 20900 \text{ N}$	M_t	$= -11100 \text{ Nmm}$	σ_a	$= 240 \text{ N/mm}^2$	G	$= 75000 \text{ N/mm}^2$
T_y	$= 8430 \text{ N}$	M_x	$= 78100 \text{ Nmm}$	E	$= 200000 \text{ N/mm}^2$	θ_t	$=$
y_g	$=$	$\sigma(N)$	$=$	τ_s	$=$	r_u	$=$
u_o	$=$	$\sigma(M_x)$	$=$	σ_{ls}	$=$	r_v	$=$
v_o	$=$	$\tau(M_t)$	$=$	σ_{lls}	$=$	r_o	$=$
A_n	$=$	$\tau(T_{yc})$	$=$	σ_{ld}	$=$	J_p	$=$
C_w	$=$	$\tau(T_{yb}/d)$	$=$	σ_{lld}	$=$		
J_u	$=$	$\tau(T_y)_s$	$=$	σ_{tresca}	$=$		
J_v	$=$	$\tau(T_y)_d$	$=$	σ_{mises}	$=$		
J_t	$=$	σ	$=$	$\sigma_{st.ven}$	$=$		



Calcolo degli sforzi con forze baricentriche in * punto medio di AB

Rappresentare sul foglio, in scala: G, assi u,v, ellisse d'inerzia

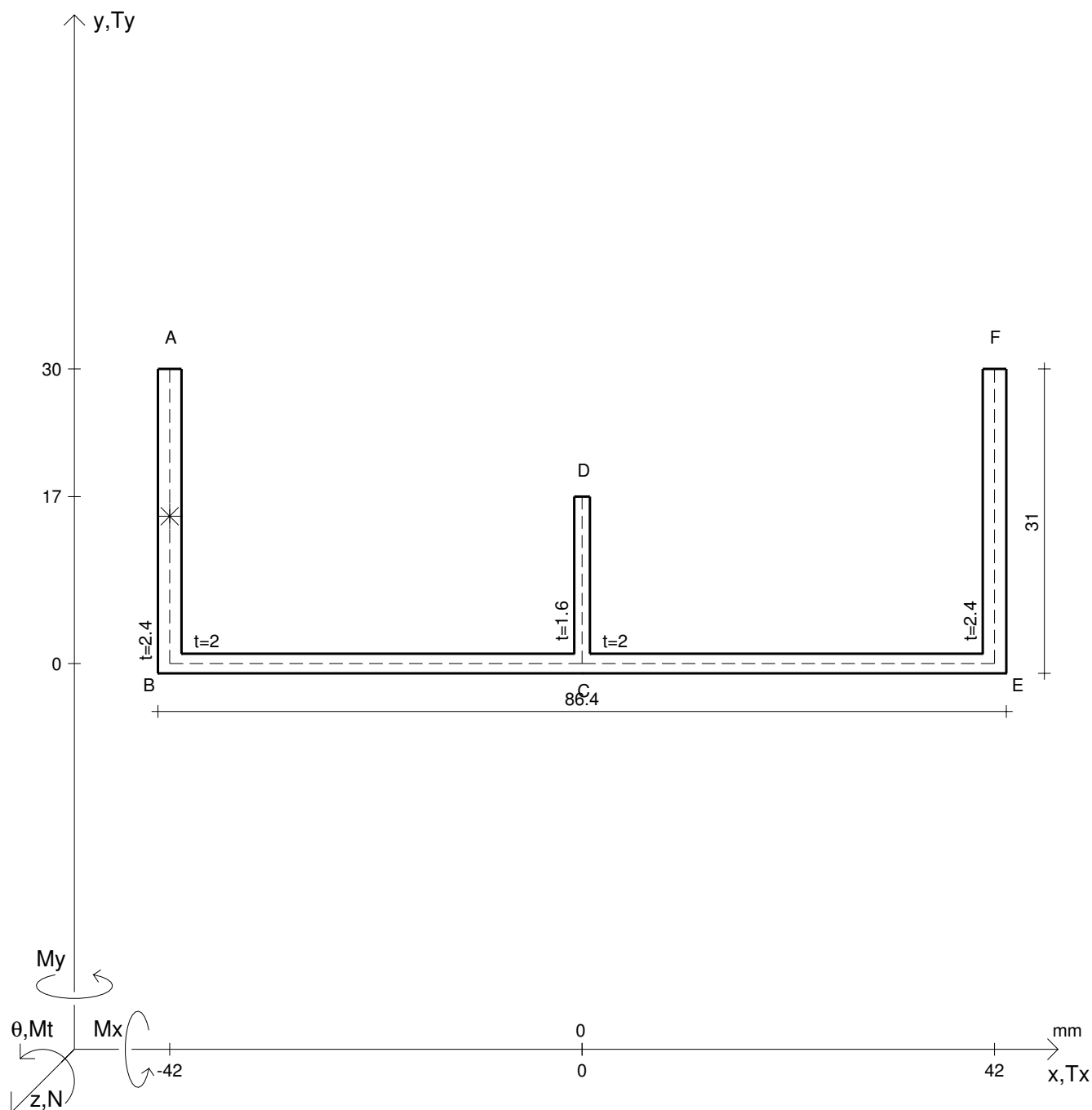
Rappresentare il cerchio di Mohr

Operare le conclusioni sulla verifica di resistenza in *

Facoltativo: rappresentare l'asse neutro e l'andamento delle tens. normali.

Facoltativo: rappresentare l'andamento delle tens. tangenziali.

N	$= 25200 \text{ N}$	M_t	$= -13500 \text{ Nmm}$	σ_a	$= 240 \text{ N/mm}^2$	G	$= 75000 \text{ N/mm}^2$
T_y	$= 6130 \text{ N}$	M_x	$= 90100 \text{ Nmm}$	E	$= 200000 \text{ N/mm}^2$	θ_t	$=$
y_g	$=$	$\sigma(N)$	$=$	τ_s	$=$	r_u	$=$
u_o	$=$	$\sigma(M_x)$	$=$	σ_{ls}	$=$	r_v	$=$
v_o	$=$	$\tau(M_t)$	$=$	σ_{lls}	$=$	r_o	$=$
A_n	$=$	$\tau(T_{yc})$	$=$	σ_{ld}	$=$	J_p	$=$
C_w	$=$	$\tau(T_{yb})_d$	$=$	σ_{lld}	$=$		
J_u	$=$	$\tau(T_y)_s$	$=$	σ_{tresca}	$=$		
J_v	$=$	$\tau(T_y)_d$	$=$	σ_{mises}	$=$		
J_t	$=$	σ	$=$	$\sigma_{st.ven}$	$=$		



Calcolo degli sforzi con forze baricentriche in * punto medio di AB

Rappresentare sul foglio, in scala: G, assi u,v, ellisse d'inerzia

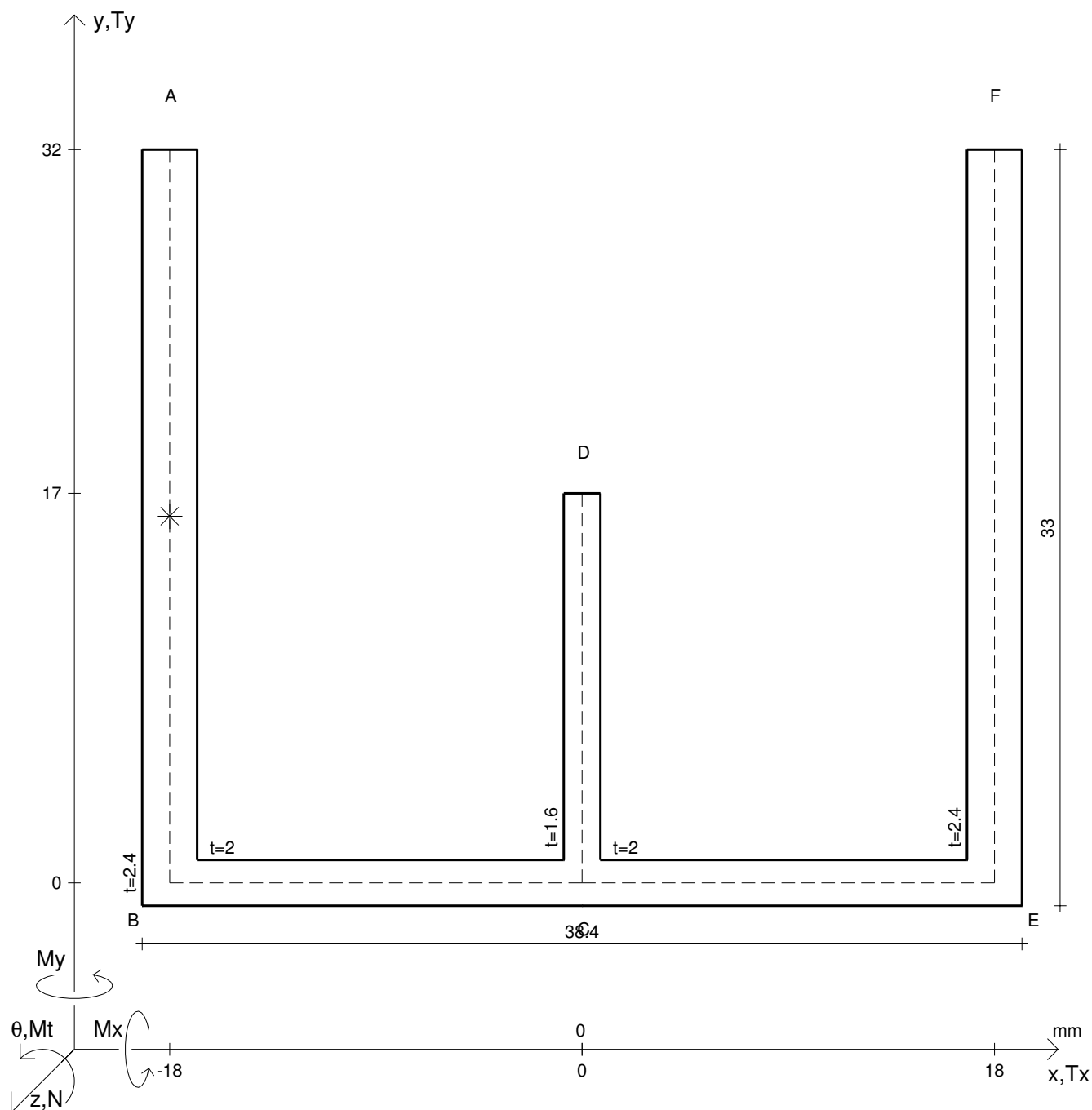
Rappresentare il cerchio di Mohr

Operare le conclusioni sulla verifica di resistenza in *

Facoltativo: rappresentare l'asse neutro e l'andamento delle tens. normali.

Facoltativo: rappresentare l'andamento delle tens. tangenziali.

N	= 20200 N	M_t	= 16100 Nmm	σ_a	= 240 N/mm ²	G	= 75000 N/mm ²
T_y	= 6760 N	M_x	= 102000 Nmm	E	= 200000 N/mm ²	θ_t	=
y_g	=	$\sigma(N)$	=	τ_s	=	r_u	=
u_o	=	$\sigma(M_x)$	=	σ_{ls}	=	r_v	=
v_o	=	$\tau(M_t)$	=	σ_{lls}	=	r_o	=
A_n	=	$\tau(T_{yc})$	=	σ_{ld}	=	J_p	=
C_w	=	$\tau(T_{yb/d})$	=	σ_{lld}	=		
J_u	=	$\tau(T_y)_s$	=	σ_{tresca}	=		
J_v	=	$\tau(T_y)_d$	=	σ_{mises}	=		
J_t	=	σ	=	$\sigma_{st.ven}$	=		



Calcolo degli sforzi con forze baricentriche in * punto medio di AB

Rappresentare sul foglio, in scala: G, assi u,v, ellisse d'inertia

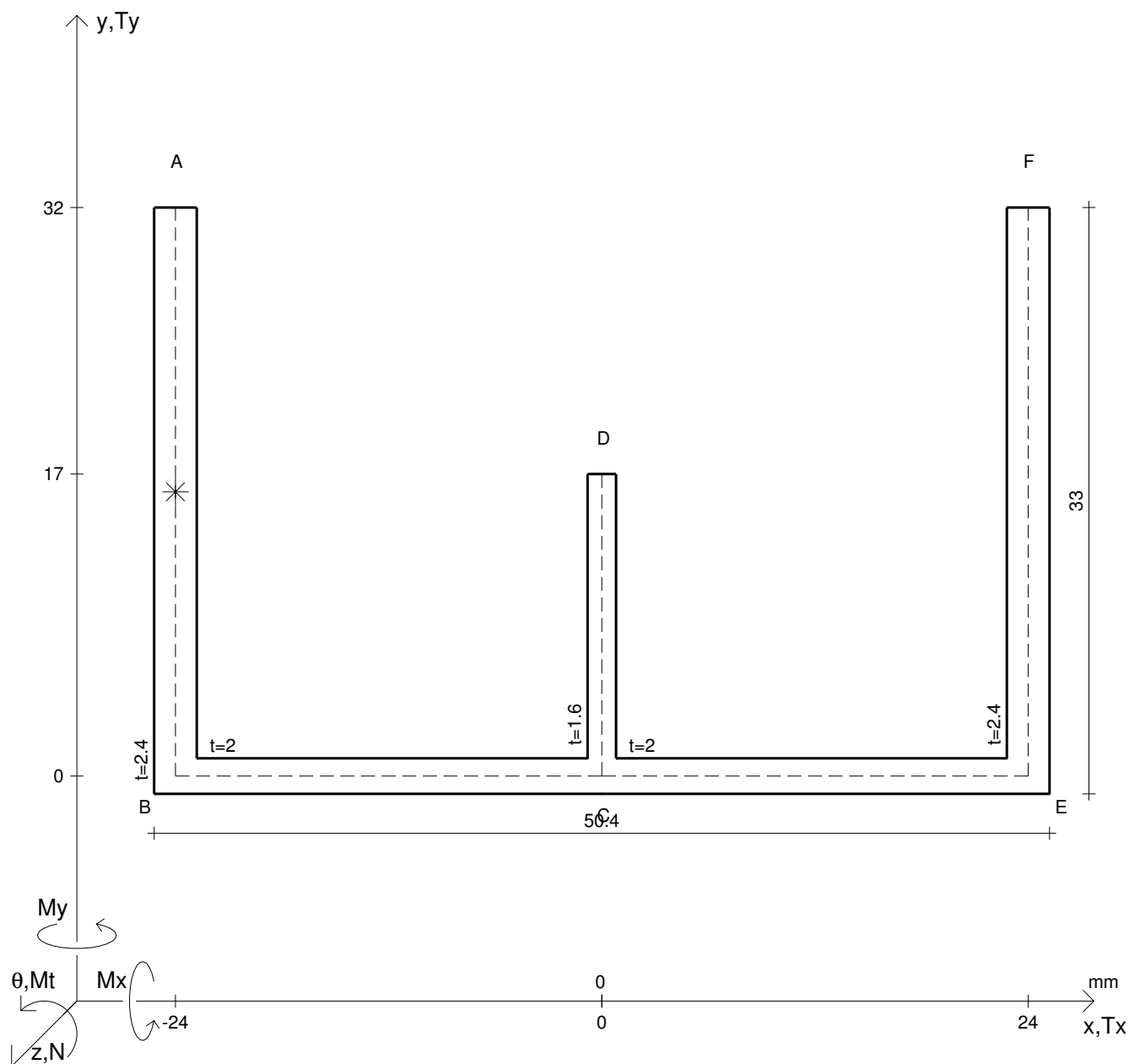
Rappresentare il cerchio di Mohr

Operare le conclusioni sulla verifica di resistenza in *

Facoltativo: rappresentare l'asse neutro e l'andamento delle tens. normali.

Facoltativo: rappresentare l'andamento delle tens. tangenziali.

N	$= 15600 \text{ N}$	M_t	$= 12900 \text{ Nmm}$	σ_a	$= 240 \text{ N/mm}^2$	G	$= 75000 \text{ N/mm}^2$
T_y	$= 8460 \text{ N}$	M_x	$= 68500 \text{ Nmm}$	E	$= 200000 \text{ N/mm}^2$	θ_t	$=$
y_g	$=$	$\sigma(N)$	$=$	τ_s	$=$	r_u	$=$
u_o	$=$	$\sigma(M_x)$	$=$	σ_{ls}	$=$	r_v	$=$
v_o	$=$	$\tau(M_t)$	$=$	σ_{lls}	$=$	r_o	$=$
A_n	$=$	$\tau(T_{yc})$	$=$	σ_{ld}	$=$	J_p	$=$
C_w	$=$	$\tau(T_{yb/d})$	$=$	σ_{lld}	$=$		
J_u	$=$	$\tau(T_y)_s$	$=$	σ_{tresca}	$=$		
J_v	$=$	$\tau(T_y)_d$	$=$	σ_{mises}	$=$		
J_t	$=$	σ	$=$	$\sigma_{st.ven}$	$=$		



Calcolo degli sforzi con forze baricentriche in * punto medio di AB

Rappresentare sul foglio, in scala: G, assi u,v, ellisse d'inertia

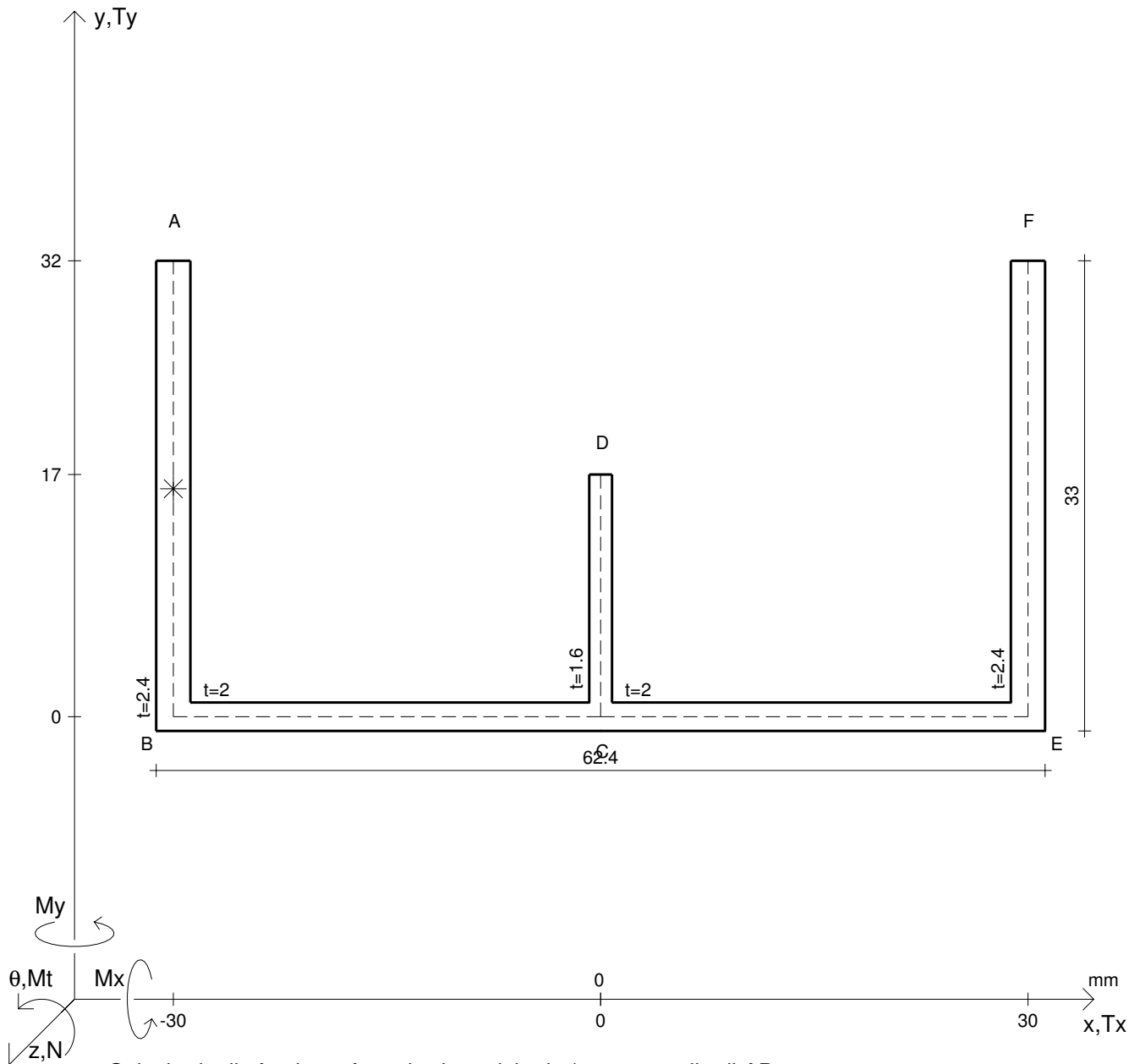
Rappresentare il cerchio di Mohr

Operare le conclusioni sulla verifica di resistenza in *

Facoltativo: rappresentare l'asse neutro e l'andamento delle tens. normali.

Facoltativo: rappresentare l'andamento delle tens. tangenziali.

N	$= 19300 \text{ N}$	M_x	$= 82000 \text{ Nmm}$	G	$= 75000 \text{ N/mm}^2$
T_y	$= 9160 \text{ N}$	σ_a	$= 240 \text{ N/mm}^2$	σ_{lld}	$=$
M_t	$= 10500 \text{ Nmm}$	E	$= 200000 \text{ N/mm}^2$	σ_{tresca}	$=$
y_g	$=$	$\tau(M_t)$	$=$	σ_{mises}	$=$
u_o	$=$	$\tau(T_{yc})$	$=$	$\sigma_{st.ven}$	$=$
v_o	$=$	$\tau(T_{yb})_d$	$=$	θ_t	$=$
A_n	$=$	$\tau(T_y)_s$	$=$	r_u	$=$
C_w	$=$	$\tau(T_y)_d$	$=$	r_v	$=$
J_u	$=$	σ	$=$	r_o	$=$
J_v	$=$	τ_s	$=$	J_p	$=$
J_t	$=$	σ_{ls}	$=$		
$\sigma(N)$	$=$	σ_{lls}	$=$		
$\sigma(M_x)$	$=$	σ_{ld}	$=$		



Calcolo degli sforzi con forze baricentriche in * punto medio di AB

Rappresentare sul foglio, in scala: G, assi u,v, ellisse d'inertia

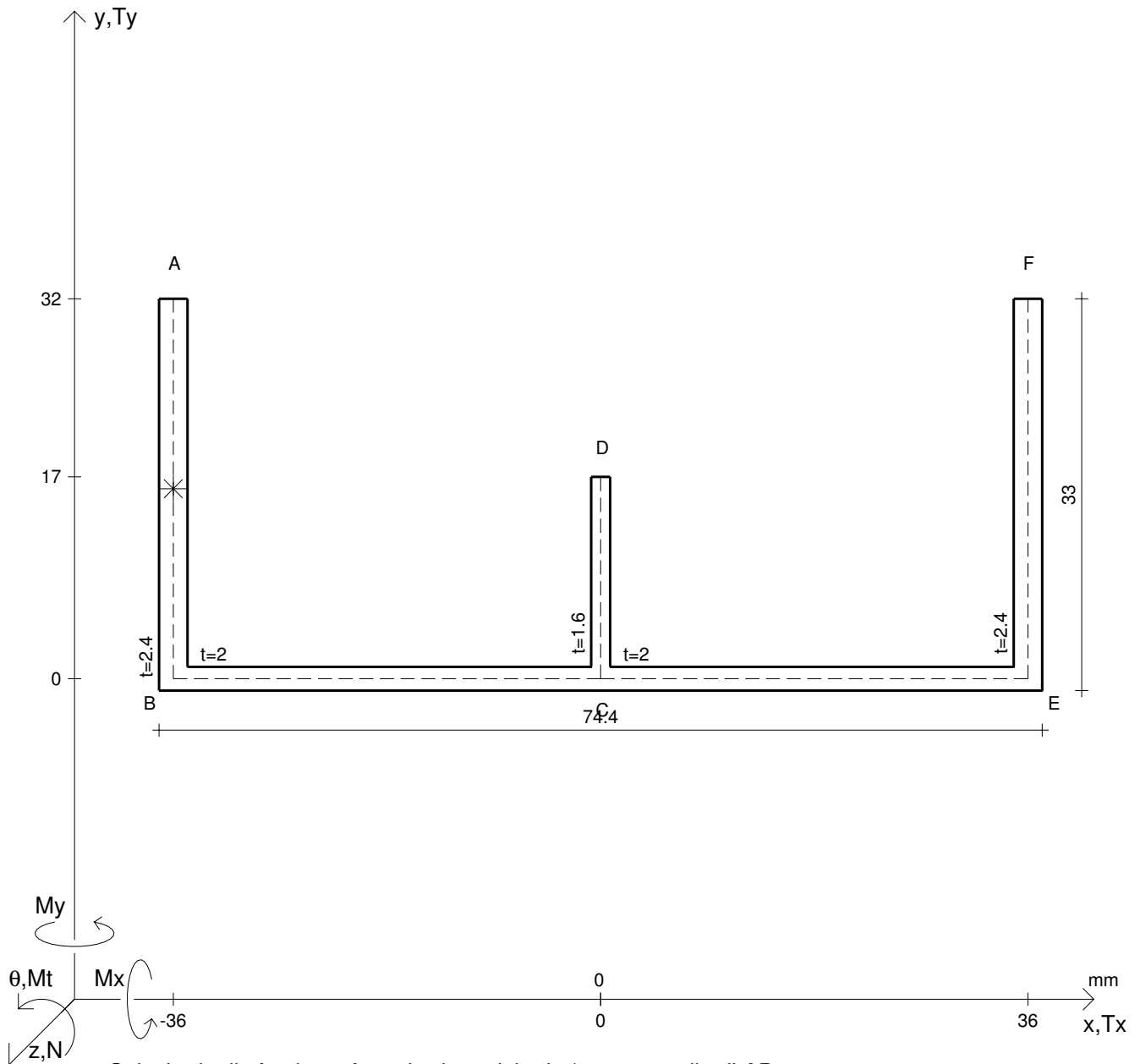
Rappresentare il cerchio di Mohr

Operare le conclusioni sulla verifica di resistenza in *

Facoltativo: rappresentare l'asse neutro e l'andamento delle tens. normali.

Facoltativo: rappresentare l'andamento delle tens. tangenziali.

N	$= 23500 \text{ N}$	M_x	$= 96200 \text{ Nmm}$	G	$= 75000 \text{ N/mm}^2$
T_y	$= 6620 \text{ N}$	σ_a	$= 240 \text{ N/mm}^2$		
M_t	$= 12800 \text{ Nmm}$	E	$= 200000 \text{ N/mm}^2$		
y_g	$=$	$\tau(M_t)$	$=$	σ_{lld}	$=$
u_o	$=$	$\tau(T_{yc})$	$=$	σ_{tresca}	$=$
v_o	$=$	$\tau(T_{yb})_d$	$=$	σ_{mises}	$=$
A_n	$=$	$\tau(T_y)_s$	$=$	$\sigma_{st.ven}$	$=$
C_w	$=$	$\tau(T_y)_d$	$=$	θ_t	$=$
J_u	$=$	σ	$=$	r_u	$=$
J_v	$=$	τ_s	$=$	r_v	$=$
J_t	$=$	σ_{ls}	$=$	r_o	$=$
$\sigma(N)$	$=$	σ_{lls}	$=$	J_p	$=$
$\sigma(M_x)$	$=$	σ_{ld}	$=$		



Calcolo degli sforzi con forze baricentriche in * punto medio di AB

Rappresentare sul foglio, in scala: G, assi u,v, ellisse d'inerzia

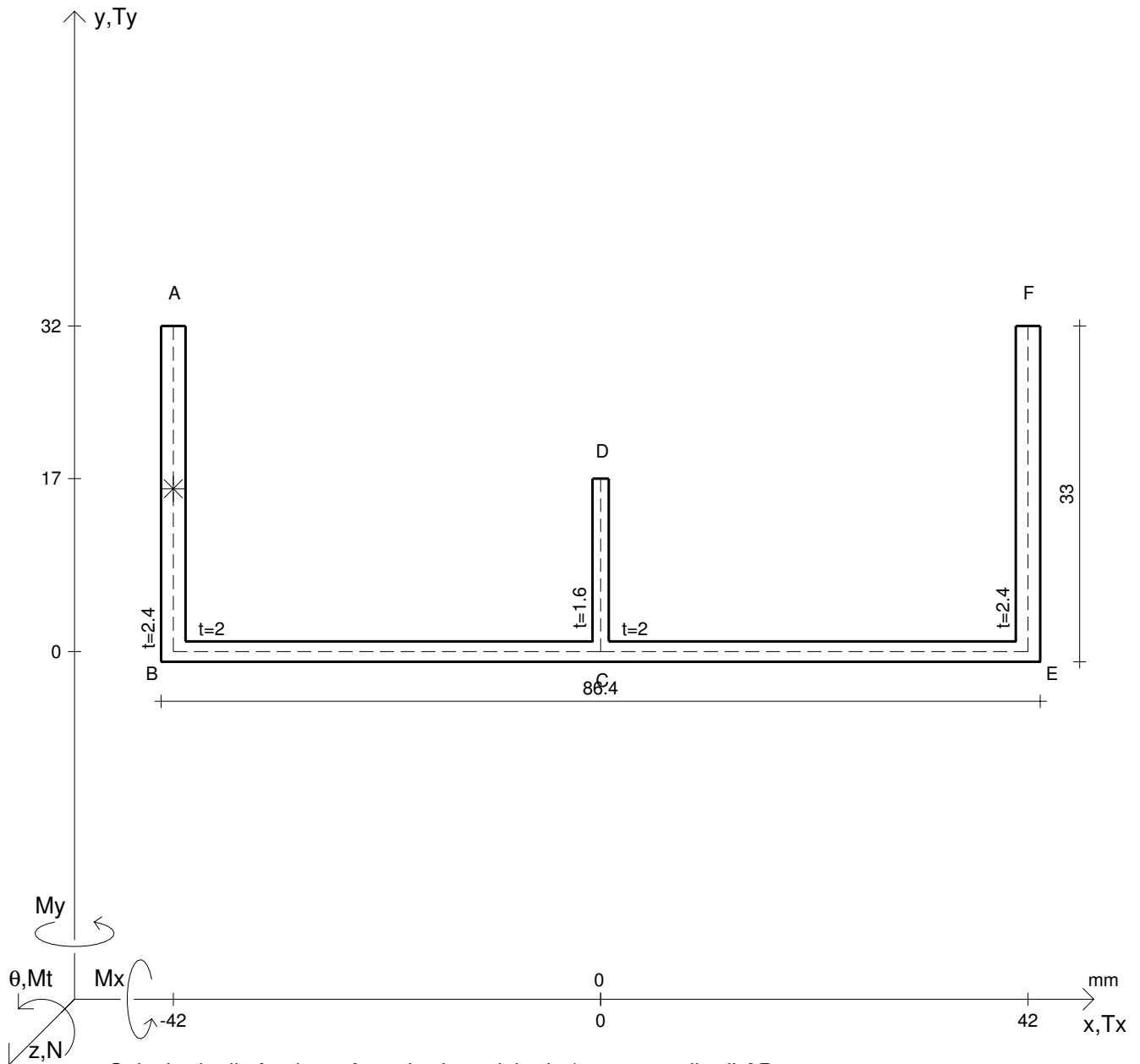
Rappresentare il cerchio di Mohr

Operare le conclusioni sulla verifica di resistenza in *

Facoltativo: rappresentare l'asse neutro e l'andamento delle tens. normali.

Facoltativo: rappresentare l'andamento delle tens. tangenziali.

N	$= 19100 \text{ N}$	M_x	$= 110000 \text{ Nmm}$	G	$= 75000 \text{ N/mm}^2$
T_y	$= 7270 \text{ N}$	σ_a	$= 240 \text{ N/mm}^2$		
M_t	$= 15400 \text{ Nmm}$	E	$= 200000 \text{ N/mm}^2$		
y_g	$=$	$\tau(M_t)$	$=$	σ_{lld}	$=$
u_o	$=$	$\tau(T_{yc})$	$=$	σ_{tresca}	$=$
v_o	$=$	$\tau(T_{yb})_d$	$=$	σ_{mises}	$=$
A_n	$=$	$\tau(T_y)_s$	$=$	$\sigma_{st.ven}$	$=$
C_w	$=$	$\tau(T_y)_d$	$=$	θ_t	$=$
J_u	$=$	σ	$=$	r_u	$=$
J_v	$=$	τ_s	$=$	r_v	$=$
J_t	$=$	σ_{ls}	$=$	r_o	$=$
$\sigma(N)$	$=$	σ_{lls}	$=$	J_p	$=$
$\sigma(M_x)$	$=$	σ_{ld}	$=$		



Calcolo degli sforzi con forze baricentriche in * punto medio di AB

Rappresentare sul foglio, in scala: G, assi u,v, ellisse d'inerzia

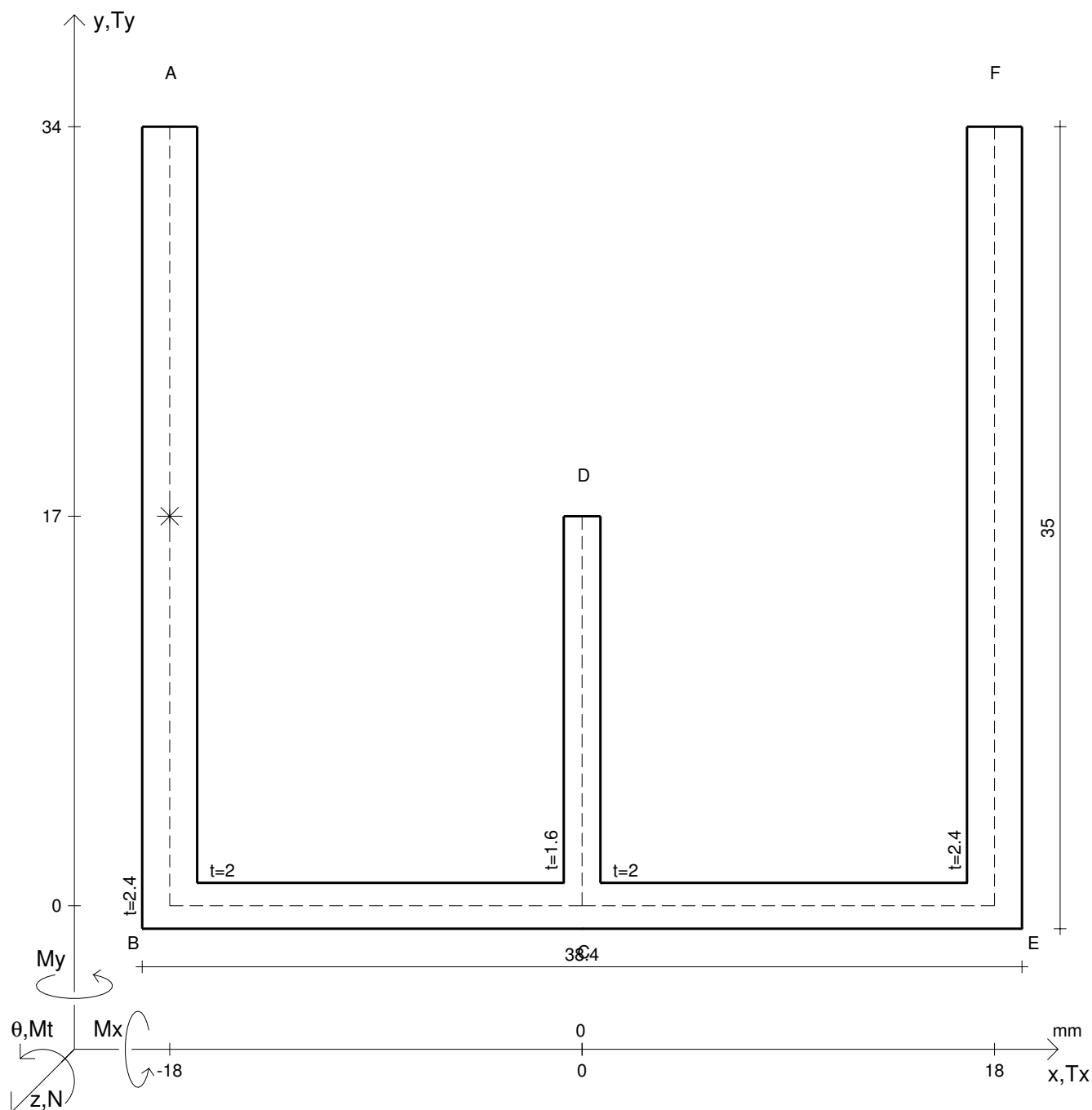
Rappresentare il cerchio di Mohr

Operare le conclusioni sulla verifica di resistenza in *

Facoltativo: rappresentare l'asse neutro e l'andamento delle tens. normali.

Facoltativo: rappresentare l'andamento delle tens. tangenziali.

N	$= 23200 \text{ N}$	M_x	$= 84100 \text{ Nmm}$	G	$= 75000 \text{ N/mm}^2$
T_y	$= 7930 \text{ N}$	σ_a	$= 240 \text{ N/mm}^2$	σ_{lld}	$=$
M_t	$= 18200 \text{ Nmm}$	E	$= 200000 \text{ N/mm}^2$	σ_{tresca}	$=$
y_g	$=$	$\tau(M_t)$	$=$	σ_{mises}	$=$
u_o	$=$	$\tau(T_{yc})$	$=$	$\sigma_{st.ven}$	$=$
v_o	$=$	$\tau(T_{yb})_d$	$=$	θ_t	$=$
A_n	$=$	$\tau(T_y)_s$	$=$	r_u	$=$
C_w	$=$	$\tau(T_y)_d$	$=$	r_v	$=$
J_u	$=$	σ	$=$	r_o	$=$
J_v	$=$	τ_s	$=$	J_p	$=$
J_t	$=$	σ_{ls}	$=$		
$\sigma(N)$	$=$	σ_{lls}	$=$		
$\sigma(M_x)$	$=$	σ_{ld}	$=$		



Calcolo degli sforzi con forze baricentriche in * punto medio di AB

Rappresentare sul foglio, in scala: G, assi u,v, ellisse d'inertia

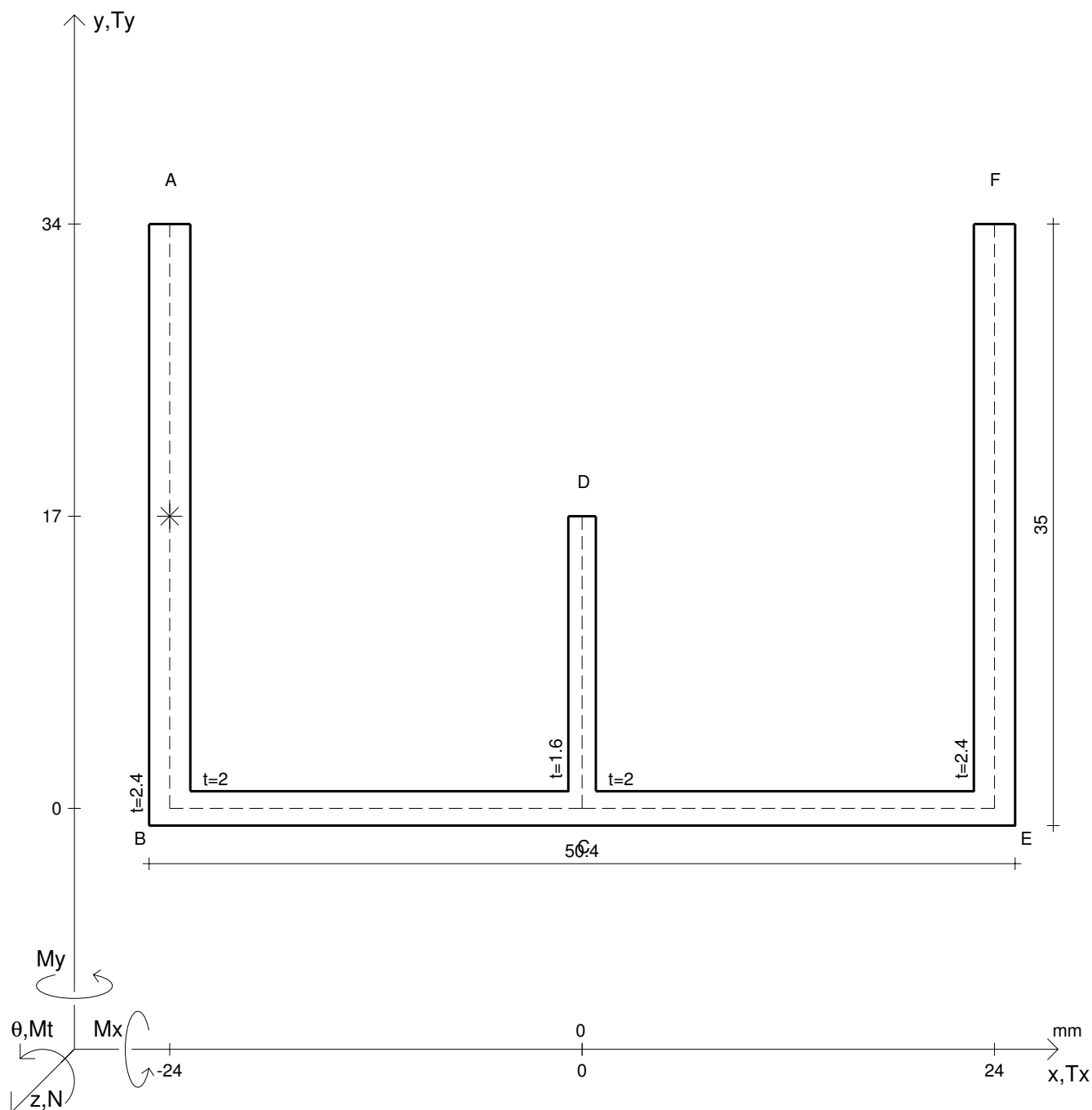
Rappresentare il cerchio di Mohr

Operare le conclusioni sulla verifica di resistenza in *

Facoltativo: rappresentare l'asse neutro e l'andamento delle tens. normali.

Facoltativo: rappresentare l'andamento delle tens. tangenziali.

N	= 17900 N	M _t	= -9980 Nmm	σ _a	= 240 N/mm ²	G	= 75000 N/mm ²
T _y	= 9750 N	M _x	= 85300 Nmm	E	= 200000 N/mm ²	θ _t	=
y _g	=	σ(N)	=	τ _s	=	r _u	=
u _o	=	σ(M _x)	=	σ _{ls}	=	r _v	=
v _o	=	τ(M _t)	=	σ _{lls}	=	r _o	=
A _n	=	τ(T _{yc})	=	σ _{ld}	=	J _p	=
C _w	=	τ(T _{yb}) _d	=	σ _{lld}	=		
J _u	=	τ(T _y) _s	=	σ _{tresca}	=		
J _v	=	τ(T _y) _d	=	σ _{mises}	=		
J _t	=	σ	=	σ _{st.ven}	=		



Calcolo degli sforzi con forze baricentriche in * punto medio di AB

Rappresentare sul foglio, in scala: G, assi u,v, ellisse d'inerzia

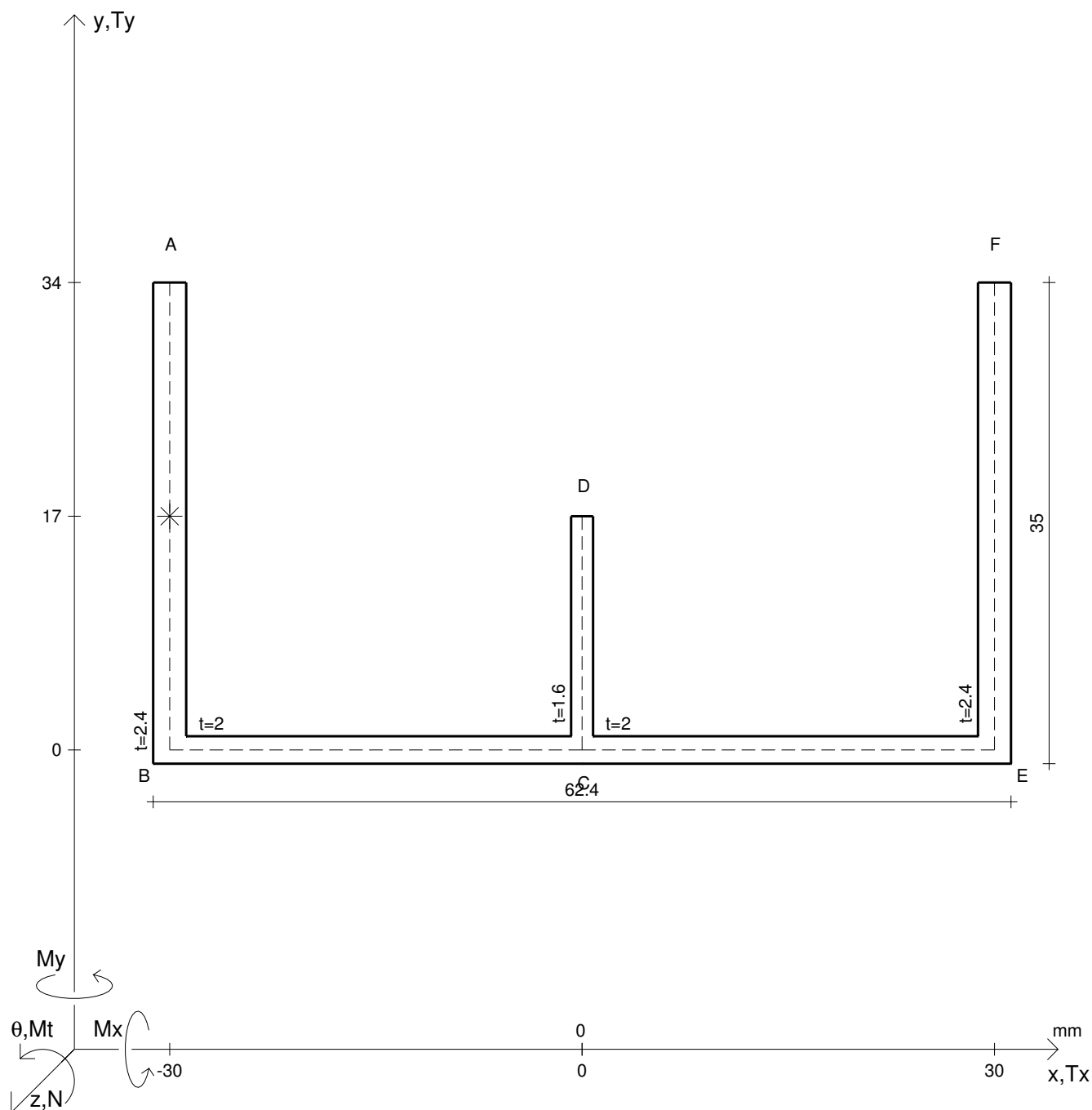
Rappresentare il cerchio di Mohr

Operare le conclusioni sulla verifica di resistenza in *

Facoltativo: rappresentare l'asse neutro e l'andamento delle tens. normali.

Facoltativo: rappresentare l'andamento delle tens. tangenziali.

N	= 21700 N	M_t	= -12100 Nmm	σ_a	= 240 N/mm ²	G	= 75000 N/mm ²
T_y	= 7190 N	M_x	= 100000 Nmm	E	= 200000 N/mm ²	θ_t	=
y_g	=	$\sigma(N)$	=	τ_s	=	r_u	=
u_o	=	$\sigma(M_x)$	=	σ_{ls}	=	r_v	=
v_o	=	$\tau(M_t)$	=	σ_{lls}	=	r_o	=
A_n	=	$\tau(T_{yc})$	=	σ_{ld}	=	J_p	=
C_w	=	$\tau(T_{yb})_d$	=	σ_{lld}	=		
J_u	=	$\tau(T_y)_s$	=	σ_{tresca}	=		
J_v	=	$\tau(T_y)_d$	=	σ_{mises}	=		
J_t	=	σ	=	$\sigma_{st.ven}$	=		



Calcolo degli sforzi con forze baricentriche in * punto medio di AB

Rappresentare sul foglio, in scala: G, assi u,v, ellisse d'inerzia

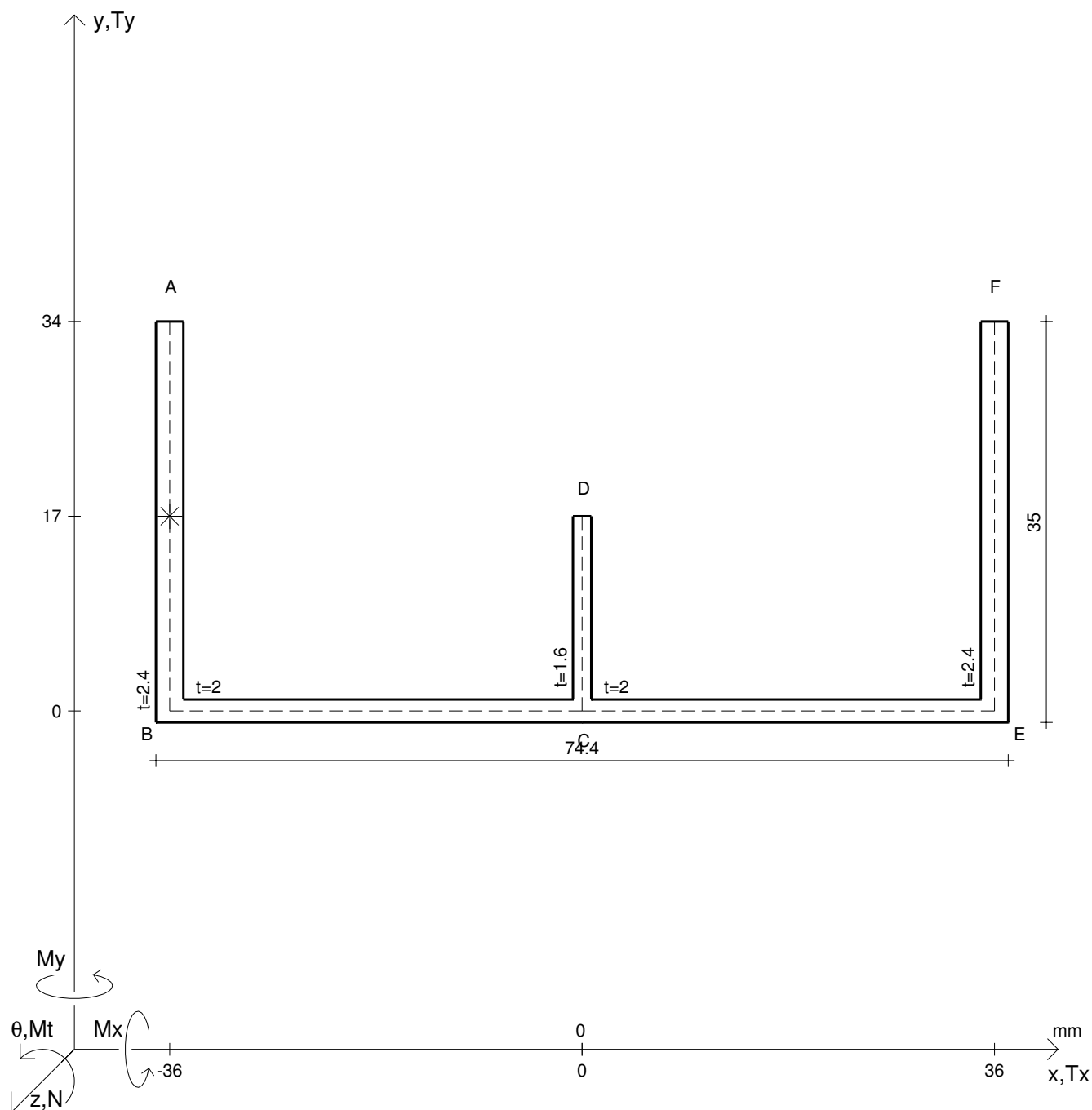
Rappresentare il cerchio di Mohr

Operare le conclusioni sulla verifica di resistenza in *

Facoltativo: rappresentare l'asse neutro e l'andamento delle tens. normali.

Facoltativo: rappresentare l'andamento delle tens. tangenziali.

N	= 17800 N	M _t	= -14700 Nmm	σ _a	= 240 N/mm ²	G	= 75000 N/mm ²
T _y	= 7850 N	M _x	= 116000 Nmm	E	= 200000 N/mm ²	θ _t	=
y _g	=	σ(N)	=	τ _s	=	r _u	=
u _o	=	σ(M _x)	=	σ _{ls}	=	r _v	=
v _o	=	τ(M _t)	=	σ _{lls}	=	r _o	=
A _n	=	τ(T _{yc})	=	σ _{ld}	=	J _p	=
C _w	=	τ(T _{yb}) _d	=	σ _{lld}	=		
J _u	=	τ(T _y) _s	=	σ _{tresca}	=		
J _v	=	τ(T _y) _d	=	σ _{mises}	=		
J _t	=	σ	=	σ _{st.ven}	=		



Calcolo degli sforzi con forze baricentriche in * punto medio di AB

Rappresentare sul foglio, in scala: G, assi u, v , ellisse d'inertia

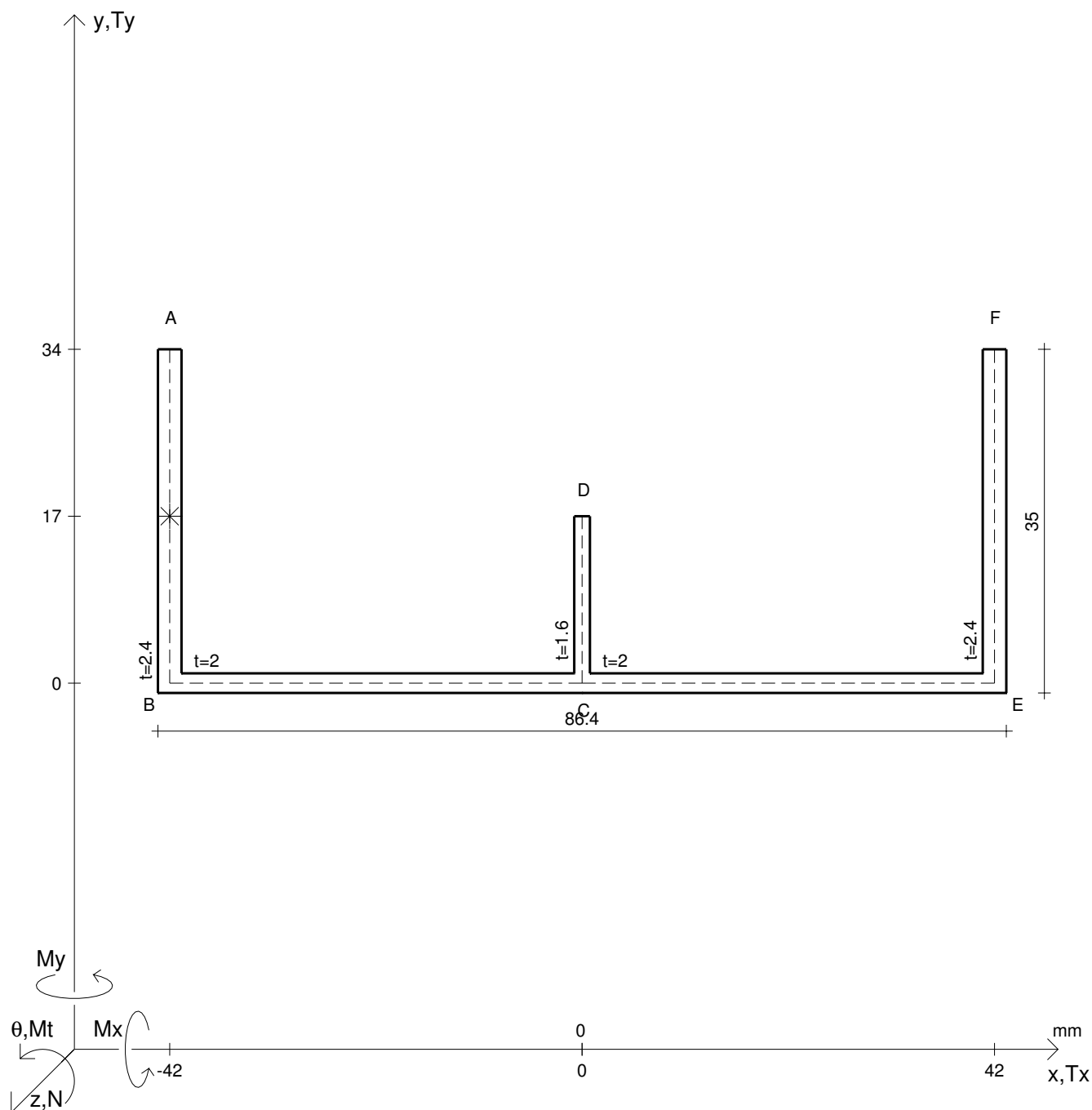
Rappresentare il cerchio di Mohr

Operare le conclusioni sulla verifica di resistenza in *

Facoltativo: rappresentare l'asse neutro e l'andamento delle tens. normali.

Facoltativo: rappresentare l'andamento delle tens. tangenziali.

N	$= 21900 \text{ N}$	M_t	$= -17400 \text{ Nmm}$	σ_a	$= 240 \text{ N/mm}^2$	G	$= 75000 \text{ N/mm}^2$
T_y	$= 8520 \text{ N}$	M_x	$= 90200 \text{ Nmm}$	E	$= 200000 \text{ N/mm}^2$	θ_t	$=$
y_g	$=$	$\sigma(N)$	$=$	τ_s	$=$	r_u	$=$
u_o	$=$	$\sigma(M_x)$	$=$	σ_{ls}	$=$	r_v	$=$
v_o	$=$	$\tau(M_t)$	$=$	σ_{lls}	$=$	r_o	$=$
A_n	$=$	$\tau(T_{yc})$	$=$	σ_{ld}	$=$	J_p	$=$
C_w	$=$	$\tau(T_{yb}/d)$	$=$	σ_{lld}	$=$		
J_u	$=$	$\tau(T_y)_s$	$=$	σ_{tresca}	$=$		
J_v	$=$	$\tau(T_y)_d$	$=$	σ_{mises}	$=$		
J_t	$=$	σ	$=$	$\sigma_{st.ven}$	$=$		



Calcolo degli sforzi con forze baricentriche in * punto medio di AB

Rappresentare sul foglio, in scala: G, assi u,v, ellisse d'inertia

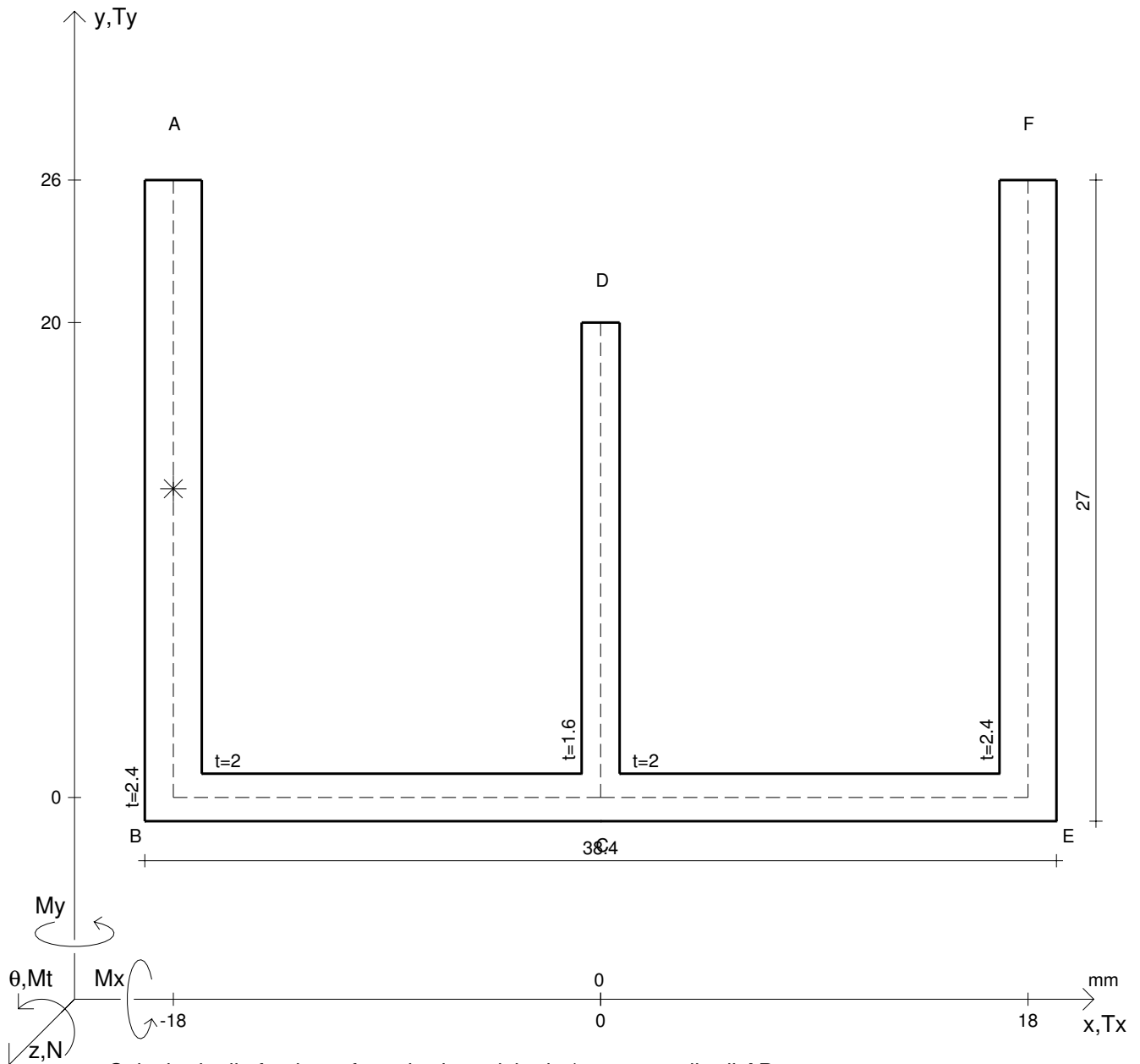
Rappresentare il cerchio di Mohr

Operare le conclusioni sulla verifica di resistenza in *

Facoltativo: rappresentare l'asse neutro e l'andamento delle tens. normali.

Facoltativo: rappresentare l'andamento delle tens. tangenziali.

N	$= 26200 \text{ N}$	M_t	$= 13800 \text{ Nmm}$	σ_a	$= 240 \text{ N/mm}^2$	G	$= 75000 \text{ N/mm}^2$
T_y	$= 9210 \text{ N}$	M_x	$= 104000 \text{ Nmm}$	E	$= 200000 \text{ N/mm}^2$	θ_t	$=$
y_g	$=$	$\sigma(N)$	$=$	τ_s	$=$	r_u	$=$
u_o	$=$	$\sigma(M_x)$	$=$	σ_{ls}	$=$	r_v	$=$
v_o	$=$	$\tau(M_t)$	$=$	σ_{lls}	$=$	r_o	$=$
A_n	$=$	$\tau(T_{yc})$	$=$	σ_{ld}	$=$	J_p	$=$
C_w	$=$	$\tau(T_{yb/d})$	$=$	σ_{lld}	$=$		
J_u	$=$	$\tau(T_y)_s$	$=$	σ_{tresca}	$=$		
J_v	$=$	$\tau(T_y)_d$	$=$	σ_{mises}	$=$		
J_t	$=$	σ	$=$	$\sigma_{st.ven}$	$=$		



Calcolo degli sforzi con forze baricentriche in * punto medio di AB

Rappresentare sul foglio, in scala: G, assi u,v, ellisse d'inertia

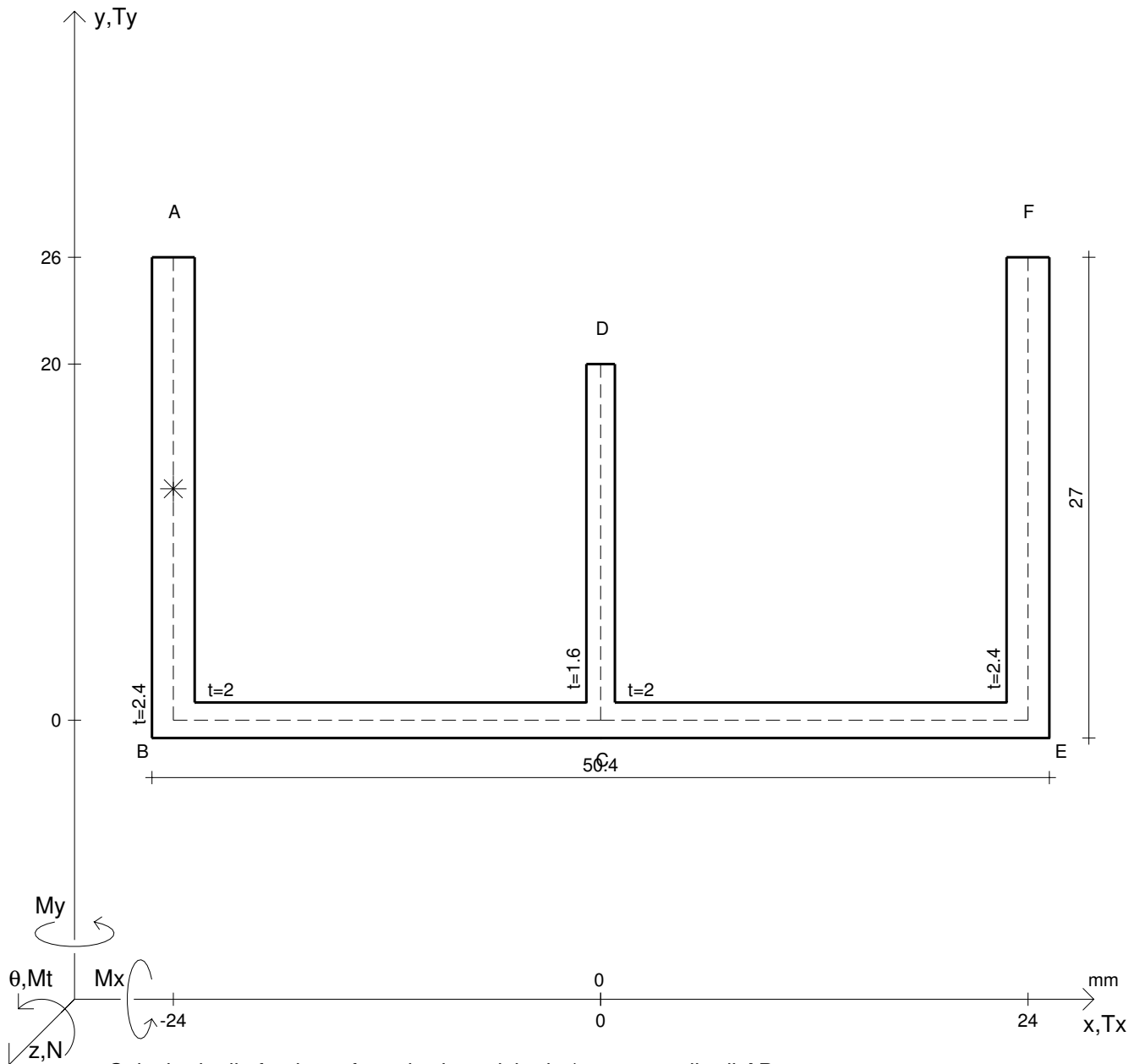
Rappresentare il cerchio di Mohr

Operare le conclusioni sulla verifica di resistenza in *

Facoltativo: rappresentare l'asse neutro e l'andamento delle tens. normali.

Facoltativo: rappresentare l'andamento delle tens. tangenziali.

N	$= 17100 \text{ N}$	M_x	$= 62000 \text{ Nmm}$	G	$= 75000 \text{ N/mm}^2$
T_y	$= 6140 \text{ N}$	σ_a	$= 240 \text{ N/mm}^2$	σ_{lld}	$=$
M_t	$= 9350 \text{ Nmm}$	E	$= 200000 \text{ N/mm}^2$	σ_{tresca}	$=$
y_g	$=$	$\tau(M_t)$	$=$	σ_{mises}	$=$
u_o	$=$	$\tau(T_{yc})$	$=$	$\sigma_{st.ven}$	$=$
v_o	$=$	$\tau(T_{yb})_d$	$=$	θ_t	$=$
A_n	$=$	$\tau(T_y)_s$	$=$	r_u	$=$
C_w	$=$	$\tau(T_y)_d$	$=$	r_v	$=$
J_u	$=$	σ	$=$	r_o	$=$
J_v	$=$	τ_s	$=$	J_p	$=$
J_t	$=$	σ_{ls}	$=$		
$\sigma(N)$	$=$	σ_{lls}	$=$		
$\sigma(M_x)$	$=$	σ_{ld}	$=$		



Calcolo degli sforzi con forze baricentriche in * punto medio di AB

Rappresentare sul foglio, in scala: G, assi u,v, ellisse d'inertia

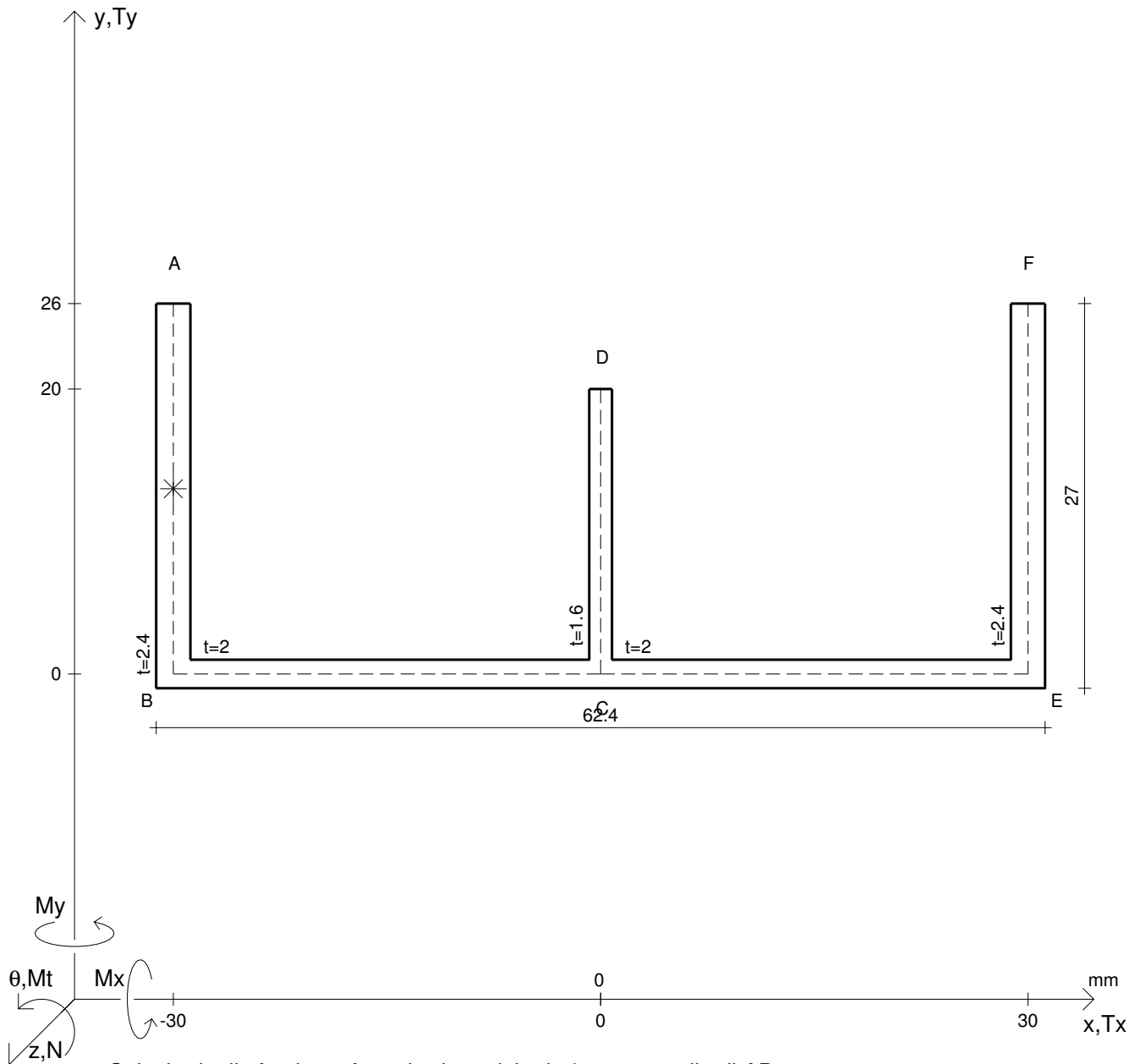
Rappresentare il cerchio di Mohr

Operare le conclusioni sulla verifica di resistenza in *

Facoltativo: rappresentare l'asse neutro e l'andamento delle tens. normali.

Facoltativo: rappresentare l'andamento delle tens. tangenziali.

N	$= 14400 \text{ N}$	M_x	$= 73500 \text{ Nmm}$	G	$= 75000 \text{ N/mm}^2$
T_y	$= 6710 \text{ N}$	σ_a	$= 240 \text{ N/mm}^2$	σ_{lld}	$=$
M_t	$= 11500 \text{ Nmm}$	E	$= 200000 \text{ N/mm}^2$	σ_{tresca}	$=$
y_g	$=$	$\tau(M_t)$	$=$	σ_{mises}	$=$
u_o	$=$	$\tau(T_{yc})$	$=$	$\sigma_{st.ven}$	$=$
v_o	$=$	$\tau(T_{yb})_d$	$=$	θ_t	$=$
A_n	$=$	$\tau(T_y)_s$	$=$	r_u	$=$
C_w	$=$	$\tau(T_y)_d$	$=$	r_v	$=$
J_u	$=$	σ	$=$	r_o	$=$
J_v	$=$	τ_s	$=$	J_p	$=$
J_t	$=$	σ_{ls}	$=$		
$\sigma(N)$	$=$	σ_{lls}	$=$		
$\sigma(M_x)$	$=$	σ_{ld}	$=$		



Calcolo degli sforzi con forze baricentriche in * punto medio di AB

Rappresentare sul foglio, in scala: G, assi u,v, ellisse d'inertia

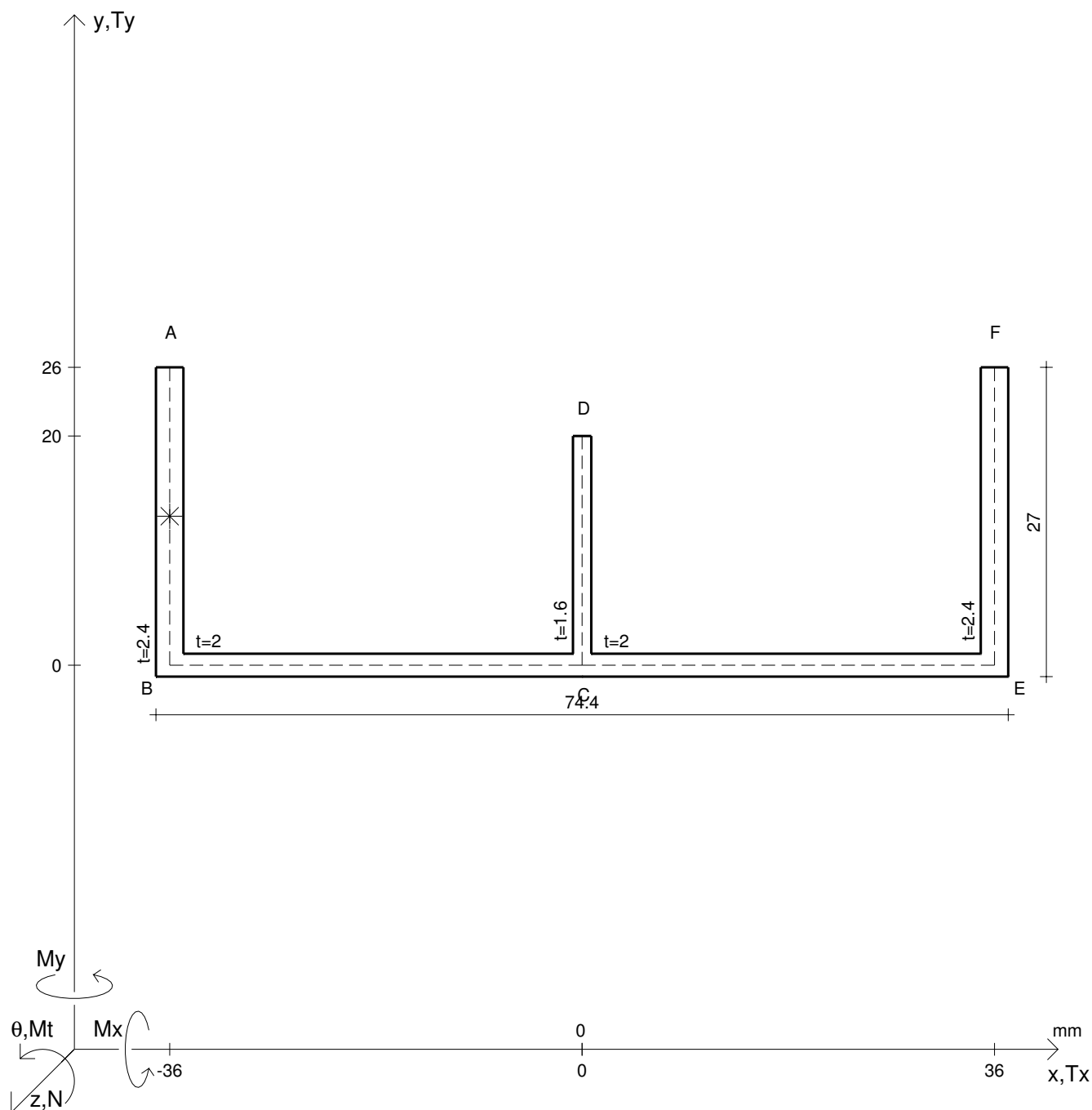
Rappresentare il cerchio di Mohr

Operare le conclusioni sulla verifica di resistenza in *

Facoltativo: rappresentare l'asse neutro e l'andamento delle tens. normali.

Facoltativo: rappresentare l'andamento delle tens. tangenziali.

N	$= 18000 \text{ N}$	M_x	$= 57600 \text{ Nmm}$	G	$= 75000 \text{ N/mm}^2$
T_y	$= 7240 \text{ N}$	σ_a	$= 240 \text{ N/mm}^2$	σ_{lld}	$=$
M_t	$= 14000 \text{ Nmm}$	E	$= 200000 \text{ N/mm}^2$	σ_{tresca}	$=$
y_g	$=$	$\tau(M_t)$	$=$	σ_{mises}	$=$
u_o	$=$	$\tau(T_{yc})$	$=$	$\sigma_{st.ven}$	$=$
v_o	$=$	$\tau(T_{yb})_d$	$=$	θ_t	$=$
A_n	$=$	$\tau(T_y)_s$	$=$	r_u	$=$
C_w	$=$	$\tau(T_y)_d$	$=$	r_v	$=$
J_u	$=$	σ	$=$	r_o	$=$
J_v	$=$	τ_s	$=$	J_p	$=$
J_t	$=$	σ_{ls}	$=$		
$\sigma(N)$	$=$	σ_{lls}	$=$		
$\sigma(M_x)$	$=$	σ_{ld}	$=$		



Calcolo degli sforzi con forze baricentriche in * punto medio di AB

Rappresentare sul foglio, in scala: G, assi u,v, ellisse d'inerzia

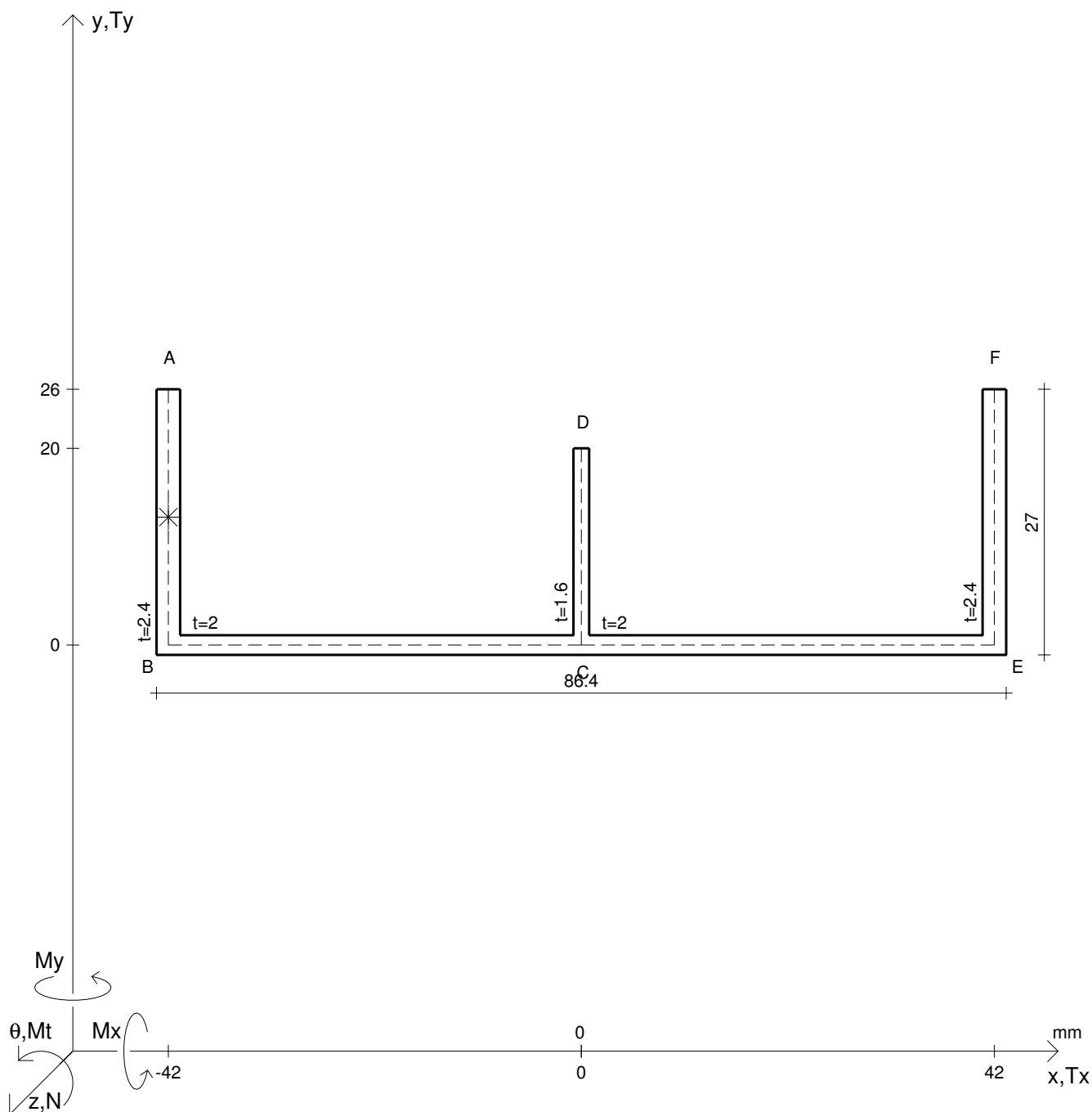
Rappresentare il cerchio di Mohr

Operare le conclusioni sulla verifica di resistenza in *

Facoltativo: rappresentare l'asse neutro e l'andamento delle tens. normali.

Facoltativo: rappresentare l'andamento delle tens. tangenziali.

N	$= 22000 \text{ N}$	M_t	$= 11300 \text{ Nmm}$	σ_a	$= 240 \text{ N/mm}^2$	G	$= 75000 \text{ N/mm}^2$
T_y	$= 7790 \text{ N}$	M_x	$= 67300 \text{ Nmm}$	E	$= 200000 \text{ N/mm}^2$	θ_t	$=$
y_g	$=$	$\sigma(N)$	$=$	τ_s	$=$	r_u	$=$
u_o	$=$	$\sigma(M_x)$	$=$	σ_{ls}	$=$	r_v	$=$
v_o	$=$	$\tau(M_t)$	$=$	σ_{lls}	$=$	r_o	$=$
A_n	$=$	$\tau(T_{yc})$	$=$	σ_{ld}	$=$	J_p	$=$
C_w	$=$	$\tau(T_{yb})_d$	$=$	σ_{lld}	$=$		
J_u	$=$	$\tau(T_y)_s$	$=$	σ_{tresca}	$=$		
J_v	$=$	$\tau(T_y)_d$	$=$	σ_{mises}	$=$		
J_t	$=$	σ	$=$	$\sigma_{st.ven}$	$=$		



Calcolo degli sforzi con forze baricentriche in * punto medio di AB

Rappresentare sul foglio, in scala: G, assi u,v, ellisse d'inertia

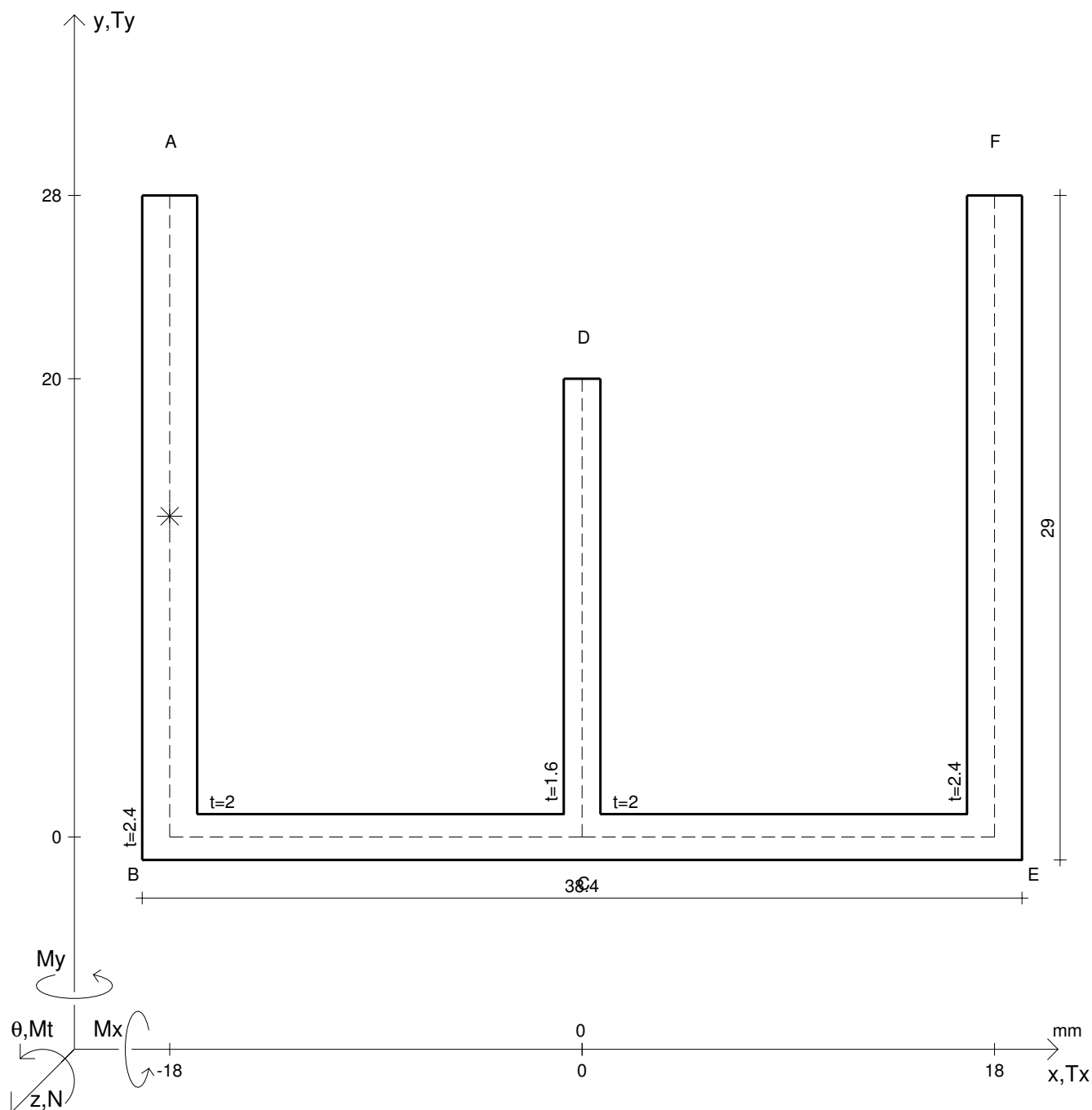
Rappresentare il cerchio di Mohr

Operare le conclusioni sulla verifica di resistenza in *

Facoltativo: rappresentare l'asse neutro e l'andamento delle tens. normali.

Facoltativo: rappresentare l'andamento delle tens. tangenziali.

N	$= 26300 \text{ N}$	M_t	$= 13700 \text{ Nmm}$	σ_a	$= 240 \text{ N/mm}^2$	G	$= 75000 \text{ N/mm}^2$
T_y	$= 5680 \text{ N}$	M_x	$= 76800 \text{ Nmm}$	E	$= 200000 \text{ N/mm}^2$	θ_t	$=$
y_g	$=$	$\sigma(N)$	$=$	τ_s	$=$	r_u	$=$
u_o	$=$	$\sigma(M_x)$	$=$	σ_{ls}	$=$	r_v	$=$
v_o	$=$	$\tau(M_t)$	$=$	σ_{lls}	$=$	r_o	$=$
A_n	$=$	$\tau(T_{yc})$	$=$	σ_{ld}	$=$	J_p	$=$
C_w	$=$	$\tau(T_{yb})_d$	$=$	σ_{lld}	$=$		
J_u	$=$	$\tau(T_y)_s$	$=$	σ_{tresca}	$=$		
J_v	$=$	$\tau(T_y)_d$	$=$	σ_{mises}	$=$		
J_t	$=$	σ	$=$	$\sigma_{st.ven}$	$=$		



Calcolo degli sforzi con forze baricentriche in * punto medio di AB

Rappresentare sul foglio, in scala: G, assi u,v, ellisse d'inertia

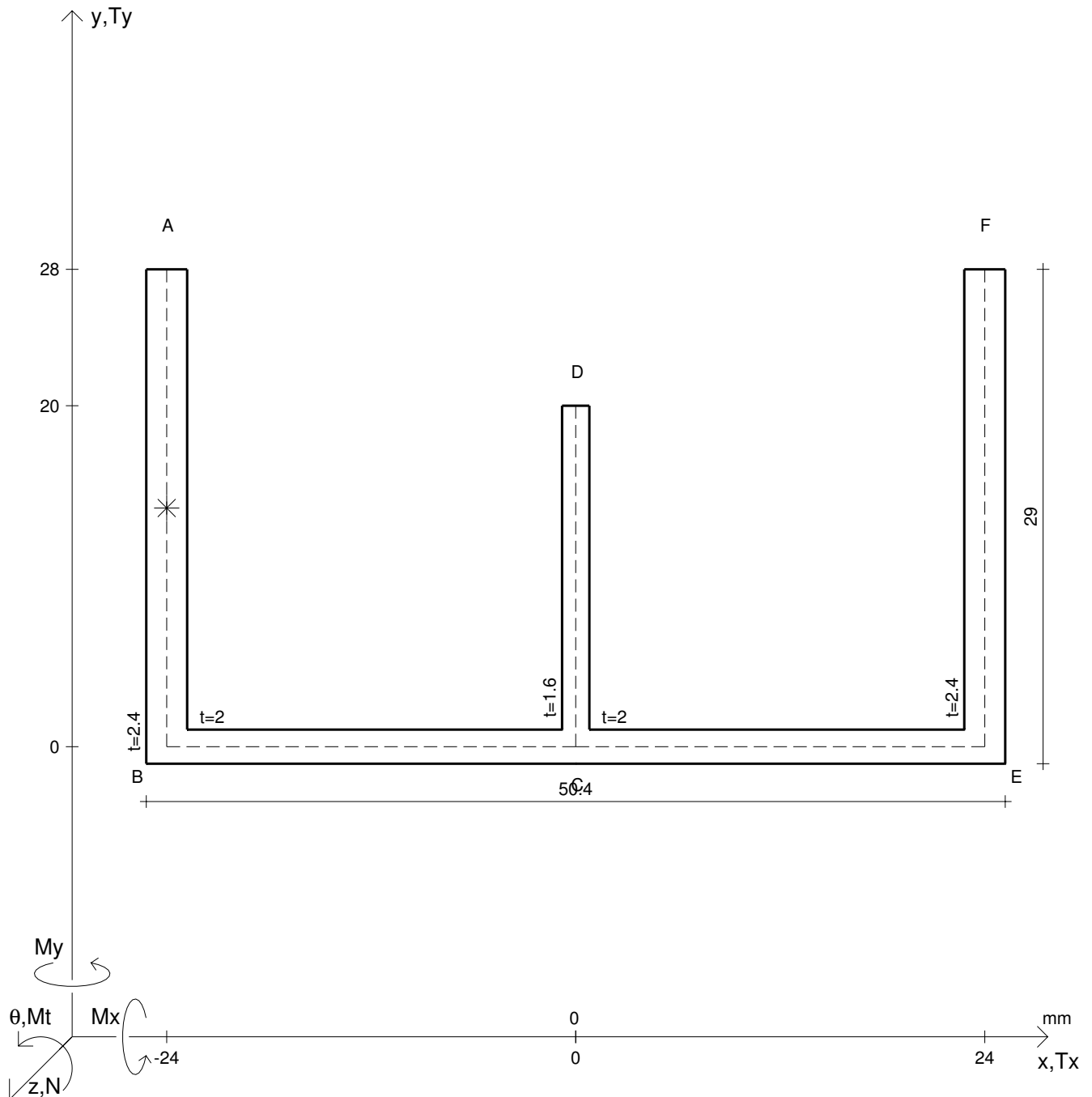
Rappresentare il cerchio di Mohr

Operare le conclusioni sulla verifica di resistenza in *

Facoltativo: rappresentare l'asse neutro e l'andamento delle tens. normali.

Facoltativo: rappresentare l'andamento delle tens. tangenziali.

N	$= 13200 \text{ N}$	M_t	$= -10800 \text{ Nmm}$	σ_a	$= 240 \text{ N/mm}^2$	G	$= 75000 \text{ N/mm}^2$
T_y	$= 7160 \text{ N}$	M_x	$= 76000 \text{ Nmm}$	E	$= 200000 \text{ N/mm}^2$	θ_t	$=$
y_g	$=$	$\sigma(N)$	$=$	τ_s	$=$	r_u	$=$
u_o	$=$	$\sigma(M_x)$	$=$	σ_{ls}	$=$	r_v	$=$
v_o	$=$	$\tau(M_t)$	$=$	σ_{lls}	$=$	r_o	$=$
A_n	$=$	$\tau(T_{yc})$	$=$	σ_{ld}	$=$	J_p	$=$
C_w	$=$	$\tau(T_{yb}/d)$	$=$	σ_{lld}	$=$		
J_u	$=$	$\tau(T_y)_s$	$=$	σ_{tresca}	$=$		
J_v	$=$	$\tau(T_y)_d$	$=$	σ_{mises}	$=$		
J_t	$=$	σ	$=$	$\sigma_{st.ven}$	$=$		



Calcolo degli sforzi con forze baricentriche in * punto medio di AB

Rappresentare sul foglio, in scala: G, assi u, v , ellisse d'inerzia

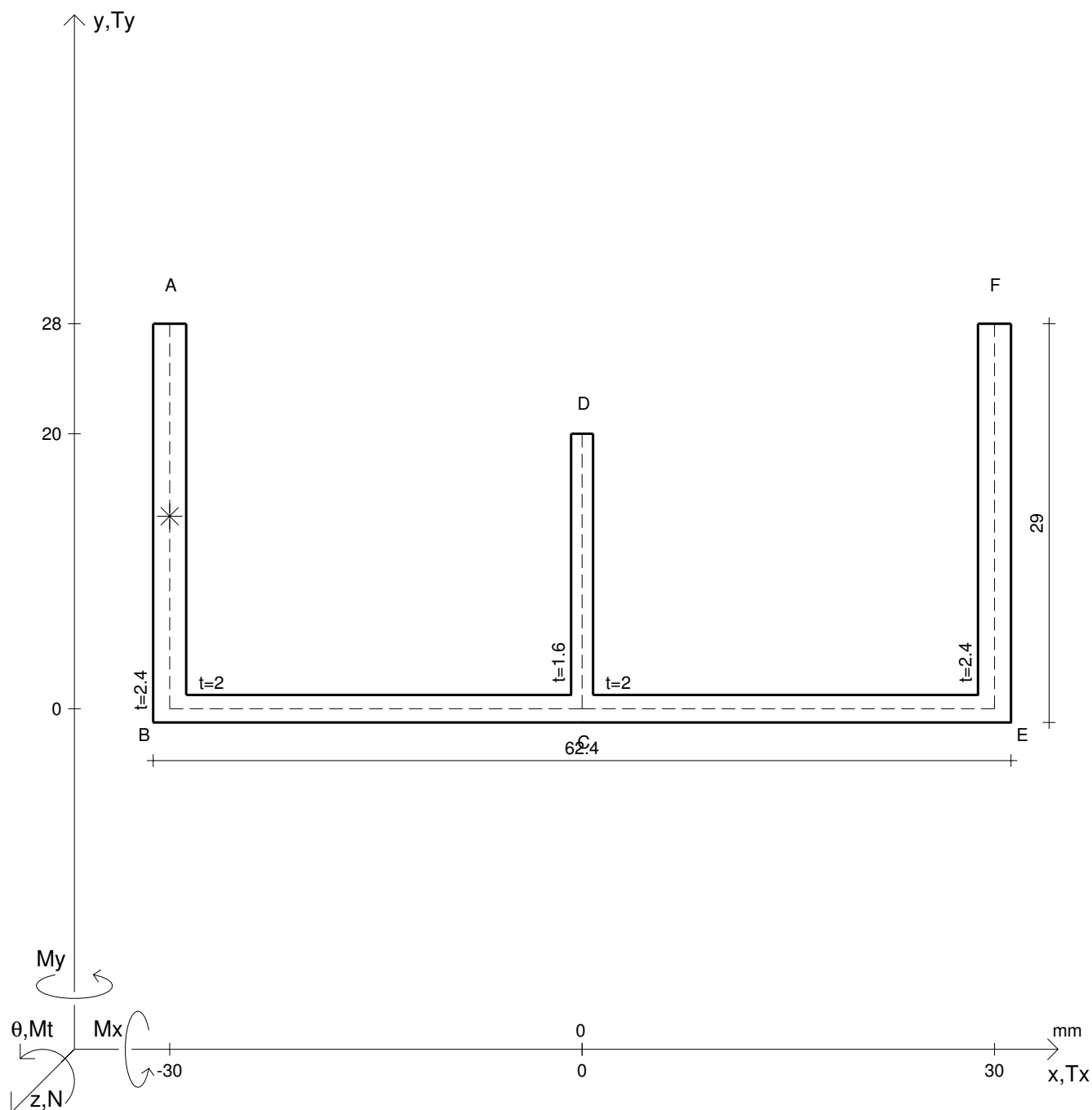
Rappresentare il cerchio di Mohr

Operare le conclusioni sulla verifica di resistenza in *

Facoltativo: rappresentare l'asse neutro e l'andamento delle tens. normali.

Facoltativo: rappresentare l'andamento delle tens. tangenziali.

N	$= 16600 \text{ N}$	M_t	$= -13200 \text{ Nmm}$	σ_a	$= 240 \text{ N/mm}^2$	G	$= 75000 \text{ N/mm}^2$
T_y	$= 7780 \text{ N}$	M_x	$= 60500 \text{ Nmm}$	E	$= 200000 \text{ N/mm}^2$	θ_t	$=$
y_g	$=$	$\sigma(N)$	$=$	τ_s	$=$	r_u	$=$
u_o	$=$	$\sigma(M_x)$	$=$	σ_{ls}	$=$	r_v	$=$
v_o	$=$	$\tau(M_t)$	$=$	σ_{lls}	$=$	r_o	$=$
A_n	$=$	$\tau(T_{yc})$	$=$	σ_{ld}	$=$	J_p	$=$
C_w	$=$	$\tau(T_{yb})_d$	$=$	σ_{lld}	$=$		
J_u	$=$	$\tau(T_y)_s$	$=$	σ_{tresca}	$=$		
J_v	$=$	$\tau(T_y)_d$	$=$	σ_{mises}	$=$		
J_t	$=$	σ	$=$	$\sigma_{st.ven}$	$=$		



Calcolo degli sforzi con forze baricentriche in * punto medio di AB

Rappresentare sul foglio, in scala: G, assi u,v, ellisse d'inertia

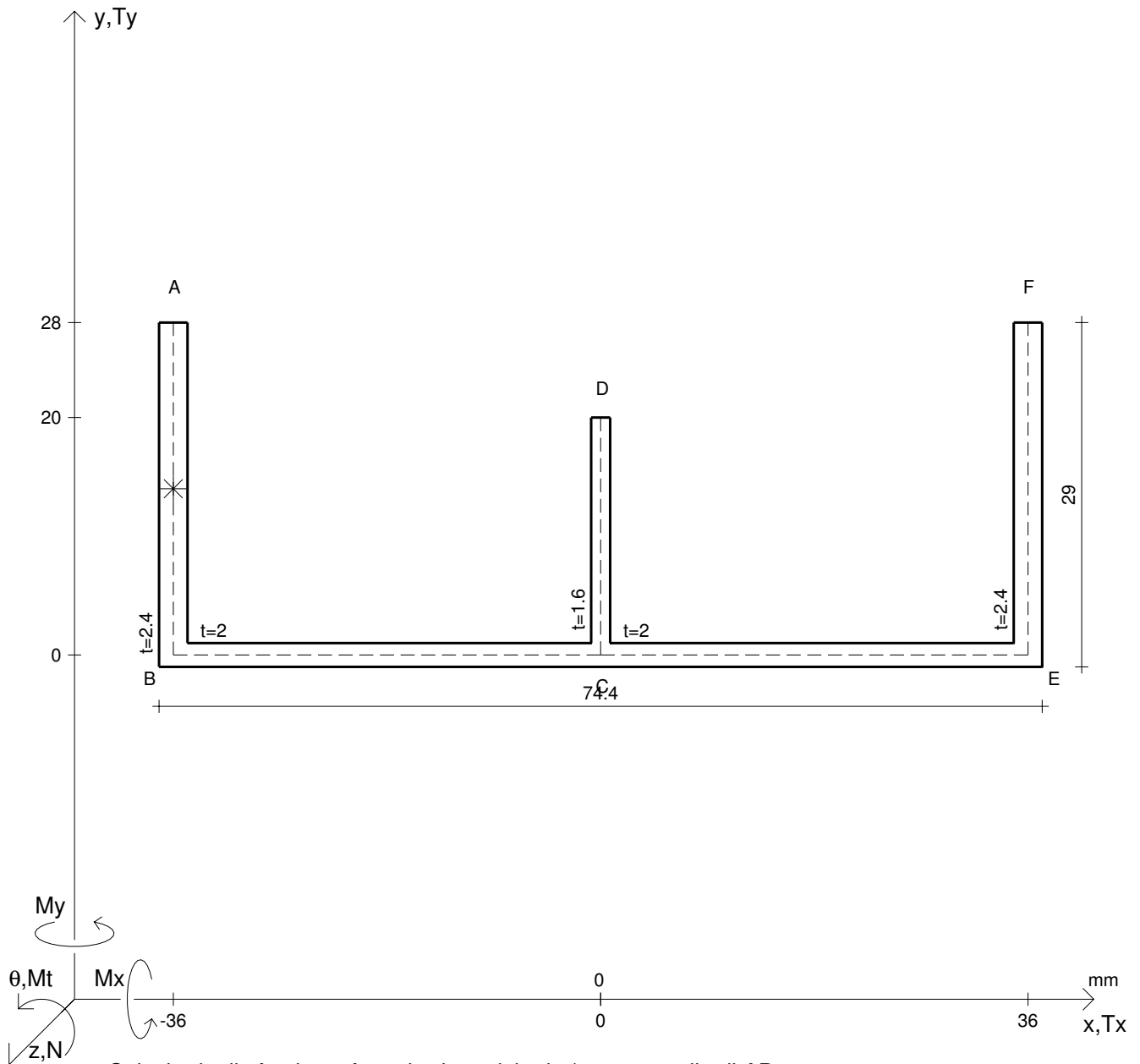
Rappresentare il cerchio di Mohr

Operare le conclusioni sulla verifica di resistenza in *

Facoltativo: rappresentare l'asse neutro e l'andamento delle tens. normali.

Facoltativo: rappresentare l'andamento delle tens. tangenziali.

N	= 20500 N	M_t	= -10700 Nmm	σ_a	= 240 N/mm ²	G	= 75000 N/mm ²
T_y	= 8330 N	M_x	= 71800 Nmm	E	= 200000 N/mm ²	θ_t	=
y_g	=	$\sigma(N)$	=	τ_s	=	r_u	=
u_o	=	$\sigma(M_x)$	=	σ_{ls}	=	r_v	=
v_o	=	$\tau(M_t)$	=	σ_{lls}	=	r_o	=
A_n	=	$\tau(T_{yc})$	=	σ_{ld}	=	J_p	=
C_w	=	$\tau(T_{yb})_d$	=	σ_{lld}	=		
J_u	=	$\tau(T_y)_s$	=	σ_{tresca}	=		
J_v	=	$\tau(T_y)_d$	=	σ_{mises}	=		
J_t	=	σ	=	$\sigma_{st.ven}$	=		



Calcolo degli sforzi con forze baricentriche in * punto medio di AB

Rappresentare sul foglio, in scala: G, assi u, v , ellisse d'inertia

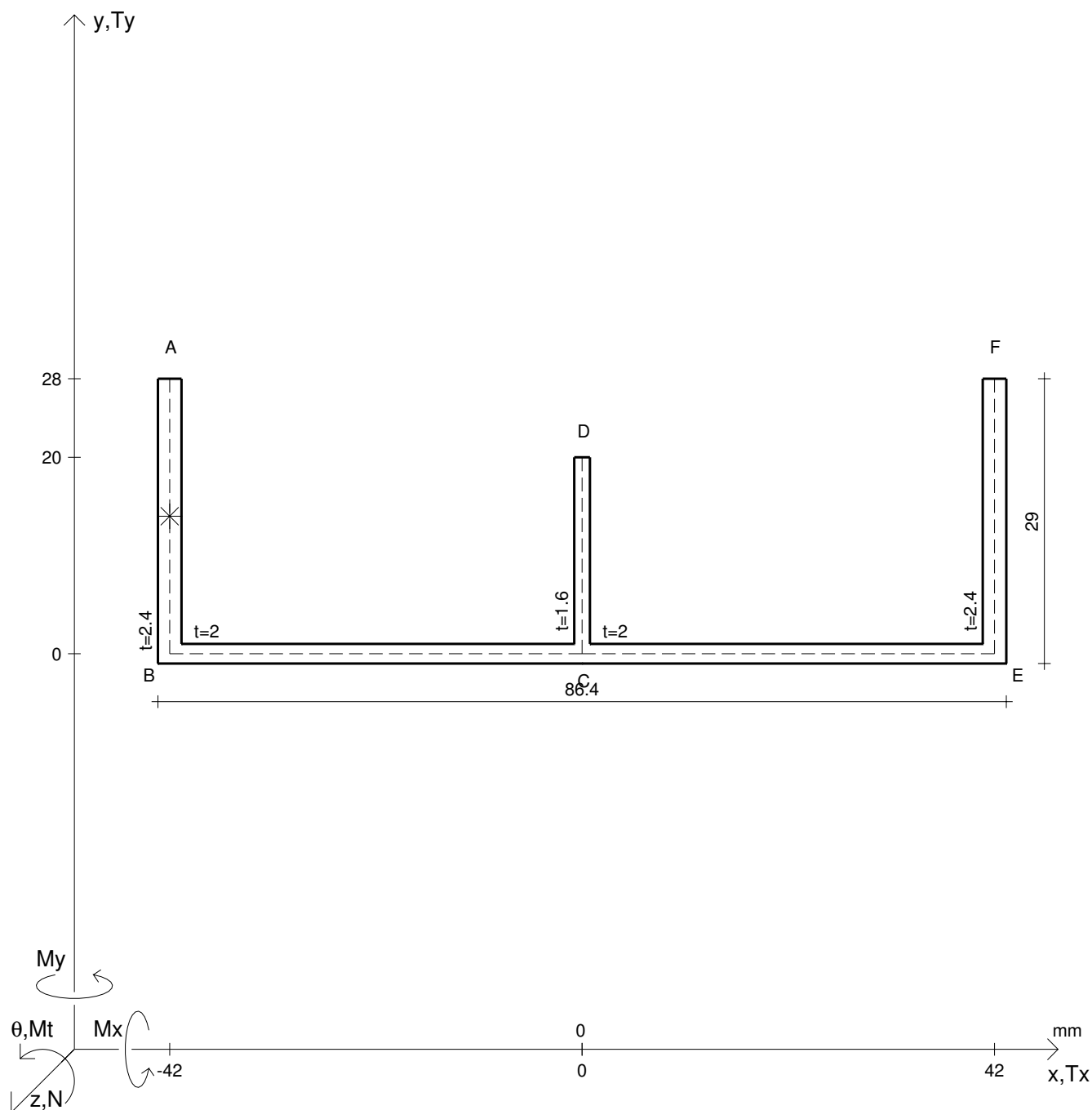
Rappresentare il cerchio di Mohr

Operare le conclusioni sulla verifica di resistenza in *

Facoltativo: rappresentare l'asse neutro e l'andamento delle tens. normali.

Facoltativo: rappresentare l'andamento delle tens. tangenziali.

N	$= 24800 \text{ N}$	M_x	$= 83000 \text{ Nmm}$	G	$= 75000 \text{ N/mm}^2$
T_y	$= 6050 \text{ N}$	σ_a	$= 240 \text{ N/mm}^2$	σ_{lld}	$=$
M_t	$= 13100 \text{ Nmm}$	E	$= 200000 \text{ N/mm}^2$	σ_{tresca}	$=$
y_g	$=$	$\tau(M_t)$	$=$	σ_{mises}	$=$
u_o	$=$	$\tau(T_{yc})$	$=$	$\sigma_{st.ven}$	$=$
v_o	$=$	$\tau(T_{yb})_d$	$=$	θ_t	$=$
A_n	$=$	$\tau(T_y)_s$	$=$	r_u	$=$
C_w	$=$	$\tau(T_y)_d$	$=$	r_v	$=$
J_u	$=$	σ	$=$	r_o	$=$
J_v	$=$	τ_s	$=$	J_p	$=$
J_t	$=$	σ_{ls}	$=$		
$\sigma(N)$	$=$	σ_{lls}	$=$		
$\sigma(M_x)$	$=$	σ_{ld}	$=$		



Calcolo degli sforzi con forze baricentriche in * punto medio di AB

Rappresentare sul foglio, in scala: G, assi u,v, ellisse d'inerzia

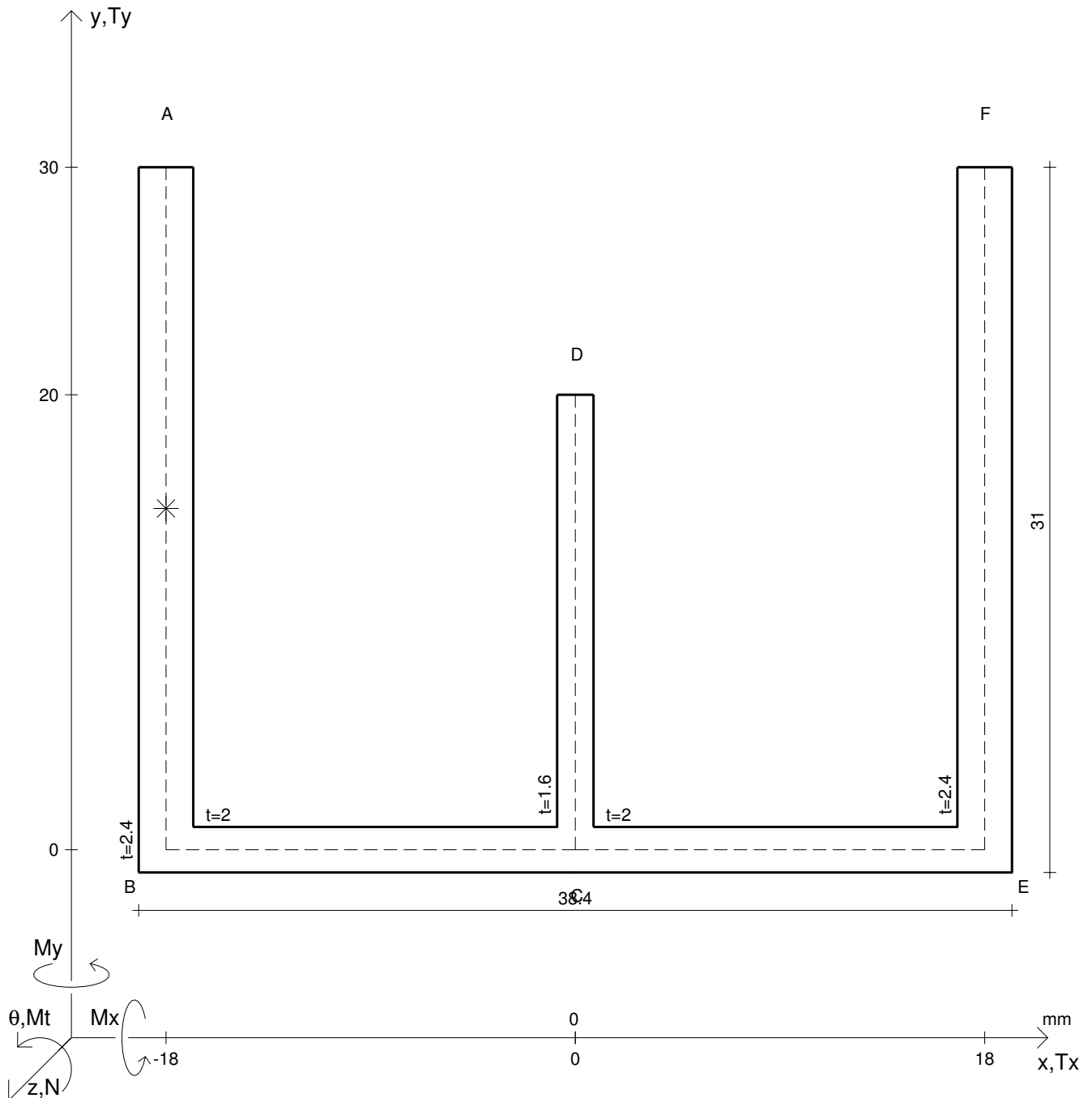
Rappresentare il cerchio di Mohr

Operare le conclusioni sulla verifica di resistenza in *

Facoltativo: rappresentare l'asse neutro e l'andamento delle tens. normali.

Facoltativo: rappresentare l'andamento delle tens. tangenziali.

N	= 19900 N	M_t	= 15600 Nmm	σ_a	= 240 N/mm ²	G	= 75000 N/mm ²
T_y	= 6670 N	M_x	= 94000 Nmm	E	= 200000 N/mm ²	θ_t	=
y_g	=	$\sigma(N)$	=	τ_s	=	r_u	=
u_o	=	$\sigma(M_x)$	=	σ_{ls}	=	r_v	=
v_o	=	$\tau(M_t)$	=	σ_{lls}	=	r_o	=
A_n	=	$\tau(T_{yc})$	=	σ_{ld}	=	J_p	=
C_w	=	$\tau(T_{yb}/d)$	=	σ_{lld}	=		
J_u	=	$\tau(T_y)_s$	=	σ_{tresca}	=		
J_v	=	$\tau(T_y)_d$	=	σ_{mises}	=		
J_t	=	σ	=	$\sigma_{st.ven}$	=		



Calcolo degli sforzi con forze baricentriche in * punto medio di AB

Rappresentare sul foglio, in scala: G, assi u,v, ellisse d'inertia

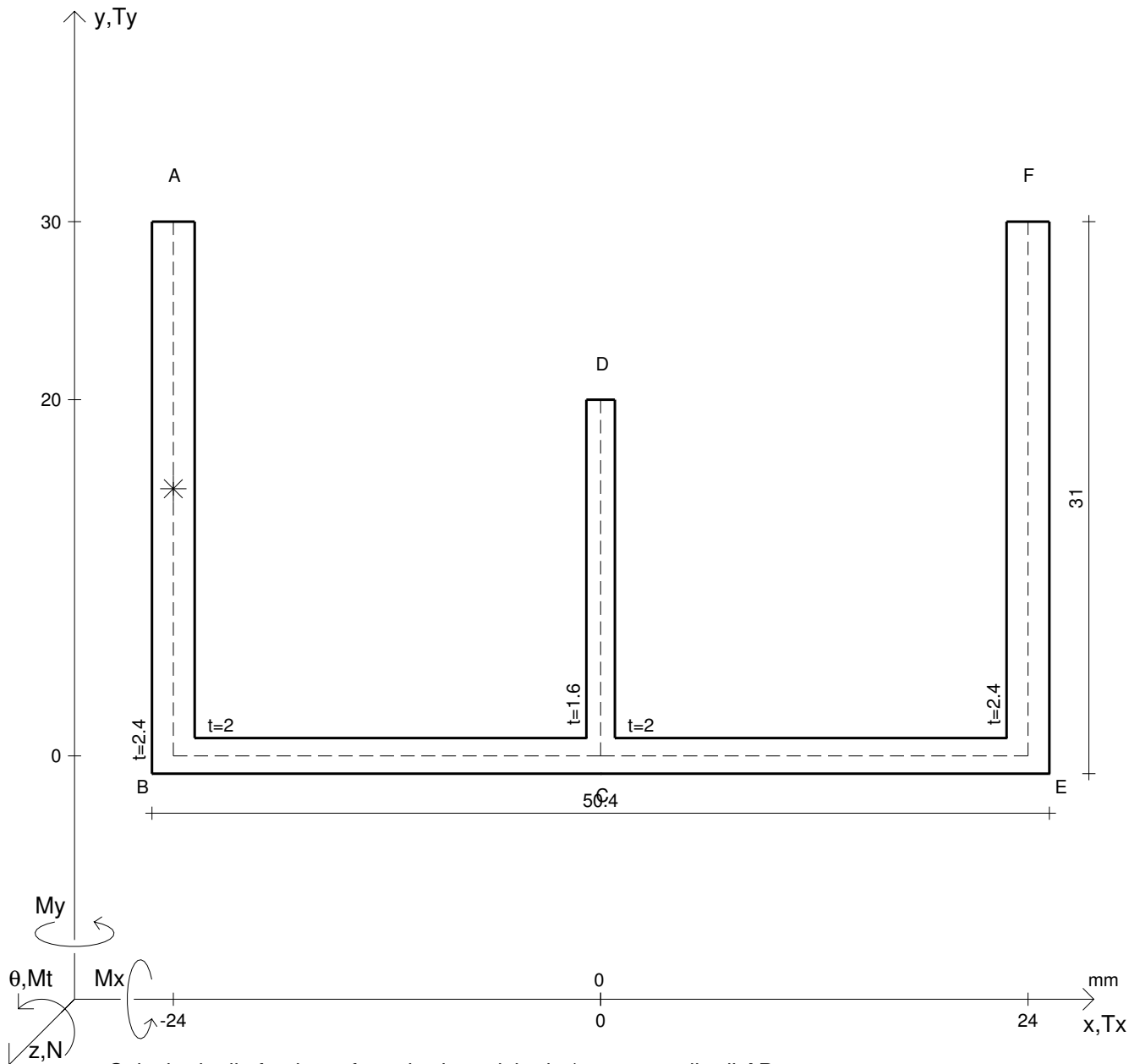
Rappresentare il cerchio di Mohr

Operare le conclusioni sulla verifica di resistenza in *

Facoltativo: rappresentare l'asse neutro e l'andamento delle tens. normali.

Facoltativo: rappresentare l'andamento delle tens. tangenziali.

N	= 15300 N	M _t	= 12400 Nmm	σ _a	= 240 N/mm ²	G	= 75000 N/mm ²
T _y	= 8270 N	M _x	= 62700 Nmm	E	= 200000 N/mm ²	θ _t	=
y _g	=	σ(N)	=	τ _s	=	r _u	=
u _o	=	σ(M _x)	=	σ _{ls}	=	r _v	=
v _o	=	τ(M _t)	=	σ _{lls}	=	r _o	=
A _n	=	τ(T _{yc})	=	σ _{ld}	=	J _p	=
C _w	=	τ(T _{yb}) _d	=	σ _{lld}	=		
J _u	=	τ(T _y) _s	=	σ _{tresca}	=		
J _v	=	τ(T _y) _d	=	σ _{mises}	=		
J _t	=	σ	=	σ _{st.ven}	=		



Calcolo degli sforzi con forze baricentriche in * punto medio di AB

Rappresentare sul foglio, in scala: G, assi u,v, ellisse d'inerzia

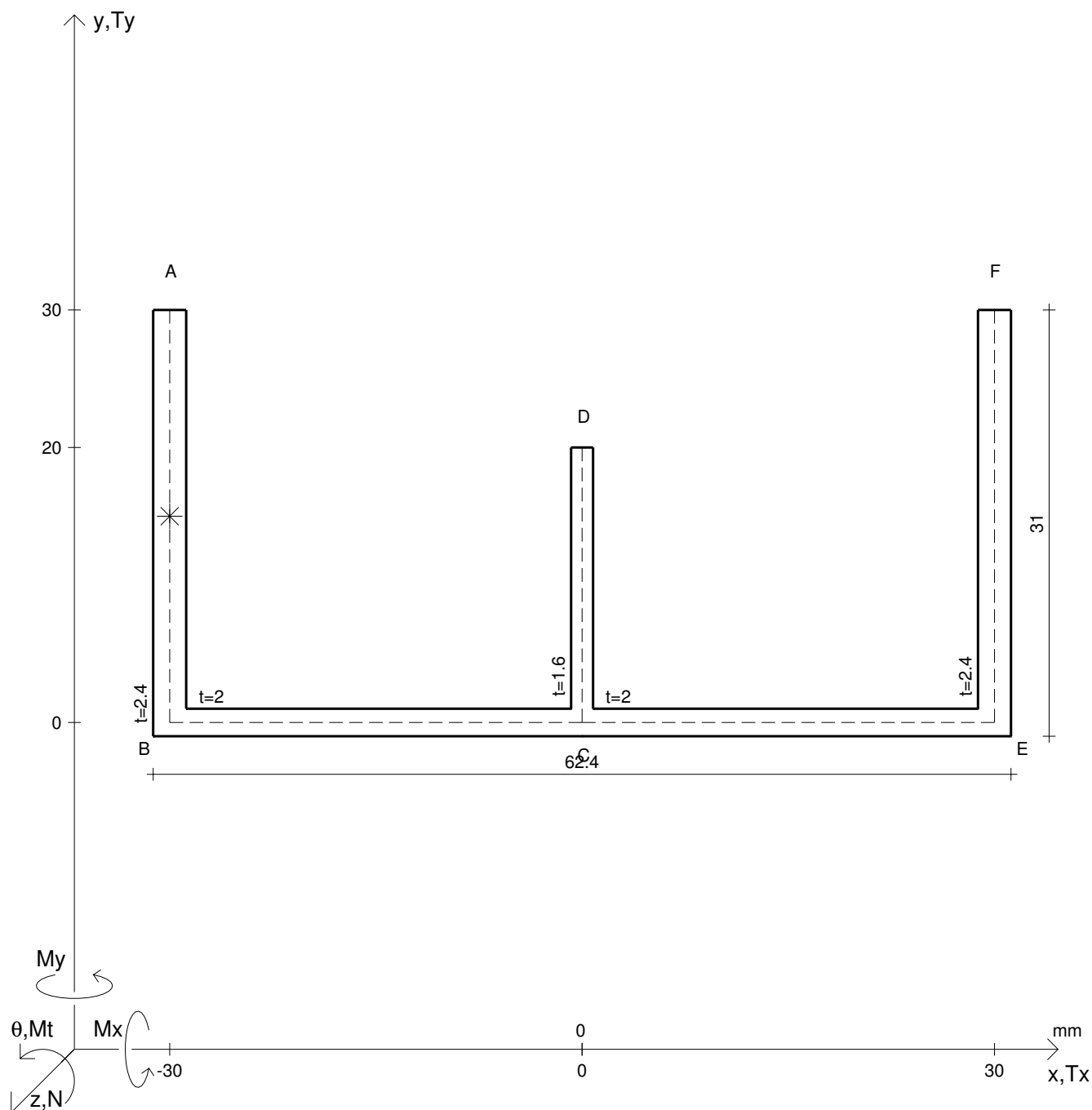
Rappresentare il cerchio di Mohr

Operare le conclusioni sulla verifica di resistenza in *

Facoltativo: rappresentare l'asse neutro e l'andamento delle tens. normali.

Facoltativo: rappresentare l'andamento delle tens. tangenziali.

N	$= 18900 \text{ N}$	M_x	$= 75100 \text{ Nmm}$	G	$= 75000 \text{ N/mm}^2$
T_y	$= 8970 \text{ N}$	σ_a	$= 240 \text{ N/mm}^2$	σ_{lld}	$=$
M_t	$= 10100 \text{ Nmm}$	E	$= 200000 \text{ N/mm}^2$	σ_{tresca}	$=$
y_g	$=$	$\tau(M_t)$	$=$	σ_{mises}	$=$
u_o	$=$	$\tau(T_{yc})$	$=$	$\sigma_{st.ven}$	$=$
v_o	$=$	$\tau(T_{yb})_d$	$=$	θ_t	$=$
A_n	$=$	$\tau(T_y)_s$	$=$	r_u	$=$
C_w	$=$	$\tau(T_y)_d$	$=$	r_v	$=$
J_u	$=$	σ	$=$	r_o	$=$
J_v	$=$	τ_s	$=$	J_p	$=$
J_t	$=$	σ_{ls}	$=$		
$\sigma(N)$	$=$	σ_{lls}	$=$		
$\sigma(M_x)$	$=$	σ_{ld}	$=$		



Calcolo degli sforzi con forze baricentriche in * punto medio di AB

Rappresentare sul foglio, in scala: G, assi u,v, ellisse d'inerzia

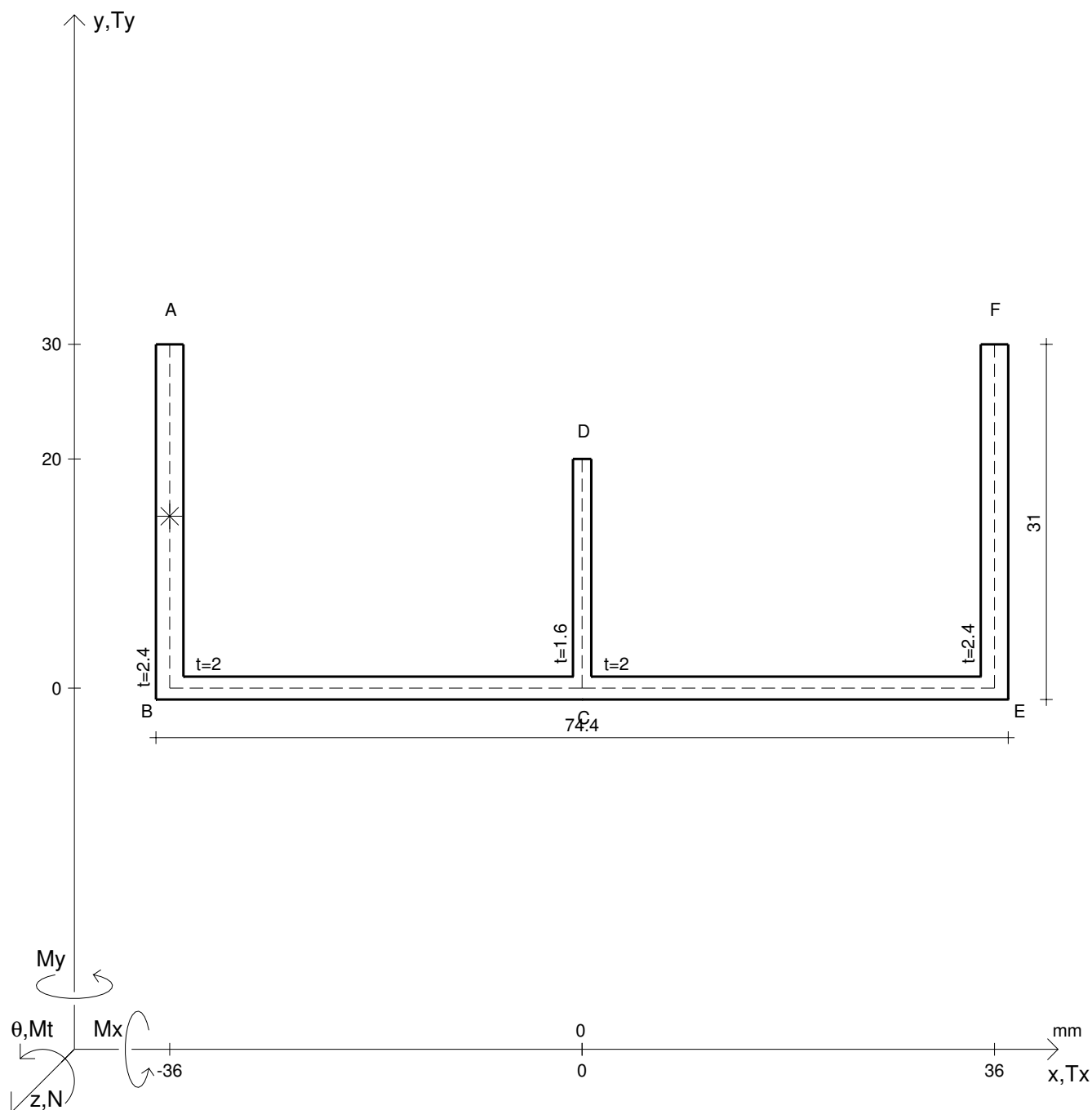
Rappresentare il cerchio di Mohr

Operare le conclusioni sulla verifica di resistenza in *

Facoltativo: rappresentare l'asse neutro e l'andamento delle tens. normali.

Facoltativo: rappresentare l'andamento delle tens. tangenziali.

N	$= 23100 \text{ N}$	M_t	$= -12500 \text{ Nmm}$	σ_a	$= 240 \text{ N/mm}^2$	G	$= 75000 \text{ N/mm}^2$
T_y	$= 6480 \text{ N}$	M_x	$= 88300 \text{ Nmm}$	E	$= 200000 \text{ N/mm}^2$	θ_t	$=$
y_g	$=$	$\sigma(N)$	$=$	τ_s	$=$	r_u	$=$
u_o	$=$	$\sigma(M_x)$	$=$	σ_{ls}	$=$	r_v	$=$
v_o	$=$	$\tau(M_t)$	$=$	σ_{lls}	$=$	r_o	$=$
A_n	$=$	$\tau(T_{yc})$	$=$	σ_{ld}	$=$	J_p	$=$
C_w	$=$	$\tau(T_{yb}/d)$	$=$	σ_{lld}	$=$		
J_u	$=$	$\tau(T_y)_s$	$=$	σ_{tresca}	$=$		
J_v	$=$	$\tau(T_y)_d$	$=$	σ_{mises}	$=$		
J_t	$=$	σ	$=$	$\sigma_{st.ven}$	$=$		



Calcolo degli sforzi con forze baricentriche in * punto medio di AB

Rappresentare sul foglio, in scala: G, assi u, v , ellisse d'inerzia

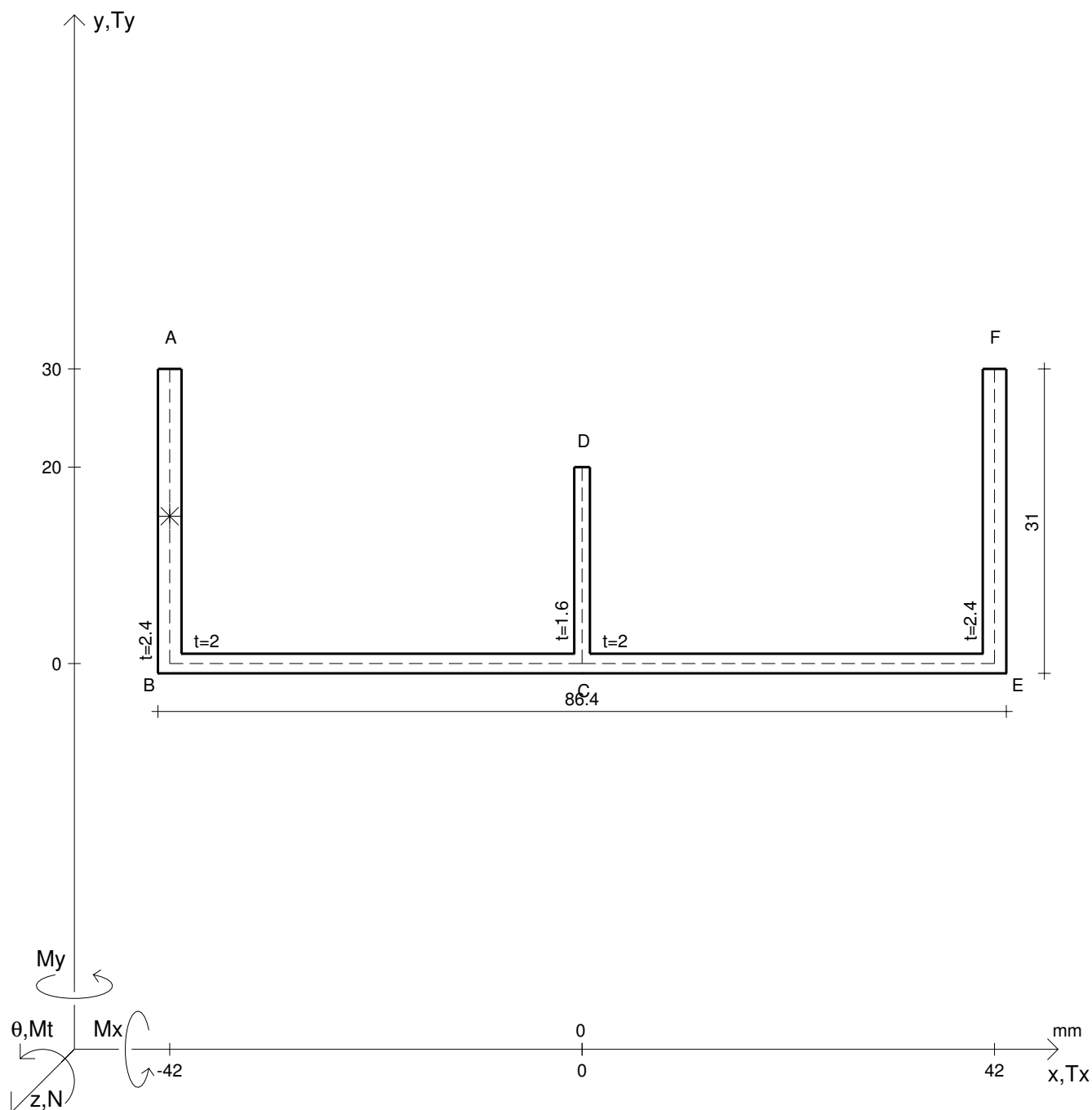
Rappresentare il cerchio di Mohr

Operare le conclusioni sulla verifica di resistenza in *

Facoltativo: rappresentare l'asse neutro e l'andamento delle tens. normali.

Facoltativo: rappresentare l'andamento delle tens. tangenziali.

N	$= 18800 \text{ N}$	M_t	$= 15000 \text{ Nmm}$	σ_a	$= 240 \text{ N/mm}^2$	G	$= 75000 \text{ N/mm}^2$
T_y	$= 7120 \text{ N}$	M_x	$= 101000 \text{ Nmm}$	E	$= 200000 \text{ N/mm}^2$	θ_t	$=$
y_g	$=$	$\sigma(N)$	$=$	τ_s	$=$	r_u	$=$
u_o	$=$	$\sigma(M_x)$	$=$	σ_{ls}	$=$	r_v	$=$
v_o	$=$	$\tau(M_t)$	$=$	σ_{lls}	$=$	r_o	$=$
A_n	$=$	$\tau(T_{yc})$	$=$	σ_{ld}	$=$	J_p	$=$
C_w	$=$	$\tau(T_{yb})_d$	$=$	σ_{lld}	$=$		
J_u	$=$	$\tau(T_y)_s$	$=$	σ_{tresca}	$=$		
J_v	$=$	$\tau(T_y)_d$	$=$	σ_{mises}	$=$		
J_t	$=$	σ	$=$	$\sigma_{st.ven}$	$=$		



Calcolo degli sforzi con forze baricentriche in * punto medio di AB

Rappresentare sul foglio, in scala: G, assi u,v, ellisse d'inerzia

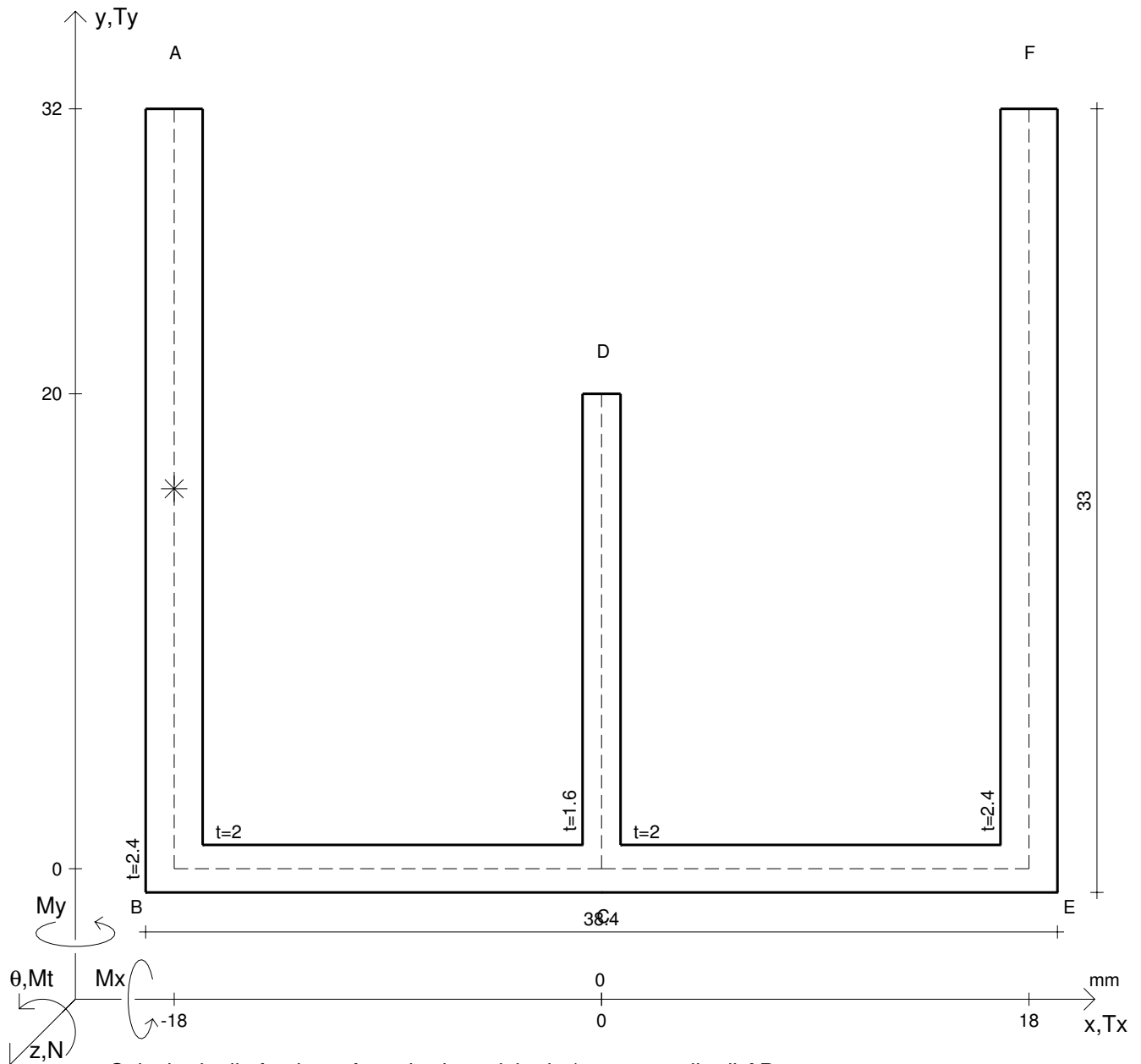
Rappresentare il cerchio di Mohr

Operare le conclusioni sulla verifica di resistenza in *

Facoltativo: rappresentare l'asse neutro e l'andamento delle tens. normali.

Facoltativo: rappresentare l'andamento delle tens. tangenziali.

N	= 22900 N	M _t	= 17700 Nmm	σ _a	= 240 N/mm ²	G	= 75000 N/mm ²
T _y	= 7760 N	M _x	= 77300 Nmm	E	= 200000 N/mm ²	θ _t	=
y _g	=	σ(N)	=	τ _s	=	r _u	=
u _o	=	σ(M _x)	=	σ _{ls}	=	r _v	=
v _o	=	τ(M _t)	=	σ _{lls}	=	r _o	=
A _n	=	τ(T _{yc})	=	σ _{ld}	=	J _p	=
C _w	=	τ(T _{yb}) _d	=	σ _{lld}	=		
J _u	=	τ(T _y) _s	=	σ _{tresca}	=		
J _v	=	τ(T _y) _d	=	σ _{mises}	=		
J _t	=	σ	=	σ _{st.ven}	=		



Calcolo degli sforzi con forze baricentriche in * punto medio di AB

Rappresentare sul foglio, in scala: G, assi u,v, ellisse d'inerzia

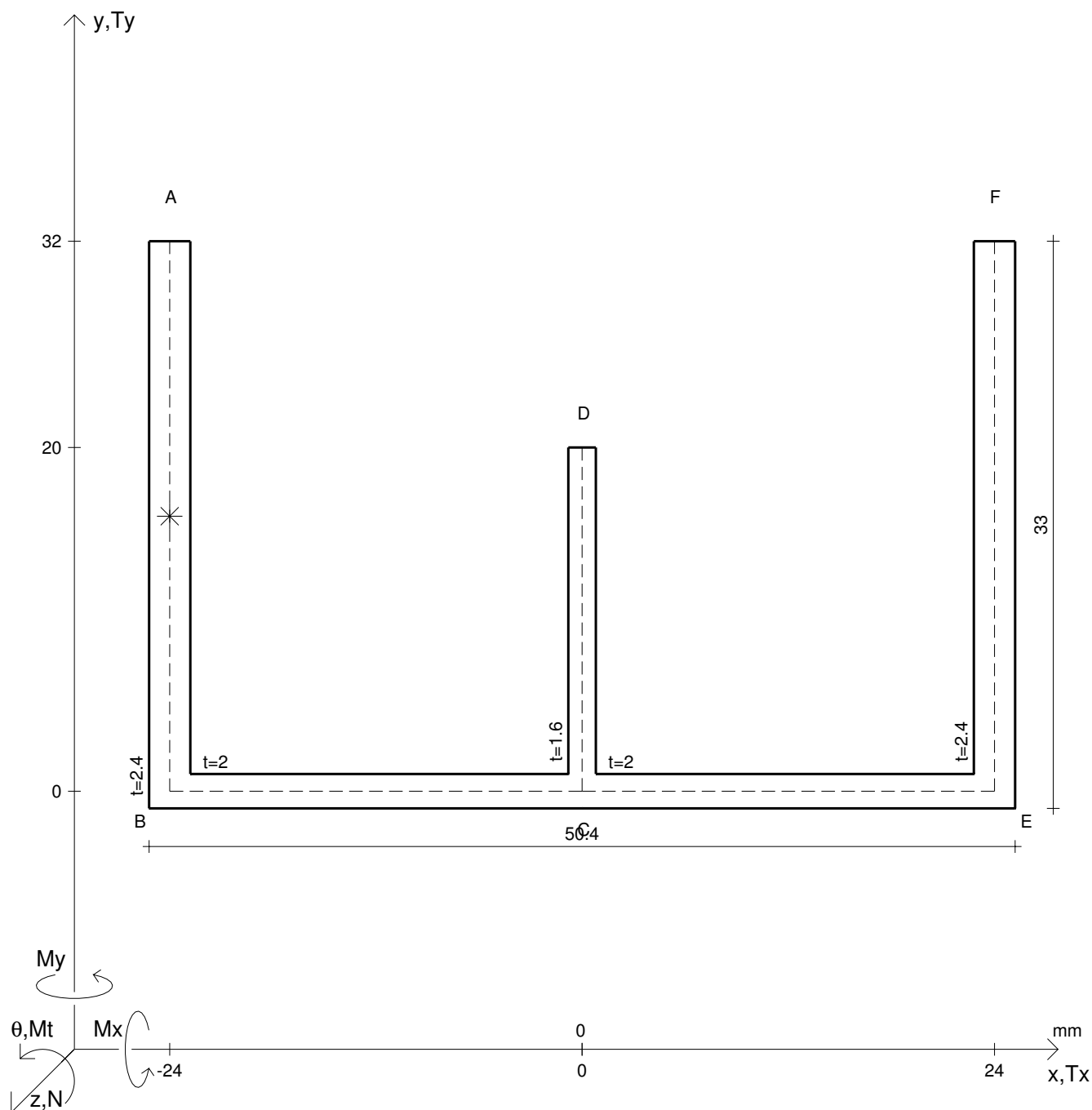
Rappresentare il cerchio di Mohr

Operare le conclusioni sulla verifica di resistenza in *

Facoltativo: rappresentare l'asse neutro e l'andamento delle tens. normali.

Facoltativo: rappresentare l'andamento delle tens. tangenziali.

N	$= 17600 \text{ N}$	M_x	$= 78000 \text{ Nmm}$	G	$= 75000 \text{ N/mm}^2$
T_y	$= 9480 \text{ N}$	σ_a	$= 240 \text{ N/mm}^2$		
M_t	$= 9650 \text{ Nmm}$	E	$= 200000 \text{ N/mm}^2$		
y_g	$=$	$\tau(M_t)$	$=$	σ_{lld}	$=$
u_o	$=$	$\tau(T_{yc})$	$=$	σ_{tresca}	$=$
v_o	$=$	$\tau(T_{yb})_d$	$=$	σ_{mises}	$=$
A_n	$=$	$\tau(T_y)_s$	$=$	$\sigma_{st.ven}$	$=$
C_w	$=$	$\tau(T_y)_d$	$=$	θ_t	$=$
J_u	$=$	σ	$=$	r_u	$=$
J_v	$=$	τ_s	$=$	r_v	$=$
J_t	$=$	σ_{ls}	$=$	r_o	$=$
$\sigma(N)$	$=$	σ_{lls}	$=$	J_p	$=$
$\sigma(M_x)$	$=$	σ_{ld}	$=$		



Calcolo degli sforzi con forze baricentriche in * punto medio di AB

Rappresentare sul foglio, in scala: G, assi u,v, ellisse d'inerzia

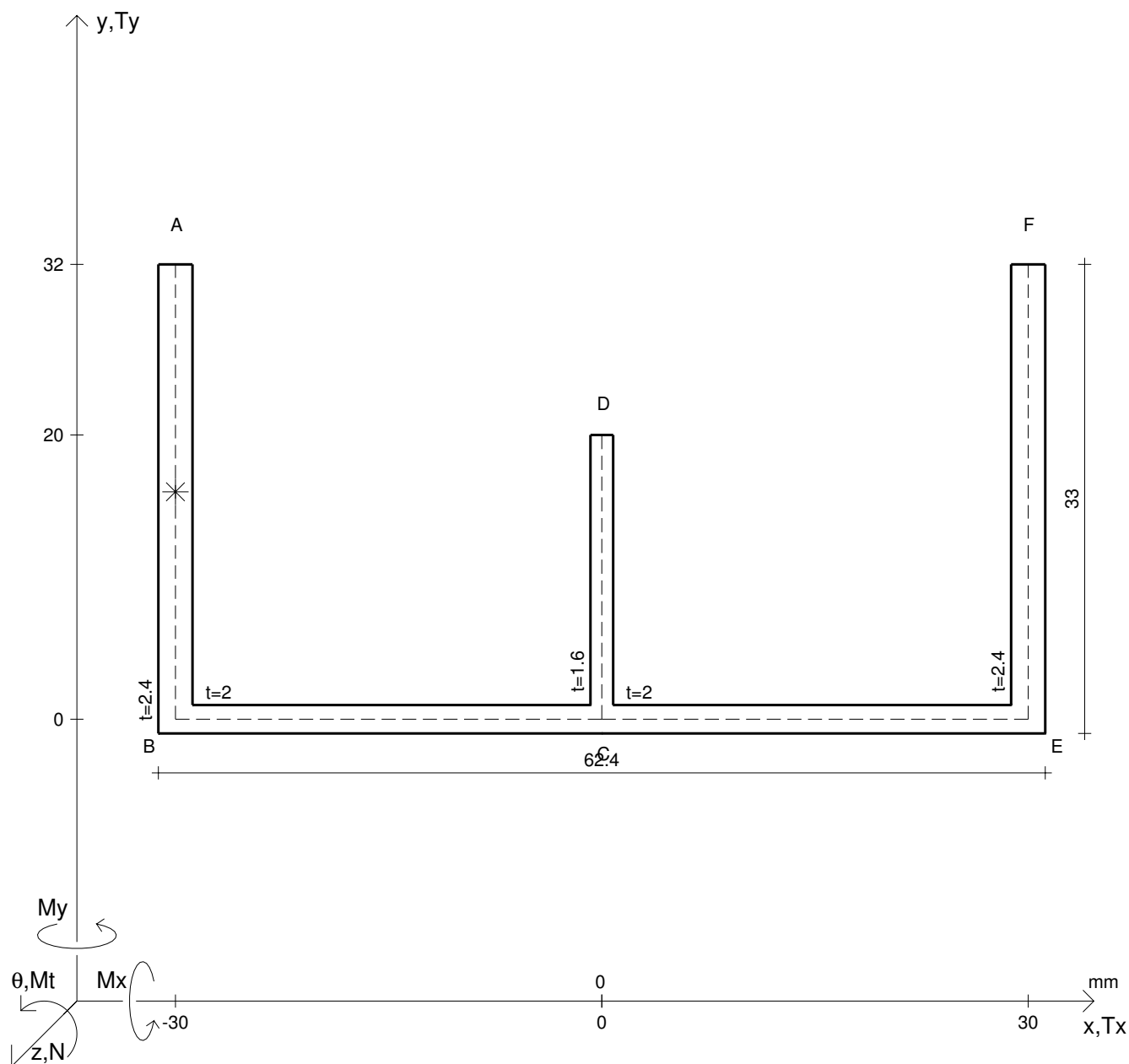
Rappresentare il cerchio di Mohr

Operare le conclusioni sulla verifica di resistenza in *

Facoltativo: rappresentare l'asse neutro e l'andamento delle tens. normali.

Facoltativo: rappresentare l'andamento delle tens. tangenziali.

N	= 21400 N	M _t	= -11700 Nmm	σ _a	= 240 N/mm ²	G	= 75000 N/mm ²
T _y	= 6990 N	M _x	= 91900 Nmm	E	= 200000 N/mm ²	θ _t	=
y _g	=	σ(N)	=	τ _s	=	r _u	=
u _o	=	σ(M _x)	=	σ _{ls}	=	r _v	=
v _o	=	τ(M _t)	=	σ _{lls}	=	r _o	=
A _n	=	τ(T _{yc})	=	σ _{ld}	=	J _p	=
C _w	=	τ(T _{ybd})	=	σ _{lld}	=		
J _u	=	τ(T _y) _s	=	σ _{tresca}	=		
J _v	=	τ(T _y) _d	=	σ _{mises}	=		
J _t	=	σ	=	σ _{st.ven}	=		



Calcolo degli sforzi con forze baricentriche in * punto medio di AB

Rappresentare sul foglio, in scala: G, assi u,v, ellisse d'inertia

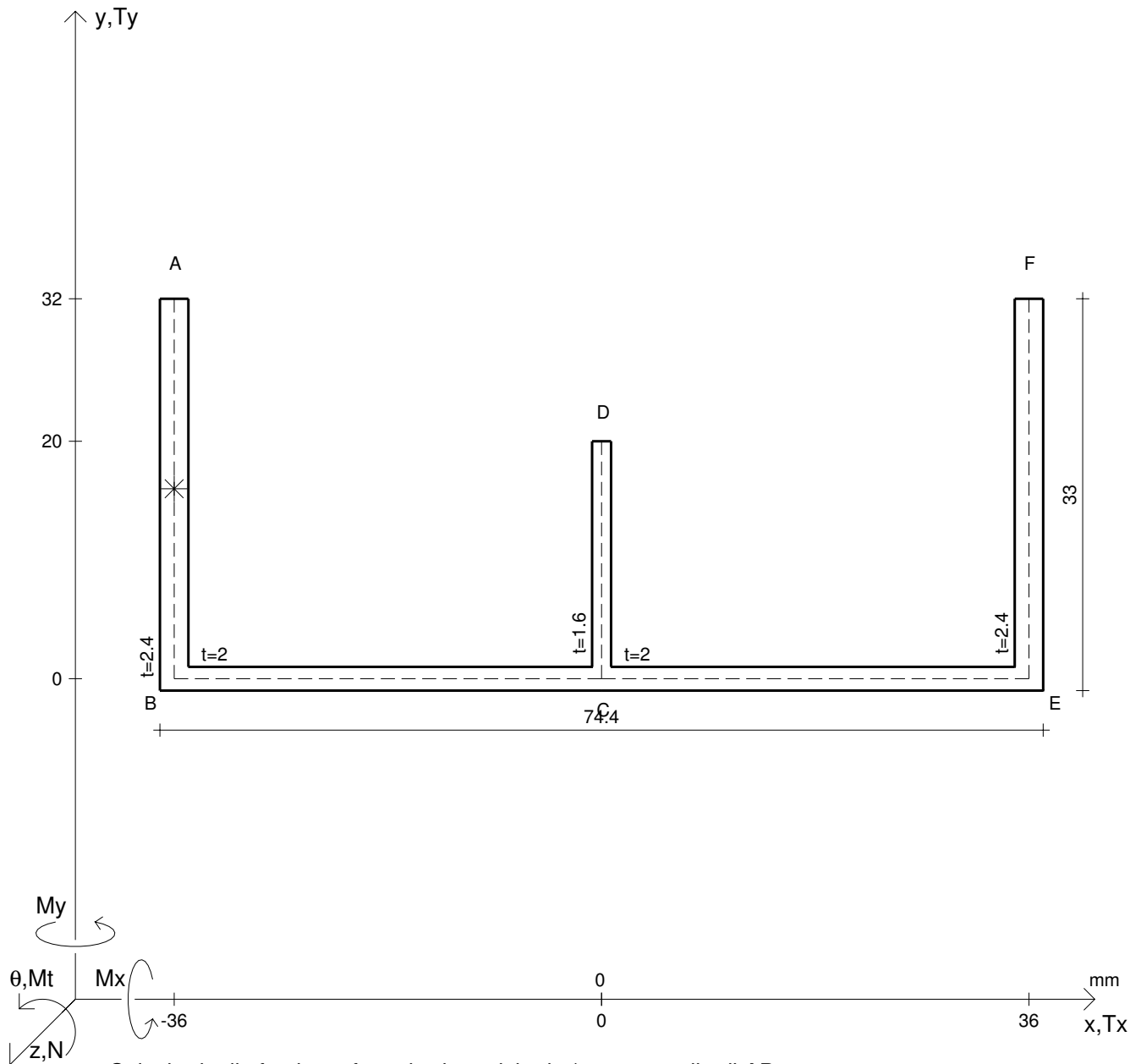
Rappresentare il cerchio di Mohr

Operare le conclusioni sulla verifica di resistenza in *

Facoltativo: rappresentare l'asse neutro e l'andamento delle tens. normali.

Facoltativo: rappresentare l'andamento delle tens. tangenziali.

N	$= 17600 \text{ N}$	M_x	$= 107000 \text{ Nmm}$	G	$= 75000 \text{ N/mm}^2$
T_y	$= 7630 \text{ N}$	σ_a	$= 240 \text{ N/mm}^2$	σ_{lld}	$=$
M_t	$= 14300 \text{ Nmm}$	E	$= 200000 \text{ N/mm}^2$	σ_{tresca}	$=$
y_g	$=$	$\tau(M_t)$	$=$	σ_{mises}	$=$
u_o	$=$	$\tau(T_{yc})$	$=$	$\sigma_{st.ven}$	$=$
v_o	$=$	$\tau(T_{yb})_d$	$=$	θ_t	$=$
A_n	$=$	$\tau(T_y)_s$	$=$	r_u	$=$
C_w	$=$	$\tau(T_y)_d$	$=$	r_v	$=$
J_u	$=$	σ	$=$	r_o	$=$
J_v	$=$	τ_s	$=$	J_p	$=$
J_t	$=$	σ_{ls}	$=$		
$\sigma(N)$	$=$	σ_{lls}	$=$		
$\sigma(M_x)$	$=$	σ_{ld}	$=$		



Calcolo degli sforzi con forze baricentriche in * punto medio di AB

Rappresentare sul foglio, in scala: G, assi u,v, ellisse d'inerzia

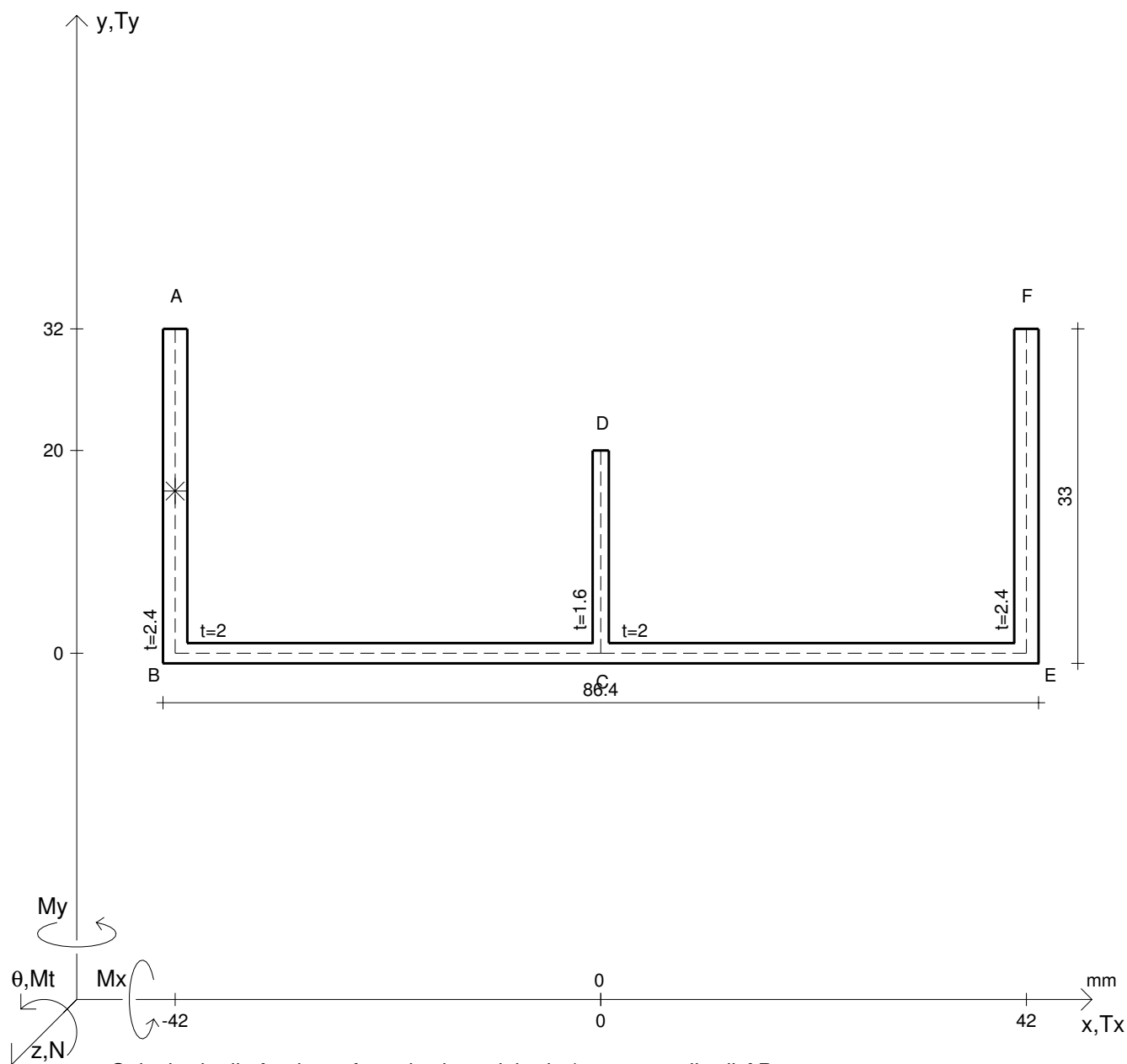
Rappresentare il cerchio di Mohr

Operare le conclusioni sulla verifica di resistenza in *

Facoltativo: rappresentare l'asse neutro e l'andamento delle tens. normali.

Facoltativo: rappresentare l'andamento delle tens. tangenziali.

N	$= 21600 \text{ N}$	M_x	$= 82800 \text{ Nmm}$	G	$= 75000 \text{ N/mm}^2$
T_y	$= 8290 \text{ N}$	σ_a	$= 240 \text{ N/mm}^2$	σ_{lld}	$=$
M_t	$= 17000 \text{ Nmm}$	E	$= 200000 \text{ N/mm}^2$	σ_{tresca}	$=$
y_g	$=$	$\tau(M_t)$	$=$	σ_{mises}	$=$
u_o	$=$	$\tau(T_{yc})$	$=$	$\sigma_{st.ven}$	$=$
v_o	$=$	$\tau(T_{yb})_d$	$=$	θ_t	$=$
A_n	$=$	$\tau(T_y)_s$	$=$	r_u	$=$
C_w	$=$	$\tau(T_y)_d$	$=$	r_v	$=$
J_u	$=$	σ	$=$	r_o	$=$
J_v	$=$	τ_s	$=$	J_p	$=$
J_t	$=$	σ_{ls}	$=$		
$\sigma(N)$	$=$	σ_{lls}	$=$		
$\sigma(M_x)$	$=$	σ_{ld}	$=$		



Calcolo degli sforzi con forze baricentriche in * punto medio di AB

Rappresentare sul foglio, in scala: G, assi u,v, ellisse d'inertia

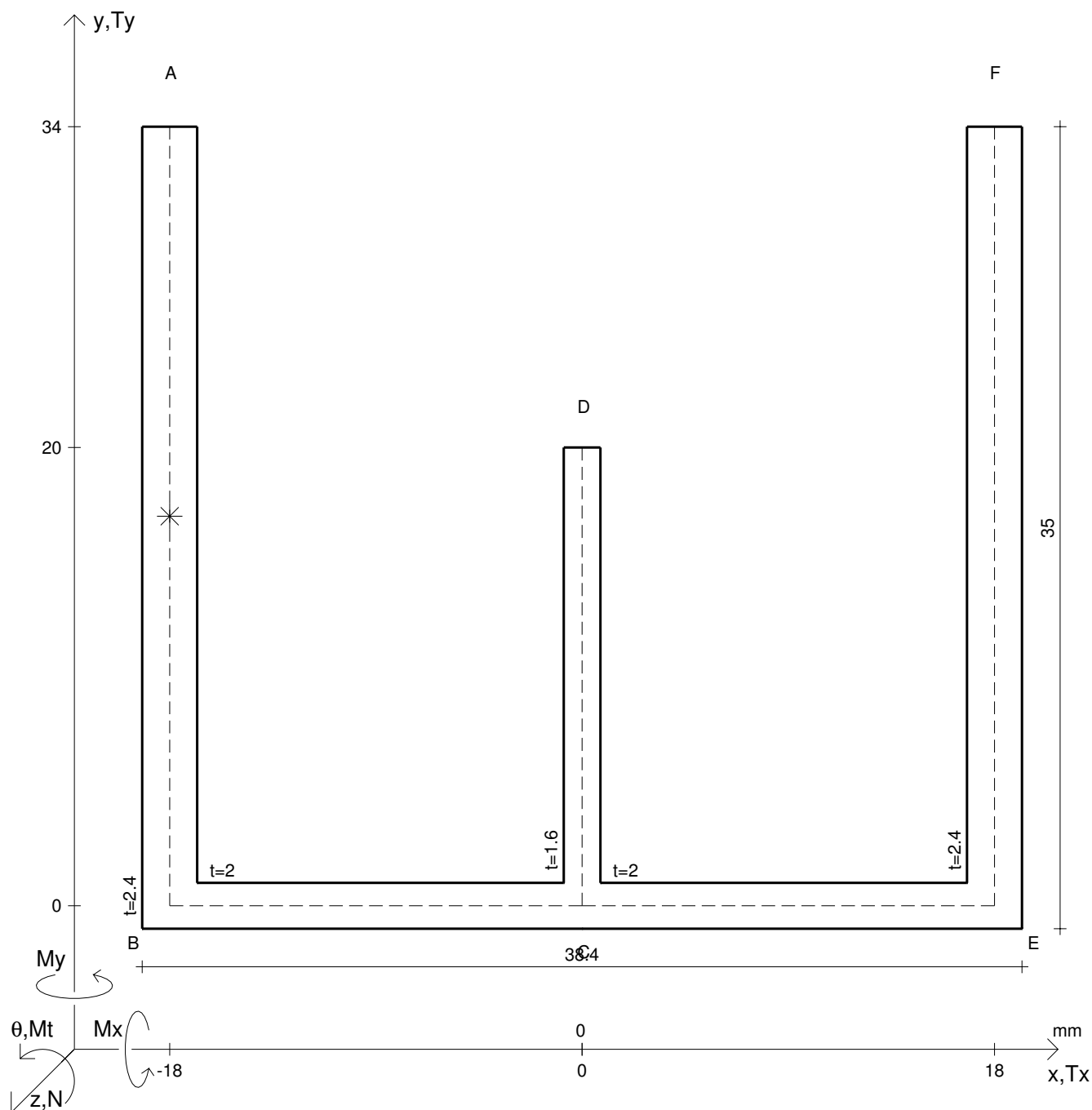
Rappresentare il cerchio di Mohr

Operare le conclusioni sulla verifica di resistenza in *

Facoltativo: rappresentare l'asse neutro e l'andamento delle tens. normali.

Facoltativo: rappresentare l'andamento delle tens. tangenziali.

N	$= 25900 \text{ N}$	M_x	$= 95900 \text{ Nmm}$	G	$= 75000 \text{ N/mm}^2$
T_y	$= 8960 \text{ N}$	σ_a	$= 240 \text{ N/mm}^2$	σ_{lld}	$=$
M_t	$= 13500 \text{ Nmm}$	E	$= 200000 \text{ N/mm}^2$	σ_{tresca}	$=$
y_g	$=$	$\tau(M_t)$	$=$	σ_{mises}	$=$
u_o	$=$	$\tau(T_{yc})$	$=$	$\sigma_{st.ven}$	$=$
v_o	$=$	$\tau(T_{yb})_d$	$=$	θ_t	$=$
A_n	$=$	$\tau(T_y)_s$	$=$	r_u	$=$
C_w	$=$	$\tau(T_y)_d$	$=$	r_v	$=$
J_u	$=$	σ	$=$	r_o	$=$
J_v	$=$	τ_s	$=$	J_p	$=$
J_t	$=$	σ_{ls}	$=$		
$\sigma(N)$	$=$	σ_{lls}	$=$		
$\sigma(M_x)$	$=$	σ_{ld}	$=$		



Calcolo degli sforzi con forze baricentriche in * punto medio di AB

Rappresentare sul foglio, in scala: G, assi u,v, ellisse d'inerzia

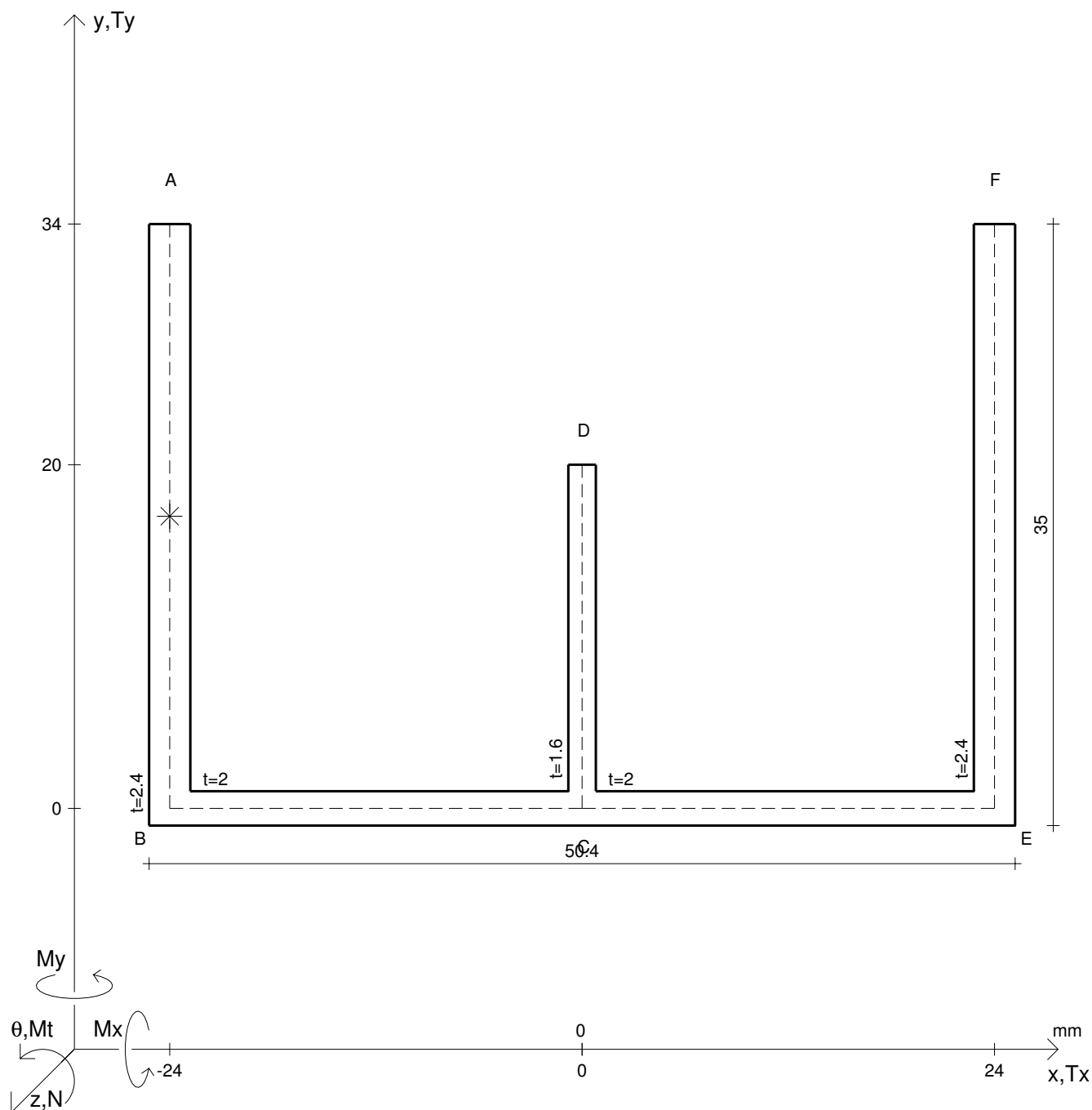
Rappresentare il cerchio di Mohr

Operare le conclusioni sulla verifica di resistenza in *

Facoltativo: rappresentare l'asse neutro e l'andamento delle tens. normali.

Facoltativo: rappresentare l'andamento delle tens. tangenziali.

N	= 20000 N	M _t	= -11200 Nmm	σ _a	= 240 N/mm ²	G	= 75000 N/mm ²
T _y	= 7330 N	M _x	= 95600 Nmm	E	= 200000 N/mm ²	θ _t	=
y _g	=	σ(N)	=	τ _s	=	r _u	=
u _o	=	σ(M _x)	=	σ _{ls}	=	r _v	=
v _o	=	τ(M _t)	=	σ _{lls}	=	r _o	=
A _n	=	τ(T _{yc})	=	σ _{ld}	=	J _p	=
C _w	=	τ(T _{yb}) _d	=	σ _{lld}	=		
J _u	=	τ(T _y) _s	=	σ _{tresca}	=		
J _v	=	τ(T _y) _d	=	σ _{mises}	=		
J _t	=	σ	=	σ _{st.ven}	=		



Calcolo degli sforzi con forze baricentriche in * punto medio di AB

Rappresentare sul foglio, in scala: G, assi u, v , ellisse d'inerzia

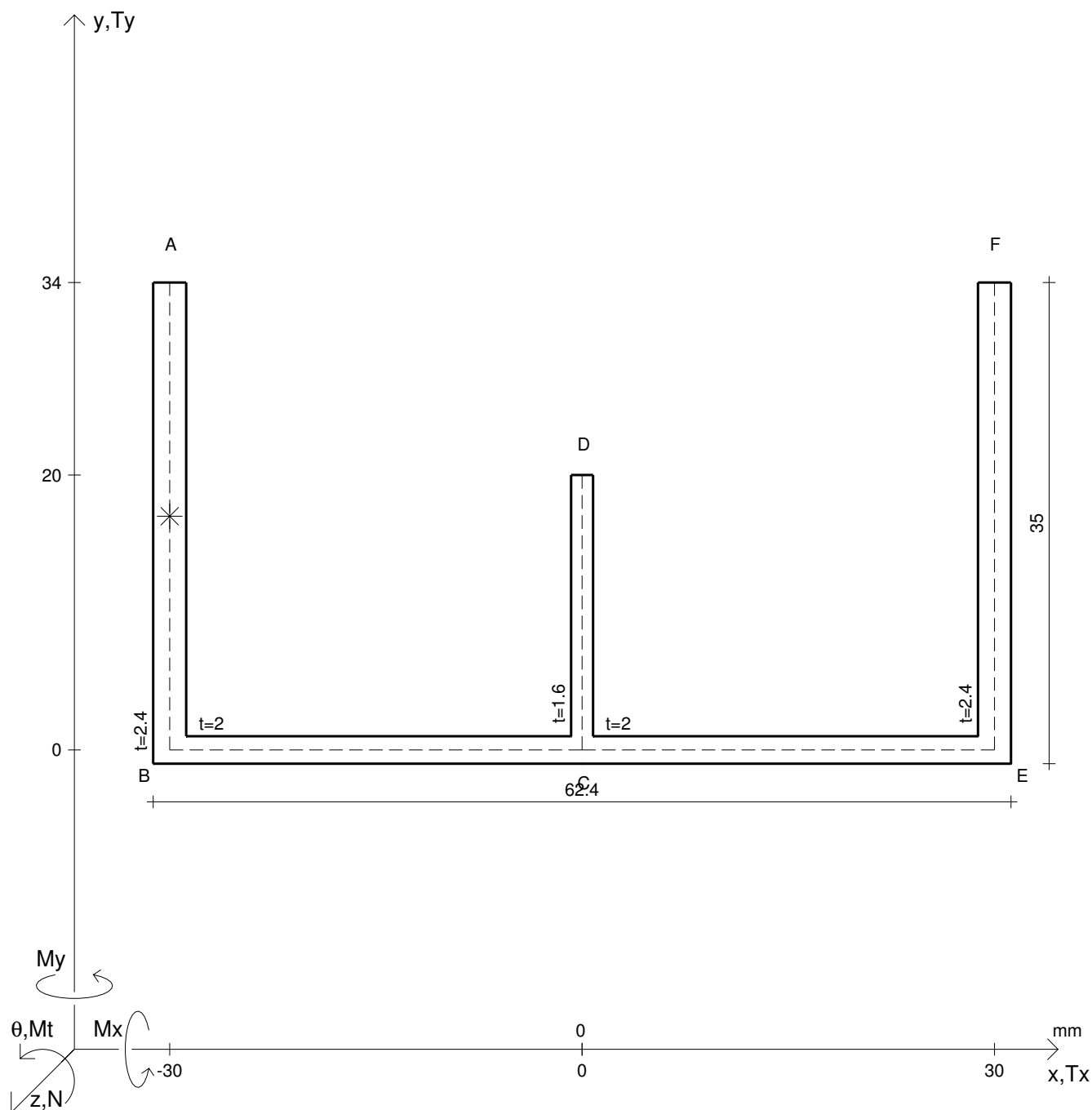
Rappresentare il cerchio di Mohr

Operare le conclusioni sulla verifica di resistenza in *

Facoltativo: rappresentare l'asse neutro e l'andamento delle tens. normali.

Facoltativo: rappresentare l'andamento delle tens. tangenziali.

N	$= 16200 \text{ N}$	M_t	$= -13400 \text{ Nmm}$	σ_a	$= 240 \text{ N/mm}^2$	G	$= 75000 \text{ N/mm}^2$
T_y	$= 8240 \text{ N}$	M_x	$= 111000 \text{ Nmm}$	E	$= 200000 \text{ N/mm}^2$	θ_t	$=$
y_g	$=$	$\sigma(N)$	$=$	τ_s	$=$	r_u	$=$
u_o	$=$	$\sigma(M_x)$	$=$	σ_{ls}	$=$	r_v	$=$
v_o	$=$	$\tau(M_t)$	$=$	σ_{lls}	$=$	r_o	$=$
A_n	$=$	$\tau(T_{yc})$	$=$	σ_{ld}	$=$	J_p	$=$
C_w	$=$	$\tau(T_{yb})_d$	$=$	σ_{lld}	$=$		
J_u	$=$	$\tau(T_y)_s$	$=$	σ_{tresca}	$=$		
J_v	$=$	$\tau(T_y)_d$	$=$	σ_{mises}	$=$		
J_t	$=$	σ	$=$	$\sigma_{st.ven}$	$=$		



Calcolo degli sforzi con forze baricentriche in * punto medio di AB

Rappresentare sul foglio, in scala: G, assi u,v, ellisse d'inerzia

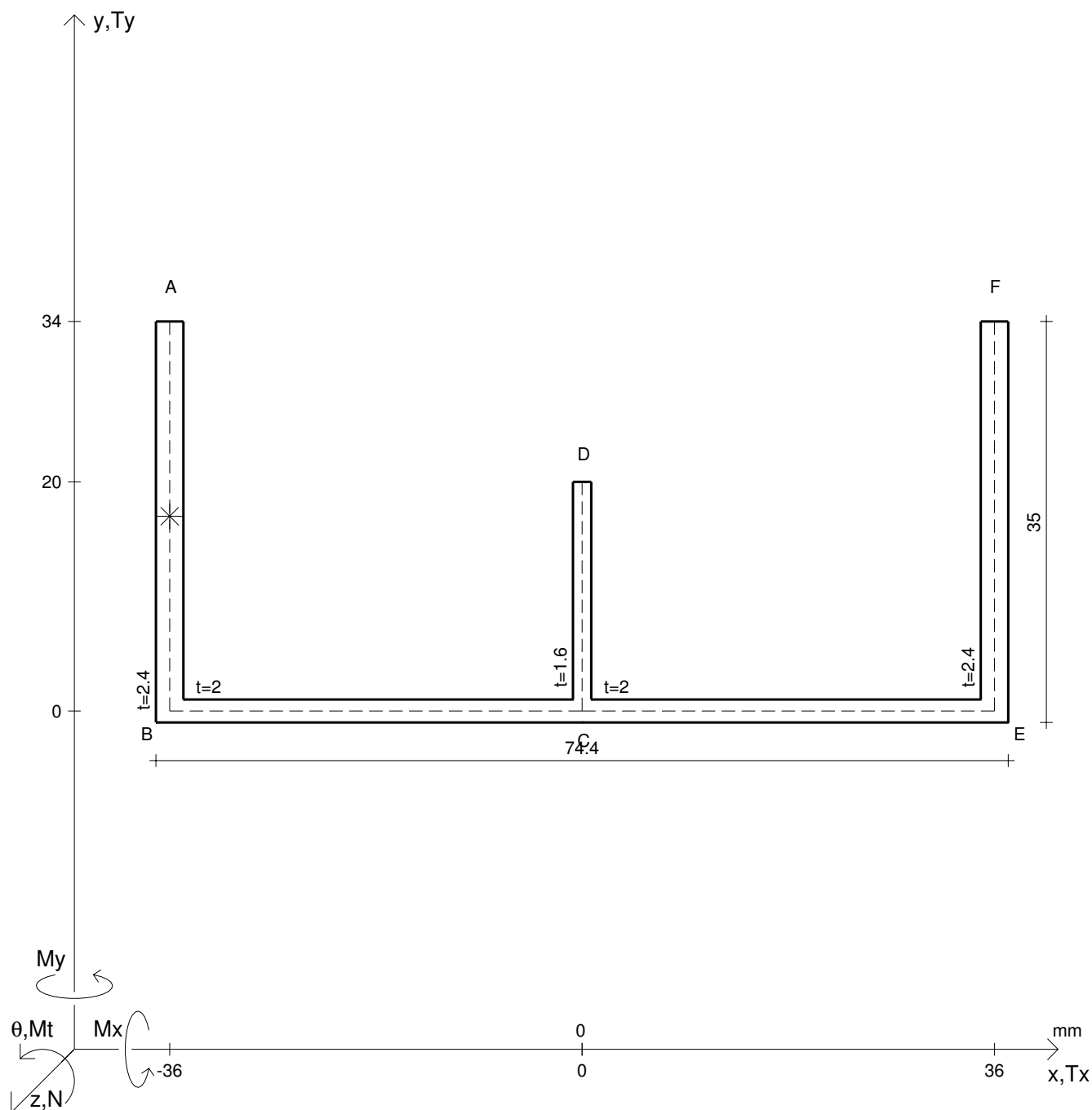
Rappresentare il cerchio di Mohr

Operare le conclusioni sulla verifica di resistenza in *

Facoltativo: rappresentare l'asse neutro e l'andamento delle tens. normali.

Facoltativo: rappresentare l'andamento delle tens. tangenziali.

N	$= 20200 \text{ N}$	M_t	$= -16200 \text{ Nmm}$	σ_a	$= 240 \text{ N/mm}^2$	G	$= 75000 \text{ N/mm}^2$
T_y	$= 8900 \text{ N}$	M_x	$= 87300 \text{ Nmm}$	E	$= 200000 \text{ N/mm}^2$	θ_t	$=$
y_g	$=$	$\sigma(N)$	$=$	τ_s	$=$	r_u	$=$
u_o	$=$	$\sigma(M_x)$	$=$	σ_{ls}	$=$	r_v	$=$
v_o	$=$	$\tau(M_t)$	$=$	σ_{lls}	$=$	r_o	$=$
A_n	$=$	$\tau(T_{yc})$	$=$	σ_{ld}	$=$	J_p	$=$
C_w	$=$	$\tau(T_{yb})_d$	$=$	σ_{lld}	$=$		
J_u	$=$	$\tau(T_y)_s$	$=$	σ_{tresca}	$=$		
J_v	$=$	$\tau(T_y)_d$	$=$	σ_{mises}	$=$		
J_t	$=$	σ	$=$	$\sigma_{st.ven}$	$=$		



Calcolo degli sforzi con forze baricentriche in * punto medio di AB

Rappresentare sul foglio, in scala: G, assi u,v, ellisse d'inerzia

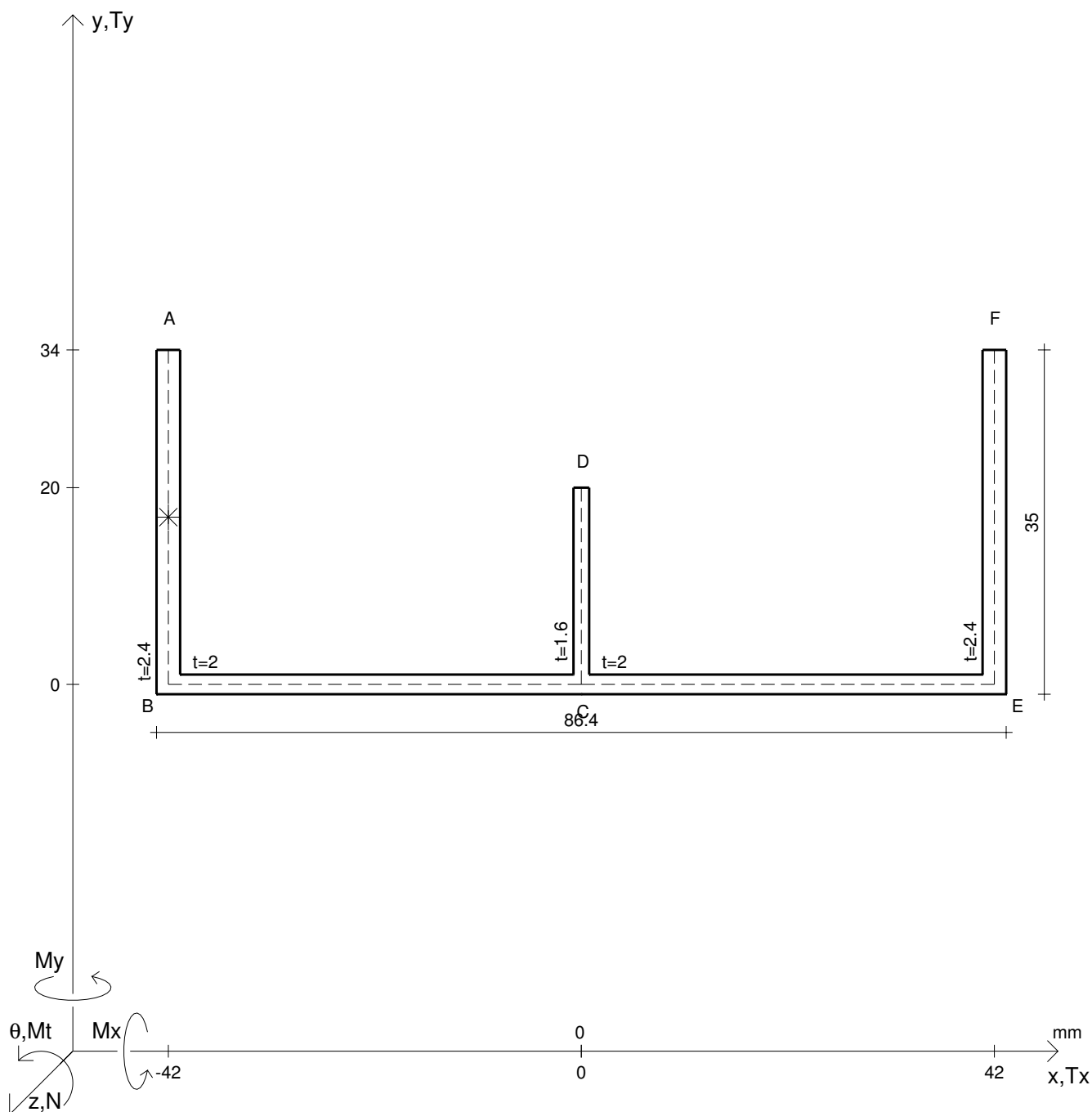
Rappresentare il cerchio di Mohr

Operare le conclusioni sulla verifica di resistenza in *

Facoltativo: rappresentare l'asse neutro e l'andamento delle tens. normali.

Facoltativo: rappresentare l'andamento delle tens. tangenziali.

N	$= 24400 \text{ N}$	M_t	$= -12900 \text{ Nmm}$	σ_a	$= 240 \text{ N/mm}^2$	G	$= 75000 \text{ N/mm}^2$
T_y	$= 9570 \text{ N}$	M_x	$= 102000 \text{ Nmm}$	E	$= 200000 \text{ N/mm}^2$	θ_t	$=$
y_g	$=$	$\sigma(N)$	$=$	τ_s	$=$	r_u	$=$
u_o	$=$	$\sigma(M_x)$	$=$	σ_{ls}	$=$	r_v	$=$
v_o	$=$	$\tau(M_t)$	$=$	σ_{lls}	$=$	r_o	$=$
A_n	$=$	$\tau(T_{yc})$	$=$	σ_{ld}	$=$	J_p	$=$
C_w	$=$	$\tau(T_{yb/d})$	$=$	σ_{lld}	$=$		
J_u	$=$	$\tau(T_y)_s$	$=$	σ_{tresca}	$=$		
J_v	$=$	$\tau(T_y)_d$	$=$	σ_{mises}	$=$		
J_t	$=$	σ	$=$	$\sigma_{st.ven}$	$=$		



Calcolo degli sforzi con forze baricentriche in * punto medio di AB

Rappresentare sul foglio, in scala: G, assi u,v, ellisse d'inertia

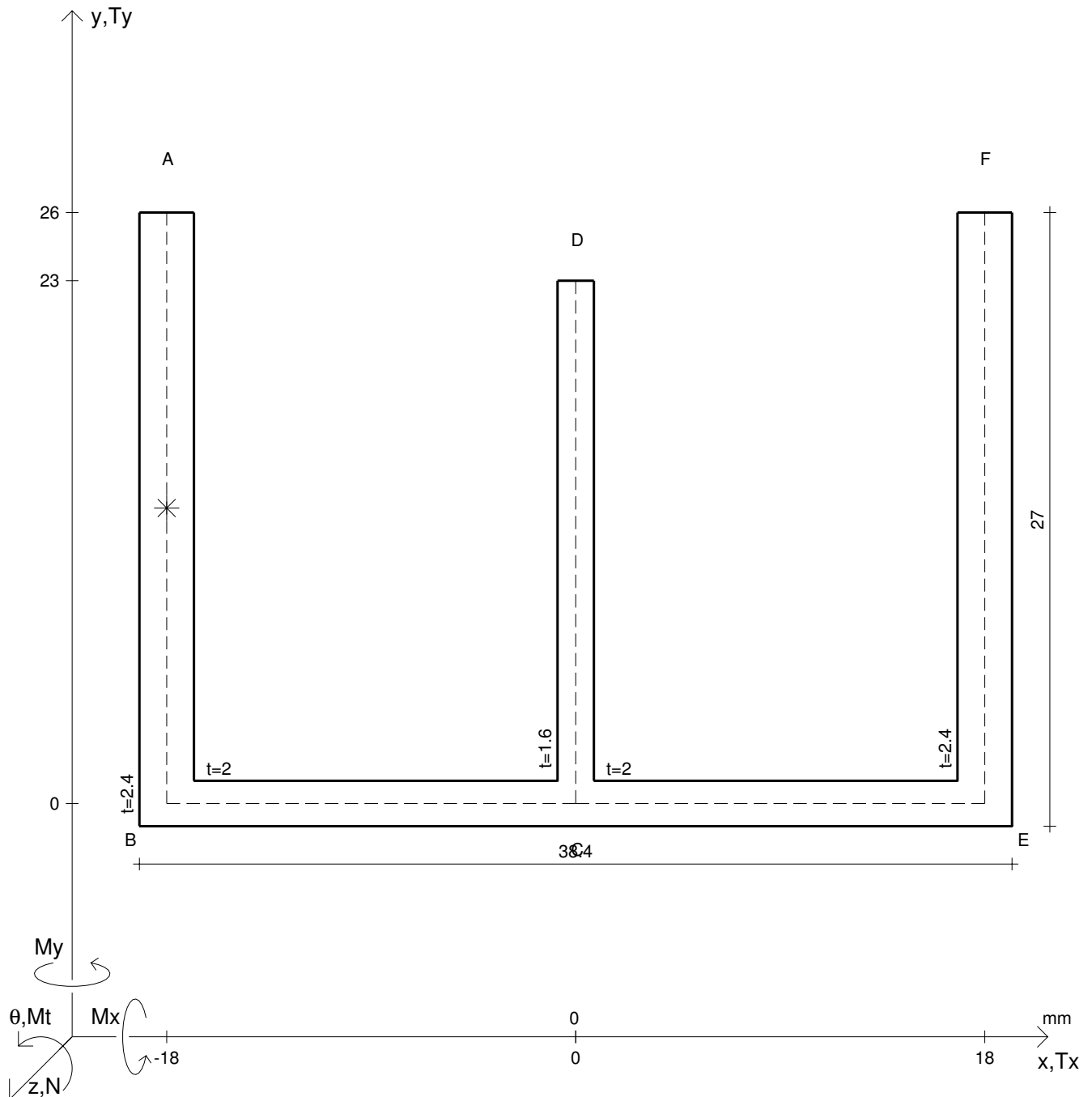
Rappresentare il cerchio di Mohr

Operare le conclusioni sulla verifica di resistenza in *

Facoltativo: rappresentare l'asse neutro e l'andamento delle tens. normali.

Facoltativo: rappresentare l'andamento delle tens. tangenziali.

N	$= 29000 \text{ N}$	M_t	$= -15500 \text{ Nmm}$	σ_a	$= 240 \text{ N/mm}^2$	G	$= 75000 \text{ N/mm}^2$
T_y	$= 6980 \text{ N}$	M_x	$= 117000 \text{ Nmm}$	E	$= 200000 \text{ N/mm}^2$	θ_t	$=$
y_g	$=$	$\sigma(N)$	$=$	τ_s	$=$	r_u	$=$
u_o	$=$	$\sigma(M_x)$	$=$	σ_{ls}	$=$	r_v	$=$
v_o	$=$	$\tau(M_t)$	$=$	σ_{lls}	$=$	r_o	$=$
A_n	$=$	$\tau(T_{yc})$	$=$	σ_{ld}	$=$	J_p	$=$
C_w	$=$	$\tau(T_{yb}/d)$	$=$	σ_{lld}	$=$		
J_u	$=$	$\tau(T_y)_s$	$=$	σ_{tresca}	$=$		
J_v	$=$	$\tau(T_y)_d$	$=$	σ_{mises}	$=$		
J_t	$=$	σ	$=$	$\sigma_{st.ven}$	$=$		



Calcolo degli sforzi con forze baricentriche in * punto medio di AB

Rappresentare sul foglio, in scala: G, assi u,v, ellisse d'inertia

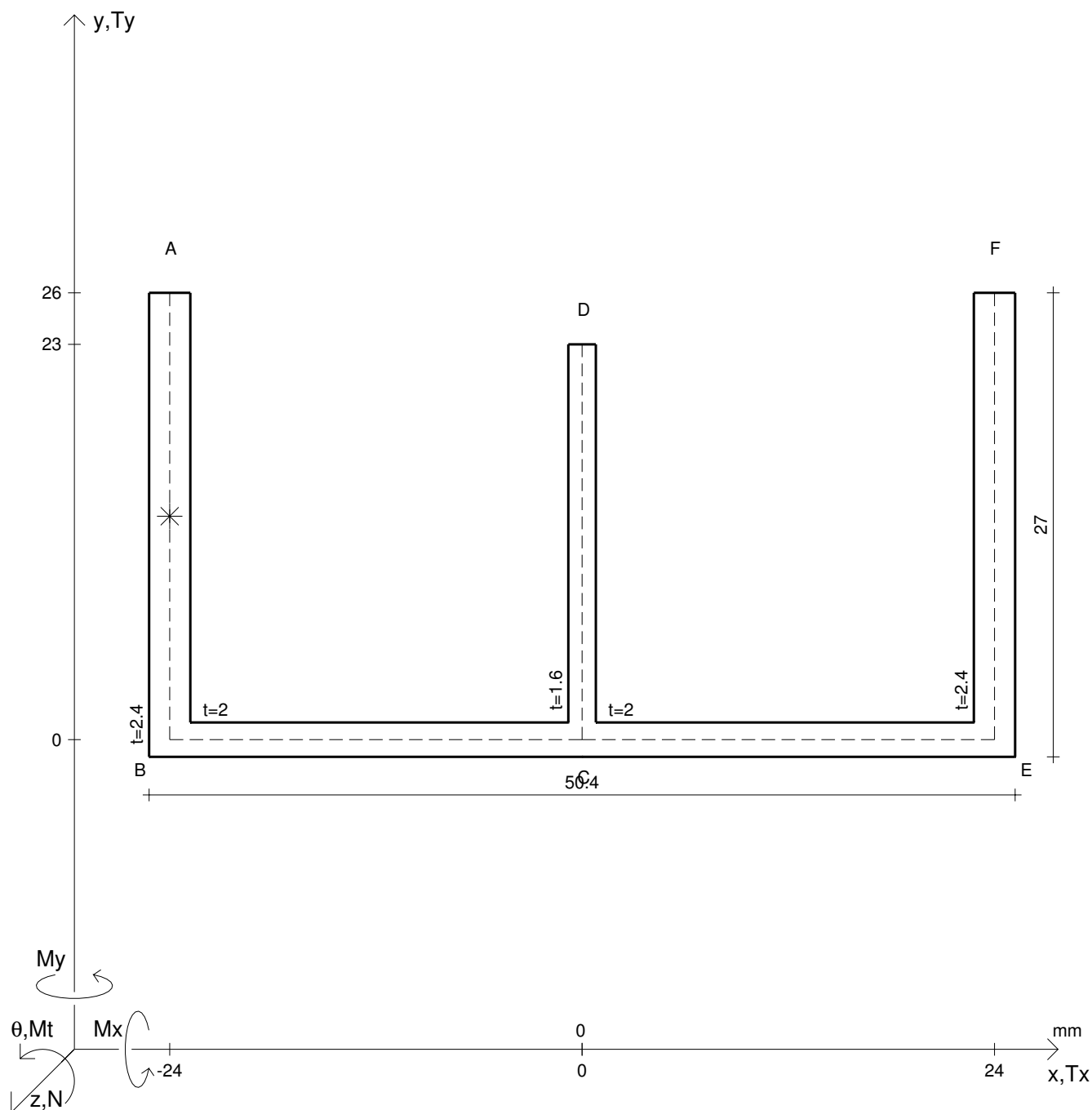
Rappresentare il cerchio di Mohr

Operare le conclusioni sulla verifica di resistenza in *

Facoltativo: rappresentare l'asse neutro e l'andamento delle tens. normali.

Facoltativo: rappresentare l'andamento delle tens. tangenziali.

N	$= 12900 \text{ N}$	M_t	$= -10400 \text{ Nmm}$	σ_a	$= 240 \text{ N/mm}^2$	G	$= 75000 \text{ N/mm}^2$
T_y	$= 7400 \text{ N}$	M_x	$= 72500 \text{ Nmm}$	E	$= 200000 \text{ N/mm}^2$	θ_t	$=$
y_g	$=$	$\sigma(N)$	$=$	τ_s	$=$	r_u	$=$
u_o	$=$	$\sigma(M_x)$	$=$	σ_{ls}	$=$	r_v	$=$
v_o	$=$	$\tau(M_t)$	$=$	σ_{lls}	$=$	r_o	$=$
A_n	$=$	$\tau(T_{yc})$	$=$	σ_{ld}	$=$	J_p	$=$
C_w	$=$	$\tau(T_{yb/d})$	$=$	σ_{lld}	$=$		
J_u	$=$	$\tau(T_y)_s$	$=$	σ_{tresca}	$=$		
J_v	$=$	$\tau(T_y)_d$	$=$	σ_{mises}	$=$		
J_t	$=$	σ	$=$	$\sigma_{st.ven}$	$=$		



Calcolo degli sforzi con forze baricentriche in * punto medio di AB

Rappresentare sul foglio, in scala: G, assi u,v, ellisse d'inerzia

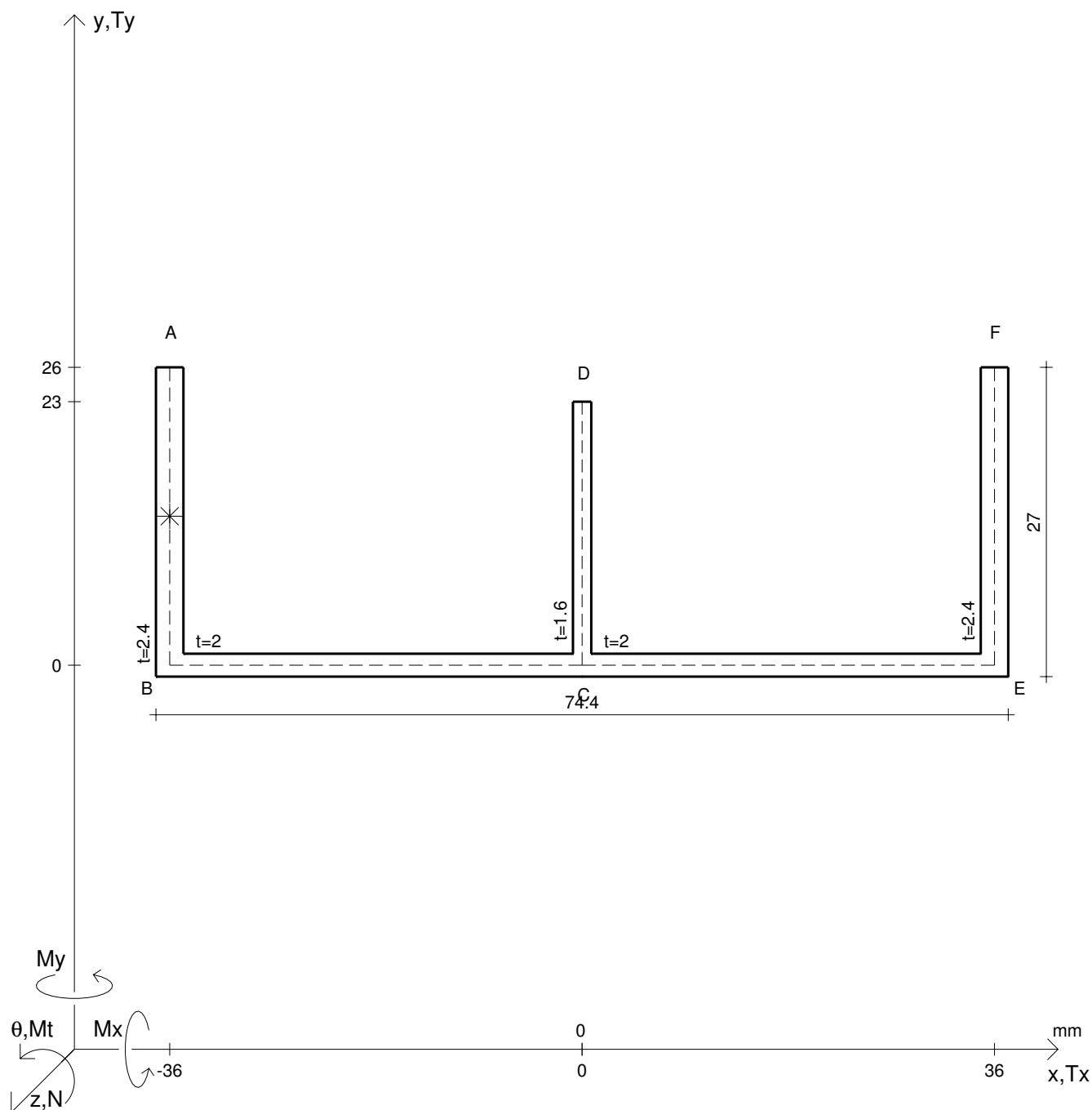
Rappresentare il cerchio di Mohr

Operare le conclusioni sulla verifica di resistenza in *

Facoltativo: rappresentare l'asse neutro e l'andamento delle tens. normali.

Facoltativo: rappresentare l'andamento delle tens. tangenziali.

N	$= 16200 \text{ N}$	M_t	$= -12600 \text{ Nmm}$	σ_a	$= 240 \text{ N/mm}^2$	G	$= 75000 \text{ N/mm}^2$
T_y	$= 8110 \text{ N}$	M_x	$= 57300 \text{ Nmm}$	E	$= 200000 \text{ N/mm}^2$	θ_t	$=$
y_g	$=$	$\sigma(N)$	$=$	τ_s	$=$	r_u	$=$
u_o	$=$	$\sigma(M_x)$	$=$	σ_{ls}	$=$	r_v	$=$
v_o	$=$	$\tau(M_t)$	$=$	σ_{lls}	$=$	r_o	$=$
A_n	$=$	$\tau(T_{yc})$	$=$	σ_{ld}	$=$	J_p	$=$
C_w	$=$	$\tau(T_{yb})_d$	$=$	σ_{lld}	$=$		
J_u	$=$	$\tau(T_y)_s$	$=$	σ_{tresca}	$=$		
J_v	$=$	$\tau(T_y)_d$	$=$	σ_{mises}	$=$		
J_t	$=$	σ	$=$	$\sigma_{st.ven}$	$=$		



Calcolo degli sforzi con forze baricentriche in * punto medio di AB

Rappresentare sul foglio, in scala: G, assi u,v, ellisse d'inertia

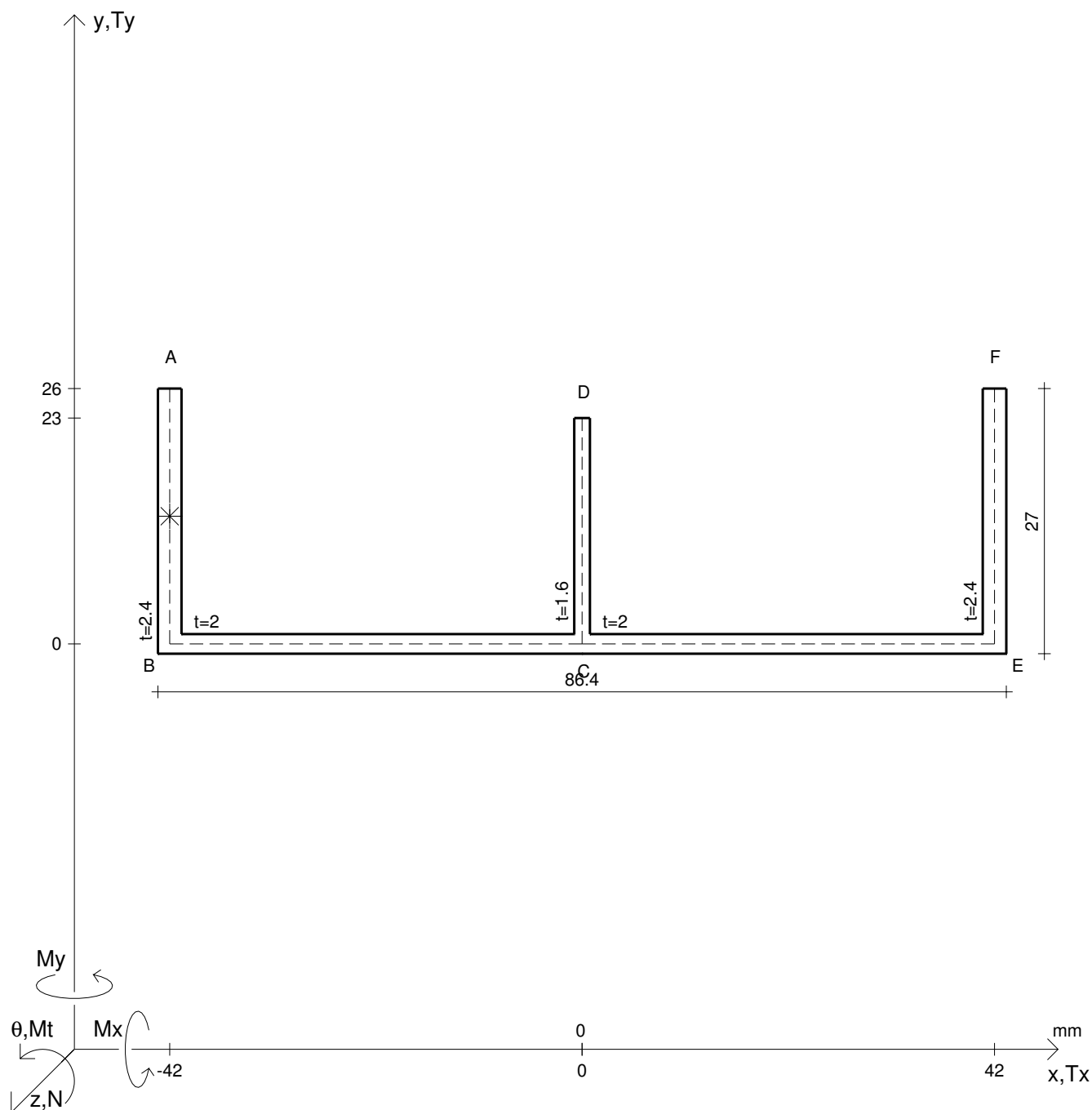
Rappresentare il cerchio di Mohr

Operare le conclusioni sulla verifica di resistenza in *

Facoltativo: rappresentare l'asse neutro e l'andamento delle tens. normali.

Facoltativo: rappresentare l'andamento delle tens. tangenziali.

N	$= 24300 \text{ N}$	M_t	$= -12700 \text{ Nmm}$	σ_a	$= 240 \text{ N/mm}^2$	G	$= 75000 \text{ N/mm}^2$
T_y	$= 6260 \text{ N}$	M_x	$= 78800 \text{ Nmm}$	E	$= 200000 \text{ N/mm}^2$	θ_t	$=$
y_g	$=$	$\sigma(N)$	$=$	τ_s	$=$	r_u	$=$
u_o	$=$	$\sigma(M_x)$	$=$	σ_{ls}	$=$	r_v	$=$
v_o	$=$	$\tau(M_t)$	$=$	σ_{lls}	$=$	r_o	$=$
A_n	$=$	$\tau(T_{yc})$	$=$	σ_{ld}	$=$	J_p	$=$
C_w	$=$	$\tau(T_{yb})_d$	$=$	σ_{lld}	$=$		
J_u	$=$	$\tau(T_y)_s$	$=$	σ_{tresca}	$=$		
J_v	$=$	$\tau(T_y)_d$	$=$	σ_{mises}	$=$		
J_t	$=$	σ	$=$	$\sigma_{st.ven}$	$=$		



Calcolo degli sforzi con forze baricentriche in * punto medio di AB

Rappresentare sul foglio, in scala: G, assi u,v, ellisse d'inertia

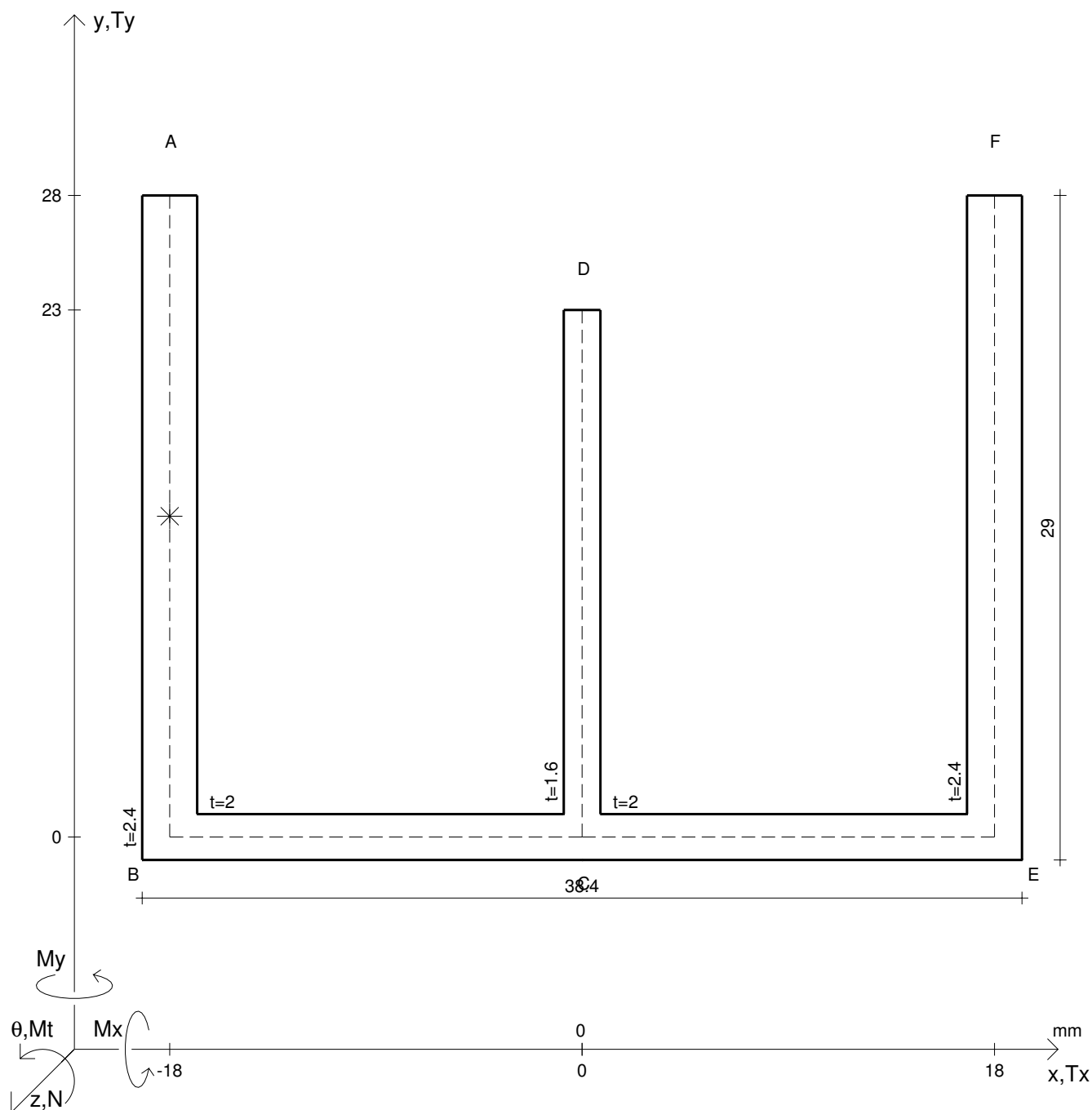
Rappresentare il cerchio di Mohr

Operare le conclusioni sulla verifica di resistenza in *

Facoltativo: rappresentare l'asse neutro e l'andamento delle tens. normali.

Facoltativo: rappresentare l'andamento delle tens. tangenziali.

N	$= 19600 \text{ N}$	M_t	$= 15200 \text{ Nmm}$	σ_a	$= 240 \text{ N/mm}^2$	G	$= 75000 \text{ N/mm}^2$
T_y	$= 6890 \text{ N}$	M_x	$= 89300 \text{ Nmm}$	E	$= 200000 \text{ N/mm}^2$	θ_t	$=$
y_g	$=$	$\sigma(N)$	$=$	τ_s	$=$	r_u	$=$
u_o	$=$	$\sigma(M_x)$	$=$	σ_{ls}	$=$	r_v	$=$
v_o	$=$	$\tau(M_t)$	$=$	σ_{lls}	$=$	r_o	$=$
A_n	$=$	$\tau(T_{yc})$	$=$	σ_{ld}	$=$	J_p	$=$
C_w	$=$	$\tau(T_{yb})_d$	$=$	σ_{lld}	$=$		
J_u	$=$	$\tau(T_y)_s$	$=$	σ_{tresca}	$=$		
J_v	$=$	$\tau(T_y)_d$	$=$	σ_{mises}	$=$		
J_t	$=$	σ	$=$	$\sigma_{st.ven}$	$=$		



Calcolo degli sforzi con forze baricentriche in * punto medio di AB

Rappresentare sul foglio, in scala: G, assi u,v, ellisse d'inertia

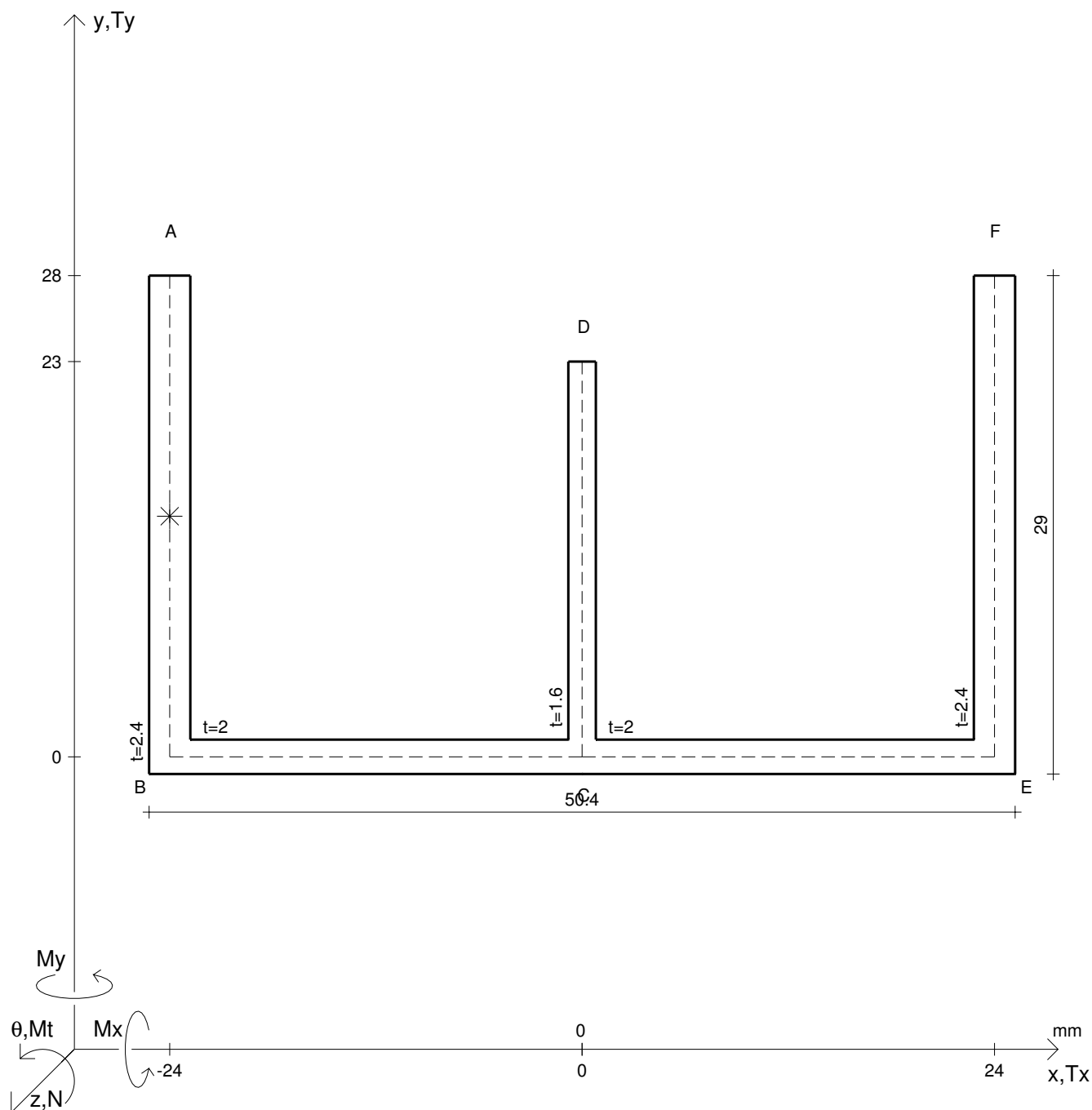
Rappresentare il cerchio di Mohr

Operare le conclusioni sulla verifica di resistenza in *

Facoltativo: rappresentare l'asse neutro e l'andamento delle tens. normali.

Facoltativo: rappresentare l'andamento delle tens. tangenziali.

N	$= 15000 \text{ N}$	M_t	$= -12000 \text{ Nmm}$	σ_a	$= 240 \text{ N/mm}^2$	G	$= 75000 \text{ N/mm}^2$
T_y	$= 8380 \text{ N}$	M_x	$= 59100 \text{ Nmm}$	E	$= 200000 \text{ N/mm}^2$	θ_t	$=$
y_g	$=$	$\sigma(N)$	$=$	τ_s	$=$	r_u	$=$
u_o	$=$	$\sigma(M_x)$	$=$	σ_{ls}	$=$	r_v	$=$
v_o	$=$	$\tau(M_t)$	$=$	σ_{lls}	$=$	r_o	$=$
A_n	$=$	$\tau(T_{yc})$	$=$	σ_{ld}	$=$	J_p	$=$
C_w	$=$	$\tau(T_{yb}/d)$	$=$	σ_{lld}	$=$		
J_u	$=$	$\tau(T_y)_s$	$=$	σ_{tresca}	$=$		
J_v	$=$	$\tau(T_y)_d$	$=$	σ_{mises}	$=$		
J_t	$=$	σ	$=$	$\sigma_{st.ven}$	$=$		



Calcolo degli sforzi con forze baricentriche in * punto medio di AB

Rappresentare sul foglio, in scala: G, assi u,v, ellisse d'inerzia

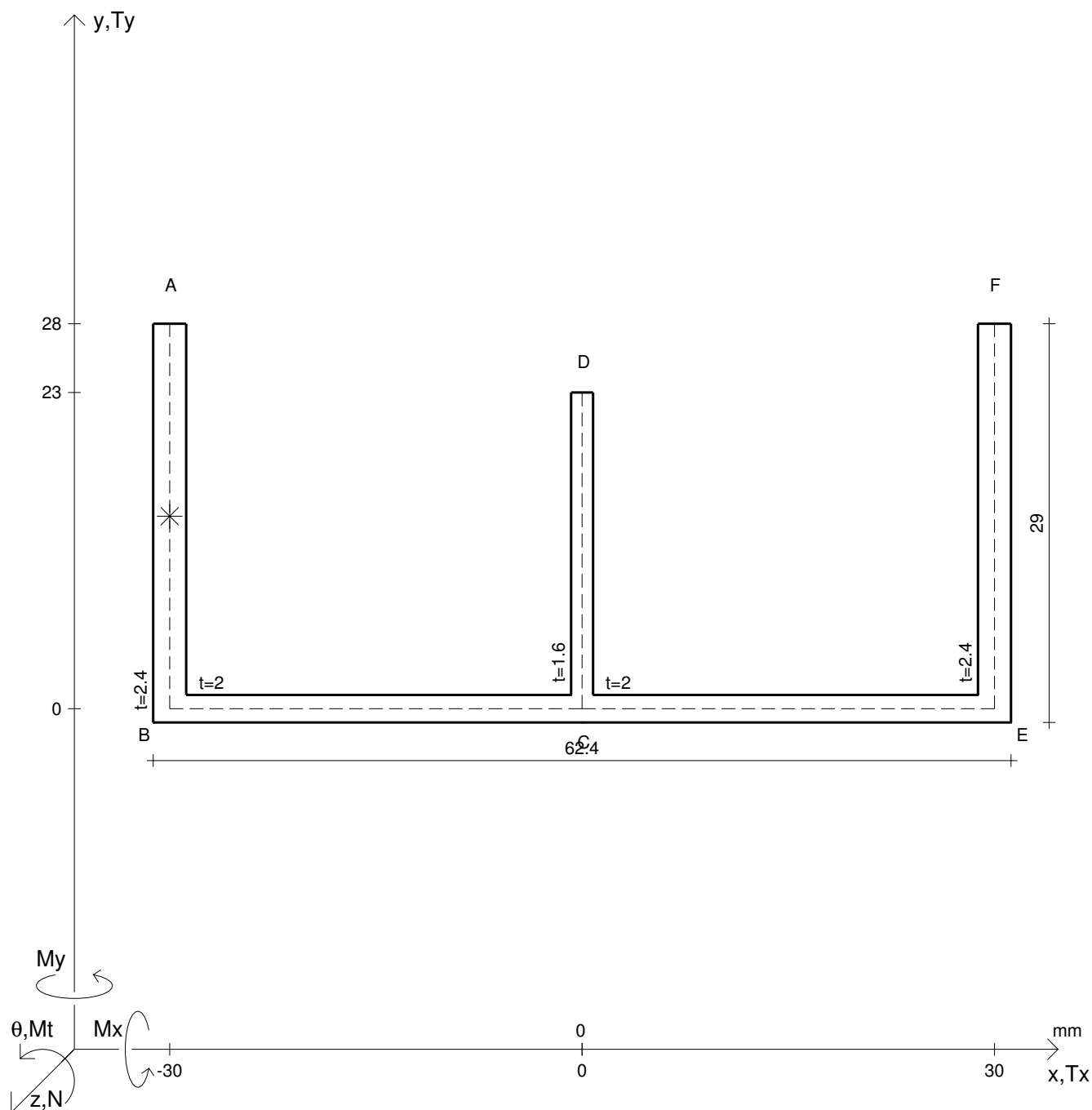
Rappresentare il cerchio di Mohr

Operare le conclusioni sulla verifica di resistenza in *

Facoltativo: rappresentare l'asse neutro e l'andamento delle tens. normali.

Facoltativo: rappresentare l'andamento delle tens. tangenziali.

N	$= 18500 \text{ N}$	M_t	$= 9780 \text{ Nmm}$	σ_a	$= 240 \text{ N/mm}^2$	G	$= 75000 \text{ N/mm}^2$
T_y	$= 9150 \text{ N}$	M_x	$= 70500 \text{ Nmm}$	E	$= 200000 \text{ N/mm}^2$	θ_t	$=$
y_g	$=$	$\sigma(N)$	$=$	τ_s	$=$	r_u	$=$
u_o	$=$	$\sigma(M_x)$	$=$	σ_{ls}	$=$	r_v	$=$
v_o	$=$	$\tau(M_t)$	$=$	σ_{lls}	$=$	r_o	$=$
A_n	$=$	$\tau(T_{yc})$	$=$	σ_{ld}	$=$	J_p	$=$
C_w	$=$	$\tau(T_{yb})_d$	$=$	σ_{lld}	$=$		
J_u	$=$	$\tau(T_y)_s$	$=$	σ_{tresca}	$=$		
J_v	$=$	$\tau(T_y)_d$	$=$	σ_{mises}	$=$		
J_t	$=$	σ	$=$	$\sigma_{st.ven}$	$=$		



Calcolo degli sforzi con forze baricentriche in * punto medio di AB

Rappresentare sul foglio, in scala: G, assi u, v , ellisse d'inerzia

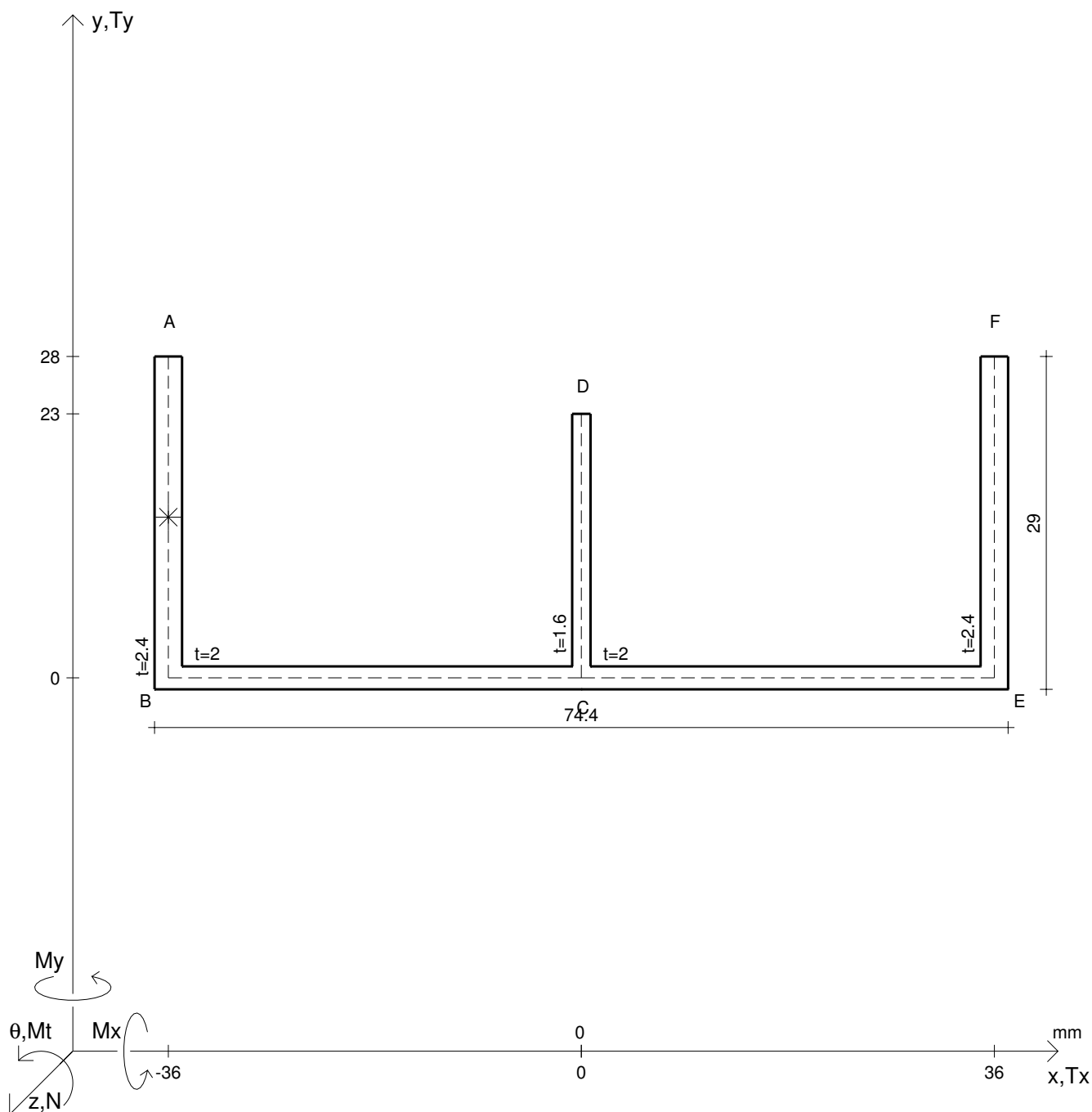
Rappresentare il cerchio di Mohr

Operare le conclusioni sulla verifica di resistenza in *

Facoltativo: rappresentare l'asse neutro e l'andamento delle tens. normali.

Facoltativo: rappresentare l'andamento delle tens. tangenziali.

N	$= 22700 \text{ N}$	M_t	$= -12000 \text{ Nmm}$	σ_a	$= 240 \text{ N/mm}^2$	G	$= 75000 \text{ N/mm}^2$
T_y	$= 6590 \text{ N}$	M_x	$= 82900 \text{ Nmm}$	E	$= 200000 \text{ N/mm}^2$	θ_t	$=$
y_g	$=$	$\sigma(N)$	$=$	τ_s	$=$	r_u	$=$
u_o	$=$	$\sigma(M_x)$	$=$	σ_{ls}	$=$	r_v	$=$
v_o	$=$	$\tau(M_t)$	$=$	σ_{lls}	$=$	r_o	$=$
A_n	$=$	$\tau(T_{yc})$	$=$	σ_{ld}	$=$	J_p	$=$
C_w	$=$	$\tau(T_{yb})_d$	$=$	σ_{lld}	$=$		
J_u	$=$	$\tau(T_y)_s$	$=$	σ_{tresca}	$=$		
J_v	$=$	$\tau(T_y)_d$	$=$	σ_{mises}	$=$		
J_t	$=$	σ	$=$	$\sigma_{st.ven}$	$=$		



Calcolo degli sforzi con forze baricentriche in * punto medio di AB

Rappresentare sul foglio, in scala: G, assi u,v, ellisse d'inerzia

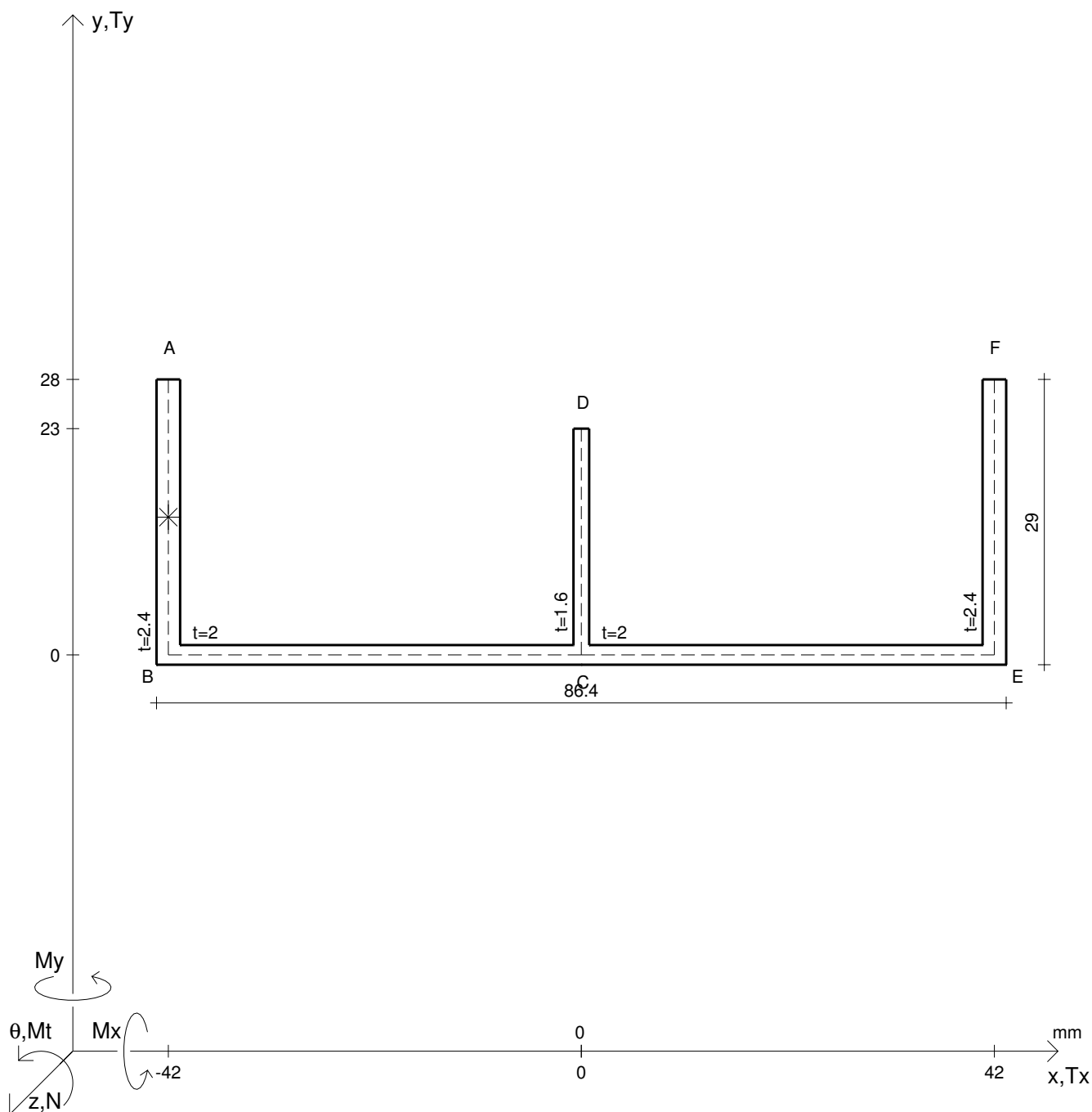
Rappresentare il cerchio di Mohr

Operare le conclusioni sulla verifica di resistenza in *

Facoltativo: rappresentare l'asse neutro e l'andamento delle tens. normali.

Facoltativo: rappresentare l'andamento delle tens. tangenziali.

N	$= 18500 \text{ N}$	M_t	$= -14500 \text{ Nmm}$	σ_a	$= 240 \text{ N/mm}^2$	G	$= 75000 \text{ N/mm}^2$
T_y	$= 7230 \text{ N}$	M_x	$= 95100 \text{ Nmm}$	E	$= 200000 \text{ N/mm}^2$	θ_t	$=$
y_g	$=$	$\sigma(N)$	$=$	τ_s	$=$	r_u	$=$
u_o	$=$	$\sigma(M_x)$	$=$	σ_{ls}	$=$	r_v	$=$
v_o	$=$	$\tau(M_t)$	$=$	σ_{lls}	$=$	r_o	$=$
A_n	$=$	$\tau(T_{yc})$	$=$	σ_{ld}	$=$	J_p	$=$
C_w	$=$	$\tau(T_{yb/d})$	$=$	σ_{lld}	$=$		
J_u	$=$	$\tau(T_y)_s$	$=$	σ_{tresca}	$=$		
J_v	$=$	$\tau(T_y)_d$	$=$	σ_{mises}	$=$		
J_t	$=$	σ	$=$	$\sigma_{st.ven}$	$=$		



Calcolo degli sforzi con forze baricentriche in * punto medio di AB

Rappresentare sul foglio, in scala: G, assi u,v, ellisse d'inertia

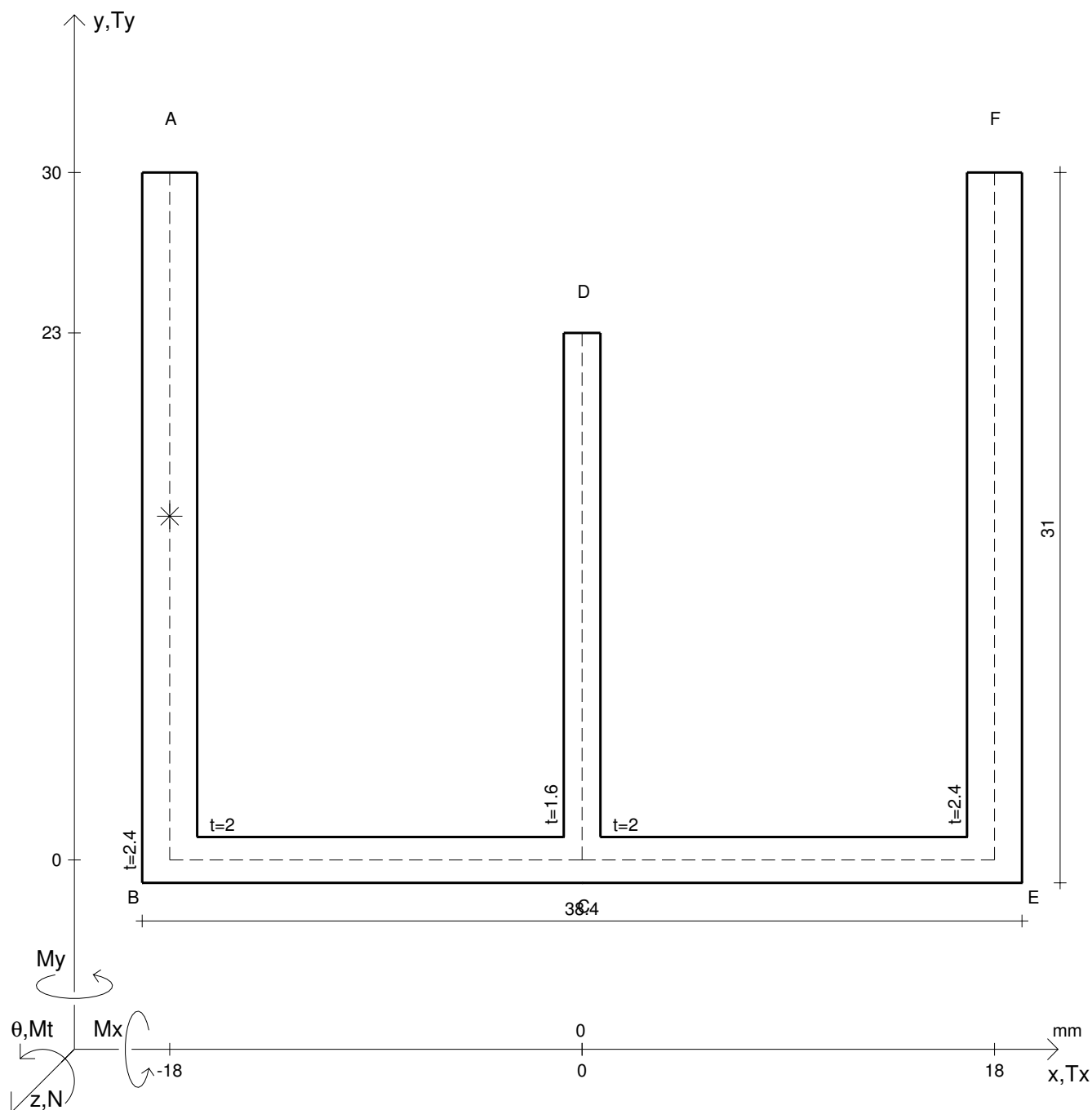
Rappresentare il cerchio di Mohr

Operare le conclusioni sulla verifica di resistenza in *

Facoltativo: rappresentare l'asse neutro e l'andamento delle tens. normali.

Facoltativo: rappresentare l'andamento delle tens. tangenziali.

N	$= 22500 \text{ N}$	M_t	$= -17200 \text{ Nmm}$	σ_a	$= 240 \text{ N/mm}^2$	G	$= 75000 \text{ N/mm}^2$
T_y	$= 7880 \text{ N}$	M_x	$= 72800 \text{ Nmm}$	E	$= 200000 \text{ N/mm}^2$	θ_t	$=$
y_g	$=$	$\sigma(N)$	$=$	τ_s	$=$	r_u	$=$
u_o	$=$	$\sigma(M_x)$	$=$	σ_{ls}	$=$	r_v	$=$
v_o	$=$	$\tau(M_t)$	$=$	σ_{lls}	$=$	r_o	$=$
A_n	$=$	$\tau(T_{yc})$	$=$	σ_{ld}	$=$	J_p	$=$
C_w	$=$	$\tau(T_{yb}/d)$	$=$	σ_{lld}	$=$		
J_u	$=$	$\tau(T_y)_s$	$=$	σ_{tresca}	$=$		
J_v	$=$	$\tau(T_y)_d$	$=$	σ_{mises}	$=$		
J_t	$=$	σ	$=$	$\sigma_{st.ven}$	$=$		



Calcolo degli sforzi con forze baricentriche in * punto medio di AB

Rappresentare sul foglio, in scala: G, assi u,v, ellisse d'inerzia

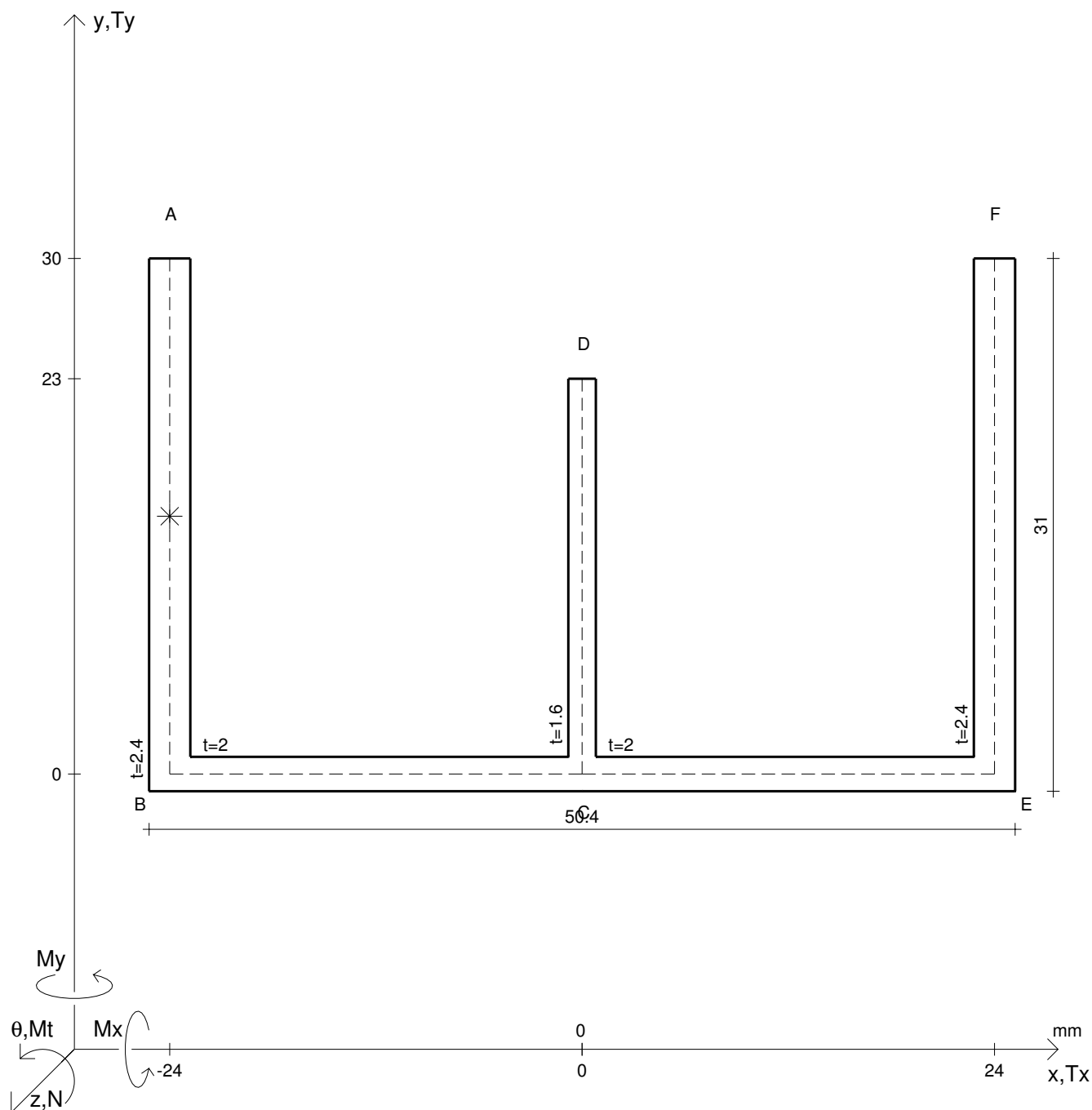
Rappresentare il cerchio di Mohr

Operare le conclusioni sulla verifica di resistenza in *

Facoltativo: rappresentare l'asse neutro e l'andamento delle tens. normali.

Facoltativo: rappresentare l'andamento delle tens. tangenziali.

N	$= 17300 \text{ N}$	M_t	$= -9320 \text{ Nmm}$	σ_a	$= 240 \text{ N/mm}^2$	G	$= 75000 \text{ N/mm}^2$
T_y	$= 9480 \text{ N}$	M_x	$= 72900 \text{ Nmm}$	E	$= 200000 \text{ N/mm}^2$	θ_t	$=$
y_g	$=$	$\sigma(N)$	$=$	τ_s	$=$	r_u	$=$
u_o	$=$	$\sigma(M_x)$	$=$	σ_{ls}	$=$	r_v	$=$
v_o	$=$	$\tau(M_t)$	$=$	σ_{lls}	$=$	r_o	$=$
A_n	$=$	$\tau(T_{yc})$	$=$	σ_{ld}	$=$	J_p	$=$
C_w	$=$	$\tau(T_{yb})_d$	$=$	σ_{lld}	$=$		
J_u	$=$	$\tau(T_y)_s$	$=$	σ_{tresca}	$=$		
J_v	$=$	$\tau(T_y)_d$	$=$	σ_{mises}	$=$		
J_t	$=$	σ	$=$	$\sigma_{st.ven}$	$=$		



Calcolo degli sforzi con forze baricentriche in * punto medio di AB

Rappresentare sul foglio, in scala: G, assi u,v, ellisse d'inerzia

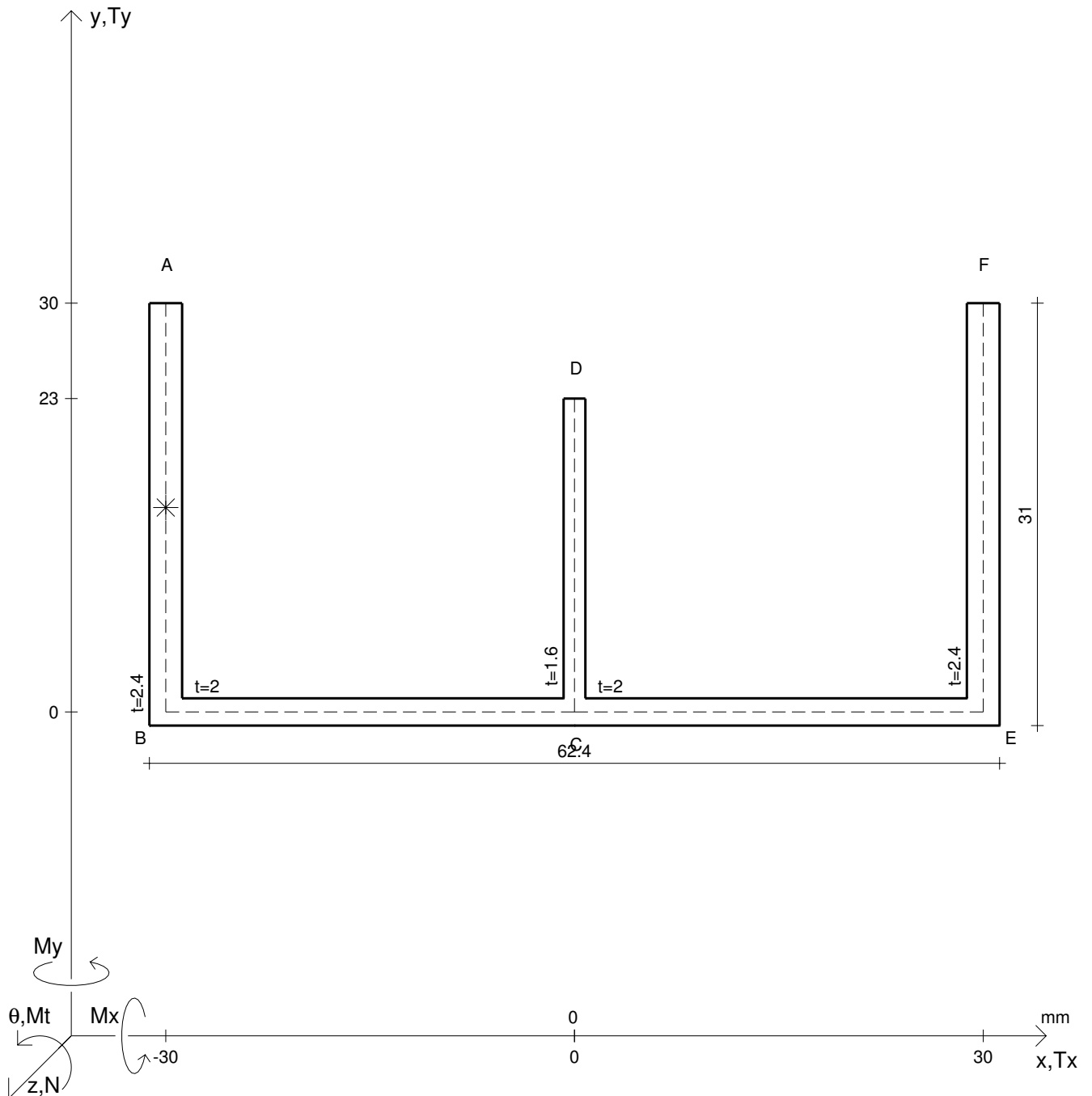
Rappresentare il cerchio di Mohr

Operare le conclusioni sulla verifica di resistenza in *

Facoltativo: rappresentare l'asse neutro e l'andamento delle tens. normali.

Facoltativo: rappresentare l'andamento delle tens. tangenziali.

N	$= 20900 \text{ N}$	M_t	$= 11300 \text{ Nmm}$	σ_a	$= 240 \text{ N/mm}^2$	G	$= 75000 \text{ N/mm}^2$
T_y	$= 7020 \text{ N}$	M_x	$= 85700 \text{ Nmm}$	E	$= 200000 \text{ N/mm}^2$	θ_t	$=$
y_g	$=$	$\sigma(N)$	$=$	τ_s	$=$	r_u	$=$
u_o	$=$	$\sigma(M_x)$	$=$	σ_{ls}	$=$	r_v	$=$
v_o	$=$	$\tau(M_t)$	$=$	σ_{lls}	$=$	r_o	$=$
A_n	$=$	$\tau(T_{yc})$	$=$	σ_{ld}	$=$	J_p	$=$
C_w	$=$	$\tau(T_{yb})_d$	$=$	σ_{lld}	$=$		
J_u	$=$	$\tau(T_y)_s$	$=$	σ_{tresca}	$=$		
J_v	$=$	$\tau(T_y)_d$	$=$	σ_{mises}	$=$		
J_t	$=$	σ	$=$	$\sigma_{st.ven}$	$=$		



Calcolo degli sforzi con forze baricentriche in * punto medio di AB

Rappresentare sul foglio, in scala: G, assi u,v, ellisse d'inertia

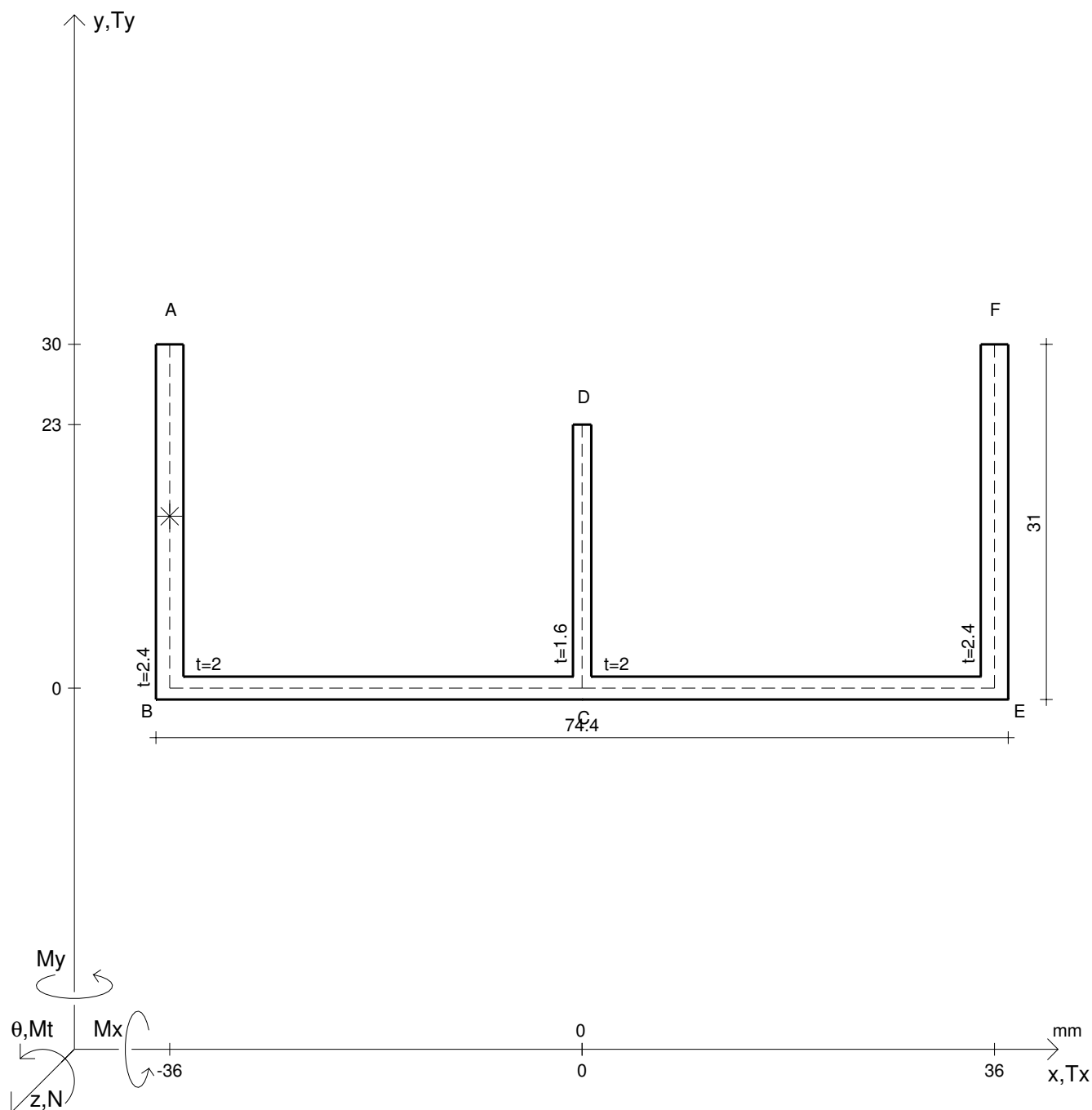
Rappresentare il cerchio di Mohr

Operare le conclusioni sulla verifica di resistenza in *

Facoltativo: rappresentare l'asse neutro e l'andamento delle tens. normali.

Facoltativo: rappresentare l'andamento delle tens. tangenziali.

N	$= 17300 \text{ N}$	M_t	$= 13800 \text{ Nmm}$	σ_a	$= 240 \text{ N/mm}^2$	G	$= 75000 \text{ N/mm}^2$
T_y	$= 7660 \text{ N}$	M_x	$= 100000 \text{ Nmm}$	E	$= 200000 \text{ N/mm}^2$	θ_t	$=$
y_g	$=$	$\sigma(N)$	$=$	τ_s	$=$	r_u	$=$
u_o	$=$	$\sigma(M_x)$	$=$	σ_{ls}	$=$	r_v	$=$
v_o	$=$	$\tau(M_t)$	$=$	σ_{lls}	$=$	r_o	$=$
A_n	$=$	$\tau(T_{yc})$	$=$	σ_{ld}	$=$	J_p	$=$
C_w	$=$	$\tau(T_{yb}/d)$	$=$	σ_{lld}	$=$		
J_u	$=$	$\tau(T_y)_s$	$=$	σ_{tresca}	$=$		
J_v	$=$	$\tau(T_y)_d$	$=$	σ_{mises}	$=$		
J_t	$=$	σ	$=$	$\sigma_{st.ven}$	$=$		



Calcolo degli sforzi con forze baricentriche in * punto medio di AB

Rappresentare sul foglio, in scala: G, assi u,v, ellisse d'inertia

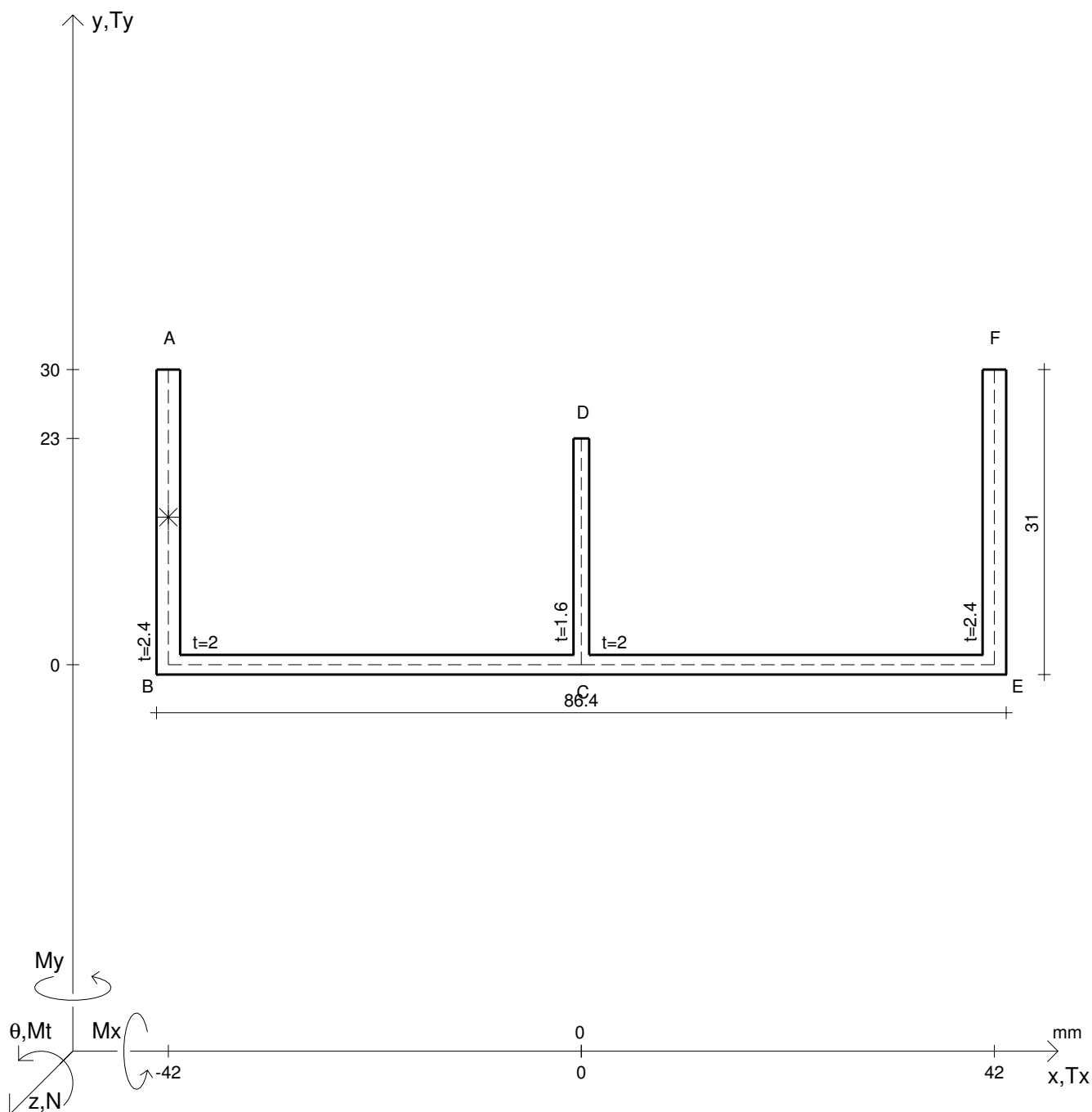
Rappresentare il cerchio di Mohr

Operare le conclusioni sulla verifica di resistenza in *

Facoltativo: rappresentare l'asse neutro e l'andamento delle tens. normali.

Facoltativo: rappresentare l'andamento delle tens. tangenziali.

N	$= 21200 \text{ N}$	M_t	$= 16500 \text{ Nmm}$	σ_a	$= 240 \text{ N/mm}^2$	G	$= 75000 \text{ N/mm}^2$
T_y	$= 8310 \text{ N}$	M_x	$= 77400 \text{ Nmm}$	E	$= 200000 \text{ N/mm}^2$	θ_t	$=$
y_g	$=$	$\sigma(N)$	$=$	τ_s	$=$	r_u	$=$
u_o	$=$	$\sigma(M_x)$	$=$	σ_{ls}	$=$	r_v	$=$
v_o	$=$	$\tau(M_t)$	$=$	σ_{lls}	$=$	r_o	$=$
A_n	$=$	$\tau(T_{yc})$	$=$	σ_{ld}	$=$	J_p	$=$
C_w	$=$	$\tau(T_{yb})_d$	$=$	σ_{lld}	$=$		
J_u	$=$	$\tau(T_y)_s$	$=$	σ_{tresca}	$=$		
J_v	$=$	$\tau(T_y)_d$	$=$	σ_{mises}	$=$		
J_t	$=$	σ	$=$	$\sigma_{st.ven}$	$=$		



Calcolo degli sforzi con forze baricentriche in * punto medio di AB

Rappresentare sul foglio, in scala: G, assi u, v , ellisse d'inertia

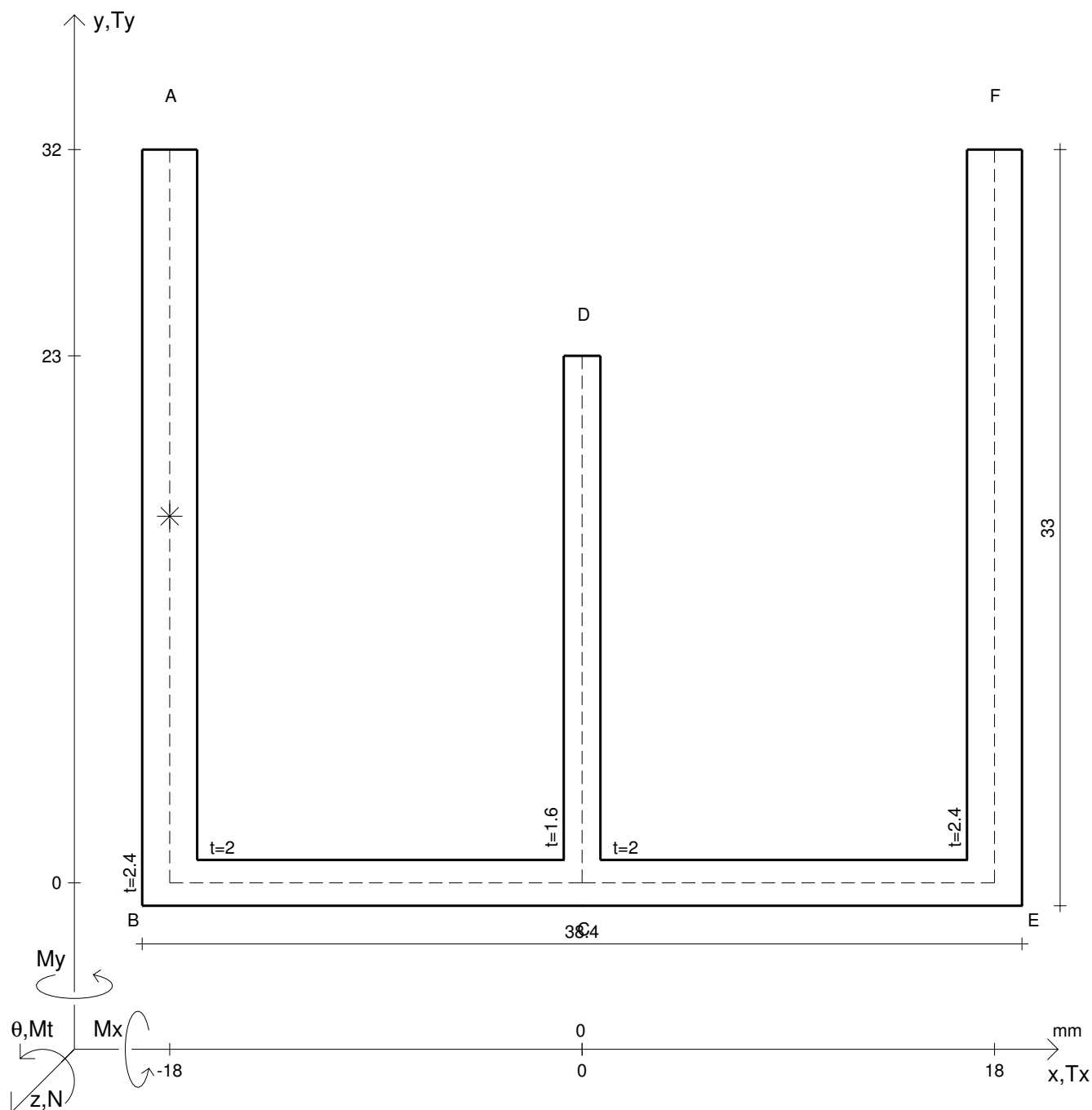
Rappresentare il cerchio di Mohr

Operare le conclusioni sulla verifica di resistenza in *

Facoltativo: rappresentare l'asse neutro e l'andamento delle tens. normali.

Facoltativo: rappresentare l'andamento delle tens. tangenziali.

N	$= 25500 \text{ N}$	M_t	$= -13100 \text{ Nmm}$	σ_a	$= 240 \text{ N/mm}^2$	G	$= 75000 \text{ N/mm}^2$
T_y	$= 8970 \text{ N}$	M_x	$= 89700 \text{ Nmm}$	E	$= 200000 \text{ N/mm}^2$	θ_t	$=$
y_g	$=$	$\sigma(N)$	$=$	τ_s	$=$	r_u	$=$
u_o	$=$	$\sigma(M_x)$	$=$	σ_{ls}	$=$	r_v	$=$
v_o	$=$	$\tau(M_t)$	$=$	σ_{lls}	$=$	r_o	$=$
A_n	$=$	$\tau(T_{yc})$	$=$	σ_{ld}	$=$	J_p	$=$
C_w	$=$	$\tau(T_{yb}/d)$	$=$	σ_{lld}	$=$		
J_u	$=$	$\tau(T_y)_s$	$=$	σ_{tresca}	$=$		
J_v	$=$	$\tau(T_y)_d$	$=$	σ_{mises}	$=$		
J_t	$=$	σ	$=$	$\sigma_{st.ven}$	$=$		



Calcolo degli sforzi con forze baricentriche in * punto medio di AB

Rappresentare sul foglio, in scala: G, assi u,v, ellisse d'inertia

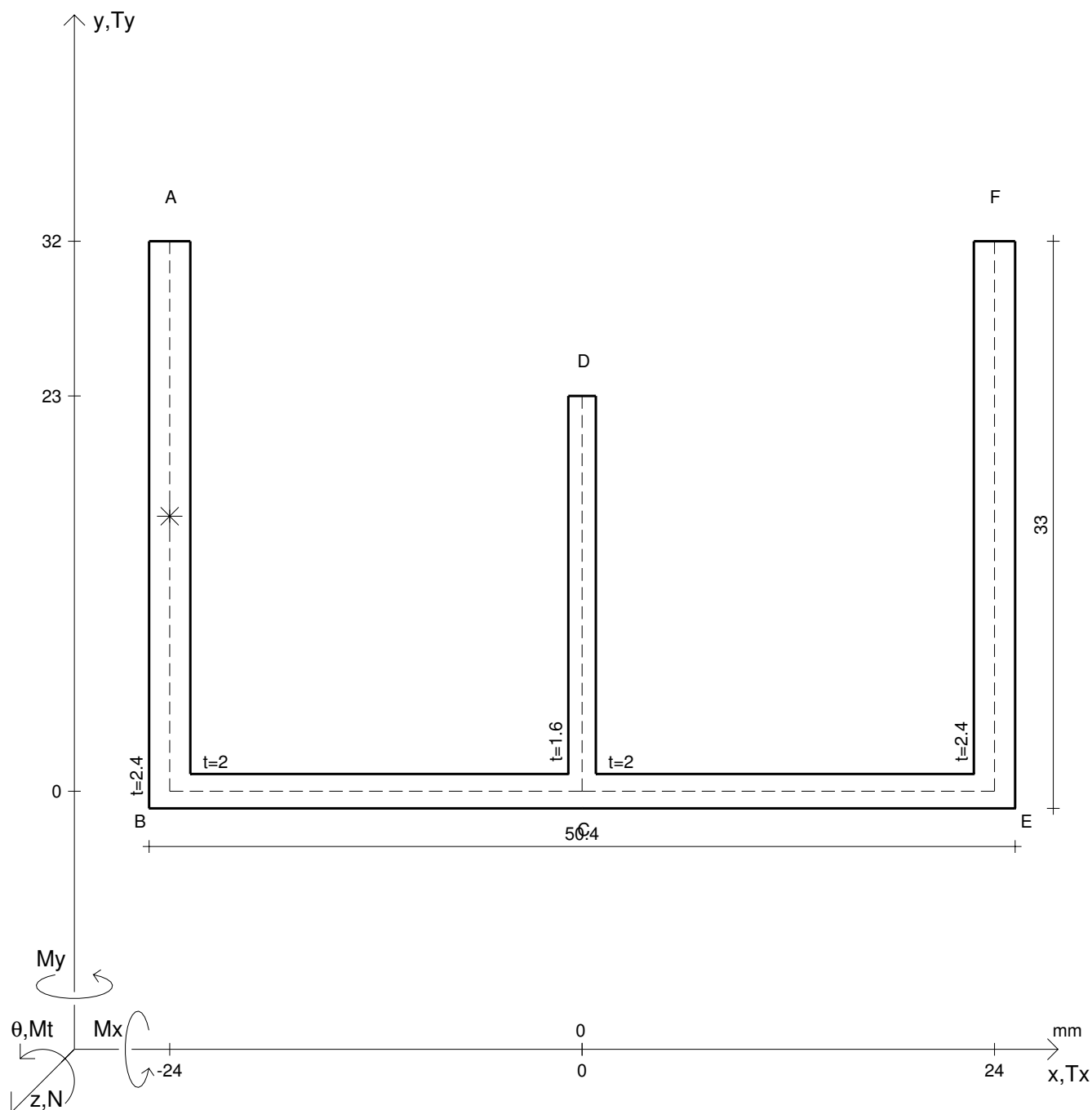
Rappresentare il cerchio di Mohr

Operare le conclusioni sulla verifica di resistenza in *

Facoltativo: rappresentare l'asse neutro e l'andamento delle tens. normali.

Facoltativo: rappresentare l'andamento delle tens. tangenziali.

N	$= 19600 \text{ N}$	M_t	$= -10900 \text{ Nmm}$	σ_a	$= 240 \text{ N/mm}^2$	G	$= 75000 \text{ N/mm}^2$
T_y	$= 7260 \text{ N}$	M_x	$= 88900 \text{ Nmm}$	E	$= 200000 \text{ N/mm}^2$	θ_t	$=$
y_g	$=$	$\sigma(N)$	$=$	τ_s	$=$	r_u	$=$
u_o	$=$	$\sigma(M_x)$	$=$	σ_{ls}	$=$	r_v	$=$
v_o	$=$	$\tau(M_t)$	$=$	σ_{lls}	$=$	r_o	$=$
A_n	$=$	$\tau(T_{yc})$	$=$	σ_{ld}	$=$	J_p	$=$
C_w	$=$	$\tau(T_{yb/d})$	$=$	σ_{lld}	$=$		
J_u	$=$	$\tau(T_y)_s$	$=$	σ_{tresca}	$=$		
J_v	$=$	$\tau(T_y)_d$	$=$	σ_{mises}	$=$		
J_t	$=$	σ	$=$	$\sigma_{st.ven}$	$=$		



Calcolo degli sforzi con forze baricentriche in * punto medio di AB

Rappresentare sul foglio, in scala: G, assi u,v, ellisse d'inerzia

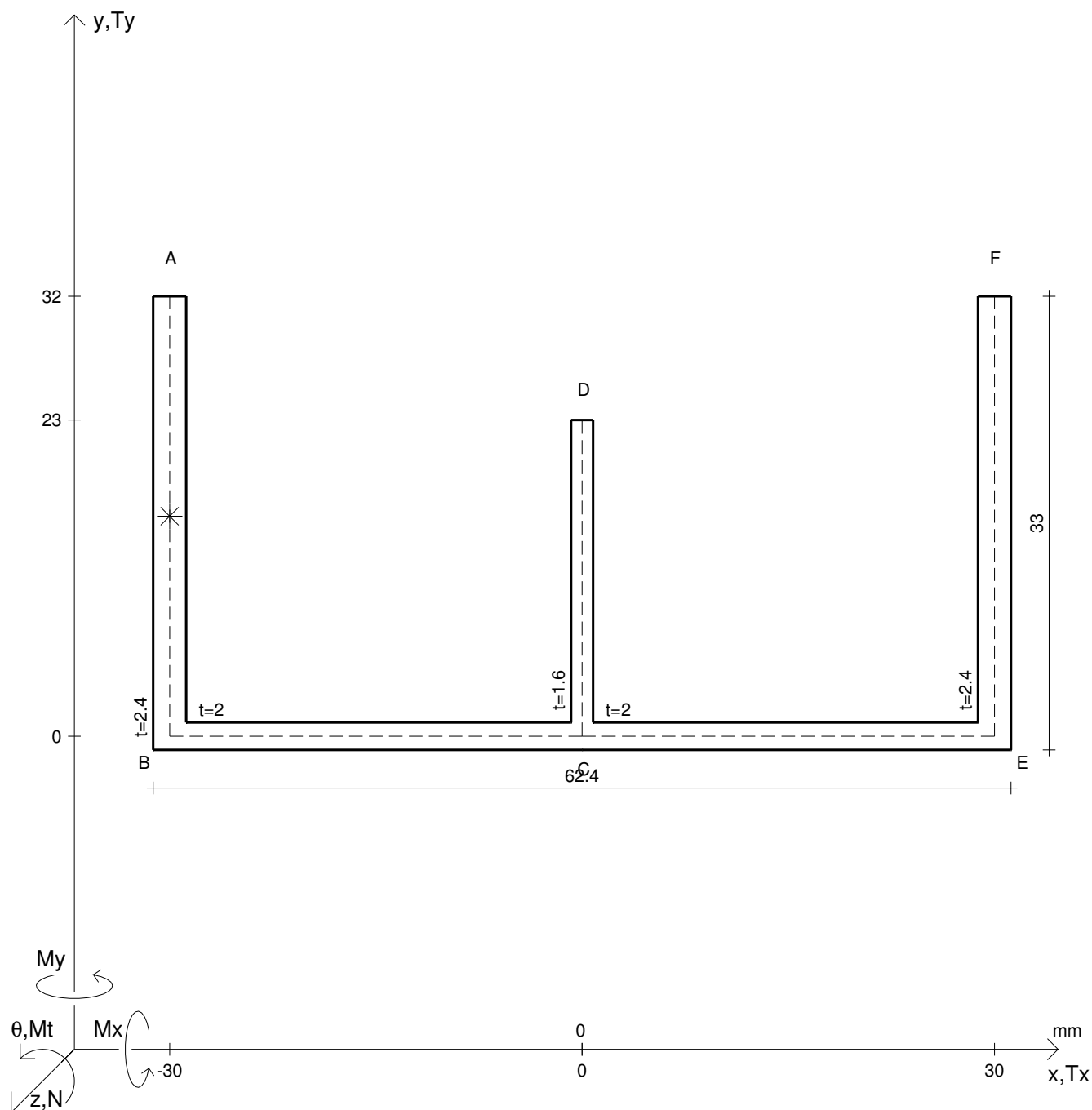
Rappresentare il cerchio di Mohr

Operare le conclusioni sulla verifica di resistenza in *

Facoltativo: rappresentare l'asse neutro e l'andamento delle tens. normali.

Facoltativo: rappresentare l'andamento delle tens. tangenziali.

N	$= 15900 \text{ N}$	M_t	$= -13000 \text{ Nmm}$	σ_a	$= 240 \text{ N/mm}^2$	G	$= 75000 \text{ N/mm}^2$
T_y	$= 8180 \text{ N}$	M_x	$= 103000 \text{ Nmm}$	E	$= 200000 \text{ N/mm}^2$	θ_t	$=$
y_g	$=$	$\sigma(N)$	$=$	τ_s	$=$	r_u	$=$
u_o	$=$	$\sigma(M_x)$	$=$	σ_{ls}	$=$	r_v	$=$
v_o	$=$	$\tau(M_t)$	$=$	σ_{lls}	$=$	r_o	$=$
A_n	$=$	$\tau(T_{yc})$	$=$	σ_{ld}	$=$	J_p	$=$
C_w	$=$	$\tau(T_{yb})_d$	$=$	σ_{lld}	$=$		
J_u	$=$	$\tau(T_y)_s$	$=$	σ_{tresca}	$=$		
J_v	$=$	$\tau(T_y)_d$	$=$	σ_{mises}	$=$		
J_t	$=$	σ	$=$	$\sigma_{st.ven}$	$=$		



Calcolo degli sforzi con forze baricentriche in * punto medio di AB

Rappresentare sul foglio, in scala: G, assi u,v, ellisse d'inerzia

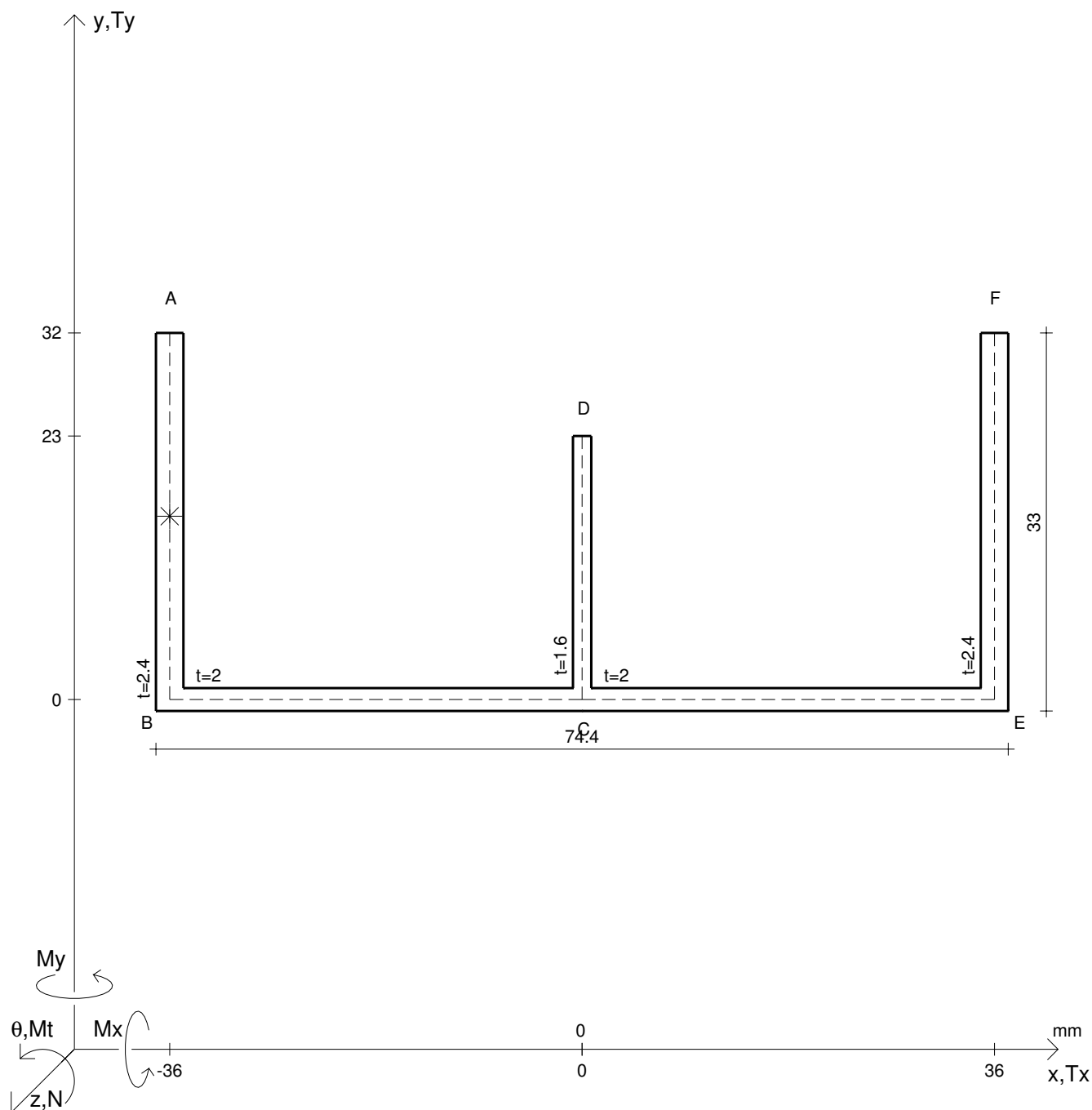
Rappresentare il cerchio di Mohr

Operare le conclusioni sulla verifica di resistenza in *

Facoltativo: rappresentare l'asse neutro e l'andamento delle tens. normali.

Facoltativo: rappresentare l'andamento delle tens. tangenziali.

N	$= 19800 \text{ N}$	M_t	$= -15700 \text{ Nmm}$	σ_a	$= 240 \text{ N/mm}^2$	G	$= 75000 \text{ N/mm}^2$
T_y	$= 8830 \text{ N}$	M_x	$= 81200 \text{ Nmm}$	E	$= 200000 \text{ N/mm}^2$	θ_t	$=$
y_g	$=$	$\sigma(N)$	$=$	τ_s	$=$	r_u	$=$
u_o	$=$	$\sigma(M_x)$	$=$	σ_{ls}	$=$	r_v	$=$
v_o	$=$	$\tau(M_t)$	$=$	σ_{lls}	$=$	r_o	$=$
A_n	$=$	$\tau(T_{yc})$	$=$	σ_{ld}	$=$	J_p	$=$
C_w	$=$	$\tau(T_{yb})_d$	$=$	σ_{lld}	$=$		
J_u	$=$	$\tau(T_y)_s$	$=$	σ_{tresca}	$=$		
J_v	$=$	$\tau(T_y)_d$	$=$	σ_{mises}	$=$		
J_t	$=$	σ	$=$	$\sigma_{st.ven}$	$=$		



Calcolo degli sforzi con forze baricentriche in * punto medio di AB

Rappresentare sul foglio, in scala: G, assi u,v, ellisse d'inerzia

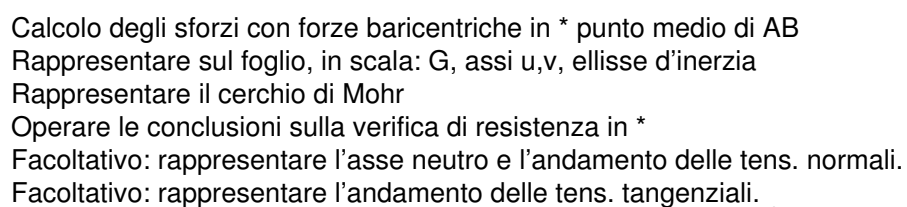
Rappresentare il cerchio di Mohr

Operare le conclusioni sulla verifica di resistenza in *

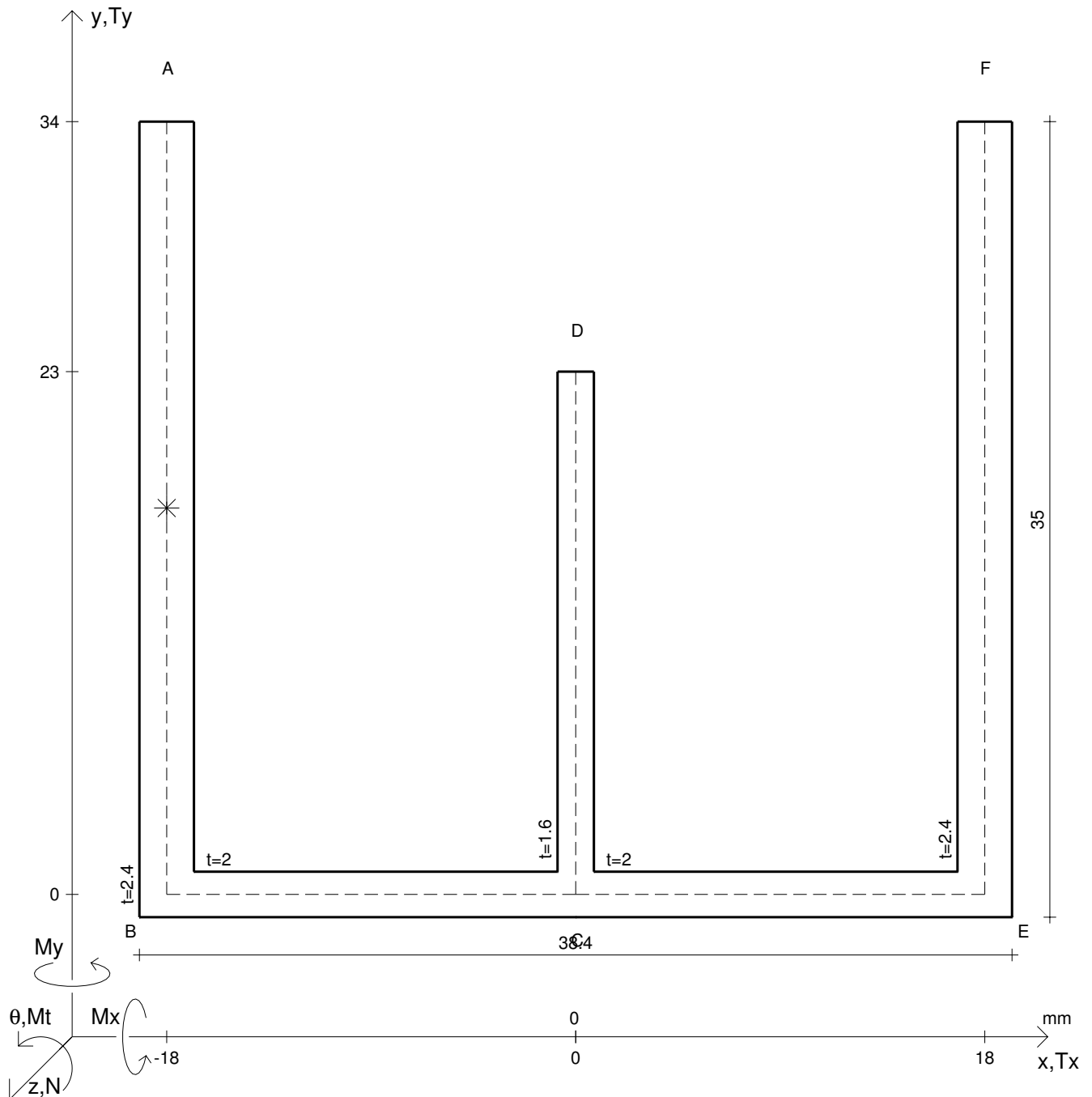
Facoltativo: rappresentare l'asse neutro e l'andamento delle tens. normali.

Facoltativo: rappresentare l'andamento delle tens. tangenziali.

N	$= 24100 \text{ N}$	M_t	$= -12600 \text{ Nmm}$	σ_a	$= 240 \text{ N/mm}^2$	G	$= 75000 \text{ N/mm}^2$
T_y	$= 9500 \text{ N}$	M_x	$= 95100 \text{ Nmm}$	E	$= 200000 \text{ N/mm}^2$	θ_t	$=$
y_g	$=$	$\sigma(N)$	$=$	τ_s	$=$	r_u	$=$
u_o	$=$	$\sigma(M_x)$	$=$	σ_{ls}	$=$	r_v	$=$
v_o	$=$	$\tau(M_t)$	$=$	σ_{lls}	$=$	r_o	$=$
A_n	$=$	$\tau(T_{yc})$	$=$	σ_{ld}	$=$	J_p	$=$
C_w	$=$	$\tau(T_{yb})_d$	$=$	σ_{lld}	$=$		
J_u	$=$	$\tau(T_y)_s$	$=$	σ_{tresca}	$=$		
J_v	$=$	$\tau(T_y)_d$	$=$	σ_{mises}	$=$		
J_t	$=$	σ	$=$	$\sigma_{st.ven}$	$=$		



N	= 28600 N	M _t	= -15100 Nmm	σ _a	= 240 N/mm ²	G	= 75000 N/mm ²
T _y	= 6920 N	M _x	= 109000 Nmm	E	= 200000 N/mm ²		
y _g	=	σ(N)	=	τ _s	=	θ _t	=
u _o	=	σ(M _x)	=	σ _{ls}	=	r _u	=
v _o	=	τ(M _t)	=	σ _{lls}	=	r _v	=
A _n	=	τ(T _{yc})	=	σ _{ld}	=	r _o	=
C _w	=	τ(T _{yb}) _d	=	σ _{lld}	=	J _p	=
J _u	=	τ(T _y) _s	=	σ _{tresca}	=		
J _v	=	τ(T _y) _d	=	σ _{mises}	=		
J _t	=	σ	=	σ _{st.ven}	=		



Calcolo degli sforzi con forze baricentriche in * punto medio di AB

Rappresentare sul foglio, in scala: G, assi u,v, ellisse d'inertia

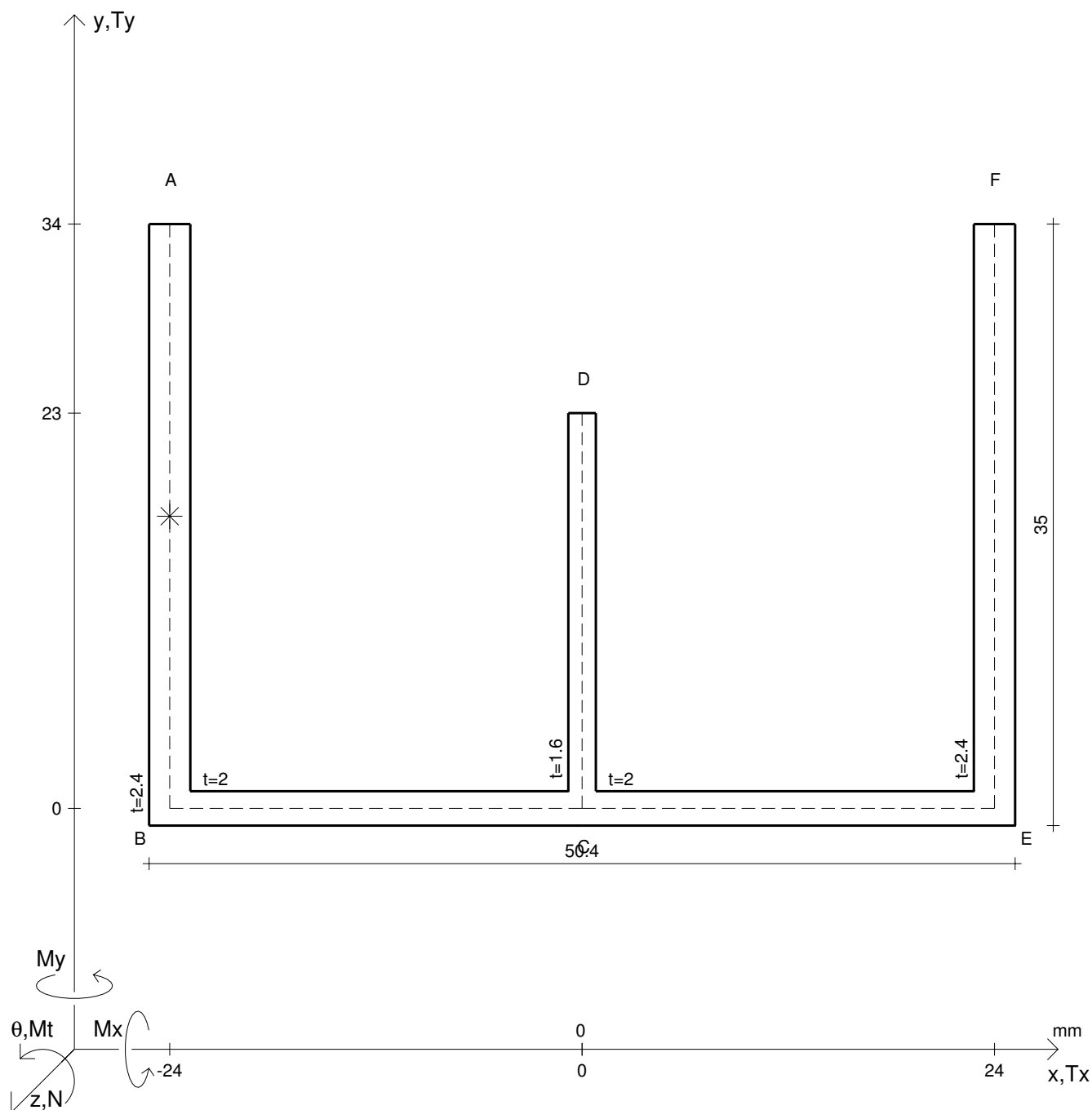
Rappresentare il cerchio di Mohr

Operare le conclusioni sulla verifica di resistenza in *

Facoltativo: rappresentare l'asse neutro e l'andamento delle tens. normali.

Facoltativo: rappresentare l'andamento delle tens. tangenziali.

N	$= 15000 \text{ N}$	M_t	$= -12500 \text{ Nmm}$	σ_a	$= 240 \text{ N/mm}^2$	G	$= 75000 \text{ N/mm}^2$
T_y	$= 8430 \text{ N}$	M_x	$= 107000 \text{ Nmm}$	E	$= 200000 \text{ N/mm}^2$	θ_t	$=$
y_g	$=$	$\sigma(N)$	$=$	τ_s	$=$	r_u	$=$
u_o	$=$	$\sigma(M_x)$	$=$	σ_{ls}	$=$	r_v	$=$
v_o	$=$	$\tau(M_t)$	$=$	σ_{lls}	$=$	r_o	$=$
A_n	$=$	$\tau(T_{yc})$	$=$	σ_{ld}	$=$	J_p	$=$
C_w	$=$	$\tau(T_{yb/d})$	$=$	σ_{lld}	$=$		
J_u	$=$	$\tau(T_y)_s$	$=$	σ_{tresca}	$=$		
J_v	$=$	$\tau(T_y)_d$	$=$	σ_{mises}	$=$		
J_t	$=$	σ	$=$	$\sigma_{st.ven}$	$=$		



Calcolo degli sforzi con forze baricentriche in * punto medio di AB

Rappresentare sul foglio, in scala: G, assi u, v , ellisse d'inerzia

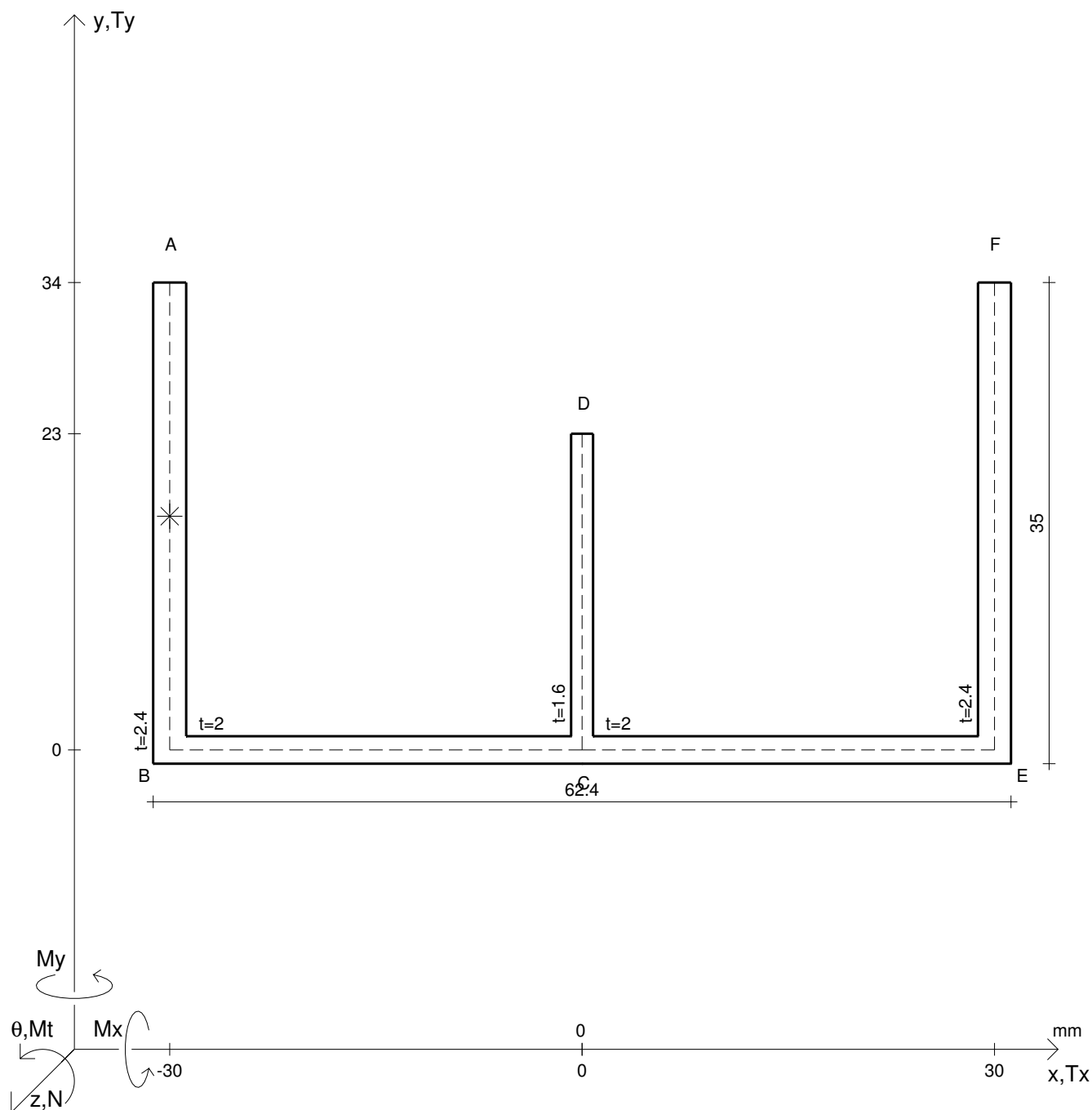
Rappresentare il cerchio di Mohr

Operare le conclusioni sulla verifica di resistenza in *

Facoltativo: rappresentare l'asse neutro e l'andamento delle tens. normali.

Facoltativo: rappresentare l'andamento delle tens. tangenziali.

N	$= 18300 \text{ N}$	M_t	$= -14800 \text{ Nmm}$	σ_a	$= 240 \text{ N/mm}^2$	G	$= 75000 \text{ N/mm}^2$
T_y	$= 9460 \text{ N}$	M_x	$= 83400 \text{ Nmm}$	E	$= 200000 \text{ N/mm}^2$	θ_t	$=$
y_g	$=$	$\sigma(N)$	$=$	τ_s	$=$	r_u	$=$
u_o	$=$	$\sigma(M_x)$	$=$	σ_{ls}	$=$	r_v	$=$
v_o	$=$	$\tau(M_t)$	$=$	σ_{lls}	$=$	r_o	$=$
A_n	$=$	$\tau(T_{yc})$	$=$	σ_{ld}	$=$	J_p	$=$
C_w	$=$	$\tau(T_{yb})_d$	$=$	σ_{lld}	$=$		
J_u	$=$	$\tau(T_y)_s$	$=$	σ_{tresca}	$=$		
J_v	$=$	$\tau(T_y)_d$	$=$	σ_{mises}	$=$		
J_t	$=$	σ	$=$	$\sigma_{st.ven}$	$=$		



Calcolo degli sforzi con forze baricentriche in * punto medio di AB

Rappresentare sul foglio, in scala: G, assi u,v, ellisse d'inerzia

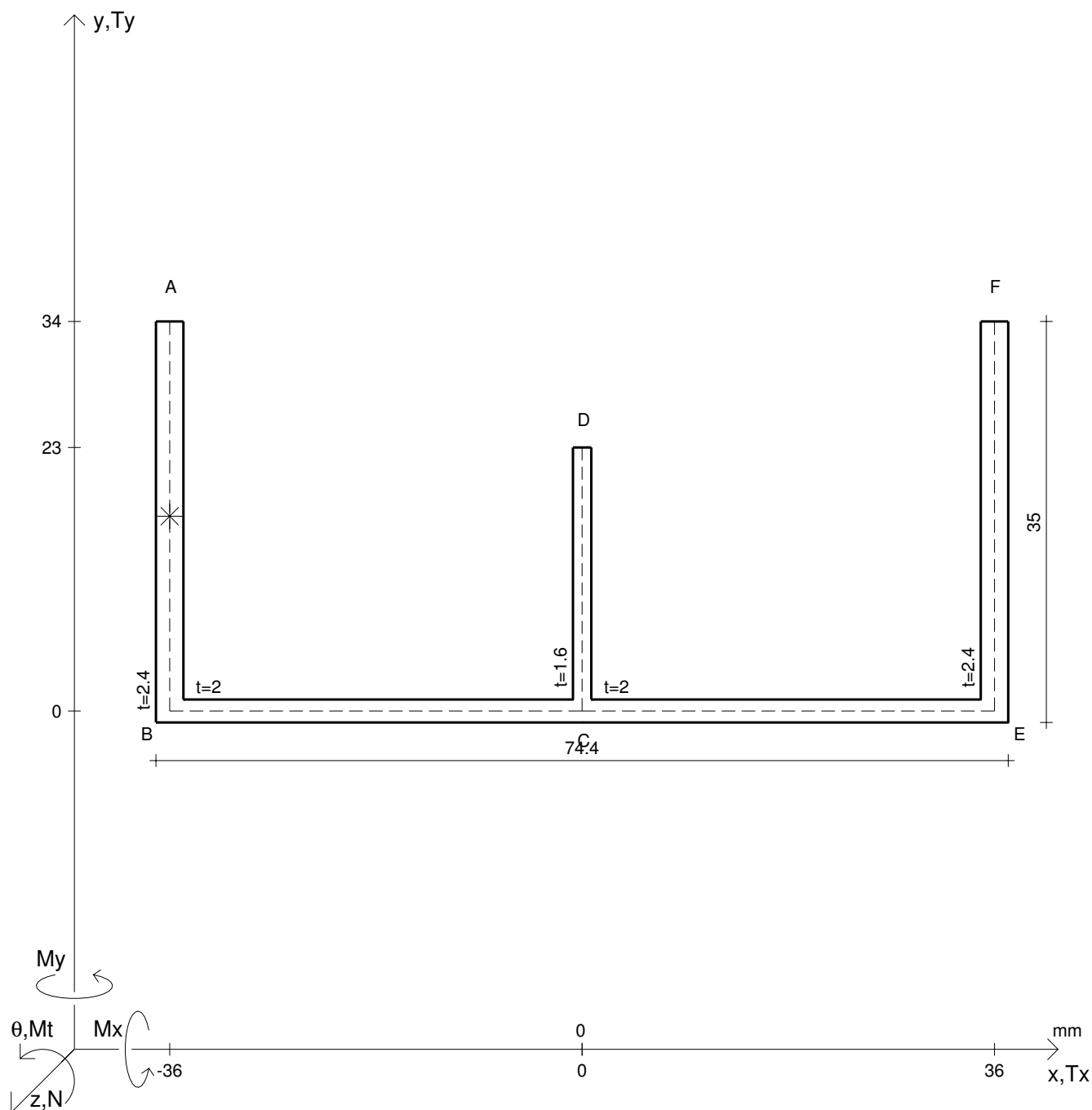
Rappresentare il cerchio di Mohr

Operare le conclusioni sulla verifica di resistenza in *

Facoltativo: rappresentare l'asse neutro e l'andamento delle tens. normali.

Facoltativo: rappresentare l'andamento delle tens. tangenziali.

N	= 22500 N	M_t	= -12000 Nmm	σ_a	= 240 N/mm ²	G	= 75000 N/mm ²
T_y	= 10100 N	M_x	= 99500 Nmm	E	= 200000 N/mm ²	θ_t	=
y_g	=	$\sigma(N)$	=	τ_s	=	r_u	=
u_o	=	$\sigma(M_x)$	=	σ_{ls}	=	r_v	=
v_o	=	$\tau(M_t)$	=	σ_{lls}	=	r_o	=
A_n	=	$\tau(T_{yc})$	=	σ_{ld}	=	J_p	=
C_w	=	$\tau(T_{yb})_d$	=	σ_{lld}	=		
J_u	=	$\tau(T_y)_s$	=	σ_{tresca}	=		
J_v	=	$\tau(T_y)_d$	=	σ_{mises}	=		
J_t	=	σ	=	$\sigma_{st.ven}$	=		



Calcolo degli sforzi con forze baricentriche in * punto medio di AB

Rappresentare sul foglio, in scala: G, assi u,v, ellisse d'inerzia

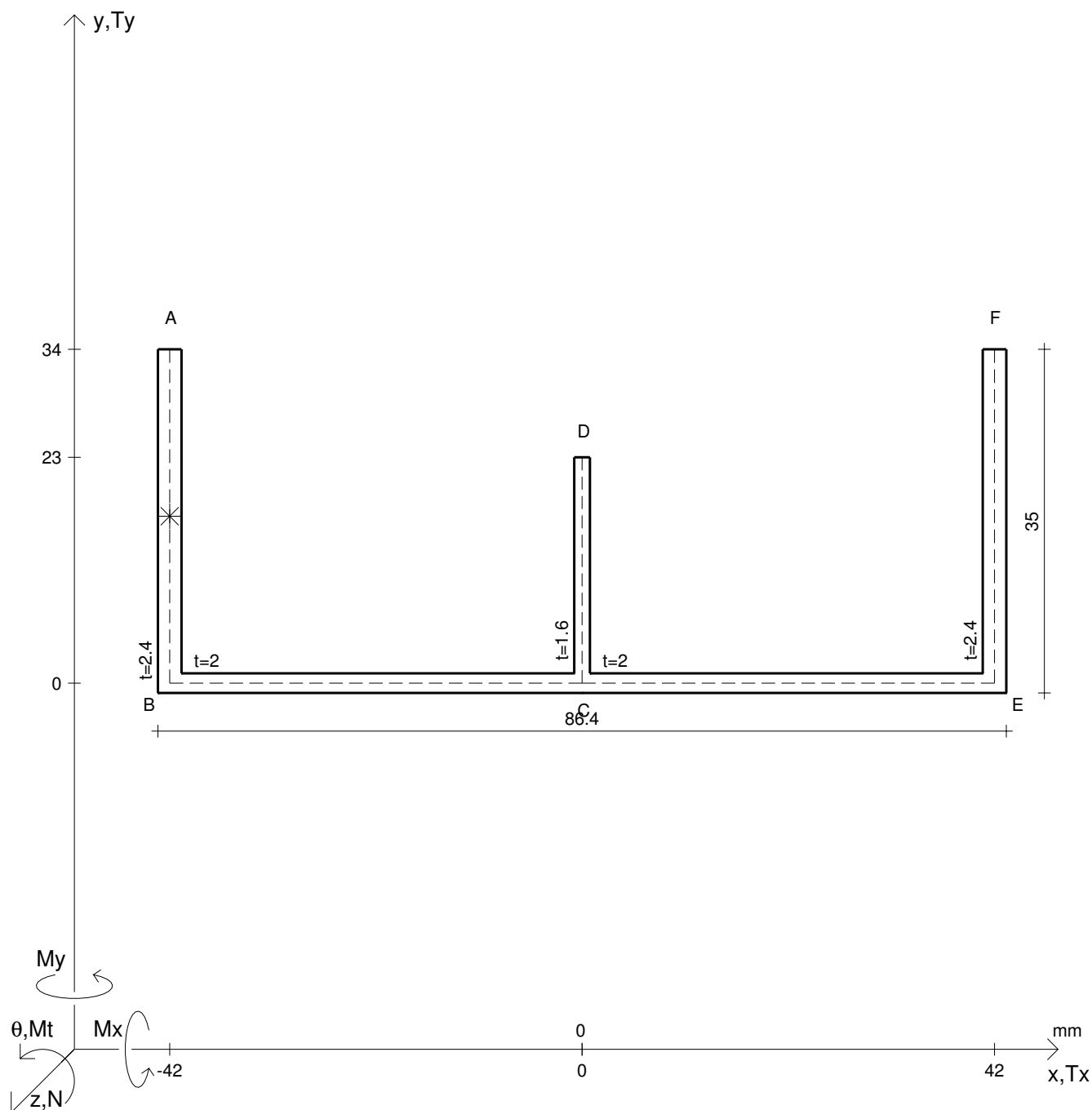
Rappresentare il cerchio di Mohr

Operare le conclusioni sulla verifica di resistenza in *

Facoltativo: rappresentare l'asse neutro e l'andamento delle tens. normali.

Facoltativo: rappresentare l'andamento delle tens. tangenziali.

N	$= 27000 \text{ N}$	M_t	$= -14500 \text{ Nmm}$	σ_a	$= 240 \text{ N/mm}^2$	G	$= 75000 \text{ N/mm}^2$
T_y	$= 7340 \text{ N}$	M_x	$= 115000 \text{ Nmm}$	E	$= 200000 \text{ N/mm}^2$	θ_t	$=$
y_g	$=$	$\sigma(N)$	$=$	τ_s	$=$	r_u	$=$
u_o	$=$	$\sigma(M_x)$	$=$	σ_{ls}	$=$	r_v	$=$
v_o	$=$	$\tau(M_t)$	$=$	σ_{lls}	$=$	r_o	$=$
A_n	$=$	$\tau(T_{yc})$	$=$	σ_{ld}	$=$	J_p	$=$
C_w	$=$	$\tau(T_{yb})_d$	$=$	σ_{lld}	$=$		
J_u	$=$	$\tau(T_y)_s$	$=$	σ_{tresca}	$=$		
J_v	$=$	$\tau(T_y)_d$	$=$	σ_{mises}	$=$		
J_t	$=$	σ	$=$	$\sigma_{st.ven}$	$=$		



Calcolo degli sforzi con forze baricentriche in * punto medio di AB

Rappresentare sul foglio, in scala: G, assi u,v, ellisse d'inerzia

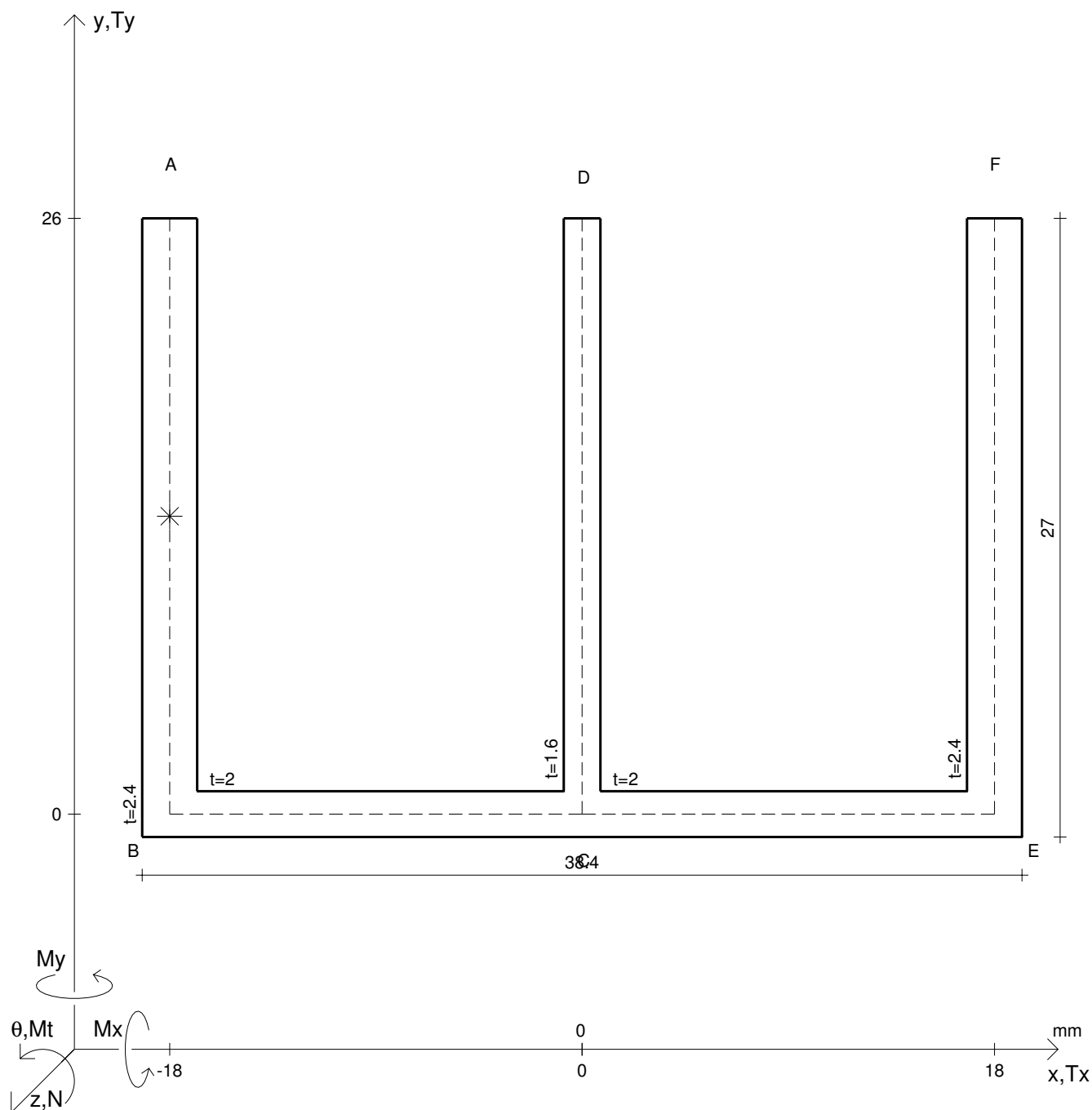
Rappresentare il cerchio di Mohr

Operare le conclusioni sulla verifica di resistenza in *

Facoltativo: rappresentare l'asse neutro e l'andamento delle tens. normali.

Facoltativo: rappresentare l'andamento delle tens. tangenziali.

N	$= 21700 \text{ N}$	M_t	$= -17200 \text{ Nmm}$	σ_a	$= 240 \text{ N/mm}^2$	G	$= 75000 \text{ N/mm}^2$
T_y	$= 8080 \text{ N}$	M_x	$= 131000 \text{ Nmm}$	E	$= 200000 \text{ N/mm}^2$	θ_t	$=$
y_g	$=$	$\sigma(N)$	$=$	τ_s	$=$	r_u	$=$
u_o	$=$	$\sigma(M_x)$	$=$	σ_{ls}	$=$	r_v	$=$
v_o	$=$	$\tau(M_t)$	$=$	σ_{lls}	$=$	r_o	$=$
A_n	$=$	$\tau(T_{yc})$	$=$	σ_{ld}	$=$	J_p	$=$
C_w	$=$	$\tau(T_{yb}/d)$	$=$	σ_{lld}	$=$		
J_u	$=$	$\tau(T_y)_s$	$=$	σ_{tresca}	$=$		
J_v	$=$	$\tau(T_y)_d$	$=$	σ_{mises}	$=$		
J_t	$=$	σ	$=$	$\sigma_{st.ven}$	$=$		



Calcolo degli sforzi con forze baricentriche in * punto medio di AB

Rappresentare sul foglio, in scala: G, assi u,v, ellisse d'inertia

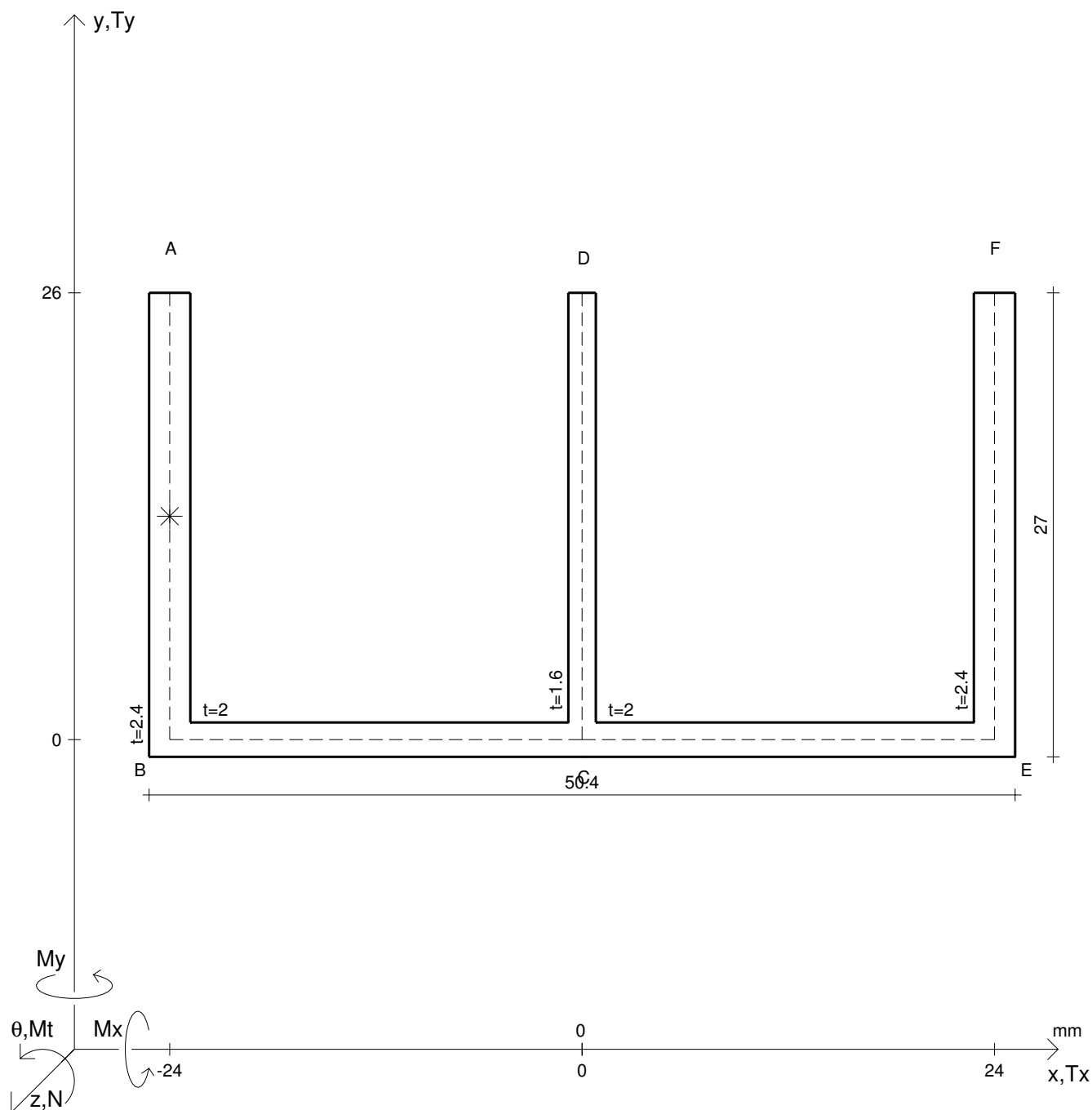
Rappresentare il cerchio di Mohr

Operare le conclusioni sulla verifica di resistenza in *

Facoltativo: rappresentare l'asse neutro e l'andamento delle tens. normali.

Facoltativo: rappresentare l'andamento delle tens. tangenziali.

N	$= 14700 \text{ N}$	M_t	$= 11600 \text{ Nmm}$	σ_a	$= 240 \text{ N/mm}^2$	G	$= 75000 \text{ N/mm}^2$
T_y	$= 9030 \text{ N}$	M_x	$= 58500 \text{ Nmm}$	E	$= 200000 \text{ N/mm}^2$	θ_t	$=$
y_g	$=$	$\sigma(N)$	$=$	τ_s	$=$	r_u	$=$
u_o	$=$	$\sigma(M_x)$	$=$	σ_{ls}	$=$	r_v	$=$
v_o	$=$	$\tau(M_t)$	$=$	σ_{lls}	$=$	r_o	$=$
A_n	$=$	$\tau(T_{yc})$	$=$	σ_{ld}	$=$	J_p	$=$
C_w	$=$	$\tau(T_{yb/d})$	$=$	σ_{lld}	$=$		
J_u	$=$	$\tau(T_y)_s$	$=$	σ_{tresca}	$=$		
J_v	$=$	$\tau(T_y)_d$	$=$	σ_{mises}	$=$		
J_t	$=$	σ	$=$	$\sigma_{st.ven}$	$=$		



Calcolo degli sforzi con forze baricentriche in * punto medio di AB

Rappresentare sul foglio, in scala: G, assi u,v, ellisse d'inerzia

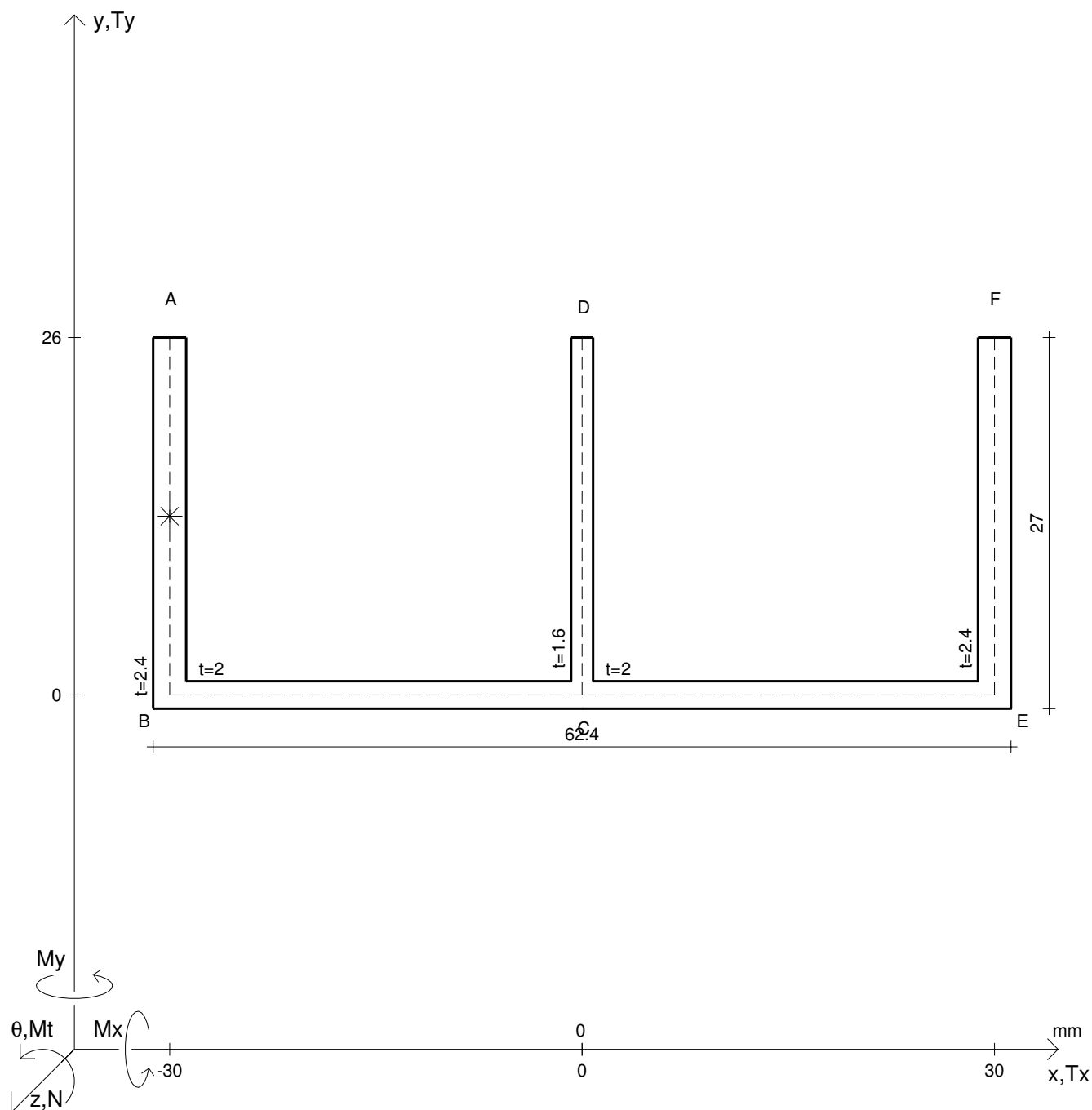
Rappresentare il cerchio di Mohr

Operare le conclusioni sulla verifica di resistenza in *

Facoltativo: rappresentare l'asse neutro e l'andamento delle tens. normali.

Facoltativo: rappresentare l'andamento delle tens. tangenziali.

N	$= 18000 \text{ N}$	M_t	$= -9340 \text{ Nmm}$	σ_a	$= 240 \text{ N/mm}^2$	G	$= 75000 \text{ N/mm}^2$
T_y	$= 9970 \text{ N}$	M_x	$= 68800 \text{ Nmm}$	E	$= 200000 \text{ N/mm}^2$	θ_t	$=$
y_g	$=$	$\sigma(N)$	$=$	τ_s	$=$	r_u	$=$
u_o	$=$	$\sigma(M_x)$	$=$	σ_{ls}	$=$	r_v	$=$
v_o	$=$	$\tau(M_t)$	$=$	σ_{lls}	$=$	r_o	$=$
A_n	$=$	$\tau(T_{yc})$	$=$	σ_{ld}	$=$	J_p	$=$
C_w	$=$	$\tau(T_{yb})_d$	$=$	σ_{lld}	$=$		
J_u	$=$	$\tau(T_y)_s$	$=$	σ_{tresca}	$=$		
J_v	$=$	$\tau(T_y)_d$	$=$	σ_{mises}	$=$		
J_t	$=$	σ	$=$	$\sigma_{st.ven}$	$=$		



Calcolo degli sforzi con forze baricentriche in * punto medio di AB

Rappresentare sul foglio, in scala: G, assi u,v, ellisse d'inerzia

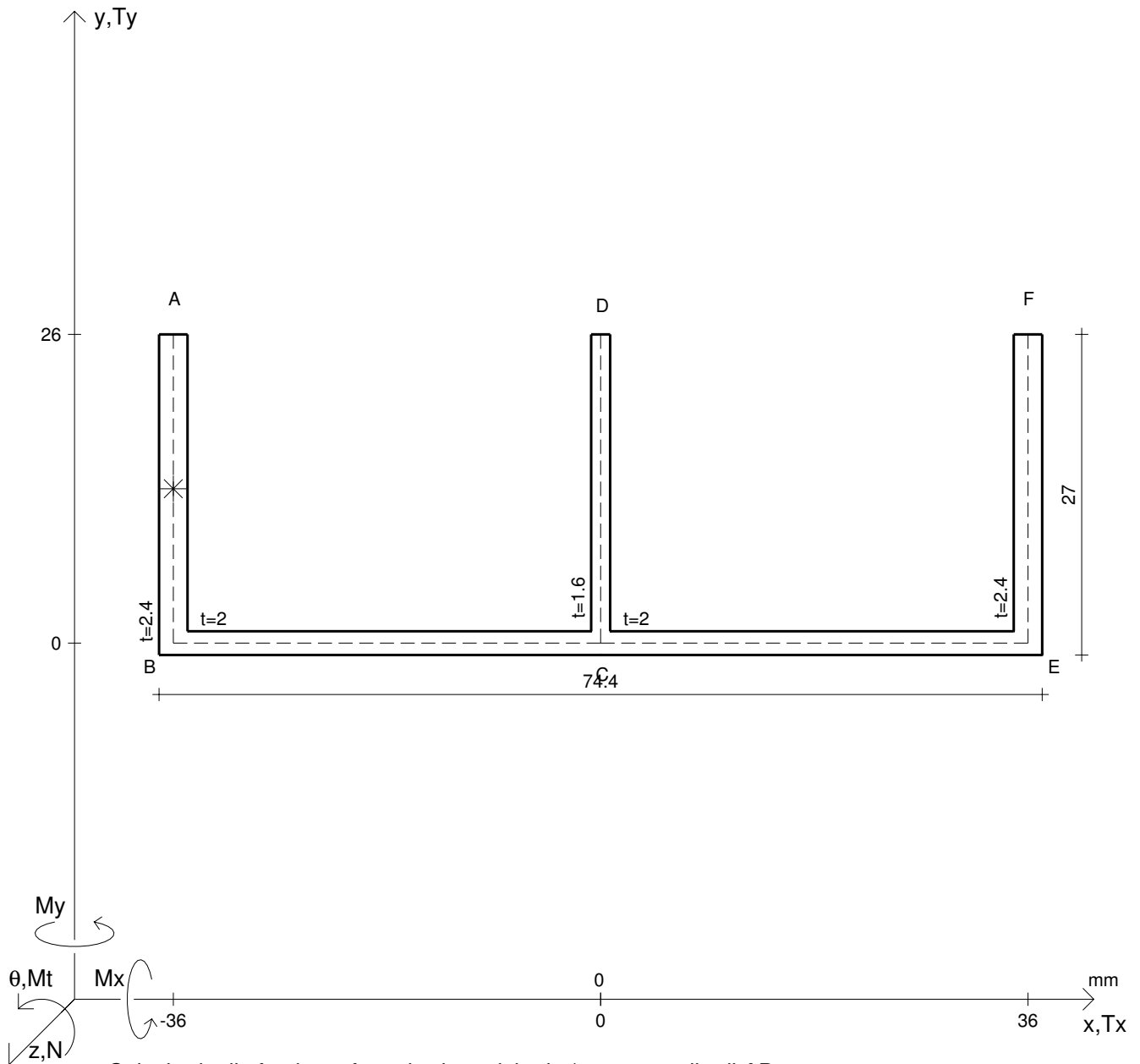
Rappresentare il cerchio di Mohr

Operare le conclusioni sulla verifica di resistenza in *

Facoltativo: rappresentare l'asse neutro e l'andamento delle tens. normali.

Facoltativo: rappresentare l'andamento delle tens. tangenziali.

N	$= 22200 \text{ N}$	M_t	$= -11600 \text{ Nmm}$	σ_a	$= 240 \text{ N/mm}^2$	G	$= 75000 \text{ N/mm}^2$
T_y	$= 7130 \text{ N}$	M_x	$= 81200 \text{ Nmm}$	E	$= 200000 \text{ N/mm}^2$	θ_t	$=$
y_g	$=$	$\sigma(N)$	$=$	τ_s	$=$	r_u	$=$
u_o	$=$	$\sigma(M_x)$	$=$	σ_{ls}	$=$	r_v	$=$
v_o	$=$	$\tau(M_t)$	$=$	σ_{lls}	$=$	r_o	$=$
A_n	$=$	$\tau(T_{yc})$	$=$	σ_{ld}	$=$	J_p	$=$
C_w	$=$	$\tau(T_{yb})_d$	$=$	σ_{lld}	$=$		
J_u	$=$	$\tau(T_y)_s$	$=$	σ_{tresca}	$=$		
J_v	$=$	$\tau(T_y)_d$	$=$	σ_{mises}	$=$		
J_t	$=$	σ	$=$	$\sigma_{st.ven}$	$=$		



Calcolo degli sforzi con forze baricentriche in * punto medio di AB

Rappresentare sul foglio, in scala: G, assi u,v, ellisse d'inertia

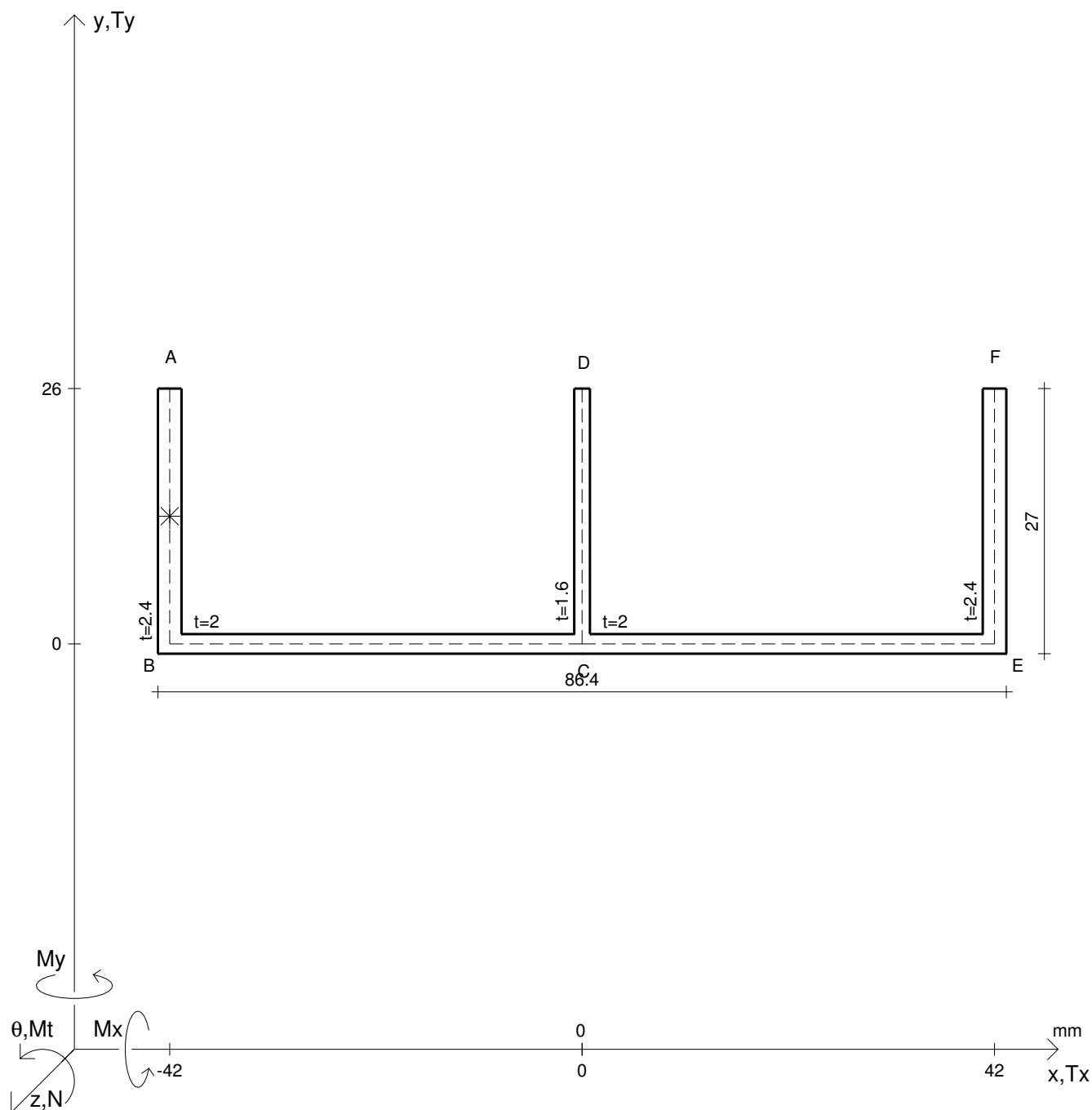
Rappresentare il cerchio di Mohr

Operare le conclusioni sulla verifica di resistenza in *

Facoltativo: rappresentare l'asse neutro e l'andamento delle tens. normali.

Facoltativo: rappresentare l'andamento delle tens. tangenziali.

N	$= 18100 \text{ N}$	M_x	$= 93100 \text{ Nmm}$	G	$= 75000 \text{ N/mm}^2$
T_y	$= 7780 \text{ N}$	σ_a	$= 240 \text{ N/mm}^2$	σ_{lld}	$=$
M_t	$= 14000 \text{ Nmm}$	E	$= 200000 \text{ N/mm}^2$	σ_{tresca}	$=$
y_g	$=$	$\tau(M_t)$	$=$	σ_{mises}	$=$
u_o	$=$	$\tau(T_{yc})$	$=$	$\sigma_{st.ven}$	$=$
v_o	$=$	$\tau(T_{yb})_d$	$=$	θ_t	$=$
A_n	$=$	$\tau(T_y)_s$	$=$	r_u	$=$
C_w	$=$	$\tau(T_y)_d$	$=$	r_v	$=$
J_u	$=$	σ	$=$	r_o	$=$
J_v	$=$	τ_s	$=$	J_p	$=$
J_t	$=$	σ_{ls}	$=$		
$\sigma(N)$	$=$	σ_{lls}	$=$		
$\sigma(M_x)$	$=$	σ_{ld}	$=$		



Calcolo degli sforzi con forze baricentriche in * punto medio di AB

Rappresentare sul foglio, in scala: G, assi u,v, ellisse d'inertia

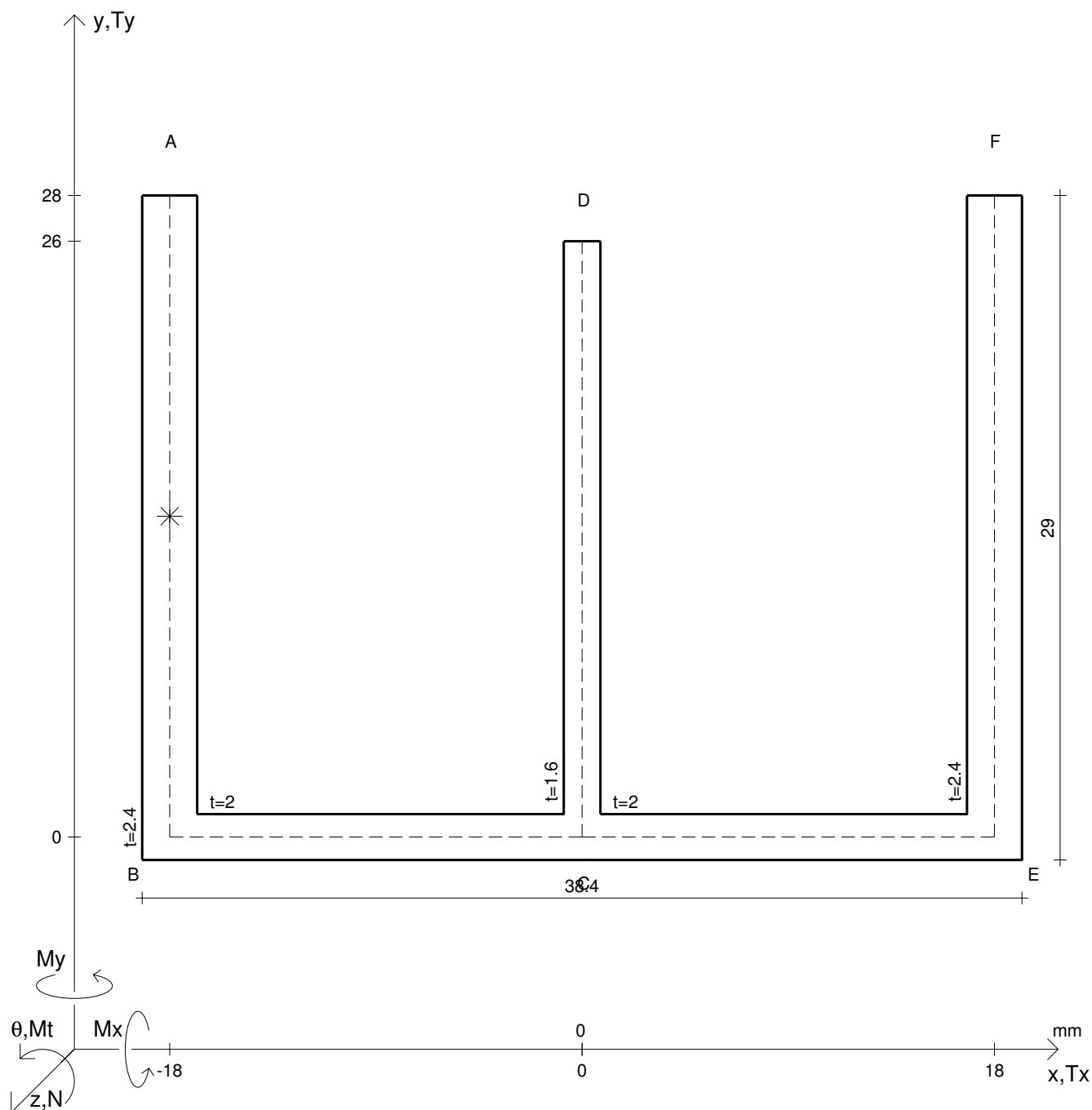
Rappresentare il cerchio di Mohr

Operare le conclusioni sulla verifica di resistenza in *

Facoltativo: rappresentare l'asse neutro e l'andamento delle tens. normali.

Facoltativo: rappresentare l'andamento delle tens. tangenziali.

N	$= 22100 \text{ N}$	M_t	$= 16600 \text{ Nmm}$	σ_a	$= 240 \text{ N/mm}^2$	G	$= 75000 \text{ N/mm}^2$
T_y	$= 8440 \text{ N}$	M_x	$= 71300 \text{ Nmm}$	E	$= 200000 \text{ N/mm}^2$	θ_t	$=$
y_g	$=$	$\sigma(N)$	$=$	τ_s	$=$	r_u	$=$
u_o	$=$	$\sigma(M_x)$	$=$	σ_{ls}	$=$	r_v	$=$
v_o	$=$	$\tau(M_t)$	$=$	σ_{lls}	$=$	r_o	$=$
A_n	$=$	$\tau(T_{yc})$	$=$	σ_{ld}	$=$	J_p	$=$
C_w	$=$	$\tau(T_{yb})_d$	$=$	σ_{lld}	$=$		
J_u	$=$	$\tau(T_y)_s$	$=$	σ_{tresca}	$=$		
J_v	$=$	$\tau(T_y)_d$	$=$	σ_{mises}	$=$		
J_t	$=$	σ	$=$	$\sigma_{st.ven}$	$=$		



Calcolo degli sforzi con forze baricentriche in * punto medio di AB

Rappresentare sul foglio, in scala: G, assi u,v, ellisse d'inertia

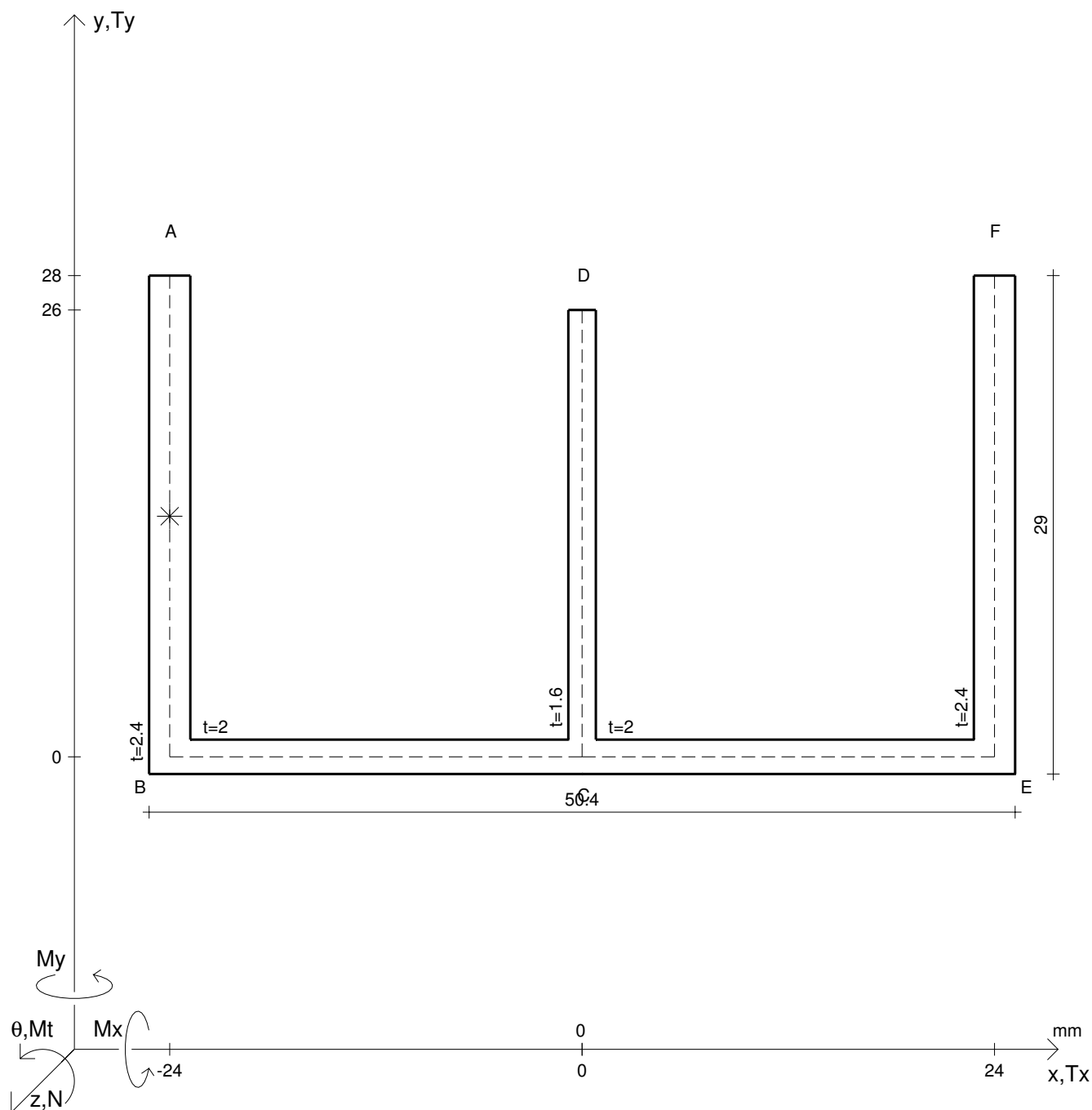
Rappresentare il cerchio di Mohr

Operare le conclusioni sulla verifica di resistenza in *

Facoltativo: rappresentare l'asse neutro e l'andamento delle tens. normali.

Facoltativo: rappresentare l'andamento delle tens. tangenziali.

N	$= 16900 \text{ N}$	M_t	$= -9000 \text{ Nmm}$	σ_a	$= 240 \text{ N/mm}^2$	G	$= 75000 \text{ N/mm}^2$
T_y	$= 9940 \text{ N}$	M_x	$= 70800 \text{ Nmm}$	E	$= 200000 \text{ N/mm}^2$	θ_t	$=$
y_g	$=$	$\sigma(N)$	$=$	τ_s	$=$	r_u	$=$
u_o	$=$	$\sigma(M_x)$	$=$	σ_{ls}	$=$	r_v	$=$
v_o	$=$	$\tau(M_t)$	$=$	σ_{lls}	$=$	r_o	$=$
A_n	$=$	$\tau(T_{yc})$	$=$	σ_{ld}	$=$	J_p	$=$
C_w	$=$	$\tau(T_{yb}/d)$	$=$	σ_{lld}	$=$		
J_u	$=$	$\tau(T_y)_s$	$=$	σ_{tresca}	$=$		
J_v	$=$	$\tau(T_y)_d$	$=$	σ_{mises}	$=$		
J_t	$=$	σ	$=$	$\sigma_{st.ven}$	$=$		



Calcolo degli sforzi con forze baricentriche in * punto medio di AB

Rappresentare sul foglio, in scala: G, assi u, v , ellisse d'inerzia

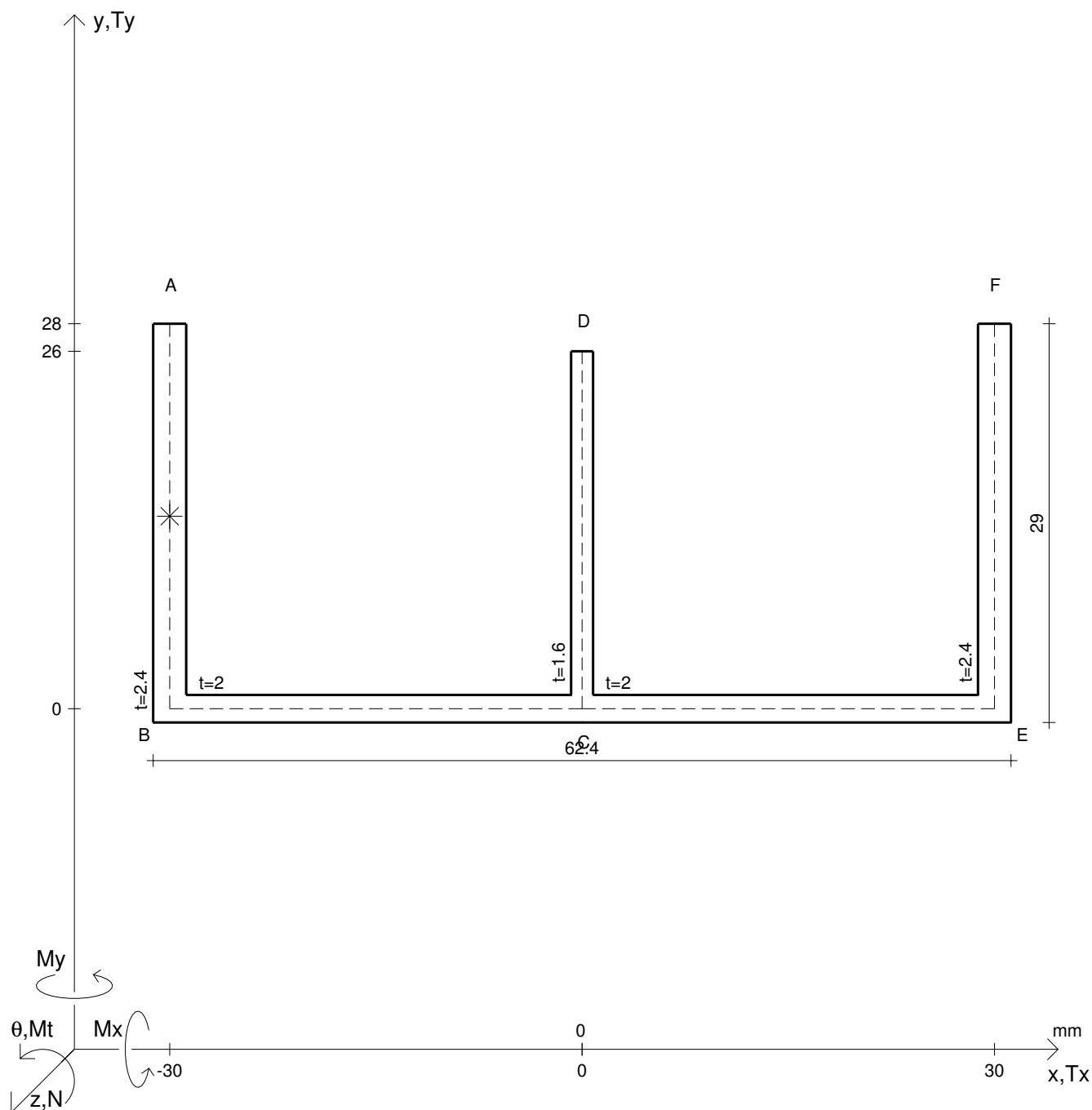
Rappresentare il cerchio di Mohr

Operare le conclusioni sulla verifica di resistenza in *

Facoltativo: rappresentare l'asse neutro e l'andamento delle tens. normali.

Facoltativo: rappresentare l'andamento delle tens. tangenziali.

N	$= 20400 \text{ N}$	M_t	$= -10900 \text{ Nmm}$	σ_a	$= 240 \text{ N/mm}^2$	G	$= 75000 \text{ N/mm}^2$
T_y	$= 7440 \text{ N}$	M_x	$= 82400 \text{ Nmm}$	E	$= 200000 \text{ N/mm}^2$	θ_t	$=$
y_g	$=$	$\sigma(N)$	$=$	τ_s	$=$	r_u	$=$
u_o	$=$	$\sigma(M_x)$	$=$	σ_{ls}	$=$	r_v	$=$
v_o	$=$	$\tau(M_t)$	$=$	σ_{lls}	$=$	r_o	$=$
A_n	$=$	$\tau(T_{yc})$	$=$	σ_{ld}	$=$	J_p	$=$
C_w	$=$	$\tau(T_{yb})_d$	$=$	σ_{lld}	$=$		
J_u	$=$	$\tau(T_y)_s$	$=$	σ_{tresca}	$=$		
J_v	$=$	$\tau(T_y)_d$	$=$	σ_{mises}	$=$		
J_t	$=$	σ	$=$	$\sigma_{st.ven}$	$=$		



Calcolo degli sforzi con forze baricentriche in $*$ punto medio di AB

Rappresentare sul foglio, in scala: G, assi u, v , ellisse d'inerzia

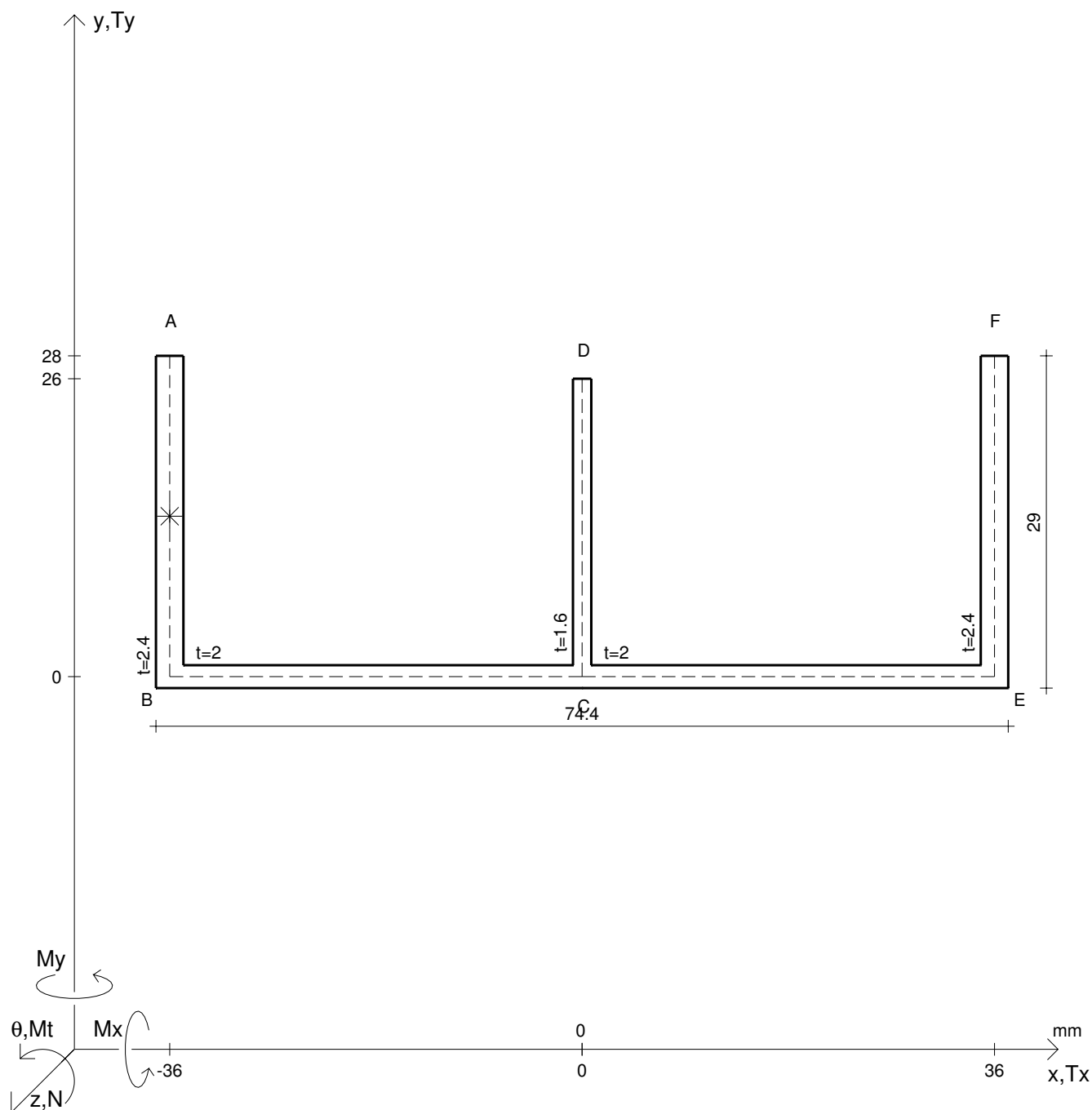
Rappresentare il cerchio di Mohr

Operare le conclusioni sulla verifica di resistenza in $*$

Facoltativo: rappresentare l'asse neutro e l'andamento delle tens. normali.

Facoltativo: rappresentare l'andamento delle tens. tangenziali.

N	$= 16900 \text{ N}$	M_t	$= -13300 \text{ Nmm}$	σ_a	$= 240 \text{ N/mm}^2$	G	$= 75000 \text{ N/mm}^2$
T_y	$= 8070 \text{ N}$	M_x	$= 96300 \text{ Nmm}$	E	$= 200000 \text{ N/mm}^2$	θ_t	$=$
y_g	$=$	$\sigma(N)$	$=$	τ_s	$=$	r_u	$=$
u_o	$=$	$\sigma(M_x)$	$=$	σ_{ls}	$=$	r_v	$=$
v_o	$=$	$\tau(M_t)$	$=$	σ_{lls}	$=$	r_o	$=$
A_n	$=$	$\tau(T_{yc})$	$=$	σ_{ld}	$=$	J_p	$=$
C_w	$=$	$\tau(T_{yb})_d$	$=$	σ_{lld}	$=$		
J_u	$=$	$\tau(T_y)_s$	$=$	σ_{tresca}	$=$		
J_v	$=$	$\tau(T_y)_d$	$=$	σ_{mises}	$=$		
J_t	$=$	σ	$=$	$\sigma_{st.ven}$	$=$		



Calcolo degli sforzi con forze baricentriche in * punto medio di AB

Rappresentare sul foglio, in scala: G, assi u,v, ellisse d'inertia

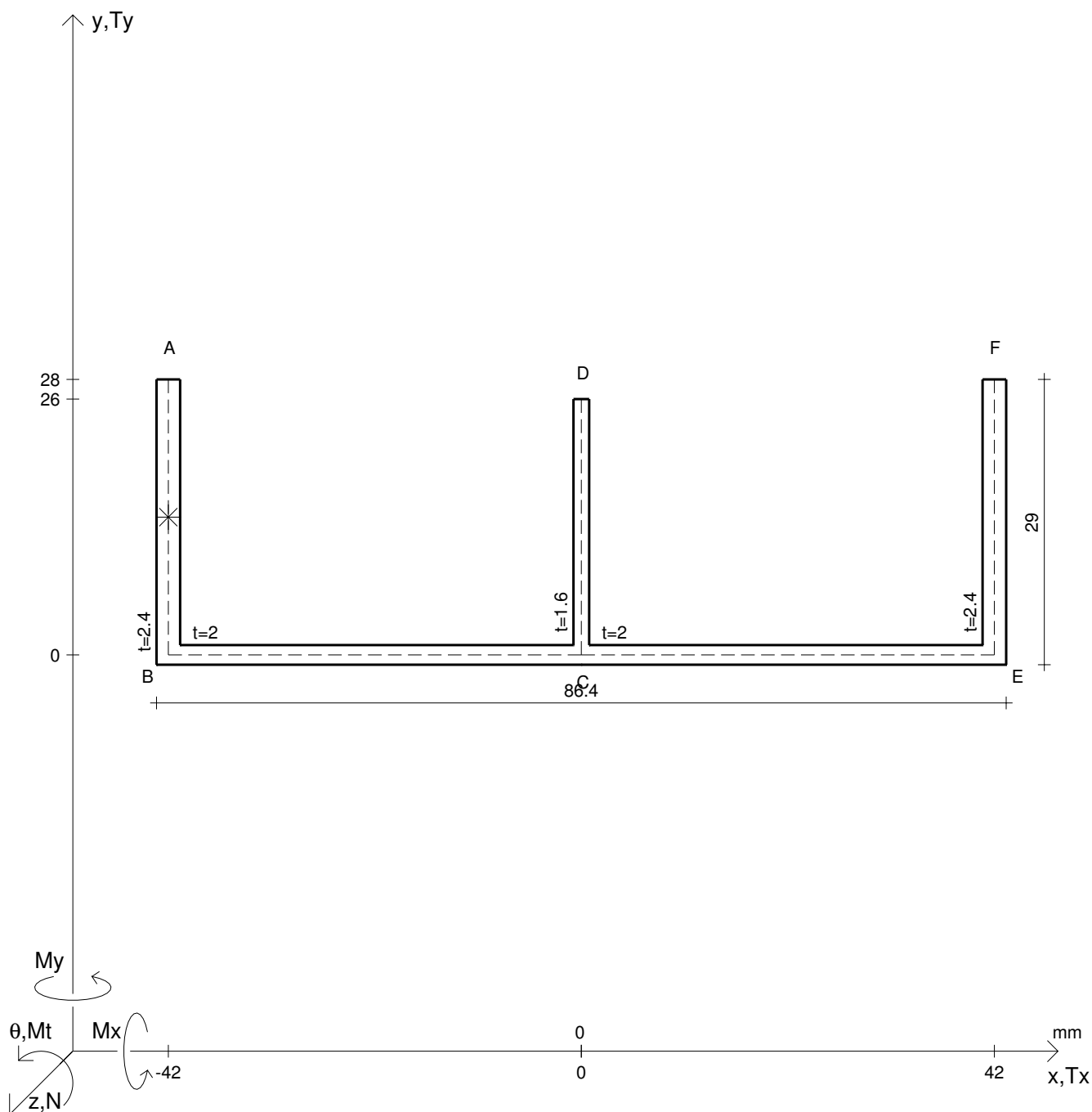
Rappresentare il cerchio di Mohr

Operare le conclusioni sulla verifica di resistenza in *

Facoltativo: rappresentare l'asse neutro e l'andamento delle tens. normali.

Facoltativo: rappresentare l'andamento delle tens. tangenziali.

N	$= 20800 \text{ N}$	M_t	$= -15900 \text{ Nmm}$	σ_a	$= 240 \text{ N/mm}^2$	G	$= 75000 \text{ N/mm}^2$
T_y	$= 8720 \text{ N}$	M_x	$= 74700 \text{ Nmm}$	E	$= 200000 \text{ N/mm}^2$	θ_t	$=$
y_g	$=$	$\sigma(N)$	$=$	τ_s	$=$	r_u	$=$
u_o	$=$	$\sigma(M_x)$	$=$	σ_{ls}	$=$	r_v	$=$
v_o	$=$	$\tau(M_t)$	$=$	σ_{lls}	$=$	r_o	$=$
A_n	$=$	$\tau(T_{yc})$	$=$	σ_{ld}	$=$	J_p	$=$
C_w	$=$	$\tau(T_{yb/d})$	$=$	σ_{lld}	$=$		
J_u	$=$	$\tau(T_y)_s$	$=$	σ_{tresca}	$=$		
J_v	$=$	$\tau(T_y)_d$	$=$	σ_{mises}	$=$		
J_t	$=$	σ	$=$	$\sigma_{st.ven}$	$=$		



Calcolo degli sforzi con forze baricentriche in * punto medio di AB

Rappresentare sul foglio, in scala: G , assi u, v , ellisse d'inerzia

Rappresentare il cerchio di Mohr

Operare le conclusioni sulla verifica di resistenza in *

Facoltativo: rappresentare l'asse neutro e l'andamento delle tens. normali.

Facoltativo: rappresentare l'andamento delle tens. tangenziali.

N	$= 25100 \text{ N}$	M_t	$= 12700 \text{ Nmm}$	σ_a	$= 240 \text{ N/mm}^2$	G	$= 75000 \text{ N/mm}^2$
T_y	$= 9390 \text{ N}$	M_x	$= 86500 \text{ Nmm}$	E	$= 200000 \text{ N/mm}^2$	θ_t	$=$
y_g	$=$	$\sigma(N)$	$=$	τ_s	$=$	r_u	$=$
u_o	$=$	$\sigma(M_x)$	$=$	σ_{ls}	$=$	r_v	$=$
v_o	$=$	$\tau(M_t)$	$=$	σ_{lls}	$=$	r_o	$=$
A_n	$=$	$\tau(T_{yc})$	$=$	σ_{ld}	$=$	J_p	$=$
C_w	$=$	$\tau(T_{yb}/d)$	$=$	σ_{lld}	$=$		
J_u	$=$	$\tau(T_y)_s$	$=$	σ_{tresca}	$=$		
J_v	$=$	$\tau(T_y)_d$	$=$	σ_{mises}	$=$		
J_t	$=$	σ	$=$	$\sigma_{st.ven}$	$=$		